

Optimizacija distribucijske mreže primjenom matematičkih metoda

Maretić, Domagoj

Master's thesis / Diplomski rad

2018

Degree Grantor / Ustanova koja je dodijelila akademski / stručni stupanj: **University of Zagreb, Faculty of Transport and Traffic Sciences / Sveučilište u Zagrebu, Fakultet prometnih znanosti**

Permanent link / Trajna poveznica: <https://urn.nsk.hr/urn:nbn:hr:119:128027>

Rights / Prava: [In copyright](#)/[Zaštićeno autorskim pravom.](#)

Download date / Datum preuzimanja: **2024-05-08**



Repository / Repozitorij:

[Faculty of Transport and Traffic Sciences - Institutional Repository](#)



SVEUČILIŠTE U ZAGREBU
FAKULTET PROMETNIH ZNANOSTI

Domagoj Maretić

**OPTIMIZACIJA DISTRIBUCIJSKE MREŽE PRIMJENOM
MATEMATIČKIH METODA**

DIPLOMSKI RAD

Zagreb, 2018.

Zagreb, 24. travnja 2017.

Zavod: **Zavod za transportnu logistiku**
Predmet: **Distribucijska logistika I**

DIPLOMSKI ZADATAK br. 4261

Pristupnik: **Domagoj Maretić (0135228577)**
Studij: Inteligentni transportni sustavi i logistika
Smjer: Logistika

Zadatak: **Optimizacija distribucijske mreže primjenom matematičkih metoda**

Opis zadatka:

U radu je potrebno analizirati rute te lokacije koje je potrebno opskrbiti. U radu će se prikazati matematičke metode korištene u svrhu optimizacije distribucijske mreže, odnosno prikazati će se metode za izračun optimalne rute kretanja dostavnih vozila. Potrebno je implementacijom matematičkih metoda odrediti redoslijed opskrbe lokacija kako bi troškovi bili što niži.

Zadatak uručen pristupniku: 28. travnja 2017.

Mentor:

Predsjednik povjerenstva za

diplomski ispit:

dr. sc. Tomislav Rožić

SVEUČILIŠTE U ZAGREBU
FAKULTET PROMETNIH ZNANOSTI

DIPLOMSKI RAD

**OPTIMIZACIJA DISTRIBUCIJSKE MREŽE PRIMJENOM
MATEMATIČKIH METODA**

**DISTRIBUTION NETWORK OPTIMIZATION BY
APPLICATION OF MATHEMATICAL METHODS**

Mentor: dr.sc. Tomislav Rožić

Student: Domagoj Maretić

JMBAG: 0135228577

Zagreb, svibanj 2018.

SAŽETAK

Tvrtke robu mogu distribuirati vlastitim voznim parkom ili preko vanjskog pružatelja logističkih usluga, odabir prije svega ovisi o mogućnostima i visini troškova. Cilj je da proizvod bude dostupan kupcu u pravo vrijeme, na pravom mjestu uz što niže troškove. U svrhu optimizacije distribucijske mreže provedeno je istraživanje i analiza postojeće distribucijske mreže na primjeru distribucijske tvrtke Quehenberger Hrvatska d.o.o. U ovom radu opisat će se i prikazati princip izračuna nekoliko matematičkih metoda koje služe za projektiranje ruta na postojećoj distribucijskoj mreži. Uz projektiranje ruta, navedene metode mogu služiti i u svrhu optimizacije na način da se već postojeće rute određene iskustveno, projektiraju pomoću matematičkih metoda te uz usporedbu i analizu rezultata ponude optimalno rješenje, odnosno mogućnost najkraćeg puta.

Ključne riječi: Distribucijska mreža, optimizacija, matematičke metode, rute.

SUMMARY

Companies can distribute their goods by their own fleet or through an external logistic service provider and the choice depends primarily on the possibilities and the amount of costs. Objective is to make the product available to the customer at the right time, in the right place with the lowest possible costs. For the purpose of optimizing the distribution network, research and analysis of the currently distribution network was conducted on the example of the distribution company operating in the territory of the Republic of Croatia. This paper describes and presents calculation of several mathematical methods which are used for routes design on the existing distribution network. Along with route projecting, mathematical methods can serve as an optimization, along with current routes that are set by experience, and projected with methods, comparison and analysis that offer optimal solution, nevertheless the possibility of the shortest path.

Key words: Distribution network, optimization, mathematical methods, routes.

Sadržaj

| | |
|---|-----|
| 1. UVOD | 1 |
| 2. OPĆENITO O DISTRIBUCIJI | 4 |
| 3. PROBLEMATIKA ISTRAŽIVANJA | 10 |
| 3.1. Općeniti prikaz planiranja ruta kretanja vozila..... | 13 |
| 3.2. Planiranje ruta kretanja vozila na primjeru tvrtke Quehenberger Hrvatska d.o.o | 15 |
| 4. PROJEKTIRANJE RUTA NA DISTRIBUCIJSKOJ MREŽI | 17 |
| 4.1. Clark-Wright-ov algoritam ušteda | 17 |
| 4.2. Clark-Wright-ov algoritam ušteda – metoda s indikatorom T | 24 |
| 4.3. Metoda grananja i ograničavanja..... | 31 |
| 4.4. Metoda najbližeg susjeda..... | 41 |
| 4.5. Christofides-ov algoritam | 46 |
| 5. ANALIZA I PROJEKTIRANJE RUTA | 48 |
| 5.1. Rute na području Sjeverne Hrvatske | 48 |
| 5.1.1. Ruta HR-43627 | 48 |
| 5.1.2. Ruta HR-43689 | 69 |
| 5.1.3. Ruta HR-43753 | 74 |
| 5.1.4. Ruta HR-43472 | 80 |
| 5.1.5. Ruta HR-43882 | 85 |
| 5.1.6. Ruta HR-43881 | 91 |
| 5.2. Rute na području Slavonije..... | 98 |
| 5.2.1. Ruta HR-43344 | 99 |
| 5.2.2. Ruta HR-43827 | 104 |
| 5.2.3. Ruta HR-43761 | 111 |
| 5.2.4. Ruta HR-43365 | 118 |
| 5.1.5. Ruta HR-43443 | 130 |
| 5.2.6. Ruta HR-43960 | 138 |

| | |
|-------------------------------|-----|
| 6. REZULTAT ISTRAŽIVANJA..... | 147 |
| 8. ZAKLJUČAK | 157 |
| LITERATURA..... | 159 |
| POPIS KRATICA | 160 |
| POPIS SLIKA | 161 |
| POPIS TABLICA..... | 163 |
| POPIS GRAFIKONA | 165 |

1. UVOD

Distribucija predstavlja treću fazu opskrbnog lanca, a uključuje veleprodajne i maloprodajne trgovce, logističke operatere, prijevoznike i druge subjekte koji zajednički tvore distribucijsku mrežu. Za percepciju potrošača o proizvodu ili usluzi, distribucija je najvažnija faza opskrbnog lanca jer predstavlja vezu prema kupcima, preko koje oni doživljavaju funkcioniranje opskrbnog lanca u cjelini. Transport ili prijevoz u troškovima distribucije sudjeluje između 55 i 60%, a povezuje mjesta isporuke i distribucijsku mrežu. Dostupnost proizvoda kupcima, odnosno korisnicima u znatnoj mjeri ovisi o učinkovitosti prijevoznog procesa. Transport je onaj dio opskrbnog lanca koji je najčešće pružan od strane vanjskog pružatelja logističkih usluga.

Korištene matematičke metode opisane u radu temelje se na problemu trgovačkog putnika, odnosno krajnji cilj metodama je krenuti iz izvorišta, obići svaku lokaciju samo jednom te se vratiti u izvorište uz što kraću udaljenost puta. Metode koje će se koristiti pri projektiranju ruta, odnosno optimizaciji distribucijske mreže su: *Clark-Wright-ov algoritam „ušteta“*, *metoda s indikatorom T*, *metoda grananja i ograničavanja*, *metoda najbližeg susjeda* i *Christofides-ov algoritam*. Kao osnovne metode optimizacije distribucijske mreže koristit će se *Clark-Wright-ov algoritam „ušteta“*, *metoda s indikatorom T*, a za usporedbu dobivenih rezultata sljedeće metode: *metoda grananja i ograničavanja*, *metoda najbližeg susjeda* i *Christofides-ov algoritam*. Metode će biti detaljno opisane i njihov postupak izračuna prikazan na primjerima.

Kroz rad će biti prikazana analiza distribucije, odnosno ruta logističke tvrtke Quehenberger Hrvatska d.o.o., koja djeluje na području Republike Hrvatske, uz mogućnost optimizacije, što doprinosi smanjenju troškova. Iz baze podataka navedene tvrtke izdvojeno je dvanaest ruta detaljnije opisanih u poglavlju pet. Šest ih pripada području Sjeverne Hrvatske, a ostalih šest ruta nalazi se na području Slavonije. Proces optimizacije odvija se na način da se za postojeće narudžbe za koje nisu evidentirani podaci o redoslijedu obilaska lokacija, odnosno nije zabilježena ruta opskrbe, projektiraju nove rute pomoću matematičkih metoda. Za svaku narudžbu projektirat će se ruta prema svakoj od navedenih metoda te će se nakon završetka projektiranja usporediti dobiveni rezultati. Obzirom da sve metode ne nude jednako rješenje, usporedbom rezultata dobit će se optimalno, najbolje rješenje, koje će se koristiti u izračunu troškova distribucije.

Vrste teretnih vozila koja distribuiraju robu podijeljene su na pet tipova ovisno o veličini, nosivosti i volumenu. Tvrtka vozila u najmu plaća prema prijedenoj udaljenosti, odnosno prijeđenim kilometrima, stoga se izračunom najkraćeg puta, smanjuje trošak distribucije. U radu će biti prikazana usporedba troškova nakon projektiranih ruta za područje Sjeverne Hrvatske gdje je trošak distribucije definiran prema prijeđenim kilometrima i za područje Slavonije, gdje je trošak distribucije definiran prema paletnom mjestu. Kao rezultat usporedbe projektiranja ruta odredit će se isplativost pojedinog sustava naplate za navedena područja. Prikazat će se rezultati optimizacije i prijedlog rješenja u slučaju većih troškova distribucije nego su to bili prije izračuna.

Rad je koncipiran u sedam poglavlja. U drugom poglavlju definira se pojam i svrha distribucije te dva osnovna oblika distribucije, neposredna (direktna) i posredna (indirektna) distribucija te odnos njihovih troškova. Pojašnjen je pojam transporta, troškovi i kriteriji prilikom odluke o korištenju vlastitog transporta ili transporta od strane vanjskog pružatelja logističkih usluga.

Sadržaj trećeg poglavlja sastoji se od prikaza tipova i opisa vozila koja distribuiraju robu, zatim opis i podjela područja i ruta distribucije koja su predmet ovog rada. Općeniti prikaz planiranja ruta, kao i ciljevi i problemi prilikom planiranja, također su dio ovog poglavlja. U poglavlju problematike istraživanja dani su prijedlog i način optimizacije, odnosno izračun troškova distribucije.

Detaljan opis matematičkih metoda nalazi se u poglavlju četiri. Kao temelj, opisan je problem trgovačkog putnika, zatim opći *Clark-Wright-ov algoritam ušteda* te *Clark-Wright-ov algoritam ušteda kod metode s indikatorom T*, *metoda grananja i ograničavanja*, *heuristika najbližeg susjeda* i *Christofides-ov algoritam* u računskom i grafičkom obliku. Svaka metoda je teorijski opisana, prikazani su koraci inicijalizacije algoritama, odnosno metoda i postupak izračuna svake od metoda prikazan je na primjerima.

U petom poglavlju prikazani su izračuni projektiranja ruta matematičkim metodama na primjeru distribucijske mreže tvrtke Quehenberger Hrvatska d.o.o.

U šestom poglavlju prikazani su i uspoređeni rezultati projektiranja ruta i izračun troškova distribucije. Uspoređena su rješenja izračuna ruta i odabrano je optimalno rješenje koje se koristi kod izračuna ukupnog troška. Prikazani su rezultati za područje Sjeverne

Hrvatske i za područje Slavonije te je odabrano najbolje rješenje za pojedino područje koje bi bilo isplativo prilikom distribucije.

Posljednje poglavlje je osvrt na sva navedena poglavlja te zaključak o procesu optimizacije i dobivenim rezultatima.

2. OPĆENITO O DISTRIBUCIJI

Distribucija je faza u opskrbnom lancu koja slijedi proizvodnju dobara od trenutka njihove komercijalizacije do isporuke kupcima, odnosno krajnjim potrošačima. Distribucija također podrazumijeva djelotvoran prijenos dobara (roba ili usluga) od mjesta proizvodnje do mjesta potrošnje uz minimalne troškove i odgovarajuću razinu zadovoljenja zahtjeva kupaca.

Osnovna svrha distribucije kao djelatnosti je omogućiti visoku razinu dostupnosti proizvoda ili usluga potrošačima, u odgovarajućoj količini i asortimanu, u odgovarajućem vremenu i rokovima te na odgovarajućem mjestu [1].

Distribucija omogućava stavljanje robe na raspolaganje potrošačima na način i prema uvjetima koji najbolje odgovaraju njihovim zahtjevima. Temeljni i elementarni zadaci distribucije su: omogućiti brze, sigurne i racionalne tokove roba od proizvodnje do potrošnje na način da se prostorno i vremenski usklađuju proizvodnja i potrošnja, da se povećava sposobnost robe za promet i omogućiti neprekidno kolanje robe, zatim da je proizvodnja usmjerena prema potrebama potrošnje, da se djeluje na plasman novih proizvoda te da distribucija utječe na promjenu potrošačkih navika i kultura i da se štite interesi potrošača [2].

Obzirom na način (tehnologiju) postoje dva osnovna oblika distribucije [1]:

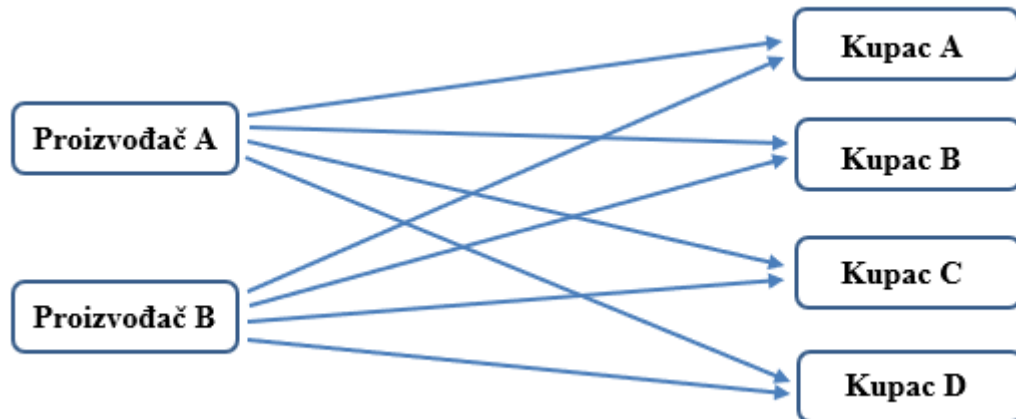
Neposredna distribucija – distribucija bez posrednika, odnosno direktna ili ambulatna dostava robe. Karakteristična je za proizvodnu potrošnju, dok se roba konačne potrošnje kreće kroz dvije ili više faza distribucije, odnosno više posrednika. Neposredna distribucija predstavlja najjednostavniji oblik distribucije jer u navedenom obliku izravno kontaktiraju proizvođač i potrošač kao što je prikazano na slici 1.

Prednosti neposredne distribucije su:

- ukupne zalihe,
- broj dostava,
- broj dokumenata,
- rok isporuke,
- logistički troškovi,
- niži troškovi skladištenja.

Nedostaci neposredne distribucije:

- dostupnost robe na polici,
- kontrola/upravljivost



Slika 1. Prikaz neposredne (direktne) distribucije, [1]

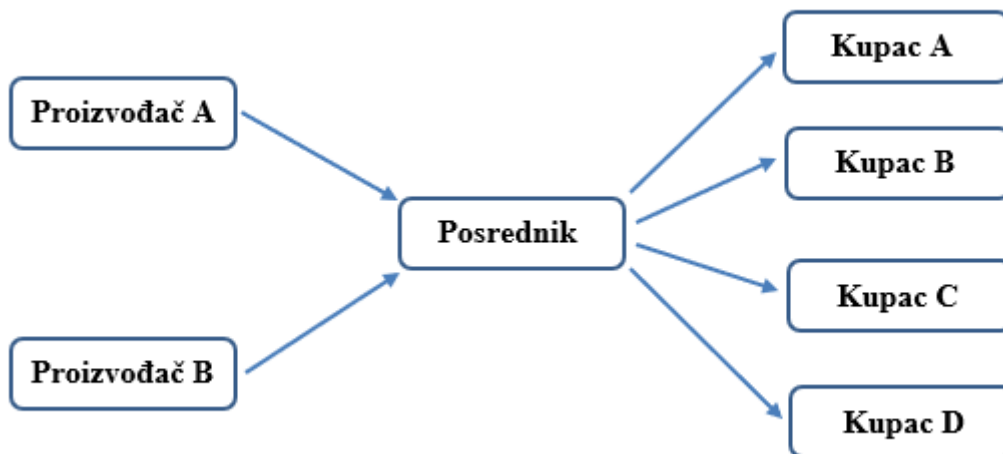
Posredna distribucija – Oblik distribucije koji se sastoji od kanala distribucije ili marketinških kanala čiji je zajednički cilj olakšati prijenos robe i vlasništva od proizvođača do kupca (slika 2). Prednosti i nedostaci kod posredne distribucije suprotni su od prednosti i nedostataka kod neposredne distribucije.

Prednosti posredne distribucije su:

- dostupnost robe na polici
- kontrola/upravljivost

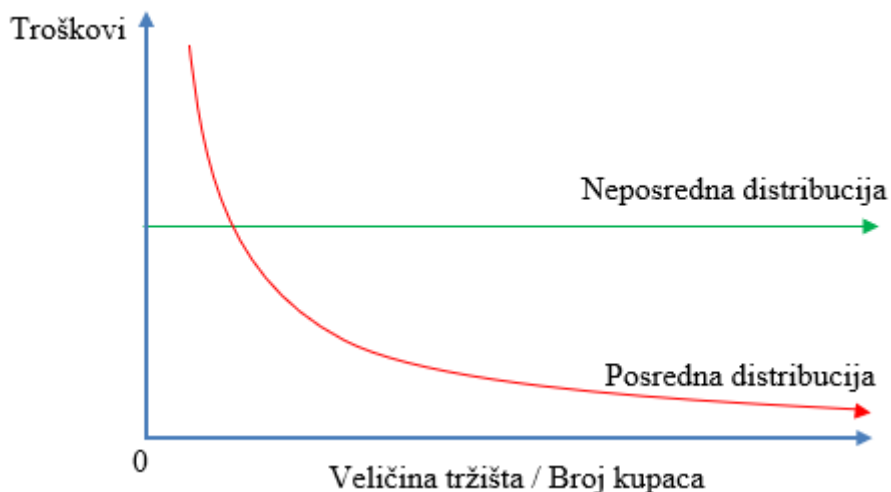
Nedostaci posredne distribucije su:

- ukupne zalihe,
- broj dostava,
- broj dokumenata,
- rok isporuke,
- logistički troškovi.



Slika 2. Prikaz posredne (indirektne) distribucije, [1]

Grafikon 1. prikazuje prosječno ponašanje troškova kod direktne odnosno neposredne distribucije i kod distribucije s posrednicima, tj. posredne distribucije. Na malim tržištima kod posredne distribucije troškovi su vrlo visoki, s povećanjem tržišta, broja kupaca, troškovi se naglo smanjuju. Troškovi kod neposredne distribucije uvijek su konstantni neovisno o veličini tržišta, odnosno broju kupaca.



Grafikon 1. Odnos troškova neposredne i posredne distribucije, [3]

Distribucijska mreža može biti organizirana i upravljana od strane pojedine tvrtke koja obavlja centralnu distribuciju, ali isto tako tvrtka sve potrebne resurse može unajmiti od vanjskog pružatelja logističkih usluga¹.

¹ Pojam poznatiji kao *outsourcing*

Transport predstavlja vezu između proizvodnje i opskrbe tržišta, odnosno pojedinih karika u opskrbnom lancu. Transport omogućuje opskrbu proizvođača sirovinama, poluproizvodima i reprodukcijским materijalima, a zatim i prijevoz gotovih proizvoda prema mjestima potrošnje [4].

Transportna funkcija uključuje sljedeće elemente: ukrcaj tereta, prijevoz i iskrcaj. Transport se koncipira i ovisno o vrijednosnoj gustoći proizvoda, pri čemu vrijedi načelo da transport roba niske vrijednosti gustoće ne smije imati visoku vrijednost, odnosno cijenu [4].

Pitanje izbora vlastitog ili vanjskog (tuđeg) transporta strategijsko je i dugoročno. Kod odlučivanja o vlastitom ili vanjskom transportu u obzir treba uzeti [4].:

- troškove investicije u vlastiti vozni park,
- tekuće troškove,
- ostala davanja.

Prosudba se kod investicijskih ulaganja daje na temelju investicijskog računa, analize korisnost/vrijednost i načelnih razmatranja odluke *proizvesti ili nabaviti*. Prilikom izračuna potrebno je obuhvatiti troškove uređenja garaža, mjesta zaustavljanja i vlastitih uređaja za točenje goriva i slično [4].

Tekući troškovi odnose se na sljedeće:

- pogonski materijal,
- gorivo, mazivo,
- troškove čuvanja,
- troškove održavanja,
- poreze na vozila,
- troškove osoblja,
- otpise vozila i građevinskih objekata,
- otpise potrošenih dijelova, odnosno drugačije obuhvaćanje troškova dijelova,
- kamate,
- troškove rizika,
- udio troškova uprave i rukovođenja.

Davanja se u prvom redu odnose na licencije, takse za korištenje cesta, takse pri prijelazu granica, itd.

Navedene troškove trebalo bi dobiti temeljem izračuna troškova prema vrstama i mjestima i dodijeliti ih pojedinim nositeljima troškova. Izračun se treba izvesti tako da se može usporediti s kalkulacijskom jedinicom prijevoznika, logističkog operatera. Prilikom usporedbe troškova vlastitog i vanjskog transporta treba uzeti u obzir da li uključeni prijevoznik izvodi samo transportne usluge ili i druge logističke usluge [4].

Ostali kriteriji prilikom odlučivanja za vlastiti ili za vanjski transport koje treba uzeti u obzir su [4]:

- *know-how*,
- ovisnost,
- uspješnost vlastitog voznog parka,
- porezne olakšice i subvencije.

Dakle, potrebno je razmotriti posjeduju li postojeći suradnici tražena znanja i mogućnosti za provođenje transporta u potpunosti. Jednako tako, potrebno je istražiti u kolikoj bi mjeri tvrtka bila ovisna o ostalima i kakve bi negativne posljedice mogle nastupiti. Također potrebno je istražiti s kakvim bi stupnjem djelovanja oglašavanja mogao polaziti vlastiti vozni park, ovisno o tome kakav je marketing. Porezne olakšice i subvencije potrebno je uzeti u obzir ukoliko se već nisu razmatrale prilikom rasprave o troškovima, ukoliko se upotrebljavaju određena transportna sredstva, odnosno ako se određenim rutama daje prednost i slično [4].

Kod odluka vezanih uz transport robe, razlikuju se: Izbor transportnih sredstava i planiranje ruta.

Izbor transportnog sredstva utječe na cijenu robe, točnost isporuke i na stanje robe pri njezinom dospijeću. Obzirom na navedene faktore, izbor transportnog sredstva utječe i na zadovoljstvo kupca, potrošača te mu treba dati veliko značenje.

Kod izbora transportnog sredstva u obzir treba uzeti sljedeće kriterije [4]:

- pravne,
- infrastrukturne,
- troškovne,
- učinkovitosti.

Kod pravnih kriterija valja uzeti u obzir i zakonsku regulativu pojedinog prometnog sustava, zabrane vožnje u određeno vrijeme, zakonske propise o prijevozu opasnih i štetnih tvari, mogućnost utjecaja države na oblikovanje tarifa i sl. [4].

Pri izboru transportnih sredstava bitna je i infrastruktura i njezini čimbenici, npr.: cestovna i željeznička mreža, položaj i lokacija, industrijska politika, stavovi stanovništva, itd.

Kod kriterija troškova potrebno je u obzir uzeti troškove prijevoza tereta, dodatne transportne troškove (takse za korištenje cesta, lučke pristojbe, pristojbe za korištenje prostora, carine), troškove rukovanja, konvencionalne kazne kod ne pridržavanja rokova nabave, troškove radi nastalog gubitka na imidžu i sl.

Kod kriterija učinkovitosti bitni su: tehnička pogodnost transportnog sredstva, pouzdanost, vrijeme transporta, učestalost transporta, fleksibilnost, itd. [4].

3. PROBLEMATIKA ISTRAŽIVANJA

Prijevoz u tvrtki Quehenberger Hrvatska d.o.o. odvija se u službi vanjskog pružatelja usluga, odnosno kao *outsourcing* ili 3PL². Tvrtka je u kontaktu s većim brojem prijevoznika te ih odabire ovisno o visini cijene prijevoza. U nastavku se nalaze tipovi vozila koji se koriste prilikom distribucije ovisno o količini i vrsti tereta. Detaljnije će se objasniti načini prijevoza, tj. prevozi li se roba na paleti ili kao koleto. Koleto je jedinica tereta, odnosno komadni teret, sanduk, paket, paleta i sl. Prilikom izračuna, teret manje mase može se, ali i ne mora prevoziti na paleti, prikazuje se kao koleto te se stoga može uštedjeti prostor u vozilu na način da se veća količina manje mase složi na jednu paletu. Cijena najma svakog vozila je cijena koju tvrtka Quehenberger Hrvatska d.o.o. plaća prijevoznicima. Prikazana je nosivost vozila, broj Euro-paleta (EUP, dimenzija 1200 x 800 mm, nosivosti 1500 kg) koje vozilo može prevoziti, dimenzije teretnog prostora vozila i cijena najma vozila po prevezenom kilometru. Vozila će biti označena oznakama „tip 1“, „tip 2“, „tip 3“, itd. prema veličini, radi lakšeg izračuna u nastavku:

tip 1: Kombi vozilo → 1,5 tona nosivosti → 6 EUP

Dimenzije: 4000 x 2000 x 1900 → $V = 17 \text{ m}^3$

Cijena prijevoza: 2,5 kn/km,



Slika 3. Kombi vozilo, [5]

² 3PL operater, eng. *Third Party Logistic Operator*, Vanjski pružatelj logističkih usluga

tip 2: Dostavno vozilo → 3,5 tona nosivosti → 14 EUP

Dimenzije: 6000 x 2480 x 2400 → $V = 40 \text{ m}^3$

Cijena prijevoza: 4 kn/km,



Slika 4. Dostavno vozilo (3,5 tona), [5]

tip 3: Dostavno vozilo → 5 tona nosivosti → 16 EUP

Dimenzije: 7100 x 2400 x 2400 → $V = 40 \text{ m}^3$

Cijena prijevoza: 4 kn/km,



Slika 5. Dostavno vozilo (5 tona), [5]

tip 4: Dostavno vozilo → 7 tona nosivosti → 18 EUP

Dimenzije: 7460 x 2480 x 2300 → $V = 44 \text{ m}^3$

Cijena prijevoza: 5 kn/km,



Slika 6. Dostavno vozilo (7 tona), [5]

Tip 5: Dostavno vozilo → 12 tona nosivosti → 22 EUP

Dimenzije: 8800 x 2500 x 2600 → $V = 60 \text{ m}^3$

Cijena prijevoza: 6 kn/km



Slika 7. Dostavno vozilo (12 tona), [5]

Radi jednostavnijeg prikaza i razumijevanja cjelokupnog procesa optimizacije, obuhvaćeno područje podijeljeno je na dva dijela prema području distribucije, Sjevernu Hrvatsku i Slavoniju. Početna, a ujedno i završna točka svake rute je skladišni centar u gradu Zagrebu. Iz skladišnog centra u Zagrebu započinje proces distribucije prema gradovima i mjestima u pojedinoj regiji. Odabrani broj ruta za koje će se vršiti distribucija, odnosno rute za odabir najkraćeg puta te redosljed obilaska mjesta i gradova kako bi se dobilo konačno rješenje, jednak je i za Sjevernu Hrvatsku i za Slavoniju radi jednostavnijeg i preciznijeg prikaza rješenja.

3.1. Općeniti prikaz planiranja ruta kretanja vozila

Za tvrtke koje proizvode šalju na veći broj skladišta ili većem broju kupaca, potrebno je planirati rute kretanja vozila. Kod planiranja ruta koristi se termin „problem trgovačkog putnika“ (*traveling salesman problem*) i radi se o simultanom planiranju velikog broja ruta. Ujedno, „problem rasporeda vozila“ (*vehicle scheduling problem*) predstavlja jedinstveno planiranje prijevoznih ruta.

Standardni problem planiranja ruta može se prikazati na sljedeći način:

Iz jednog se distribucijskog centra unutar određenog planskog vremenskog razdoblja roba dostavlja određenim čvorištima (potrošačima, kupcima u velikim gradovima ili većem broju kupaca). Potreba čvorišta može se pokriti jednom pošiljkom. Plan ruta potrebno je spojiti kao jednu količinu ruta, koju uvijek svladava jedno vozilo, polazeći od distribucijskog centra i završavajući u distribucijskom centru. Pri tome se svakom potrošaču, odnosno kupcu dostavlja jednom rutom, a teret svake rute mora biti jednak ili manji od kapaciteta jednog vozila [1].

Planiranje ruta slijedi ove ciljeve [1]:

- minimiziranje transportnih putova,
- minimiziranje vremena transporta,
- minimiziranje proporcionalnih troškova,
- minimiziranje broja vozila.

Osnovni problem planiranja ruta sastoji se od dva dijela, no između ostalog javljaju se i ostali problemi koji otežavaju planiranje.

Problemi se dijele na temeljne i dodatne probleme. Dijelovi osnovnog, temeljnog problema odnose se na [1];

- dodjeljivanje kupaca za pojedine rute,
- utvrđivanje redosljeda kupaca unutar rute.

Dodatni problemi koji otežavaju planiranje ruta [1]:

- ograničeni kapaciteti (dimenzije težine i volumena, jedinica količine narudžbi i kapaciteta vozila se razlikuju te svaka za sebe može djelovati ograničavajuće, a i trajanje pojedine rute može biti vremenski ograničeno temeljem zakonskih propisa),
- različit vozni park (u temeljnom procesu polazi se od neograničenog broja jednakih vozila),
- vremenski okvir kupaca (prilikom isporuke često treba paziti na kratko vrijeme prihvata robe kod kupca, stoga je potrebno uzeti u obzir najranije i najkasnije vrijeme do kada pošiljka treba stići do kupca),
- okviri za vozila (pojedina vozila na raspolaganju mogu biti u različitom vremenu),
- višestruko uvođenje vozila po danu (pojedino vozilo može dnevno izvršiti više ruta).

Planiranje ruta može se provoditi za dvije različite situacije:

- za dnevne rute,
- za standardne rute.

Prilikom planiranja dnevnih ruta, postoje narudžbe za jedan dan, koje se planiranjem prethodne večeri ili početkom idućeg dana mogu uključiti u izvršenje ruta. Planiranje standardnih ruta može se provesti u većim razmacima. Temelj su tipični programi narudžbi. Navedeni postupci imaju smisla kod ruta koje ostaju relativno iste, s malim kolebanjima programa narudžbi [1].

Generalni problem planiranja ruta uvjetuje velike napore u planiranju ruta i izračunima istih. Stoga se praksa zadovoljava i približnim rješenjima. Prošireni postupci su:

- postupci najboljeg sljedbenika,
- sukcesivno uključivanje stanica,
- *Saving* – postupci (najbolje djelomične rute).

Informacijska tehnologija bitno je doprinijela usavršavanju, ali i proširenju matematičkih postupaka planiranja ruta. U praksi se nude brojni softverski programi za planiranje ruta kao što su npr.: *OptiMap*, *WINQSB*, *Route planner-Michelin*, *TomTom My drive*, *MapQuest* i mnogi drugi. Djelomični problemi oblikovanja ruta rješavaju se sukcesivno ili simulacijom (npr. *Saving* postupci) [1].

3.2. Planiranje ruta kretanja vozila na primjeru tvrtke Quehenberger Hrvatska d.o.o

Planiranje ruta tvrtke Quehenberger Hrvatska d.o.o. odvija se na temelju iskustva disponenta za planiranje. Disponent u obzir uzima čimbenike kao što su: trošak prijevoza, vrijeme dostave i kapacitet vozila. Također potrebno je uzeti u obzir i prijevoznika koji obavlja distribuciju na željenom području. Uz pomoć programa za odabir najkraćeg puta, *Optimap* te *Google* karata, disponent odredi redoslijed obilaska dostavnih mjesta i put kojim prijevoznik obavlja distribuciju. Naplata distribucije može biti ili prema paleti u dotovaru, odnosno prema paletnom mjestu ili prema prijeđenim kilometrima u najmu vozila. Obzirom da se sadržaj ovog rada odnosi na matematičke metode za izračun i odabir najkraćeg puta, koristit će se financijski prikaz naplate prijevoza tvrtke Quehenberger Hrvatska d.o.o., a to je naplata prema prijeđenim kilometrima, odnosno prema cijenama ranije navedenim za svaki tip vozila i prema paletnim mjestima.

Prijedlog za optimizaciju distribucijske mreže je taj da se pomoću matematičkih metoda, odnosno algoritama za projektiranje ruta i dobivanja najkraćeg puta smanje troškovi distribucije. Obzirom da se trošak prijevoza zasniva na prijeđenim kilometrima, određivanjem najkraćeg puta pomoću navedenih metoda smanjila bi se udaljenost u odnosu na postojeću te bi se na jednak način smanjili troškovi transporta ovisno o prijeđenim kilometrima.

U teoriji postoji poprilično veliki broj metoda i algoritama za izračun najkraćeg puta i za usmjeravanje (rutiranje) ili projektiranje ruta vozila. U ovom radu koristit će se sljedeće odabrane metode: *Clark-Wright-ov algoritam ušteda*, *metoda s indikatorom T* kao osnovne metode, te *metoda grananja i ograničavanja*, *metoda najbližeg susjeda* i *Christofides-ov algoritam* za usporedbu dobivenih rezultata dobivenih osnovnim metodama. Najkraći put za dvanaest odabranih ruta izračunat će se prema navedenim metodama te će se usporediti dobiveni rezultati, kako bi se odredilo najbolje rješenje i metoda ili metode koje daju najbolje rješenje. Optimizacija će se odvijati na način da se za početak izdvoji jedna od ruta, a zatim

prikažu sve međusobne udaljenosti između čvorova unutar rute. Prema međusobnim udaljenostima izračunava se najkraći put na različiti način ovisno o metodi. Nakon usporedbe rezultata, odabire se najmanja udaljenost. Iz podataka o narudžbi, osim dostavnih lokacija, vidljiva je količina tereta u količinskom obliku i kao masa tereta te potrebno vrijeme dostave. Prema podacima o masi i količini tereta, odabire se jedan od navedenih tipova vozila za transport ovisno o masenom i volumenskom udjelu tereta. Nakon odabranog tipa vozila, prema dobivenoj udaljenosti najkraćeg puta i cijeni najma prema prijeđenom kilometru za vozilo dobije se trošak prijevoza za jednu rutu. Osim izračuna troška prema prijeđenom kilometru, odnosno trošak najma vozila, izradit će se kalkulacija troškova prema paletnom mjestu, jer cijena prijevoza jedne palete u navedenoj tvrtki iznosi 180 kn. Nakon navedenog izračuna, usporediti će se troškovi najma vozila i troškovi prema paletnom mjestu te će se odabrati bolje rješenje za određenu rutu, odnosno regiju.

4. PROJEKTIRANJE RUTA NA DISTRIBUCIJSKOJ MREŽI

U nastavku će se opisati matematičke metode koje će se koristiti prilikom projektiranja ruta, odnosno optimizacije distribucijske mreže. Na primjerima će biti prikazan postupak izračuna najkraćeg puta za metode: *Clark-Wright-ov algoritam ušteta*, *metoda s indikatorom T*, *metoda grananja i ograničavanja*, *metoda najbližeg susjeda* i *Christofides-ov algoritam*.

4.1. Clark-Wright-ov algoritam ušteta

Dantzig i Ramser razvili su i predložili matematičku interpretaciju i algoritam za rješavanje problema usmjeravanja vozila (eng. *Vehicle Routing Problem* - VRP). Kasnije su, točnije 1964., Clark i Wright predložili poboljšanje Dantzig-Ramserove metode pomoću konstrukcije ruta, koristeći heuristička rješenja koja koriste „pohlepne³“ algoritme. Model Clark i Wright-a koristi se i danas zbog svoje jednostavnosti i univerzalnosti.

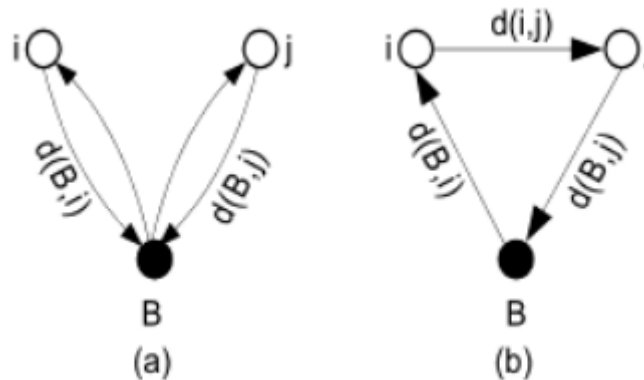
Osnovna ideja *Clark-Wright-ovog algoritma* (1964.) izložena je prilikom razmatranja problema trgovačkog putnika. Ovaj algoritam je jedan od najčešće primjenjivanih heurističkih pristupa rješavanja zadataka problema usmjeravanja vozila, u literaturi poznato kao VRP. Algoritam polazi od početnog rješenja u kojem se nalazi $n-1$ ruta koje se formiraju na način da se po jedno vozilo upućuje iz baze, odnosno skladišta do jednog potrošača te se vraća u skladište, početnu točku. Zatim se interaktivno, iz koraka u korak spajaju po dvije putanja koje donose najveću uštedu, a da pritom zadovoljavaju ograničenja zadataka algoritma [6].

Clark-Wright-ova metoda razvijena je za problem usmjeravanja vozila s ograničenim kapacitetom u literaturi poznato kao CVRP (eng. *Capacitated Vehicle Routing Problem*), Problem usmjeravanja vozila s ograničenjima kapaciteta. Algoritam započinje od rješenja gdje svaka ruta ima jedno skladište i jednog korisnika. Cilj svake pojedine iteracije algoritma jest sjedinjavanje dviju ruta prema kriteriju maksimalne uštete, odnosno kriterij gdje se odabiru uštete udaljenosti dobivene pomoću formule (4), rangirane od najveće prema najmanjoj. Redosljedom se odabiru dobivene uštete uz zadovoljenje određenih uvjeta prilikom projektiranja ruta. Kasnije u radu, detaljnije je objašnjen način izračuna i odabira ušteta.

³ Pohlepni (*greedy*) algoritmi generiraju rješenje promatranog problema u proceduri „*korak po korak*“. Pohlepni ili proždrljivi algoritmi u svakom koraku biraju odgovarajuću promjenljivu vrijednost tako da maksimalno moguće u okviru tog koraka povećaju, odnosno smanje trenutnu vrijednost definirane kriterijske funkcije.

Algoritam se izvršava u vremenu složenosti $O(n^2 \log(n))$, ali kompleksnost algoritma može se reducirati koristeći prikladne podatkovne strukture. Algoritam implicitno ne uvažava fiksne troškove vozila i veličinu flote. Uključenje troškova vozila moguće je dodavanjem konstante na svaku cijenu luka, odnosno rute kretanja vozila. Unatoč povećanju troška može se postići rješenje i s fiksnim brojem vozila [7].

Čvor B na slici označava polazni čvor te čvor u koji se vozilo ili drugi entitet vraća.



Slika 8. Izračunavanje ušteta, [6]

Na slici 8. (a), prikazana je prva moguća strategija kretanja vozila. Vozilo kreće iz baze (čvor B) te posjećuje čvor i , vraća se u bazu, posjećuje čvor j i ponovno se vraća u bazu. U ovom slučaju ukupna udaljenost uz pretpostavku ($d(i, j) = d(j, i)$ za $\forall(i, j)$), jednaka je formuli (1) [6]:

$$2d(B, i) + 2d(B, j) \quad (1)$$

Gdje je: d = udaljenost

B = početni i završni čvor (baza)

i = prvi čvor u grani

j = drugi čvor u grani

Slika 8. (b) prikazuje poboljšanu strategiju kretanja vozila. U slučaju strategije kretanja prikazane na slici 8. (b), ukupna udaljenost jednaka je formuli (2) [6]:

$$d(B, i) + d(i, j) + d(B, j) \quad (2)$$

Ušteda $s(i, j)$ koju vozilo ostvaruje kada čvorove i i j spoji u jednu rutu, slika 8. (b) jednaka je formuli (3) [6]:

$$S(i, j) = 2d(B, i) + 2d(B, j) - (2d(B, i) + d(i, j) + d(B, j)) \quad (3)$$

Odnosno, kada se formula (3) uredi, dobije se (4):

$$S(i, j) = d(B, i) + d(B, j) - d(i, j) \quad (4)$$

Veća vrijednost uštede $s(i, j)$, pokazatelj je da je čvorove i i j najbolje spojiti u jednu rutu.

Postupak izvršavanja *Clark-Wright-ovog algoritma* u ovom slučaju podijeljen je na dva glavna koraka koji se dijele na dodatan broj koraka. Algoritam započinje konstrukcijom i određivanjem svih međusobnih udaljenosti između lokacija, zatim izračun ušteda prema formuli (4), nakon toga sortiranje ušteda od najveća prema najmanjoj [8]:

1. Inicijalizacija:

1. Konstruirati elementarne rute $(0; i; 0) \forall i = 1, \dots, n$ i odrediti dužinu svih ruta (5)

$$F = \sum_{i \in c} d_{0i} + d_{i0} \quad (5)$$

2. Izračunati uštede $S_{ij}, \forall (i, j) \in L$ prema formuli (6):

$$S_{ij} = d_{i0} + d_{0j} - d_{ij}, \forall (i, j) \in L \quad (6)$$

3. Sortirati uštede od najveće prema najmanjoj.

Nakon izvršenih radnji, započinje konstrukcija ruta uz zadovoljenje određenih uvjeta koji su navedeni u nastavku:

2. Za svaki element sortirane liste ušteda S_{ij} :

1. Odrediti:

- da li su i i j u različitim rutama prvi ili posljednji čvorovi,
- da li je zbroj kapaciteta te dvije rute manji od kapaciteta vozila.

2. Ukoliko su uvjeti zadovoljeni, sljedeći korak je:

- povezati te dvije rute
- smanjiti ukupnu dužinu ruta za S_{ij} , tj. $F \leftarrow F - S_{ij}$,
- izračunati kapacitet nove rute kao zbroj kapaciteta ruta od kojih je ruta formirana,
- eliminirati grane starih ruta

Clark-Wright-ov algoritam „ušteta“ za projektiranje ruta transportnih sredstava može se prikazati i na sljedeći način [6]:

- Korak 1: Izračunati uštete $s(i, j) = d(B, i) + d(B, j) - d(i, j)$ za svaki par (i, j) čvorova koje je potrebno opslužiti.
- Korak 2: Izvršiti rangiranje svih ušteta te ih poredati po veličini. Izraditi listu ušteta koja započinje najvećom uštedom
- Korak 3: Pri razmatranju uštete $s(i, j)$ odgovarajuću granu (i, j) uključiti u djelomičnu rutu, ukoliko se pri tome ne krše postojeća operativna ograničenja i ukoliko:
- (a) Čvor i i čvor j već nisu uključeni u neku postojeću djelomičnu rutu,
 - (b) Je jedan od čvorova i ili j već uključen u neku postojeću djelomičnu rutu i ukoliko taj čvor nije unutarnji čvor u ruti,
 - (c) Su oba čvora i i j uključeni u dvije različite djelomične rute i niti jedan od navedenih čvora nije unutarnji čvor u tim rutama u kojem je slučaju moguće spojiti djelomične rute u jednu rutu.
- Korak 4: Kada je lista ušteta realizirana do kraja, potrebno je završiti s algoritmom.

Također postoje sekvencijalna i simultana metoda *Clark-Wright-ovog algoritma „ušteta“*. Prilikom korištenja sekvencijalne metode projektiranja ruta transportnih sredstava, rute se projektiraju na principu sekvence – jedna po jedna. Točnije, za početak se projektira početna, odnosno prva ruta, zatim se iz liste ušteta odabire najveća postojeća ušteta te se u potpunosti projektira druga ruta, nakon toga ponovni povratak u listu ušteta te ponavljanje prethodnog koraka. Kod verzije simultanog projektiranja istovremeno se vrši projektiranje svih ruta. Pri nailasku na par čvorova koji nije bio uključen niti u jednu postojeću rutu kod simultanog pristupa, vrši se „otvaranje“ nove rute (Kod sekvencijalnog pristupa ovakav par čvorova se „preskače“ te ostavlja za daljnja razmatranja, obzirom da se kod sekvencijalnog pristupa prolaskom kroz listu ušteta vodi računa o samo jednoj ruti). U slučaju simultanog pristupa, jednim prolaskom kroz listu ušteta izvršava se projektiranje svih ruta transportnih sredstava [6].

Primjer 1.:

Zadana je matrica međusobnih udaljenosti među gradovima. Potrebno je izračunati najkraći put između gradova, tako da svaka lokacija bude posjećena samo jednom te da početna točka, odnosno čvor ujedno bude i završna točka.

| | x_0 | x_1 | x_2 | x_3 | x_4 | x_5 | x_6 | x_7 |
|-------|----------|----------|----------|----------|----------|----------|----------|----------|
| x_0 | ∞ | 35 | 68 | 49 | 44 | 34 | 68 | 38 |
| x_1 | 35 | ∞ | 20 | 14 | 36 | 23 | 17 | 26 |
| x_2 | 68 | 20 | ∞ | 7 | 33 | 18 | 29 | 32 |
| x_3 | 49 | 14 | 7 | ∞ | 21 | 8 | 42 | 37 |
| x_4 | 44 | 36 | 33 | 21 | ∞ | 13 | 26 | 54 |
| x_5 | 34 | 23 | 18 | 8 | 13 | ∞ | 9 | 41 |
| x_6 | 68 | 17 | 29 | 42 | 26 | 9 | ∞ | 14 |
| x_7 | 38 | 26 | 32 | 37 | 54 | 41 | 14 | ∞ |

U prvom koraku potrebno je izračunati uštede $S(i, j)$ pomoću formule (4). Ušteda za prvu relaciju, od čvora x_1 do čvora x_2 računa se na način da se udaljenost od čvora x_1 do čvora x_2 iznosa 20 km oduzme od zbroja dviju udaljenosti, udaljenosti od početnog čvora x_0 do čvora x_1 koja iznosi 35 km i udaljenosti od početnog čvora x_0 do čvora x_2 duljine 68 km. Nakon izračuna, vrijednost uštede iznosi 83 km. Na jednak se način izračunavaju uštede za preostale kombinacije čvorova:

$$S_{12} = d(0,1) + d(0,2) - d(1,2) = 35 + 68 - 20 = 83 \text{ km}$$

$$S_{13} = 35 + 49 - 14 = 70 \text{ km}$$

$$S_{14} = 35 + 44 - 36 = 43 \text{ km}$$

$$S_{15} = 35 + 34 - 23 = 46 \text{ km}$$

$$S_{16} = 35 + 68 - 17 = 86 \text{ km}$$

$$S_{17} = 35 + 38 - 26 = 47 \text{ km}$$

$$S_{23} = 68 + 49 - 7 = 110 \text{ km}$$

$$S_{24} = 68 + 44 - 33 = 79 \text{ km}$$

$$S_{25} = 68 + 34 - 18 = 84 \text{ km}$$

$$S_{26} = 68 + 68 - 29 = 107 \text{ km}$$

$$S_{27} = 68 + 38 - 32 = 74 \text{ km}$$

$$S_{34} = 49 + 44 - 21 = 72 \text{ km}$$

$$S_{35} = 49 + 34 - 8 = 75 \text{ km}$$

$$S_{36} = 49 + 68 - 42 = 75 \text{ km}$$

$$S_{37} = 49 + 38 - 37 = 50 \text{ km}$$

$$S_{45} = 44 + 34 - 13 = 65 \text{ km}$$

$$S_{46} = 44 + 68 - 26 = 86 \text{ km}$$

$$S_{47} = 44 + 38 - 54 = 28 \text{ km}$$

$$S_{56} = 34 + 68 - 9 = 93 \text{ km}$$

$$S_{57} = 34 + 38 - 41 = 31 \text{ km}$$

$$S_{67} = 68 + 38 - 14 = 92 \text{ km.}$$

U drugom koraku potrebno je izvršiti rangiranje svih ušteda te ih poredati prema veličini, odnosno izraditi listu ušteda koja započinje najvećom uštedom. U tablici 1. nalaze se rangirane uštede, dobivene pomoću formule (4). Tablica je podijeljena na tri stupca, a svaki od stupaca podijeljen je na dva dijela. U lijevom dijelu svakog stupca nalaze se grane, odnosno relacije između čvorova, dok se u desnom dijelu nalaze vrijednosti istih.

Tablica 1. Lista rangiranih ušteda prema veličini

| Grana (<i>i,j</i>) | Ušteda <i>s(i,j)</i> | Grana (<i>i,j</i>) | Ušteda <i>s(i,j)</i> | Grana (<i>i,j</i>) | Ušteda <i>s(i,j)</i> |
|-------------------------------|---------------------------------|-------------------------------|---------------------------------|-------------------------------|---------------------------------|
| (2,3) | 110 | (1,2) | 83 | (4,5) | 65 |
| (2,6) | 107 | (2,4) | 79 | (3,7) | 50 |
| (5,6) | 93 | (3,5) | 75 | (1,7) | 47 |
| (6,7) | 92 | (3,6) | 75 | (1,5) | 46 |
| (1,6) | 86 | (2,7) | 74 | (1,4) | 43 |
| (4,6) | 86 | (3,4) | 72 | (4,7) | 28 |
| (2,5) | 84 | (1,3) | 70 | (5,7) | 31 |

Nakon što su uštede izračunate i rangirane kao u tablici 1., započinje sljedeći korak, odnosno projektiranje rute.

U trećem koraku započinje izrada rute prema rangiranim uštedama, uz zadovoljavanje navedenih ograničenja:

- Prema rangiranju, čvorovi najveće uštede predstavljaju i početak rute:

$$(2,3) \Rightarrow 0 \leftrightarrow 2 \leftrightarrow 3 \leftrightarrow 0$$

- Sljedeća ušteta po veličini sadrži čvorove **2** i **6**, obzirom da čvor **2** u ruti već postoji, a nije unutarnja točka, čvor **6** može se uvrstiti u rutu povezan s čvorom **2** kako je i navedeno u uštedi:

$$(2,6) \Rightarrow 0 \leftrightarrow 6 \leftrightarrow 2 \leftrightarrow 3 \leftrightarrow 0$$

- Prema redoslijedu, sljedeća ušteta je **(5,6)**. U ruti se nalazi čvor **6** koji je poveznica kod uštede **(5,6)**, čvor **6** nije unutarnja točka u ruti te su ograničenja zadovoljena i ušteta se može uvrstiti u rutu, odnosno čvor **5** može se nadovezati na čvor **6**:

$$(5,6) \Rightarrow 0 \leftrightarrow 5 \leftrightarrow 6 \leftrightarrow 2 \leftrightarrow 3 \leftrightarrow 0$$

- Uštede **(6,7)**, **(1,6)**, **(4,6)** se ne upotrebljavaju pri projektiranju rute jer njihov zajednički čvor je čvor **6**, koji je ujedno i unutarnja točka djelomične rute i direktna poveznica čvorova nije moguća. Da bi povezivanje čvorova bilo moguće, jedan od čvorova u uštedi mora biti vanjski čvor u ruti, u ovom slučaju to su čvorovi **3** i **5**. Korištenje uštede **(2,5)** također nije moguće jer se oba čvora već nalaze u djelomičnoj ruti.
- Kod ušteda **(1,2)**, **(2,4)** i **(2,7)** zajednički čvor **2** je unutarnja točka u djelomičnoj ruti, stoga se i te uštede preskaču jer direktno povezivanje nije moguće, a svi čvorovi kod ušteda **(3,5)** i **(3,6)** već se nalaze u ruti.
- Sljedeća moguća ušteta za uvrštavanje u rutu je ušteta **(3,4)** jer se čvor **3** nalazi u ruti i nije unutarnja točka, već vanjska, stoga je moguće direktno povezati čvor **4** s čvorom **3**:

$$(3,4) \Rightarrow 0 \leftrightarrow 5 \leftrightarrow 6 \leftrightarrow 2 \leftrightarrow 3 \leftrightarrow 4 \leftrightarrow 0$$

- Zajednički čvor kod ušteda **(1,3)** i **(3,7)** je čvor **3**, međutim on je unutarnja točka u djelomičnoj ruti te se ne može upotrijebiti u projektiranju rute, dok su oba čvora kod

uštede (4,5) već uključeni u rutu. Obzirom da kod uštede (1,7) niti jedan čvor nije uključen u djelomičnu rutu, izrađuje se nova djelomična ruta koja glasi:

$$(1,7) \Rightarrow 0 \leftrightarrow 1 \leftrightarrow 7 \leftrightarrow 0$$

- Postoje dvije djelomične rute koje je potrebno spojiti u jednu cjelokupnu rutu:

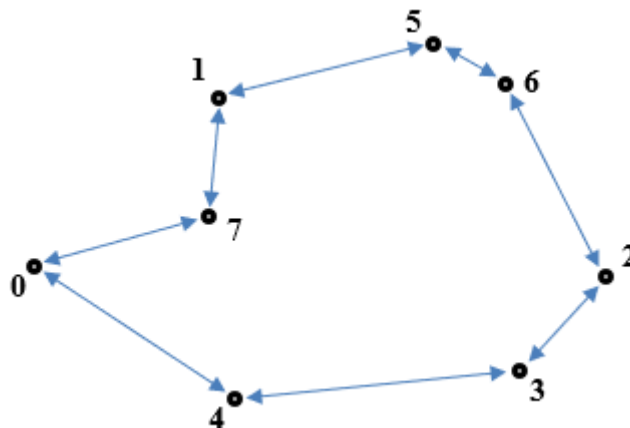
$$0 \leftrightarrow 5 \leftrightarrow 6 \leftrightarrow 2 \leftrightarrow 3 \leftrightarrow 4 \leftrightarrow 0$$

$$0 \leftrightarrow 1 \leftrightarrow 7 \leftrightarrow 0$$

- Ušteda (1,5) povezati će navedene dvije rute u jednu jedinstvenu rutu, jer čvor 1 i čvor 5 su vanjske točke u djelomičnim rutama, stoga su ograničenja zadovoljena i direktna veza među čvorovima je moguća:

$$(1,5) \Rightarrow 0 \leftrightarrow 7 \leftrightarrow 1 \leftrightarrow 5 \leftrightarrow 6 \leftrightarrow 2 \leftrightarrow 3 \leftrightarrow 4 \leftrightarrow 0$$

Lista ušteda realizirana je do kraja, obzirom da je ruta kompletirana, ostale uštede se ne uzimaju u obzir pri projektiranju te algoritam završava. Na slici 9., nalazi se grafički prikaz rješenja rute iz primjera 1.



Slika 9. Rješenje Clark-Wright-ovog algoritma

4.2. Clark-Wright-ov algoritam ušteda – metoda s indikatorom T

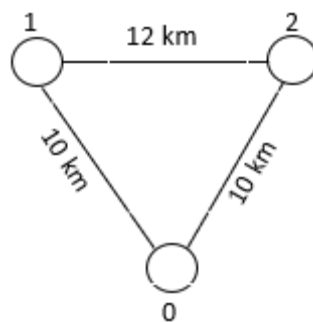
Clark-Wright-ov algoritam koristi se kod problema sa serijom ponavljanja, sve dok se ne dobije prihvatljivo rješenje. Praktična upotreba ovog algoritma ne mora nužno biti optimalna, ali lakoća upotrebe algoritma na probleme usmjeravanja vozila čini ga iznimno korisnim alatom. Logika samog algoritma, koja uključuje koncept uštede, služi kao baza za

sofisticiranije tehnike koje koriste mnogi komercijalni softveri. *Clark–Wright-ov algoritam* i koncept uštede omogućuje uštede koje mogu biti realizirane stvaranjem parova kod dostave u sustavu koji se sastoji od centralnog skladišta koje opslužuje vanjske centre u bilo kojem obliku [9].

Jednostavan primjer upotrebe algoritma *Clark-Wright-ovog algoritma ušteda – metode s indikatorom T* nalazi se u nastavku [9]:

Primjer 2.

Centralno skladište (0) nalazi se 10 kilometara udaljeno od dva dostavna mjesta (1,2), dok je međusobna udaljenost između dostavnih mjesta 12 kilometara.



Slika 10. Metoda s indikatorom T, primjer 1.

U ovom primjeru *Clark-Wright-ov algoritam* prvo prati troškove vožnje od centralnog skladišta do jednog dostavnog mjesta i povratak do centralnog skladišta, zatim do drugog dostavnog mjesta pa ponovno povratak do centralnog skladišta. Stoga je trošak jednak zbroju troškova za svaki kilometar od početne točke, centralnog skladišta do jednog dostavnog mjesta ($0 \rightarrow 1$) i povratak u centralno skladište ($2C_{01}$) te vožnja od centralnog skladišta do drugog dostavnog mjesta ($0 \rightarrow 2$) i povratak u skladište ($2C_{02}$). Formula (7) prikazuje ukupni trošak:

$$\text{Ukupni trošak} = 2C_{01} + 2C_{02} \quad (7)$$

Ukupni trošak dostave prema formuli (7) iznosio bi: $2 \times 10 \text{ (km)} + 2 \times 10 \text{ (km)} = 40 \text{ km}$

Clark-Wright algoritam nadalje uzima u obzir uštede koje se mogu ostvariti na putu od centralnog skladišta do jednog dostavnog mjesta i povratak do skladišta te od skladišta do drugog dostavnog mjesta i ponovni povratak do skladišta. Navedena ruta omogućuje uštedu troškova jedne dostave do prvog dostavnog mjesta i povratak do skladišta i ponovno do drugog

dostavnog mjesta i povratak do skladišta, ali dodaje troškove dostave od prvog do drugog dostavnog mjesta. Koncept izračuna ušteda jednak je kao i kod osnovnog *Clark-Wright-ovog algoritma*. Ukupna ušteda S_{ij} dobivena povezivanjem bilo koje dvije lokacije prikazana je u formuli (8):

$$S_{ij} = C_{0i} + C_{0j} - C_{ij} \quad (8)$$

Ušteda na ovom primjeru prema formuli (8) iznosi:

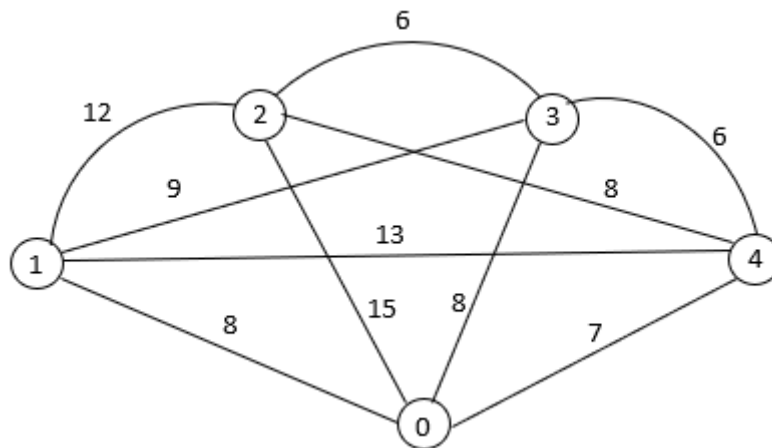
$$S_{12} = C_{01} + C_{02} - C_{12}$$

$$S_{12} = 10 + 10 - 12 = 8$$

Povezivanje dvaju dostavnih mjesta u jednu rutu dobiva se ušteda od 8 km.

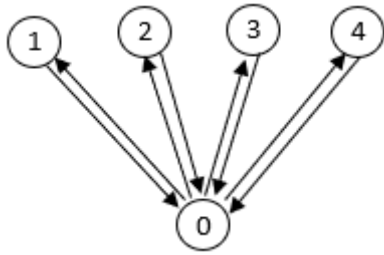
Primjer 3. :

Na slici 11. nalazi se distribucijska mreža s prikazanim vrijednostima međusobnih udaljenosti između čvorova. Potrebno je odrediti najkraći put uz uvjet da se krene iz čvora 0, da se svaki čvor posjeti samo jednom te da završetak rute bude ponovno u čvoru 0 [9].



Slika 11. Metoda s indikatorom T, primjer 2., [9]

Za početak potrebno je izraditi polu-matricu udaljenosti. Dovoljno je izraditi polu-matricu, a ne cjelokupnu matricu, jer je graf simetričan, odnosno jednaka je udaljenost u oba smjera putovanja.



| | 1 | 2 | 3 | 4 |
|---|---|----|---|----|
| 0 | 8 | 15 | 8 | 7 |
| 1 | | 12 | 9 | 13 |
| 2 | | | 6 | 8 |
| 3 | | | | 6 |

Slika 12. Distribucijska mreža 1., [9]

U sljedećem koraku potrebno je izračunati uštede za svaki vanjski par lokacija te izraditi novu polu-matricu ušteta. Uštede se računaju prema formuli (8).

$$S_{12} = 8 + 15 - 15 = 11$$

Na jednak način računaju se i ostale vrijednosti ušteta.

| | 1 | 2 | 3 | 4 |
|---|-----|-----|-----|-----|
| 0 | ... | ... | ... | ... |
| 1 | | 11 | 7 | 2 |
| 2 | | | 17 | 14 |
| 3 | | | | 9 |

Nakon izračuna ušteta, u polu-matricu potrebno je unijeti vrijednosti T u odgovarajuće rubrike, odnosno u područja polazišta. Kalkulacije ušteta za povezivanje svakog para temelji se na mogućnosti ušteta uzimajući u obzir trošak kružne dostave vozila do svakog para. Indikator T pokazati će jesu li dvije lokacije npr. i i j ili 0 (početna točka) i j direktno povezane. Indikator T može imati jednu od tri vrijednosti:

- $T = 2$ – kada vozilo ide iz početne točke do jedne lokacije i povratak do početne točke. $T_{0j} = 2$ i samo u prvom retku matrice. Vrijednost indikatora T unosi se u matricu i zaokružuje kako bi se razlikovala od ukupne ušteta. $T = 2$ označava kružnu, dvosmjernu dostavu, odnosno dostavu s povratkom.
- $T = 1$ – kada vozilo ide direktno do lokacije i i j . To se prikazuje kao $T_{ij} = 1$ i može se uvesti na bilo koje mjesto u matrici. $T = 1$ označava jednosmjernu dostavu.

c) $T = 0$ – kada vozilo ne ide direktno do lokacija i i j . Prikazuje se kao $T_{ij} = 0$. $T = 0$ pokazuje da niti jedno putovanje nije učinjeno između parova lokacije.

| | 1 | 2 | 3 | 4 |
|---|-----|-----|-----|-----|
| 0 | (2) | (2) | (2) | (2) |
| 1 | | 11 | 7 | 2 |
| 2 | | | 17 | 14 |
| 3 | | | | 9 |

Prema slici 12.:

Prva ruta: 0 – 1 – 0

Druga ruta: 0 – 2 – 0

Treća ruta: 0 – 3 – 0

Četvrta ruta: 0 – 4 – 0

Sljedeći korak je odrediti najveću vrijednost uštede u matrici. Ako se maksimalna ušteda prikazuje u ćeliji i i j u matrici, tada lokacije i i j mogu biti povezane ukoliko su zadovoljeni sljedeći uvjeti:

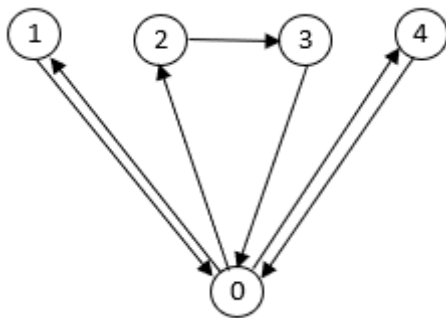
- T_{0i} i $T_{0j} > 0$
- Lokacije i i j nisu već na istoj ruti

| | 1 | 2 | 3 | 4 |
|---|----------|----------|----------|----------|
| 0 | T_{01} | T_{02} | T_{03} | T_{04} |
| 1 | | 11 | 7 | 2 |
| 2 | | | 17 | 14 |
| 3 | | | | 9 |

Primjerice odabire se ušteda iznosa 17 iz polu-matrice udaljenosti, a ona obuhvaća čvorove 2 i 3. Prvi uvjet govori da se ušteda može koristiti ukoliko su T_{02} i T_{03} veći od nule, a

drugi uvjet označava da barem se barem jedan od čvorova 2 ili 3 ne nalazi u već postojećoj djelomičnoj ruti. U nastavku je dato detaljnije pojašnjenje.

U navedenom primjeru ćelija (2,3) ima najveću vrijednost uštede (17). T_{02} i T_{03} su veći od nule, a lokacije 2 i 3 nisu na istoj ruti. Obzirom da su uvjeti zadovoljeni, u ćeliji (2,3) označi se vrijednost $T_{23} = 1$, što označuje jednosmjernu rutu između lokacija 2 i 3. Ovom radnjom omogućena je jednosmjerna ruta između lokacija 2 i 3, a onemogućena jednosmjerna ruta od lokacije 2 do početne točke (0) te jednosmjerna ruta od početne točke (0) do lokacije 3. Stoga je potrebno smanjiti vrijednost $T = 2$ u ćelijama (0,2) i (0,3) na $T = 1$. Sljedeća matrica prikazuje izvedene izračune te nove vrijednosti T za novo ponavljanje, a grafički prikaz prikazuje 3 nove jednosmjerne rute.



| | 1 | 2 | 3 | 4 |
|---|---|----|---------|----|
| 0 | 2 | 1 | 1 | 2 |
| 1 | | 11 | 7 | 2 |
| 2 | | | 1 17 | 14 |
| 3 | | | | 9 |

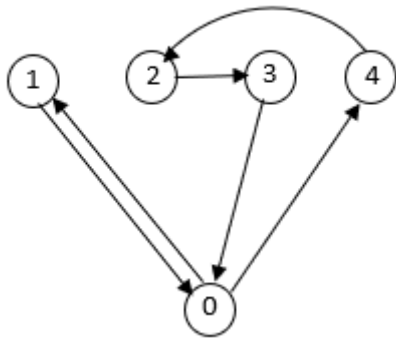
Slika 13. Ruta 0-2-3-0, [9]

Prva ruta: 0 – 1 – 0

Druga ruta: 0 – 2 – 3 – 0

Treća ruta: 0 – 4 – 0

U sljedećem koraku potrebno je uvrstiti sljedeću najveću vrijednost uštede, a da su pritom zadovoljena ograničenja. Ćelija (2,4) sadrži najveću vrijednost uštede (14) koja nije iskorištena u izračunu. T_{02} i T_{04} su veći od nule i lokacije 2 i 4 nisu na istoj ruti. Ove dvije lokacije mogu se povezati. $T_{24} = 1$ upiše se u ćeliju (2,4) te se vrijednost indikatora T , smanji u ćelijama (0,2) i (0,4) na jedno putovanje kao u prethodnom koraku.



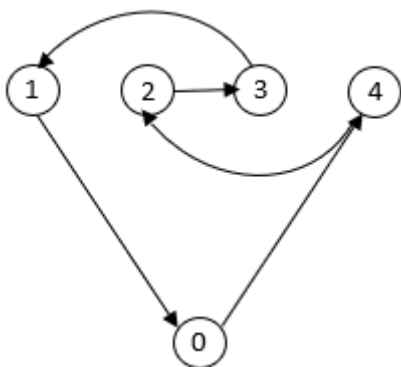
| | 1 | 2 | 3 | 4 |
|---|---|----|----|----|
| 0 | 2 | 0 | 1 | 1 |
| 1 | | 11 | 7 | 2 |
| 2 | | | 17 | 14 |
| 3 | | | | 9 |

Slika 14. Ruta 0-4-2-3-0, [9]

Prva ruta: 0 – 1 – 0

Druga ruta: 0 – 4 – 2 – 3 – 0

U ćeliji (1,2) sljedeća je najveća vrijednost uštede, međutim u tom slučaju T_{01} je veći od nule, ali T_{02} nije, stoga bi ovo povezivanje narušilo poštivanje ograničenja. Sljedeća najveća ušteta je u ćeliji (3,4), T_{03} i T_{04} su veći od nule, ali lokacije 3 i 4 već se nalaze na istoj ruti, što narušava ograničenja. Zatim se odabere ušteta (7) u ćeliji (1,3), T_{01} i T_{03} su veći od nule, a lokacije 1 i 3 ne nalaze se na istoj ruti i ne postoje druga ograničenja, zato se ove dvije lokacije mogu povezati. U ćeliju (1,3) unese se $T = 1$ i smanji se vrijednost T u ćelijama (0,1) i (0,3) za jedan kao u prethodnom koraku, što rezultira smanjenjem jednog putovanja od skladišta do lokacije 1 i jedno putovanje od lokacije 3 do centralnog skladišta. Obzirom da je graf simetričan, nije bitno u kojem je smjeru ruta usmjerena.



| | 1 | 2 | 3 | 4 |
|---|---|----|----|----|
| 0 | 1 | 0 | 0 | 1 |
| 1 | | 11 | 7 | 2 |
| 2 | | | 17 | 14 |
| 3 | | | | 9 |

Slika 15. Kompletirana ruta, [9]

Ruta: 0 – 4 – 2 – 3 – 1 – 0

Za usporedbu rezultata u svrhu optimizacije distribucijske mreže na unaprijed definiranim rutama kretanja vozila korištenjem *Clark-Wright-ovog algoritma*, uzeti će se u obzir i druge matematičke metode koje nude optimizaciju distribucijske mreže, odnosno *metode grananja i ograničavanja*, *metoda najbližeg susjeda* i *Christofides-ov algoritam*.

4.3. Metoda grananja i ograničavanja

Euler je prvi počeo razmatrati matematičke probleme slične problemu trgovačkog putnika, a zanimalo ga je kako skakač na šahovskoj ploči može posjetiti svih 64 mjesta, tako da svako mjesto prođe samo jednom. Irski matematičar Sir William Rowan Hamilton i britanski matematičar Thomas Penyngton Kirkman su početkom 20. stoljeća razmatrali probleme koji se svode na problem trgovačkog putnika. Opća forma trgovačkog putnika pojavljuje se 30-ih godina 20. stoljeća, a pojam „trgovački putnik“ prvi je put upotrijebljen 1932. godine od strane Karla Mengera [10].

Dantzig, Fulkerson i Johnson su 1954. godine riješili problem trgovačkog putnika koji je sadržavao 49 gradova. D. Applegate, R. Bixby, V. Chvátal, W. Cook i K. Helsgaun su 2004. godine uspjeli riješiti problem trgovačkog putnika s 24978 gradova. Slika 16. prikazuje problem trgovačkog putnika koji ima za cilj obići svih 24978 gradova [6].

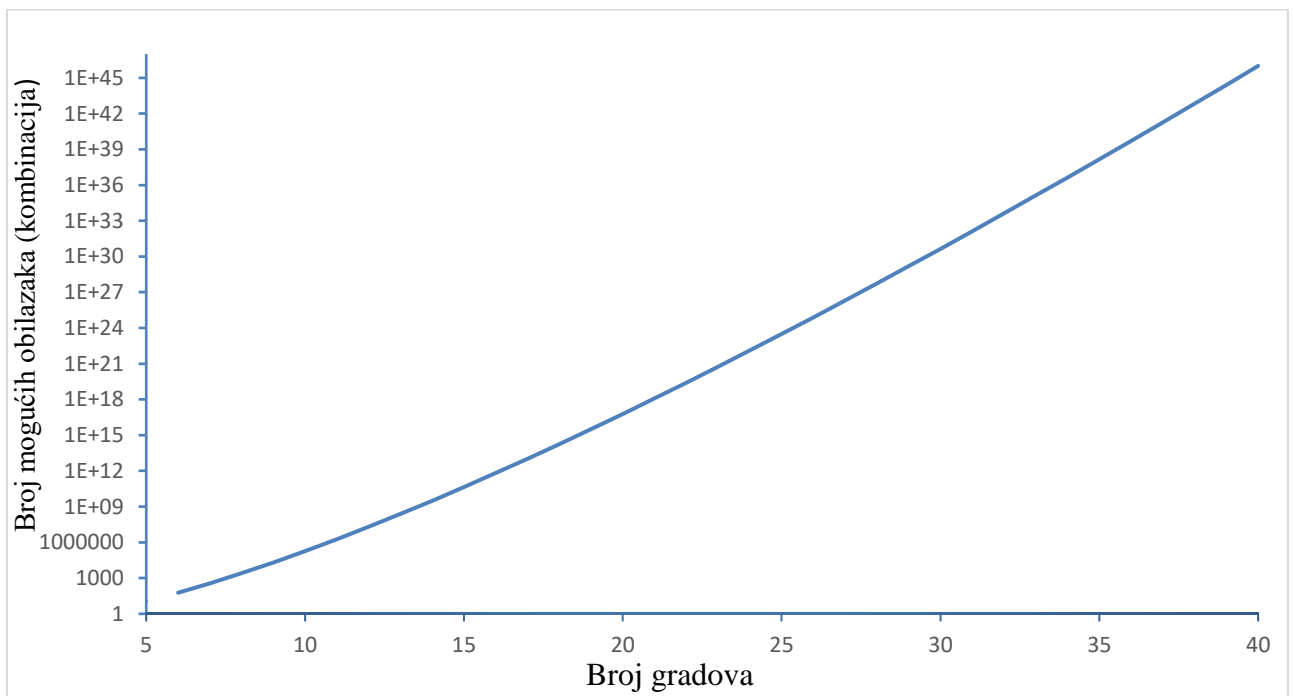


Slika 16. Rješenje problema trgovačkog putnika s 24978 gradova, [11]

Hamiltonov ciklus je ciklus u neusmjerenom grafu koji prolazi kroz sve vrhove grafa isključivo jednom, osim vrha koji je početni te krajnji vrh ciklusa.

Hamiltonov graf je graf koji sadrži i Hamiltonov ciklus. Kada graf sadrži više Hamiltonovih ciklusa i ukoliko je cilj pronaći najkraći ciklus, tada se taj problem naziva problemom trgovačkog putnika. Da bi graf imao rješenje problema trgovačkog putnika, mora sadržavati barem jedan Hamiltonov ciklus, odnosno mora biti Hamiltonov graf.

Problem trgovačkog putnika temelji se na principu tako da postoje unaprijed definirani gradovi te međusobne udaljenosti između njih. Trgovački putnik ima za cilj obići odnosno posjetiti svaki grad samo jednom te se vratiti u grad iz kojeg je krenuo. Rješenje koje daje postupak računanja problema trgovačkog putnika je redosljed obilaska gradova, a da ukupna duljina puta bude minimalna. Problem trgovačkog putnika ima faktorijelnu složenost $O(n!)$. U potpunim grafovima s N vrhova, broj Hamiltonovih ciklusa u usmjerenim grafovima je $(N-1)$, a u neusmjerenim $N!/2N$, odnosno $((N-1)!)/2$, (obzirom da su po dvije rute identične, ali inverzne) te broj kombinacija raste eksponencijalno s brojem gradova. Izračun prema navedenim formulama za primjerice 11 gradova, postoji 1814400 mogućih kombinacija, odnosno redosljeda obilazaka prikazan je grafikonom 2. [12].



Grafikon 2. Složenost problema trgovačkog putnika

Problem trgovačkog putnika (*Traveling Salesman Problem, TSP*) je problem diskretne i kombinatorne optimizacije. Problem kombinatorne optimizacije podrazumijeva nalaženje minimuma funkcije f na skupu S , tj.:

$$\min_{x \in S} f(x) \quad (9)$$

Gdje je S diskretan, konačan ili prebrojivo beskonačan skup. Skup S naziva se dopustivim skupom, funkcija f naziva se kriterijumskom funkcijom, a točke $X \in S$ nazivaju se dopustivim rješenjima. Pod optimalnim rješenjima podrazumijevaju se rješenja x^* za koja vrijedi:

$$f(x^*) = \min_{x \in S} f(x) \quad (10)$$

U najvećem broju problema kombinatorne optimizacije u području prometa i transporta dopustivi skup S je konačan [6].

Problem trgovačkog putnika pripada skupini *NP*-teških problema u matematičkoj teoriji. Svojstvo *NP*-teških problema je da pronalazak egzaktnog rješenja problema traje iznimno dugo jer algoritmi rješavanja imaju veliku računalnu složenost. Složenost problema moguće je vidjeti kada se prebroje sva moguća rješenja problema trgovačkog putnika te kada se uspoređi rast broja rješenja s brojem bridova grafa na kojem se rješava problem trgovačkog putnika [10].

Kao primjer pretpostavlja se da problem trgovačkog putnika sadrži $1, 2, 3, \dots, N$ gradova. Neka je c_{ij} udaljenost od grada i do grada j , a neka je $c_{i_1 i_2} = M$ izrazito veliki broj. $c_{i_1 i_2} = M$ osigurava da se u grad i_2 ne ide odmah nakon što se napusti grad i_1 .

Neka je:

$$x_{ij} = \begin{cases} 1 & \text{ako osoba ide iz grada } i \text{ u grad } j \\ 0 & \text{u ostalim slučajevima} \end{cases}$$

Rješenje problema trgovačkog putnika može se naći rješavanjem sljedećeg modela cjelobrojnog linearnog programiranja [13]:

$$\min \sum_{i=1}^n \sum_{j=1}^n c_{ij} x_{ij} \quad (11)$$

$$\sum_{j=1}^n x_{ij} = 1, (i = 1, \dots, n) \quad (12)$$

$$\sum_{i=1}^n x_{ij} = 1, (j = 1, \dots, n) \quad (13)$$

$$u_i - u_j + nx_{ij} \leq n - 1 \text{ (za } i \neq j; i, j = 2, 3, \dots, n) \quad (14)$$

$$x_{ij} = 0 \text{ ili } 1, u_i, u_j \geq 0 \quad (15)$$

Funkcija cilja (11) označuje ukupnu udaljenost između gradova uključenih u rutu. Ograničenje (12) osigurava da osoba ili entitet u svaki grad stigne samo jednom, dok ograničenje (13) osigurava da osoba svaki grad napusti samo jednom. Ograničenje (14) u modelu je ključno jer osigurava sljedeće [13]:

- Bilo koji skup x_{ij} koji sadrži podrutu biti će nemoguć (narušit će ograničenje (14)).
- Bilo koji skup x_{ij} koji formira rutu (uključujući sve gradove) bit će moguć (postojat će skup od u_j) koji zadovoljava ograničenje (14)).
- Na sljedećem primjeru bit će prikazano da će bilo koji skup od x_{ij} koji sadrži podrutu narušiti ograničenje (14). Pretpostavka je da svaka osoba ili entitet treba obići 5 gradova, odnosno lokacija, a da postoji $x_{14} = x_{31} = x_{52} = x_{25} = x_{43} = 1$. Navedena ruta sadrži dvije podrute 1-4-3-1 i 2-5-2. U sljedećem koraku potrebno je odabrati podrutu koja ne sadrži grad 1 (2-5-2) te se podruta uvrsti u formulu ograničenja (4) koja odgovaraju pravcima u toj podruti. Dobiveno rješenje je: $u_2 - u_5 + 5x_{25} \leq 4$, i $u_5 - u_2 + 5x_{52} \leq 4$. Zbrajanjem tih ograničenja dobiveni rezultat glasi: $5(x_{25} + x_{52}) \leq 8$. Rezultat isključuje mogućnost da je $x_{25} + x_{52} = 1$.

- Sljedeći korak prikazuje da za bilo koji skup od x_{ij} koji ne sadrži podrutu postoje vrijednosti za u_j koje će zadovoljiti ograničenja u formuli (14).
- Pretpostavka je da je grad 1 prvi koji će biti posjećen. Neka je t_i = pozicija u ruti gdje je grad i posjećen.
- Stavljajući $u_i = t_i$ biti će zadovoljena sva ograničenja iz formule (14)
- Razmatra se ruta 1-4-3-2-5-1. Potrebno je dokazati da će s odabirom $u_1 = 1$ $u_2 = 4$ $u_3 = 3$ $u_4 = 2$ $u_5 = 5$ za u_i sva ograničenja u formuli (14) biti zadovoljena.
- Za početak razmatra se bilo koje ograničenje koje odgovara pravcu koji ima $x_{ij} = 1$. Primjerice ograničenje koje odgovara x_{43} je i $u_4 - u_3 + 5x_{43} \leq 4$. Obzirom da grad 3 slijedi grad 4, $u_4 - u_3 = -1$. Stoga se ograničenje za x_{43} u formuli (14) reducira na $-1 + 5 \leq 4$, što je istinito.
- Nakon toga razmatra se ograničenje koje odgovara onom x_{ij} za koji je $x_{ij} = 0$. Za x_{23} dobije se ograničenje $u_2 - u_3 + 5x_{23} \leq 4$. Dobiven rezultat reducira se na $u_2 - u_3 \leq 4$. Pošto je $u_2 \leq 5$, a $u_3 > 1$, $u_2 - u_3$ ne može nadmašiti $4 - 3$.
- Ovo je pokazatelj da formulacija definirana modelom (11) do (15) eliminira iz razmatranja sve nizove od N gradova koji počinju u gradu 1 i uključuju podrutu. Također je dokazano da navedena formulacija ne eliminira iz razmatranja bilo koji niz od N gradova koji počinju u gradu 1, a ne uključuju podrutu.
- Model (11) do (15) može se riješiti primjenom metode grananja i ograničavanja za rješavanje cjelobrojnih linearnih programa s 0-1 varijablama.

Algoritam grananja i ograničavanja (eng: *BnB-Branch & Bound*) opći je algoritam za pronalazak optimalnih rješenja mnogih općenitih optimizacijskih problema. Sastoji se od brojanja svih potencijalnih rješenja, pri čemu se veliki podskupovi loših rješenja odbacuju. Loša rješenja su ona rješenja koja su unutar nekog intervala, odnosno između predefinirane gornje i donje granice. Redoslijed obilaska gradova od strane trgovačkog putnika prvo se rekurzivno grana na dva dijela te tako nastaje struktura stabla. Nakon toga računaju se gornja i donja granica za svaki dobiveni podskup. Ukoliko je donja granica određenog vrha bolja od gornje granice nekog drugog vrha, taj drugi vrh se odbacuje iz pretrage. Rekurzija⁴ se zaustavlja onog

⁴ U matematici i računarstvu, rekurzija specificira (ili konstruira) klasu objekata ili metoda (ili objekata iz određene klase) definiranjem nekoliko jednostavnih osnovnih slučajeva ili metoda (često samo jednu), i potom definiranjem pravila za razbijanje složenih slučajeva u jednostavnije.

trena kada se skup reducira na jedan element ili kad njegova gornja granica postane jednaka njegovoj donjoj granici [14].

Problem trgovačkog putnika prikazan u matričnom prikazu [14]:

| | x_1 | x_2 | x_3 | x_4 | x_5 |
|-------|----------|----------|----------|----------|----------|
| x_1 | ∞ | 12 | 8 | 10 | 6 |
| x_2 | 12 | ∞ | 12 | 5 | 7 |
| x_3 | 8 | 12 | ∞ | 8 | 10 |
| x_4 | 10 | 5 | 8 | ∞ | 4 |
| x_5 | 6 | 7 | 10 | 4 | ∞ |

Korak 1: Za početak potrebno je ispisati minimalne vrijednosti iz svakog retka, odnosno, traži se minimalni element u svakom retku (u_i).

| | x_1 | x_2 | x_3 | x_4 | x_5 | min |
|----------|----------|----------|----------|----------|----------|-----|
| x_1 | ∞ | 12 | 8 | 10 | 6 | 6 |
| x_2 | 12 | ∞ | 12 | 5 | 7 | 5 |
| x_3 | 8 | 12 | ∞ | 8 | 10 | 8 |
| x_4 | 10 | 5 | 8 | ∞ | 4 | 4 |
| x_5 | 6 | 7 | 10 | 4 | ∞ | 4 |
| Σ | | | | | | 27 |

Zatim se oduzimaju sve vrijednosti pojedinog retka s minimalnom vrijednošću istog tog retka. U navedenom matričnom prikazu, prvi redak se oduzima sa 6, drugi redak sa 5, treći redak sa 8 te četvrti i peti redak sa 4. Dobiveni rezultat prikazan je sljedećom matricom:

| | x_1 | x_2 | x_3 | x_4 | x_5 |
|-------|----------|----------|----------|----------|----------|
| x_1 | ∞ | 6 | 2 | 4 | 0 |
| x_2 | 7 | ∞ | 7 | 0 | 2 |
| x_3 | 0 | 4 | ∞ | 0 | 2 |
| x_4 | 6 | 1 | 4 | ∞ | 0 |
| x_5 | 2 | 3 | 6 | 0 | ∞ |

Korak 2: Izdvojiti minimalni element iz svakog stupca (v_j).

| | x_1 | x_2 | x_3 | x_4 | x_5 | Σ |
|-------|----------|----------|----------|----------|----------|----------|
| x_1 | ∞ | 6 | 2 | 4 | 0 | |
| x_2 | 7 | ∞ | 7 | 0 | 2 | |
| x_3 | 0 | 4 | ∞ | 0 | 2 | |
| x_4 | 6 | 1 | 4 | ∞ | 0 | |
| x_5 | 2 | 3 | 6 | 0 | ∞ | |
| min | 0 | 1 | 2 | 0 | 0 | 3 |

Oduzimaju se vrijednosti stupaca s minimalnim vrijednostima stupaca. Prvi, četvrti i peti stupac ostat će nepromijenjeni jer se oduzimaju s nulom, dok se drugi stupac oduzima s jedan, a treći s dva. Dobivena je prva reducirana matrica koja ima barem jednu nulu u svakom retku i svakom stupcu.

| | x_1 | x_2 | x_3 | x_4 | x_5 |
|-------|----------|----------|----------|----------|----------|
| x_1 | ∞ | 5 | 0 | 4 | 0 |
| x_2 | 7 | ∞ | 5 | 0 | 2 |
| x_3 | 0 | 3 | ∞ | 0 | 2 |
| x_4 | 6 | 0 | 2 | ∞ | 0 |
| x_5 | 2 | 2 | 4 | 0 | ∞ |

Polja koja sadrže nulu su kandidati za uspostavljanje direktne veze među gradovima, odnosno lokacijama.

Korak 3: Donja granica na duljini svih kružnih puteva računa se prema formuli 16:

$$\sum_{i=1}^n u_i + \sum_{j=1}^n v_j \quad (16)$$

Gdje je: u_i = zbroj minimalnih vrijednosti elemenata iz svakog retka

v_j = zbroj minimalnih vrijednosti elemenata iz svakog stupca

Prema formuli (16), donja granica na ovom primjeru iznosi:

$$D. G. = 27 + 3 = 30$$

Korak 4: Za svako polje s nulom računa se kazna za nekorištenje predložene veze među gradovima na način: kazna na polju $(i, j) = \text{minimalan element u retku } i + \text{minimalan element u retku } j$ ne uključujući polje (i, j) . Primjerice kazna za prvu nulu u retku x_1 i stupcu x_3 računa se tako da se zbroji minimalna vrijednost iz retka koja iznosi 0 s minimalnom vrijednošću stupca koja iznosi 2, stoga je vrijednost kazne 2. Na jednak način izračunava se vrijednost kazne za sljedeću po redu nulu, a to je nula u retku x_1 i stupcu x_5 , minimalna vrijednost u retku je 0 te se zbraja s minimalnom vrijednošću iz stupca koja iznosi također 0, vrijednost kazne za navedenu nulu iznosi 0. Po istom principu izračunavaju se kazne za sve preostale nule.

| | x_1 | x_2 | x_3 | x_4 | x_5 |
|-------|-------------|-------------|-------------|-------------|-------------|
| x_1 | ∞ | 5 | $0^{(0+2)}$ | 4 | $0^{(0+0)}$ |
| x_2 | 7 | ∞ | 5 | $0^{(2+0)}$ | 2 |
| x_3 | $0^{(0+2)}$ | 3 | ∞ | $0^{(0+0)}$ | 2 |
| x_4 | 6 | $0^{(0+2)}$ | 2 | ∞ | $0^{(0+0)}$ |
| x_5 | 2 | 2 | 4 | $0^{(2+0)}$ | ∞ |

Nakon što su izračunate sve kazne za nekorištenje predložene veze među gradovima, odabire se kazna koja ima najveću vrijednost u odnosu na druge. U ovom primjeru postoji čak pet kazni koje sadrže najveću vrijednost koja iznosi dva. Odabire se kazna koja je prva po redu, a to je kazna u retku x_1 i stupcu x_3 , na taj način dobivena je prva relacija: $1 \rightarrow 3$

| | x_1 | x_2 | x_3 | x_4 | x_5 |
|-------|-----------|-----------|-----------|-----------|-----------|
| x_1 | ∞ | 5 | $0^{(2)}$ | 4 | $0^{(0)}$ |
| x_2 | 7 | ∞ | 5 | $0^{(2)}$ | 2 |
| x_3 | $0^{(2)}$ | 3 | ∞ | $0^{(0)}$ | 2 |
| x_4 | 6 | $0^{(2)}$ | 2 | ∞ | $0^{(0)}$ |
| x_5 | 2 | 2 | 4 | $0^{(2)}$ | ∞ |

Nakon odabira prve relacija, nastaje nova reducirana matrica bez retka x_1 i stupca x_3 .

| | x_1 | x_2 | x_4 | x_5 |
|-------|----------|----------|----------|----------|
| x_2 | 7 | ∞ | 0 | 2 |
| x_3 | ∞ | 3 | 0 | 2 |
| x_4 | 6 | 0 | ∞ | 0 |
| x_5 | 2 | 2 | 0 | ∞ |

Obzirom da reducirana matrica sadrži stupac (x_1) u kojem se ne nalazi barem jedna nula, potrebno je oduzeti sve elemente stupca x_1 s minimalnom vrijednošću istog stupca koja iznosi 2.

| | x_1 | x_2 | x_4 | x_5 |
|-------|----------|----------|----------|----------|
| x_2 | 7 | ∞ | 0 | 2 |
| x_3 | ∞ | 3 | 0 | 2 |
| x_4 | 6 | 0 | ∞ | 0 |
| x_5 | 2 | 2 | 0 | ∞ |
| min | 2 | 0 | 0 | 0 |

Nakon operacije oduzimanja, dobivena je nova reducirana matrica u kojoj svi retci i svi stupci sadrže barem jednu nulu.

| | x_1 | x_2 | x_4 | x_5 |
|-------|----------|----------|----------|----------|
| x_2 | 5 | ∞ | 0 | 2 |
| x_3 | ∞ | 3 | 0 | 2 |
| x_4 | 4 | 0 | ∞ | 0 |
| x_5 | 0 | 2 | 0 | ∞ |

Sljedeći korak je izračun kazni po jednakom principu kao kod prethodnog izračuna kazni. U retku x_5 minimalan element je 0, a minimalna vrijednost u stupcu x_1 iznosi 4 te zbroj ta dva elementa predstavlja najvišu vrijednost kazne u matrici, stoga je sljedeća relacija: $5 \rightarrow 1$.

| | x_1 | x_2 | x_4 | x_5 |
|-------|-----------|-----------|-----------|-----------|
| x_2 | 5 | ∞ | $0^{(2)}$ | 2 |
| x_3 | ∞ | 3 | $0^{(2)}$ | 2 |
| x_4 | 4 | $0^{(2)}$ | ∞ | $0^{(2)}$ |
| x_5 | $0^{(4)}$ | 2 | $0^{(0)}$ | ∞ |

Obzirom da se barem jedna nula nalazi u svakom retku i svakom stupcu, nije potrebno oduzimati minimalne elemente stupaca ili redaka s ostalim elementima.

| | x_2 | x_4 | x_5 |
|-------|----------|----------|-------|
| x_2 | ∞ | 0 | 2 |
| x_3 | 3 | 0 | 2 |
| x_4 | 0 | ∞ | 0 |

Minimalan element u retku x_4 je 0, dok minimalna vrijednost u stupcu x_2 iznosi 3, prema tome zbroj navedenih vrijednosti iznosi 3 i predstavlja maksimalnu vrijednost kazne, što označava novu relaciju: $4 \rightarrow 2$.

| | x_2 | x_4 | x_5 |
|-------|-----------|-----------|-----------|
| x_2 | ∞ | $0^{(2)}$ | 2 |
| x_3 | 3 | $0^{(2)}$ | 2 |
| x_4 | $0^{(3)}$ | ∞ | $0^{(2)}$ |

U novoj reduciranoj matrici redak x_2 ne sadrži nulu, stoga je potrebno oduzeti minimalni element s ostalim elementima, što u ovom slučaju znači da se redak x_2 oduzima s elementom 2, te se dobije nula na poziciji x_2 i x_5 .

| | x_4 | x_5 |
|-------|----------|-------|
| x_2 | ∞ | 2 |
| x_3 | 0 | 2 |

Vrijednost kazni za obje nule iznosi 2, jer je maksimalni element jednak za obje nule. Za odabir relacije uzimaju se obje kazne, stoga posljednje dvije relacije glase: $2 \rightarrow 5$ i $3 \rightarrow 4$.

| | x_4 | x_5 |
|-------|-----------|-----------|
| x_2 | ∞ | $0^{(2)}$ |
| x_3 | $0^{(2)}$ | 2 |

Nakon što su izračunate sve relacije, njihovim spajanjem dobivena je konačna ruta:

$4 \rightarrow 2$

$1 \rightarrow 3$

$5 \rightarrow 1$

$2 \rightarrow 5 \Rightarrow 4 \leftrightarrow 2 \leftrightarrow 5 \leftrightarrow 1$

$3 \rightarrow 4 \Rightarrow 1 \leftrightarrow 3 \leftrightarrow 4 \leftrightarrow 2 \leftrightarrow 5 \leftrightarrow 1$

4.4. Metoda najbližeg susjeda

Metoda najbližeg susjeda ili *heuristika najbližeg susjeda* (eng. *Nearest Neighbour Heuristic* - NNH) je jedan od prvih algoritama za rješavanje problema trgovačkog putnika. Često se upotrebljava kao inicijalno rješenje za testiranje popravljajućih heuristika. Navedena metoda je brza, međutim rješenja su uvijek daleko od optimalnih. Algoritam najbližeg susjeda temelji se na pohlepnom dodavanju najbližeg vrha već dodanim vrhovima u ruti. Metoda najbližeg susjeda zasniva se na ideji pretraživanja događaja koji je najbliži trenutnom događaju. Algoritam se može opisati u tri koraka [10]:

- Korak 1: Odabrati vrh 0 za početni vrh,
- Korak 2: Iz skupa nedodanih vrhova, odabrati onaj koji je najbliži posljednjem dodanom vrhu i uključiti ga u rutu,
- Korak 3: Ponavljati korak 2 sve dok svi vrhovi ne budu uključeni u rutu te tada spojiti početni i posljednji vrh.

Vremenska složenost algoritma najbližeg susjeda algoritma za problem koji uključuje n gradova je $O(n^2)$. Modificirana primjena navedenog algoritma je razmatranje svih n vrhova kao početne točke, čime kompleksnost raste na $O(n^3)$, međutim dobiveno rješenje je bolje i preciznije [10].

Primjer 3.:

Zadana je matrica udaljenosti između gradova, odnosno različitih lokacija. Potrebno je izračunati minimalan put između lokacija pomoću metode najbližeg susjeda.

| | x_0 | x_1 | x_2 | x_3 | x_4 | x_5 | x_6 | x_7 |
|-------|----------|----------|----------|----------|----------|----------|----------|----------|
| x_0 | ∞ | 35 | 68 | 49 | 44 | 34 | 68 | 38 |
| x_1 | 35 | ∞ | 20 | 14 | 36 | 23 | 17 | 26 |
| x_2 | 68 | 20 | ∞ | 7 | 33 | 18 | 29 | 32 |
| x_3 | 49 | 14 | 7 | ∞ | 21 | 8 | 42 | 37 |
| x_4 | 44 | 36 | 33 | 21 | ∞ | 13 | 26 | 54 |
| x_5 | 34 | 23 | 18 | 8 | 13 | ∞ | 9 | 41 |
| x_6 | 68 | 17 | 29 | 42 | 26 | 9 | ∞ | 14 |
| x_7 | 38 | 26 | 32 | 37 | 54 | 41 | 14 | ∞ |

Postupak izračuna započinje na način da se odabere čvor, lokacije koja predstavlja početnu točku rute. Ruta započinje iz čvora x_0 te se odabire najmanja udaljenost prema jednom od čvorova (lokacija), u ovom primjeru minimalna udaljenost iznosi 34 km, a nalazi se između čvora x_0 i x_5 . Odabrana udaljenost je vrijednost početne relacije rute.

| | x_0 | x_1 | x_2 | x_3 | x_4 | x_5 | x_6 | x_7 |
|-------|----------|----------|----------|----------|----------|----------|----------|----------|
| x_0 | ∞ | 35 | 68 | 49 | 44 | 34 | 68 | 38 |
| x_1 | 35 | ∞ | 20 | 14 | 36 | 23 | 17 | 26 |
| x_2 | 68 | 20 | ∞ | 7 | 33 | 18 | 29 | 32 |
| x_3 | 49 | 14 | 7 | ∞ | 21 | 8 | 42 | 37 |
| x_4 | 44 | 36 | 33 | 21 | ∞ | 13 | 26 | 54 |
| x_5 | 34 | 23 | 18 | 8 | 13 | ∞ | 9 | 41 |
| x_6 | 68 | 17 | 29 | 42 | 26 | 9 | ∞ | 14 |
| x_7 | 38 | 26 | 32 | 37 | 54 | 41 | 14 | ∞ |

$0 \rightarrow 5$

Nakon toga, iz čvora x_5 pretraga po stupcima za najmanju udaljenost prema prvoj mogućoj lokaciji. Rezultat pretrage je stupac, odnosno čvor x_3 .

| | x_0 | x_1 | x_2 | x_3 | x_4 | x_5 | x_6 | x_7 |
|-------|----------|----------|----------|----------|----------|----------|----------|----------|
| x_0 | ∞ | 35 | 68 | 49 | 44 | 34 | 68 | 38 |
| x_1 | 35 | ∞ | 20 | 14 | 36 | 23 | 17 | 26 |
| x_2 | 68 | 20 | ∞ | 7 | 33 | 18 | 29 | 32 |
| x_3 | 49 | 14 | 7 | ∞ | 21 | 8 | 42 | 37 |
| x_4 | 44 | 36 | 33 | 21 | ∞ | 13 | 26 | 54 |
| x_5 | 34 | 23 | 18 | 8 | 13 | ∞ | 9 | 41 |
| x_6 | 68 | 17 | 29 | 42 | 26 | 9 | ∞ | 14 |
| x_7 | 38 | 26 | 32 | 37 | 54 | 41 | 14 | ∞ |

$$0 \rightarrow 5 \rightarrow 3$$

Na isti način potrebno je odabrati sljedeću minimalnu udaljenosti iz čvora x_3 . Minimalni element u retku x_3 je 7, odnosno čvor x_2 .

| | x_0 | x_1 | x_2 | x_3 | x_4 | x_5 | x_6 | x_7 |
|-------|----------|----------|----------|----------|----------|----------|----------|----------|
| x_0 | ∞ | 35 | 68 | 49 | 44 | 34 | 68 | 38 |
| x_1 | 35 | ∞ | 20 | 14 | 36 | 23 | 17 | 26 |
| x_2 | 68 | 20 | ∞ | 7 | 33 | 18 | 29 | 32 |
| x_3 | 49 | 14 | 7 | ∞ | 21 | 8 | 42 | 37 |
| x_4 | 44 | 36 | 33 | 21 | ∞ | 13 | 26 | 54 |
| x_5 | 34 | 23 | 18 | 8 | 13 | ∞ | 9 | 41 |
| x_6 | 68 | 17 | 29 | 42 | 26 | 9 | ∞ | 14 |
| x_7 | 38 | 26 | 32 | 37 | 54 | 41 | 14 | ∞ |

$$0 \rightarrow 5 \rightarrow 3 \rightarrow 2$$

Iz čvora x_2 odabire se minimalna vrijednost koja nije u već odabranom stupcu, odnosno da ne bi nastala pod-ruta (*subtour*), biraju se vrijednosti slobodnih čvorova, u ovom slučaju to je vrijednost 20 iz čvora x_1 :

| | x_0 | x_1 | x_2 | x_3 | x_4 | x_5 | x_6 | x_7 |
|-------|----------|----------|----------|----------|----------|----------|----------|----------|
| x_0 | ∞ | 35 | 68 | 49 | 44 | 34 | 68 | 38 |
| x_1 | 35 | ∞ | 20 | 14 | 36 | 23 | 17 | 26 |
| x_2 | 68 | 20 | ∞ | 7 | 33 | 18 | 29 | 32 |
| x_3 | 49 | 14 | 7 | ∞ | 21 | 8 | 42 | 37 |
| x_4 | 44 | 36 | 33 | 21 | ∞ | 13 | 26 | 54 |
| x_5 | 34 | 23 | 18 | 8 | 13 | ∞ | 9 | 41 |
| x_6 | 68 | 17 | 29 | 42 | 26 | 9 | ∞ | 14 |
| x_7 | 38 | 26 | 32 | 37 | 54 | 41 | 14 | ∞ |

$0 \rightarrow 5 \rightarrow 3 \rightarrow 2 \rightarrow 1$

Ruta je usmjerena od čvora x_1 prema čvoru x_6 jer minimalna udaljenost iznosi 17:

| | x_0 | x_1 | x_2 | x_3 | x_4 | x_5 | x_6 | x_7 |
|-------|----------|----------|----------|----------|----------|----------|----------|----------|
| x_0 | ∞ | 35 | 68 | 49 | 44 | 34 | 68 | 38 |
| x_1 | 35 | ∞ | 20 | 14 | 36 | 23 | 17 | 26 |
| x_2 | 68 | 20 | ∞ | 7 | 33 | 18 | 29 | 32 |
| x_3 | 49 | 14 | 7 | ∞ | 21 | 8 | 42 | 37 |
| x_4 | 44 | 36 | 33 | 21 | ∞ | 13 | 26 | 54 |
| x_5 | 34 | 23 | 18 | 8 | 13 | ∞ | 9 | 41 |
| x_6 | 68 | 17 | 29 | 42 | 26 | 9 | ∞ | 14 |
| x_7 | 38 | 26 | 32 | 37 | 54 | 41 | 14 | ∞ |

$0 \rightarrow 5 \rightarrow 3 \rightarrow 2 \rightarrow 1 \rightarrow 6$

Obzirom da je x_6 posljednji odabrani čvor u ruti, odabire se dopuštena minimalna vrijednost prema prvom sljedećem čvoru, vrijednosti 14, prema čvoru x_7 :

| | x_0 | x_1 | x_2 | x_3 | x_4 | x_5 | x_6 | x_7 |
|-------|----------|----------|----------|----------|----------|----------|----------|----------|
| x_0 | ∞ | 35 | 68 | 49 | 44 | 34 | 68 | 38 |
| x_1 | 35 | ∞ | 20 | 14 | 36 | 23 | 17 | 26 |
| x_2 | 68 | 20 | ∞ | 7 | 33 | 18 | 29 | 32 |
| x_3 | 49 | 14 | 7 | ∞ | 21 | 8 | 42 | 37 |
| x_4 | 44 | 36 | 33 | 21 | ∞ | 13 | 26 | 54 |
| x_5 | 34 | 23 | 18 | 8 | 13 | ∞ | 9 | 41 |
| x_6 | 68 | 17 | 29 | 42 | 26 | 9 | ∞ | 14 |
| x_7 | 38 | 26 | 32 | 37 | 54 | 41 | 14 | ∞ |

$$0 \rightarrow 5 \rightarrow 3 \rightarrow 2 \rightarrow 1 \rightarrow 6 \rightarrow 7$$

Preostala su posljednja dva čvora za kompletnost rute. Potrebno je odabrati minimalnu udaljenost iz čvora x_7 prema pretposljednem čvoru. Minimalna vrijednost je 38, usmjerena prema čvoru x_0 . Međutim, odabere li se ta vrijednost, nastala bi pod-ruta (*subtour*) odnosno, svi čvorovi ne bi bili uključeni u rutu, jer je x_0 polazni čvor, on ujedno mora predstavljati i završni čvor, dok su između svi preostali čvorovi u rutu. Stoga je potrebno odabrati vrijednost 54, prema čvoru x_4 iako udaljenost nije minimalna, cilj je dobiti Hamiltonov ciklus, da početna točka bude ujedno i završna točka.

| | x_0 | x_1 | x_2 | x_3 | x_4 | x_5 | x_6 | x_7 |
|-------|----------|----------|----------|----------|----------|----------|----------|----------|
| x_0 | ∞ | 35 | 68 | 49 | 44 | 34 | 68 | 38 |
| x_1 | 35 | ∞ | 20 | 14 | 36 | 23 | 17 | 26 |
| x_2 | 68 | 20 | ∞ | 7 | 33 | 18 | 29 | 32 |
| x_3 | 49 | 14 | 7 | ∞ | 21 | 8 | 42 | 37 |
| x_4 | 44 | 36 | 33 | 21 | ∞ | 13 | 26 | 54 |
| x_5 | 34 | 23 | 18 | 8 | 13 | ∞ | 9 | 41 |
| x_6 | 68 | 17 | 29 | 42 | 26 | 9 | ∞ | 14 |
| x_7 | 38 | 26 | 32 | 37 | 54 | 41 | 14 | ∞ |

$$0 \rightarrow 5 \rightarrow 3 \rightarrow 2 \rightarrow 1 \rightarrow 6 \rightarrow 7 \rightarrow 4$$

Posljednji korak u algoritmu prikazuje povezivanje posljednjeg odabranog čvora u ruti x_4 te polaznog čvora u ovom slučaju to je čvor x_0 . Iako vrijednost 44 nije minimalna, prema pravilima i ograničenjima to je jedina moguća kombinacija.

| | x_0 | x_1 | x_2 | x_3 | x_4 | x_5 | x_6 | x_7 |
|-------|----------|----------|----------|----------|----------|----------|----------|----------|
| x_0 | ∞ | 35 | 68 | 49 | 44 | 34 | 68 | 38 |
| x_1 | 35 | ∞ | 20 | 14 | 36 | 23 | 17 | 26 |
| x_2 | 68 | 20 | ∞ | 7 | 33 | 18 | 29 | 32 |
| x_3 | 49 | 14 | 7 | ∞ | 21 | 8 | 42 | 37 |
| x_4 | 44 | 36 | 33 | 21 | ∞ | 13 | 26 | 54 |
| x_5 | 34 | 23 | 18 | 8 | 13 | ∞ | 9 | 41 |
| x_6 | 68 | 17 | 29 | 42 | 26 | 9 | ∞ | 14 |
| x_7 | 38 | 26 | 32 | 37 | 54 | 41 | 14 | ∞ |

Ruta je kompletirana u potpunosti te glasi: $0 \rightarrow 5 \rightarrow 3 \rightarrow 2 \rightarrow 1 \rightarrow 6 \rightarrow 7 \rightarrow 4 \rightarrow 0$

4.5. Christofides-ov algoritam

Aproksimacijske metode daju u polinomijalnom⁵ vremenu približno tzv. sub-optimalno rješenje uz jamstvo da je to rješenje približno „blizu“ optimalnom. Međusobna razlika aproksimacijskih algoritama je po obliku „jamstva dobrote“ za rješenja koja daju. Stoga se dijele na apsolutno aproksimacijske, relativno aproksimacijske i aproksimacijske sheme. Najpoznatiji aproksimacijski algoritam, ujedno i algoritam koji je upotrebljavan u radu radi izračuna je *Christofidesov algoritam* koji se i najčešće koristi za konstrukciju rješenja te daje rješenja koja odstupaju približno 10% od optimalnog rješenja. *Christofidesov* algoritam je heuristički algoritam kojem je funkcija rješavanje problema trgovačkog putnika u potpunom grafu s trokutnom nejednakosti. Trokutna nejednakost se u problemu trgovačkog putnika može pokazati u slučaju: za bilo koja tri vrha (i, j i k) vrijedi da je udaljenost:

$$c_{ij} \leq c_{ik} + c_{jk} \quad (17)$$

⁵ U teoriji kompleksnosti, polinomijalno vrijeme odnosi se na vrijeme izračunavanja problema, gdje vrijeme, $m(n)$, nije veće od polinomijalne funkcije veličine problema n

Christofidesov algoritam temelji se na određivanju minimalnog razapinjućeg stabla te formiranjem Eulerovog grafa sparivanjem neparnih vrhova tog stabla minimalne ukupne težine. Minimalno razapinjuće stablo je razapinjuće stablo u težinskom grafu takvo da je težina razapinjućeg stabla minimalna, odnosno stablo koje se dobije iz grafa G uklanjanjem određenog broja grana iz grafa, a da graf ostaje povezan naziva se razapinjuće stablo, dok je Eulerov graf onaj graf kod kojeg postoji Eulerov ciklus. Svaki povezan graf ima razapinjuće stablo kao podgraf. Rješenje, odnosno ruta trgovačkog putnika algoritmom *Christofidesa* dobije se transformiranjem Eulerovog ciklusa korištenjem prečaca. Eulerov ciklus u neusmjerenom grafu je ciklus koji koristi svaki brid grafa isključivo jednom. Stoga *Christofidesov algoritam* još koristi naziv i *heuristika savršenog sparivanja*. Algoritam radi na način da se na zadanom grafu koji opisuje problem pronađe minimalno razapinjuće stablo te zatim iz navedenog stabla pronađu vrhovi koji su neparnog stupnja. Stupanj vrha određen je brojem bridova sa kojima je incidentan. Nakon toga nad tim vrhovima pronađe se minimalno savršeno uparivanje koje je jedan od najtežih kombinatornih problema koji se mogu riješiti u polinomnom vremenu. Algoritam se sastoji od sljedećih koraka [10, 15]:

- Korak 1: Pronaći najkraće pripadajuće stablo koje spaja n čvorova te ga označiti sa A
- Korak 2: Neka je k od n čvorova stabla A neparnog stupnja (k je uvijek paran broj). Izvršiti sparivanje po dva čvora od svih k čvorova tako da ukupna duljina ovih grana koje spajaju ove čvorove bude najmanja. Određeni k čvorovi s odgovarajućim granama dobivenim sparivanjem čine mrežu B te nacrtati mrežu C koja predstavlja uniju mreže A i mreže B .
- Korak 3: Mreža C ne sadrži čvorove neparnog stupnja. Nacrtati Eulerovu stazu u mreži C . Navedena Eulerova staza je približno rješenje za problem trgovačkog putnika.
- Korak 4: Provjeriti koji su sve čvorovi posjećeni više od jednog puta te poboljšati rutu trgovačkog putnika dobivenu nakon trećeg koraka uzimanjem u obzir nejednakosti:

$$d(a, b) \leq d(a, c) + d(c, b) \quad (18)$$

5. ANALIZA I PROJEKTIRANJE RUTA

U ovom poglavlju izvest će se analiza, proračuni i projektiranje ruta za distribucijsku mrežu distribucijske tvrtke Quehenberger Hrvatska d.o.o. U proces optimizacije uključeno je dvanaest ruta, a područje distribucije podijeljeno je na dva dijela, Prvi dio ruta vezan je za područje Sjeverne Hrvatske, dok se ostalih šest ruta odnosi na distribuciju na području Slavonije. Da bi se cijeli proces optimizirao, odnosno da bi se došlo do rješenja najkraćeg puta i ujedno smanjenja transportnih troškova, potrebno je projektirati i izračunati rute pomoću matematičkih metoda, a koristiti će se pet metoda, opisanih u poglavlju 4. Dobivena rješenja predstavljat će najkraći put za svaku od navedenih ruta prema pojedinoj metodi. Nakon svih izračuna, rezultati će se usporediti i odabrat će se najbolje rješenje za sljedeći korak optimizacije.

5.1. Rute na području Sjeverne Hrvatske

Pomoću navedenih matematičkih metoda za rute na području Sjeverne Hrvatske računat će se najkraći put u cilju smanjenja troškova distribucije, a ujedno će biti prikazano rješenje projektiranja svake od ruta na području Sjeverne Hrvatske. Za svaku rutu bit će prikazani podaci o narudžbi koji će služiti pri projektiranju.

5.1.1. Ruta HR-43627

U prvoj ruti Sjeverne Hrvatske, HR-43627 detaljno će biti prikazan postupak izračuna najkraćeg puta po svim matematičkim metodama. U tablici 2. prikazani su podaci koji služe za izračun najkraćeg puta. U tablici se nalazi polazna točka, odnosno Zagreb, te lokacije koje je potrebno opskrbiti robom. Također prikazana je i količina pakiranja i masa tereta koja utječe na odabir prijevoznog sredstva koje će obavljati distribuciju.

Tablica 2. Podaci o ruti HR-43627

| Redni broj | Vrijeme dostave | Skladišni centar | Odredište | Količina Pakiranja | Bruto masa (kg) | Šifra rute |
|------------|-----------------|------------------|-----------------|--------------------|-----------------|------------|
| 1. | 10.3.2017 0:00 | Zagreb | Kapela | 2 | 1245 | HR-43627 |
| 2. | 10.3.2017 0:00 | Zagreb | Pitomača | 1 | 100 | HR-43627 |
| 3. | 10.3.2017 0:00 | Zagreb | Drnje | 1 | 75 | HR-43627 |
| 4. | 10.3.2017 0:00 | Zagreb | Donji Kraljevec | 1 | 212 | HR-43627 |
| 5. | 10.3.2017 0:00 | Zagreb | Ludbreg | 1 | 250 | HR-43627 |
| 6. | 10.3.2017 0:00 | Zagreb | Koprivnica | 1 | 142 | HR-43627 |
| 7. | 10.3.2017 0:00 | Zagreb | Križevci | 1 | 779 | HR-43627 |

Prema tablici 2. u matrici su prikazane međusobne udaljenosti između navedenih čvorova, odnosno lokacija, koje će se koristiti pri izračunu ušteta, ali i općenito za projektiranje ruta.

| | x_0 | x_1 | x_2 | x_3 | x_4 | x_5 | x_6 | x_7 |
|-------|----------|----------|----------|----------|----------|----------|----------|----------|
| x_0 | ∞ | 84 | 122 | 112 | 110 | 94 | 116 | 62 |
| x_1 | 84 | ∞ | 42 | 36 | 64 | 47 | 26 | 32 |
| x_2 | 122 | 42 | ∞ | 46 | 79 | 64 | 43 | 71 |
| x_3 | 112 | 36 | 46 | ∞ | 35 | 30 | 10 | 43 |
| x_4 | 110 | 64 | 79 | 35 | ∞ | 21 | 37 | 56 |
| x_5 | 94 | 47 | 64 | 30 | 21 | ∞ | 20 | 35 |
| x_6 | 116 | 26 | 43 | 10 | 37 | 20 | ∞ | 33 |
| x_7 | 62 | 32 | 71 | 43 | 56 | 35 | 33 | ∞ |

Clark – Wright-ov algoritam „ušteta“

Za početak potrebno je iz matrice udaljenosti izračunati uštete za svaki par čvorova međusobno. Uštete se izračunavaju prema formuli (4), a rješenje svakog pojedinačnog izračuna prikazuje vrijednost uštete između dva odabrana vrha. U nastavku je prikazan postupak izračuna:

Uštete se izračunavaju prema formuli (4):

$$S(i, j) = d(0, i) + d(0, j) - d(i, j)$$

$$S_{12} = d(0,1) + d(0,2) - d(1,2) = 84 + 122 - 42 = 164$$

$$S_{13} = 84 + 112 - 36 = 160$$

$$S_{14} = 84 + 110 - 64 = 130$$

$$S_{15} = 84 + 94 - 47 = 131$$

$$S_{16} = 84 + 116 - 26 = 174$$

$$S_{17} = 84 + 62 - 32 = 114$$

$$S_{23} = 122 + 112 - 46 = 188$$

$$S_{24} = 122 + 110 - 79 = 153$$

$$S_{25} = 122 + 94 - 64 = 152$$

$$S_{26} = 122 + 116 - 43 = 195$$

$$S_{27} = 122 + 62 - 71 = 113$$

$$S_{34} = 112 + 110 - 35 = 187$$

$$S_{35} = 112 + 94 - 30 = 176$$

$$S_{36} = 112 + 116 - 10 = 218$$

$$S_{37} = 112 + 62 - 43 = 131$$

$$S_{45} = 110 + 94 - 21 = 183$$

$$S_{46} = 110 + 116 - 37 = 189$$

$$S_{47} = 110 + 62 - 56 = 116$$

$$S_{56} = 94 + 116 - 20 = 190$$

$$S_{57} = 94 + 62 - 35 = 121$$

$$S_{67} = 116 + 62 - 33 = 145$$

U tablici 3. prikazane su vrijednosti ušteta za svaku granu između vrhova prema redoslijedu vrhova dobivene pomoću formule (4).

Tablica 3. Uštede za rutu HR-43627 prema redoslijedu vrhova

| Grana (i,j) | Ušteda $s(i,j)$ | Grana (i,j) | Ušteda $s(i,j)$ | Grana (i,j) | Ušteda $s(i,j)$ |
|--------------------|--------------------|--------------------|--------------------|--------------------|--------------------|
| (1,2) | 164 | (2,4) | 153 | (3,7) | 131 |
| (1,3) | 160 | (2,5) | 152 | (4,5) | 183 |
| (1,4) | 130 | (2,6) | 195 | (4,6) | 189 |
| (1,5) | 131 | (2,7) | 113 | (4,7) | 116 |
| (1,6) | 174 | (3,4) | 187 | (5,6) | 190 |
| (1,7) | 114 | (3,5) | 176 | (5,7) | 121 |
| (2,3) | 188 | (3,6) | 218 | (6,7) | 145 |

U sljedećem koraku potrebno je rangirati vrijednosti ušteda od najveće prema najmanjoj kako bi se mogao nastaviti postupak izvršavanja *Clark-Wright-ovog algoritma*, odnosno radi projektiranja ruta vozila. Tablica 4. prikazuje vrijednosti ušteda prema redoslijedu od najveće prema najmanjoj vrijednosti.

Tablica 4. Lista ušteda za rutu HR-43627 rangirana prema veličini

| Grana (i,j) | Ušteda $s(i,j)$ | Grana (i,j) | Ušteda $s(i,j)$ | Grana (i,j) | Ušteda $s(i,j)$ |
|--------------------|--------------------|--------------------|--------------------|--------------------|--------------------|
| (3,6) | 218 | (3,5) | 176 | (1,5) | 131 |
| (2,6) | 195 | (1,6) | 174 | (3,7) | 131 |
| (5,6) | 190 | (1,2) | 164 | (1,4) | 130 |
| (4,6) | 189 | (1,3) | 160 | (5,7) | 121 |
| (2,3) | 188 | (2,4) | 153 | (4,7) | 116 |
| (3,4) | 187 | (2,5) | 152 | (1,7) | 114 |
| (4,5) | 183 | (6,7) | 145 | (2,7) | 113 |

U posljednjem koraku *Clark-Wright-ovog algoritma* izračunava se ruta prema rangiranim uštedama iz tablice 4. uz zadovoljavanje operativnih ograničenja odnosno uvjeta. U nastavku je prikazan postupak izračuna rute:

(3,6) => $0 \leftrightarrow 3 \leftrightarrow 6 \leftrightarrow 0$,

(2,6) => $0 \leftrightarrow 3 \leftrightarrow 6 \leftrightarrow 2 \leftrightarrow 0$,

(5,6) => Navedenu granu nije moguće koristiti jer čvor 6 kao poveznica je unutarnji čvor u ruti,

(4,6) => Jednaki slučaj kao kod prethodne uštede,

(2,3) => Povezivanje čvorova u ovom slučaju nije moguće, jer su oba čvora vanjski vrhovi te bi u slučaju povezivanja došlo do nastanka pod-rute, odnosno *subtour-a*,

(3,4) => $0 \leftrightarrow 4 \leftrightarrow 3 \leftrightarrow 6 \leftrightarrow 2 \leftrightarrow 0$,

(4,5) => $0 \leftrightarrow 5 \leftrightarrow 4 \leftrightarrow 3 \leftrightarrow 6 \leftrightarrow 2 \leftrightarrow 0$,

(3,5) => Oba čvora se već nalaze u djelomičnoj ruti,

(1,6) => Čvor 6 je unutarnji čvor u ruti, stoga ga nije moguće povezati s čvorom 1,

(1,2) => $0 \leftrightarrow 5 \leftrightarrow 4 \leftrightarrow 3 \leftrightarrow 6 \leftrightarrow 2 \leftrightarrow 1 \leftrightarrow 0$,

(1,3), (2,4), (2,5) => Svi navedeni čvorovi nalaze se u ruti,

(6,7) => Čvor 6 je unutarnji čvor u ruti, uvjet nije zadovoljen,

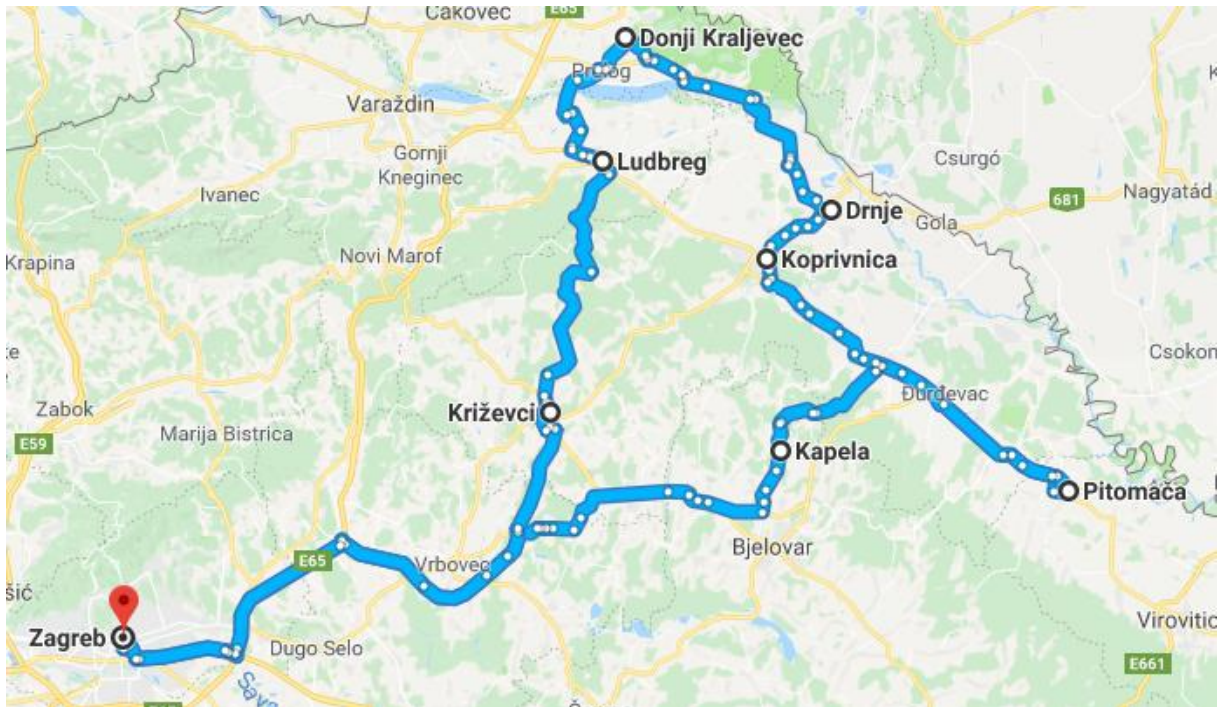
(1,5) => Oba čvora se nalaze u ruti,

(3,7) => Nemogućnost povezivanja jer je čvor 3 unutarnji čvor u ruti,

(1,4) => Čvorovi se već nalaze u ruti,

(5,7) => $0 \leftrightarrow 7 \leftrightarrow 5 \leftrightarrow 4 \leftrightarrow 3 \leftrightarrow 6 \leftrightarrow 2 \leftrightarrow 1 \leftrightarrow 0 = 332 \text{ km}$

Povezivanjem u rutu posljednjeg čvora, algoritam završava te se ostale grane, odnosno uštede ne uzimaju u obzir. Konačna ruta glasi: $0 \leftrightarrow 7 \leftrightarrow 5 \leftrightarrow 4 \leftrightarrow 3 \leftrightarrow 6 \leftrightarrow 2 \leftrightarrow 1 \leftrightarrow 0$, a prikazana je na slici (17).



Slika 17. Ruta HR-43627 kao rješenje Clark-Wright-ovog algoritma ušteta

Metoda s indikatorom T

U nastavku je prikazana polu-matrica unutar koje se nalaze uštede prema čvorovima. Uštede se izračunavaju na jednak način kao i kod *Clark-Wright-ovog algoritma ušteta*, odnosno prema formuli (4).

| | | | | | | | |
|-------|-------|-------|-------|-------|-------|-------|-------|
| | x_1 | x_2 | x_3 | x_4 | x_5 | x_6 | x_7 |
| x_0 | 2 | 2 | 2 | 2 | 2 | 2 | 2 |
| | x_1 | 164 | 160 | 130 | 131 | 174 | 114 |
| | | x_2 | 188 | 153 | 152 | 195 | 113 |
| | | | x_3 | 187 | 176 | 218 | 131 |
| | | | | x_4 | 183 | 189 | 116 |
| | | | | | x_5 | 190 | 121 |
| | | | | | | x_6 | 145 |

Najveća ušteta je ušteta između čvorova x_3 i x_6 , stoga se mogućnost korištenja navedenih čvorova smanjuje za jedan. Postavlja se ruta $0 \leftrightarrow 3 \leftrightarrow 6 \leftrightarrow 0$.

| | x_1 | x_2 | x_3 | x_4 | x_5 | x_6 | x_7 |
|-------|-------|-------|-------|-------|----------|-------|-------|
| x_0 | 2 | 2 | ① | 2 | 2 | ① | 2 |
| x_1 | 164 | 160 | 130 | 131 | 174 | 114 | |
| x_2 | | 188 | 153 | 152 | 195 | 113 | |
| x_3 | | | 187 | 176 | ① 218 | 131 | |
| x_4 | | | | 183 | 189 | 116 | |
| x_5 | | | | | 190 | 121 | |
| x_6 | | | | | | 145 | |

$0 \leftrightarrow 3 \leftrightarrow 6 \leftrightarrow 0$

Sljedeća najveća ušteda iznosi 195 km i uključuje čvorove x_2 i x_6 . Na jednak način oduzimaju se mogućnosti korištenja čvorova. Obzirom na oduzimanje mogućnosti korištenja, čvor x_6 iskorišten je maksimalno dva puta te sada ima funkciju unutarnjeg čvora u novo nastaloj ruti: $0 \leftrightarrow 3 \leftrightarrow 6 \leftrightarrow 2 \leftrightarrow 0$.

| | x_1 | x_2 | x_3 | x_4 | x_5 | x_6 | x_7 |
|-------|-------|-------|-------|-------|----------|-------|-------|
| x_0 | 2 | ① | ① | 2 | 2 | ① | 2 |
| x_1 | 164 | 160 | 130 | 131 | 174 | 114 | |
| x_2 | | 188 | 153 | 152 | ① 195 | 113 | |
| x_3 | | | 187 | 176 | ① 218 | 131 | |
| x_4 | | | | 183 | 189 | 116 | |
| x_5 | | | | | 190 | 121 | |
| x_6 | | | | | | 145 | |

$0 \leftrightarrow 3 \leftrightarrow 6 \leftrightarrow 2 \leftrightarrow 0$

Sljedeća maksimalna ušteda iznosi 190 km, a uključuje čvorove x_5 i x_6 , međutim navedenu uštedu te sljedeću nakon nje najveću uštedu 189 km, čvorova x_4 i x_6 , nije moguće koristiti jer čvor x_6 više nema mogućnost korištenja zbog lokacije unutarnjeg čvora u ruti. Kombinaciju čvorova x_2 i x_3 nije moguće koristiti jer čvorovi su vanjske točke jedne rute iako ušteda iznosi 188 km. Najveća ušteda koju je moguće koristiti je ušteda koja uključuje čvorove x_3 i x_4 , a iznosi 187 km. Povezivanjem čvorova x_3 i x_4 nastaje ruta $0 \leftrightarrow 4 \leftrightarrow 3 \leftrightarrow 6 \leftrightarrow 2 \leftrightarrow 0$.

| | x_1 | x_2 | x_3 | x_4 | x_5 | x_6 | x_7 |
|-------|-------|-------|----------|-------|----------|-------|-------|
| x_0 | 2 | ① | ① | ① | 2 | ① | 2 |
| x_1 | 164 | 160 | 130 | 131 | 174 | 114 | |
| x_2 | | 188 | 153 | 152 | ① 195 | 113 | |
| x_3 | | | ① 187 | 176 | ① 218 | 131 | |
| x_4 | | | | 183 | 189 | 116 | |
| x_5 | | | | | 190 | 121 | |
| x_6 | | | | | | 145 | |

$0 \leftrightarrow 4 \leftrightarrow 3 \leftrightarrow 6 \leftrightarrow 2 \leftrightarrow 0$

Ušteda čvorova x_4 i x_5 iznosi 183 km, odnosno sljedeća najveća ušteda koju je moguće koristiti. Čvor x_5 nadovezuje se na čvor x_4 , taj postupak čini čvor x_4 uz čvorove x_3 , x_6 unutarnjim čvorovima, odnosno nije ih moguće koristiti pri daljnjim izračunima. Nova ruta glasi: $0 \leftrightarrow 5 \leftrightarrow 4 \leftrightarrow 3 \leftrightarrow 6 \leftrightarrow 2 \leftrightarrow 0$.

| | x_1 | x_2 | x_3 | x_4 | x_5 | x_6 | x_7 |
|-------|-------|-------|----------|----------|----------|-------|-------|
| x_0 | 2 | ① | ① | ① | ① | ① | 2 |
| x_1 | 164 | 160 | 130 | 131 | 174 | 114 | |
| x_2 | | 188 | 153 | 152 | ① 195 | 113 | |
| x_3 | | | ① 187 | 176 | ① 218 | 131 | |
| x_4 | | | | ① 183 | 189 | 116 | |
| x_5 | | | | | 190 | 121 | |
| x_6 | | | | | | 145 | |

$0 \leftrightarrow 5 \leftrightarrow 4 \leftrightarrow 3 \leftrightarrow 6 \leftrightarrow 2 \leftrightarrow 0$

Uštede čvorova x_3 i x_5 te x_1 i x_6 nije moguće koristiti iako su vrijednosti ušteta veće od ušteta čvorova x_1 i x_2 korištene u ovom koraku izračuna, iz razloga jer su čvor x_3 i čvor x_6 unutarnji čvorovi u ruti ili su oba čvora već uključena u rutu. Čvor x_1 nadovezuje se s rutom preko čvora x_2 , jer ušteta čvorova x_1 i x_2 iznosi 164 km te je prema redosljedu sljedeća najveća ušteta koja zadovoljava sve uvjete. Nakon izračuna, nadograđena ruta je: $0 \leftrightarrow 5 \leftrightarrow 4 \leftrightarrow 3 \leftrightarrow 6 \leftrightarrow 2 \leftrightarrow 1 \leftrightarrow 0$

| | x_1 | x_2 | x_3 | x_4 | x_5 | x_6 | x_7 |
|-------|----------|-------|----------|----------|----------|-------|-------|
| x_0 | ① | ① | ① | ① | ① | ① | 2 |
| x_1 | ① 164 | 160 | 130 | 131 | 174 | 114 | |
| x_2 | | 188 | 153 | 152 | ① 195 | 113 | |
| x_3 | | | ① 187 | 176 | ① 218 | 131 | |
| x_4 | | | | ① 183 | 189 | 116 | |
| x_5 | | | | | 190 | 121 | |
| x_6 | | | | | | 145 | |

$0 \leftrightarrow 5 \leftrightarrow 4 \leftrightarrow 3 \leftrightarrow 6 \leftrightarrow 2 \leftrightarrow 1 \leftrightarrow 0$

Posljednji čvor koji je potrebno povezati s rutom je čvor x_7 . Čvor je moguće povezati s čvorom x_5 ili s čvorom x_1 ovisno o veličini uštede, stoga se sve ostale vrijednosti zanemaruju. Obzirom da je vrijednost uštede x_5 i x_7 veća od vrijednosti uštede x_1 i x_7 , jedine dvije moguće kombinacije, čvor x_7 povezuje se s čvorom x_5 , a ušteda iznosi 121 km. Posljednjim korakom, kompletirana je ruta koja glasi: $0 \leftrightarrow 7 \leftrightarrow 5 \leftrightarrow 4 \leftrightarrow 3 \leftrightarrow 6 \leftrightarrow 2 \leftrightarrow 1 \leftrightarrow 0$.

| | x_1 | x_2 | x_3 | x_4 | x_5 | x_6 | x_7 |
|-------|-------|----------|-------|----------|----------|----------|----------|
| x_0 | ① | ① | ① | ① | ① | ① | ① |
| x_1 | | ① 164 | 160 | 130 | 131 | 174 | 114 |
| x_2 | | | 188 | 153 | 152 | ① 195 | 113 |
| x_3 | | | | ① 187 | 176 | ① 218 | 131 |
| x_4 | | | | | ① 183 | 189 | 116 |
| x_5 | | | | | | 190 | ① 121 |
| x_6 | | | | | | | 145 |

$$0 \leftrightarrow 7 \leftrightarrow 5 \leftrightarrow 4 \leftrightarrow 3 \leftrightarrow 6 \leftrightarrow 2 \leftrightarrow 1 \leftrightarrow 0 = 332 \text{ km}$$

Metoda grananja i ograničavanja

Rješavanje problema trgovačkog putnika pomoću *metode grananja i ograničavanja* izvodi se na način kako je objašnjeno u poglavlju 4.3.1.

Matrični prikaz međusobnih udaljenosti između lokacija osnova je za izračun *metode grananja i ograničavanja*, a nalazi se u nastavku:

| | x_0 | x_1 | x_2 | x_3 | x_4 | x_5 | x_6 | x_7 |
|-------|----------|----------|----------|----------|----------|----------|----------|----------|
| x_0 | ∞ | 84 | 122 | 112 | 110 | 94 | 116 | 62 |
| x_1 | 84 | ∞ | 42 | 36 | 64 | 47 | 26 | 32 |
| x_2 | 122 | 42 | ∞ | 46 | 79 | 64 | 43 | 71 |
| x_3 | 112 | 36 | 46 | ∞ | 35 | 30 | 10 | 43 |
| x_4 | 110 | 64 | 79 | 35 | ∞ | 21 | 37 | 56 |
| x_5 | 94 | 47 | 64 | 30 | 21 | ∞ | 20 | 35 |
| x_6 | 116 | 26 | 43 | 10 | 37 | 20 | ∞ | 33 |
| x_7 | 62 | 32 | 71 | 43 | 56 | 35 | 33 | ∞ |

Vrijednosti iz svakog retka oduzimaju se s minimalnim vrijednostima pojedinih redaka; U prvom retku kod čvora x_0 minimalna udaljenost iznosi 62, stoga se ona oduzima od svih ostalih vrijednosti u tom retku, zatim u drugom retku, minimalna vrijednost kod čvora x_1 iznosi 26, pa se ta vrijednost oduzima od ostalih vrijednosti u istom retku. Isti princip vrijedi za sve ostale retke.

| | x_0 | x_1 | x_2 | x_3 | x_4 | x_5 | x_6 | x_7 |
|-------|----------|----------|----------|----------|----------|----------|----------|----------|
| x_0 | ∞ | 22 | 60 | 50 | 48 | 32 | 54 | 0 |
| x_1 | 58 | ∞ | 16 | 10 | 38 | 21 | 0 | 6 |
| x_2 | 80 | 0 | ∞ | 4 | 37 | 22 | 1 | 29 |
| x_3 | 102 | 26 | 36 | ∞ | 25 | 20 | 0 | 33 |
| x_4 | 89 | 43 | 58 | 14 | ∞ | 0 | 16 | 35 |
| x_5 | 74 | 27 | 44 | 10 | 1 | ∞ | 0 | 15 |
| x_6 | 106 | 16 | 33 | 0 | 27 | 10 | ∞ | 23 |
| x_7 | 30 | 0 | 39 | 11 | 24 | 3 | 1 | ∞ |

Nakon dobivene prve reducirane matrice, oduzimaju se sve vrijednosti stupaca s minimalnim vrijednostima svakog pojedinog stupca; u stupcu x_0 minimalna vrijednost iznosi 30, navedena vrijednost oduzima se od svih vrijednosti u prvom stupcu. U drugom stupcu, kod čvora x_1 minimalna vrijednost je 0, oduzimanjem nule od svih vrijednosti, rezultat ostaje nepromijenjen, treći stupac, x_2 ima minimalnu vrijednost u iznosu 16, ostale vrijednosti oduzimaju se s minimalnom vrijednošću. Istim principom rješavaju se preostali retci.

| | x_0 | x_1 | x_2 | x_3 | x_4 | x_5 | x_6 | x_7 |
|-------|----------|----------|----------|----------|----------|----------|----------|----------|
| x_0 | ∞ | 22 | 44 | 50 | 47 | 32 | 54 | 0 |
| x_1 | 28 | ∞ | 0 | 10 | 37 | 21 | 0 | 6 |
| x_2 | 50 | 0 | ∞ | 4 | 36 | 22 | 1 | 29 |
| x_3 | 72 | 26 | 20 | ∞ | 24 | 20 | 0 | 33 |
| x_4 | 59 | 43 | 42 | 14 | ∞ | 0 | 16 | 35 |
| x_5 | 44 | 27 | 28 | 10 | 0 | ∞ | 0 | 15 |
| x_6 | 76 | 16 | 17 | 0 | 26 | 10 | ∞ | 23 |
| x_7 | 0 | 0 | 23 | 11 | 23 | 3 | 1 | ∞ |

Nakon što svaki redak i svaki stupac sadrži barem po jednu nulu, sljedeći korak je izračun kazni za nekorištenje predložene veze među gradovima, tako da se zbrajaju minimalne vrijednosti iz stupca i retka gdje se nula nalazi te odabir najveće vrijednosti kazne koja ujedno znači i prva relacija u ruti. Primjerice, prva nula prema redosljedu je nula u retku x_0 i stupcu x_7 , kod navedene nule zbraja se minimalna vrijednost u stupcu x_0 i minimalna vrijednost u retku x_7 , na primjeru to glasi: $22 + 6 = 28$, nuli se dopiše navedena vrijednost kazne. Zatim sljedeća nula po redu jest nula u retku x_1 te stupcu x_2 , minimalna vrijednost u retku x_1 iznosi 0, kada se zbroji sa 17, minimalnom vrijednošću u stupcu x_2 , dobije se vrijednost kazne 17 koja se dopiše navedenoj nuli. Jednakim principom izračunavaju se preostale kazne za svaku nulu u reduciranoj matrici udaljenosti. Nakon izračuna svih kazni, postoje dvije kazne s vrijednošću 28, prema metodi sjeverno-zapadnog kuta odabire se kazna iz retka x_0 i stupca x_7 ;

| | x_0 | x_1 | x_2 | x_3 | x_4 | x_5 | x_6 | x_7 |
|-------|------------|-----------|------------|------------|------------|------------|------------|------------|
| x_0 | ∞ | 22 | 44 | 50 | 47 | 32 | 54 | $0^{(28)}$ |
| x_1 | 28 | ∞ | $0^{(17)}$ | 10 | 37 | 21 | $0^{(0)}$ | 6 |
| x_2 | 50 | $0^{(1)}$ | ∞ | 4 | 36 | 22 | 1 | 29 |
| x_3 | 72 | 26 | 20 | ∞ | 24 | 20 | $0^{(20)}$ | 33 |
| x_4 | 59 | 43 | 42 | 14 | ∞ | $0^{(17)}$ | 16 | 35 |
| x_5 | 44 | 27 | 28 | 10 | $0^{(23)}$ | ∞ | $0^{(0)}$ | 15 |
| x_6 | 76 | 16 | 17 | $0^{(14)}$ | 26 | 10 | ∞ | 23 |
| x_7 | $0^{(28)}$ | $0^{(0)}$ | 23 | 11 | 23 | 3 | 1 | ∞ |

Prva relacija u ruti je $0 \rightarrow 7$ te se ta dva čvora ukidaju u procesu daljnjeg izračuna rute, također potrebno je isključiti vrijednost u retku x_7 i stupcu x_0 da ne bi nastala pod-ruta (*subtour*) $0 \rightarrow 7 \rightarrow 0$.

| | x_0 | x_1 | x_2 | x_3 | x_4 | x_5 | x_6 |
|-------|----------|----------|----------|----------|----------|----------|----------|
| x_1 | 28 | ∞ | 0 | 10 | 37 | 21 | 0 |
| x_2 | 50 | 0 | ∞ | 4 | 36 | 22 | 1 |
| x_3 | 72 | 26 | 20 | ∞ | 24 | 20 | 0 |
| x_4 | 59 | 43 | 42 | 14 | ∞ | 0 | 16 |
| x_5 | 44 | 27 | 28 | 10 | 0 | ∞ | 0 |
| x_6 | 76 | 16 | 17 | 0 | 26 | 10 | ∞ |
| x_7 | ∞ | 0 | 23 | 11 | 23 | 3 | 1 |

Obzirom da svi retci i svi stupci ne sadrže nulu, potrebno je ponovno oduzeti retke s minimalnim vrijednosti redaka te stupce s minimalnim elementima stupaca kao što je prije navedeno;

| | x_0 | x_1 | x_2 | x_3 | x_4 | x_5 | x_6 |
|-------|----------|----------|----------|----------|----------|----------|----------|
| x_1 | 0 | ∞ | 0 | 10 | 37 | 21 | 0 |
| x_2 | 22 | 0 | ∞ | 4 | 36 | 22 | 1 |
| x_3 | 44 | 26 | 20 | ∞ | 24 | 20 | 0 |
| x_4 | 31 | 43 | 42 | 14 | ∞ | 0 | 16 |
| x_5 | 16 | 27 | 28 | 10 | 0 | ∞ | 0 |
| x_6 | 48 | 16 | 17 | 0 | 26 | 10 | ∞ |
| x_7 | ∞ | 0 | 23 | 11 | 23 | 3 | 1 |

U sljedećoj matrici izračunate su kazne za nekorištenje predložene veze među gradovima i odabir nove relacije:

| | x_0 | x_1 | x_2 | x_3 | x_4 | x_5 | x_6 |
|-------|------------|-----------|------------|------------|------------|------------|------------|
| x_1 | $0^{(16)}$ | ∞ | $0^{(17)}$ | 10 | 37 | 21 | $0^{(0)}$ |
| x_2 | 22 | $0^{(1)}$ | ∞ | 4 | 36 | 22 | 1 |
| x_3 | 44 | 26 | 20 | ∞ | 24 | 20 | $0^{(20)}$ |
| x_4 | 31 | 43 | 42 | 14 | ∞ | $0^{(17)}$ | 16 |
| x_5 | 16 | 27 | 28 | 10 | $0^{(23)}$ | ∞ | $0^{(0)}$ |
| x_6 | 48 | 16 | 17 | $0^{(14)}$ | 26 | 10 | ∞ |
| x_7 | ∞ | $0^{(1)}$ | 23 | 11 | 23 | 3 | 1 |

Dobivena relacija je $5 \rightarrow 4$, stoga je potrebno isključiti vrijednost u retku x_4 i stupcu x_5 da ne bi nastala pod-ruta $5 \rightarrow 4 \rightarrow 5$.

| | x_0 | x_1 | x_2 | x_3 | x_5 | x_6 |
|-------|----------|----------|----------|----------|----------|----------|
| x_1 | 0 | ∞ | 0 | 10 | 21 | 0 |
| x_2 | 22 | 0 | ∞ | 4 | 22 | 1 |
| x_3 | 44 | 26 | 20 | ∞ | 20 | 0 |
| x_4 | 31 | 43 | 42 | 14 | ∞ | 16 |
| x_6 | 48 | 16 | 17 | 0 | 10 | ∞ |
| x_7 | ∞ | 0 | 23 | 11 | 3 | 1 |

U nastavku je prikazana matrica u kojoj su ponovno oduzimani retci i stupci od minimalnih elemenata te izračun kazni za nekorisćenje predložene veze među gradovima i odabir relacije;

| | x_0 | x_1 | x_2 | x_3 | x_5 | x_6 |
|-------|---------------------------------|--------------------------------|----------------------------------|-----------|-----------|---------------------------------|
| x_1 | $0^{(7)}$ | ∞ | $0^{(17)}$ | 10 | 18 | $0^{(0)}$ |
| x_2 | 22 | $0^{(1)}$ | ∞ | 4 | 19 | 1 |
| x_3 | 44 | 26 | 20 | ∞ | 17 | $0^{(17)}$ |
| x_4 | 17 | 29 | 28 | $0^{(2)}$ | ∞ | 2 |
| x_6 | 48 | 16 | 17 | $0^{(7)}$ | 7 | ∞ |
| x_7 | ∞ | $0^{(0)}$ | 23 | 11 | $0^{(7)}$ | 1 |

Sljedeća dobivena relacija je $1 \rightarrow 0$. Zatim se izrađuje nova matrica te se ponavlja korak s oduzimanjem redaka i stupaca s minimalnim elementima i novi izračun kazni uz odabir nove relacije;

| | x_1 | x_2 | x_3 | x_5 | x_6 |
|-----------------------------|---------------------------------|--------------|---------------|---------------------------------|--------------|
| x_2 | $0^{(1)}$ | ∞ | 4 | 19 | 1 |
| x_3 | 26 | 3 | ∞ | 17 | $0^{(4)}$ |
| x_4 | 29 | 11 | $0^{(2)}$ | ∞ | 2 |
| x_6 | 16 | $0^{(3)}$ | $0^{(0)}$ | 7 | ∞ |
| x_7 | $0^{(0)}$ | 6 | 11 | $0^{(7)}$ | 1 |

$7 \rightarrow 5$ je još jedna u nizu dobivenih relacija u ruti. Obzirom da svi preostali retci i stupci sadrže nulu, potrebno je samo izračunati kazne za nekorisćenje predložene veze među gradovima;

| | x_1 | x_2 | x_3 | x_6 |
|-------|-----------|-----------|-----------|-----------|
| x_2 | $0^{(7)}$ | ∞ | 4 | 1 |
| x_3 | 26 | 3 | ∞ | $0^{(4)}$ |
| x_4 | 29 | 11 | $0^{(2)}$ | 2 |
| x_6 | 16 | $0^{(3)}$ | $0^{(0)}$ | ∞ |

Rješenje reducirane matrice je relacija $2 \rightarrow 1$. Sljedeća matrica kao i prethodna sadrži nule u svakom retku i stupcu stoga nije potreban proračun oduzimanja redaka i stupaca s minimalnim elementima.

| | x_2 | x_3 | x_6 |
|-------|-----------|-----------|-----------|
| x_3 | 3 | ∞ | $0^{(5)}$ |
| x_4 | 11 | $0^{(2)}$ | 2 |
| x_6 | $0^{(3)}$ | $0^{(0)}$ | ∞ |

Pretposljednja matrica dala je dodatno rješenje u ruti, relaciju $3 \rightarrow 6$. Posljednja matrica sadrži nule u svim retcima i stupcima jer je na mjestu retka x_6 i stupca x_3 isključena vrijednost radi stvaranja pod-rute, stoga posljednje dvije relacije su $4 \rightarrow 3$ i $6 \rightarrow 2$;

| | x_2 | x_3 |
|-------|------------|-----------|
| x_4 | 11 | $0^{(1)}$ |
| x_6 | $0^{(11)}$ | ∞ |

Rješenje, odnosno cjelokupna ruta glasi: $0 \leftrightarrow 7 \leftrightarrow 5 \leftrightarrow 4 \leftrightarrow 3 \leftrightarrow 6 \leftrightarrow 2 \leftrightarrow 1 \leftrightarrow 0 = 332$ km

Metoda najbližeg susjeda

Obzirom da *heuristika najbližeg susjeda* nalaže odabir minimalnih udaljenosti tako se za početak odabire minimalna vrijednost u prvom retku x_0 koja iznosi 62 te predstavlja poveznicu između x_0 i x_7 . Zatim se u retku x_7 traži minimalna udaljenost, ne uključujući vrhove x_0 radi pod-rute te x_7 jer je taj vrh već odabran. Minimalna vrijednost u retku x_7 iznosi 32 i povezuje čvor x_7 sa čvorom x_1 . Ruta se nastavlja od čvora x_1 prema čvoru x_6 obzirom da minimalna udaljenost između ta dva čvora iznosi 26. Odabirom minimalne vrijednosti koja iznosi 10, nastaje nova grana u ruti, a povezuje čvorove x_6 i x_3 . Minimalna vrijednost u retku x_3 iznosi 10, međutim povezuje čvor x_3 s čvorom x_6 koji se već nalazi u ruti, stoga takvo

povezivanje nije moguće. Udaljenost koja iznosi 30 te povezuje čvor x_3 s čvorom x_5 moguće je odabrati jer je sljedeća minimalna vrijednost koja zadovoljava ograničenja. Čvor x_5 povezan je s čvorom x_4 jer minimalna udaljenost u retku koju je moguće izabrati iznosi 21. Preostali čvorovi koje je potrebno povezati u rutu su x_0 i x_2 , obzirom da čvor x_0 treba doći kao posljednji, odnosno završni čvor, sljedeći čvor koji se uključuje u rutu je čvor x_2 , a udaljenost između x_4 i x_2 iznosi 79. Da bi se ruta kompletirala čvor x_2 povezuje se s čvorom x_0 , a udaljenost iznosi 122. Udaljenost između preposljednjeg i posljednjeg čvora ne mora biti minimalna jer se povezivanje vrši prema redosljedju, polazni čvor je uvijek i posljednji, završni čvor, stoga i posljednja vrijednost, tj. udaljenost ne mora nužno biti minimalna kao što metoda najbližeg susjeda to nalaže, primjerice u ovom primjeru je maksimalna.

| | x_0 | x_1 | x_2 | x_3 | x_4 | x_5 | x_6 | x_7 |
|-------|----------|----------|----------|----------|----------|----------|----------|----------|
| x_0 | ∞ | 84 | 122 | 112 | 110 | 94 | 116 | 62 |
| x_1 | 84 | ∞ | 42 | 36 | 64 | 47 | 26 | 32 |
| x_2 | 122 | 42 | ∞ | 46 | 79 | 64 | 43 | 71 |
| x_3 | 112 | 36 | 46 | ∞ | 35 | 30 | 10 | 43 |
| x_4 | 110 | 64 | 79 | 35 | ∞ | 21 | 37 | 56 |
| x_5 | 94 | 47 | 64 | 30 | 21 | ∞ | 20 | 35 |
| x_6 | 116 | 26 | 43 | 10 | 37 | 20 | ∞ | 33 |
| x_7 | 62 | 32 | 71 | 43 | 56 | 35 | 33 | ∞ |

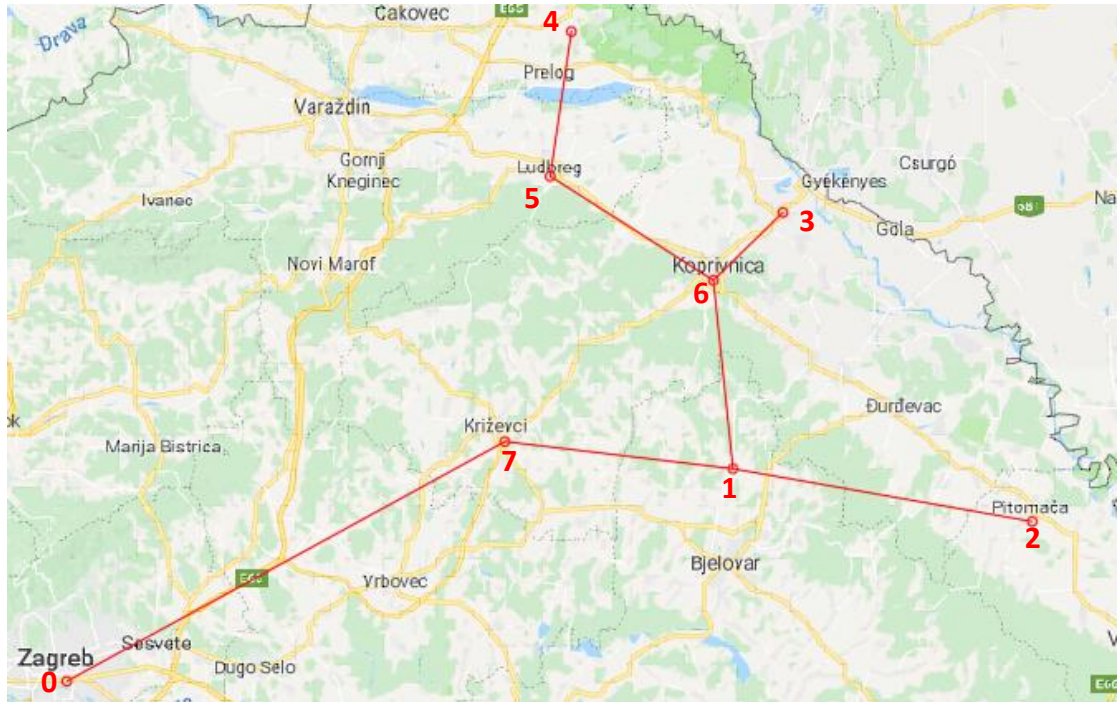
$0 \leftrightarrow 7 \leftrightarrow 1 \leftrightarrow 6 \leftrightarrow 3 \leftrightarrow 5 \leftrightarrow 4 \leftrightarrow 2 \leftrightarrow 0 = 382 \text{ km}$

Christofides-ov algoritam

U prvom koraku *Christofides-ovog algoritma* potrebno je pronaći minimalno razapinjuće stablo u grafu. Stablo se pronalazi na način da se prema matrici udaljenosti pronađe početna minimalna udaljenost između dva čvora, u ovom slučaju to je udaljenost između čvorova x_3 i x_6 koja iznosi 10 km. Zatim, potrebno je pronaći prvu sljedeću minimalnu udaljenost koja se nastavlja od povezanih čvorova, u ovom slučaju to su čvorovi x_3 i x_6 . Sljedeća po veličini vrijednost (udaljenost) koja se nastavlja je udaljenost od čvora x_6 prema čvoru x_5 i iznosi 20 km. Jednakim načinom pronalazi se nova minimalna udaljenost koja je usmjerena od čvorova x_3, x_5, x_6 , tražena udaljenost iznosi 21 km i nalazi se između čvorova x_5 i x_4 . Od čvora x_6 prema čvoru x_1 nalazi se sljedeća tražena minimalna udaljenost i njen iznos je 26 km. Iako vrijednost sljedeće minimalne udaljenosti iznosi 30 km, nije je moguće koristiti

iz razloga jer bi njenim odabirom nastala pod-ruta, odnosno *subtour* jer se navedena udaljenost nalazi između čvorova x_3 i x_5 koji su već uključeni u stablo. Stoga, odabire se sljedeća minimalna udaljenost koja zadovoljava ranije navedeni uvjet, prema tom kriteriju to je udaljenost koja povezuje čvorove x_1 i x_7 , a iznosi 32 km. Čvorovi koji još nisu uključeni u stablo su x_0 i x_2 , obzirom da su udaljenosti u stupcu x_2 , odnosno retku x_2 manje od onih u retku x_0 , čvor x_2 se odabire kao sljedeći čvor za uključivanje u stablo te se prilikom pregleda vrijednosti u njegovom stupcu ili retku može prepoznati minimalna udaljenost koja iznosi 42 km, a povezuje čvor x_2 s čvorom x_1 . Minimalna udaljenost od čvora x_0 poveznica je s čvorom x_7 , prema tom kriteriju, to je posljednja grana u razapinjućem stablu te je izrada stabla završena. U nastavku je prikazana matrica s rješenjem odabira minimane udaljenosti te slika koja prikazuje na primjeru dobiveno razapinjuće stablo.

| | x_0 | x_1 | x_2 | x_3 | x_4 | x_5 | x_6 | x_7 |
|-------|----------|----------|----------|----------|----------|----------|----------|----------|
| x_0 | ∞ | 84 | 122 | 112 | 110 | 94 | 116 | 62 |
| x_1 | 84 | ∞ | 42 | 36 | 64 | 47 | 26 | 32 |
| x_2 | 122 | 42 | ∞ | 46 | 79 | 64 | 43 | 71 |
| x_3 | 112 | 36 | 46 | ∞ | 35 | 30 | 10 | 43 |
| x_4 | 110 | 64 | 79 | 35 | ∞ | 21 | 37 | 56 |
| x_5 | 94 | 47 | 64 | 30 | 21 | ∞ | 20 | 35 |
| x_6 | 116 | 26 | 43 | 10 | 37 | 20 | ∞ | 33 |
| x_7 | 62 | 32 | 71 | 43 | 56 | 35 | 33 | ∞ |



Slika 18. Razapinjuće stablo

Nakon što je u potpunosti izrađeno razapinjuće stablo (slika 18.), sljedeći korak je odabir i označavanje neparnih vrhova, odnosno vrhova s neparnim stupnjem. Neparnim vrhom smatra se vrh koji ima neparan zbroj ulaznih i izlaznih linija. Primjerice, stupci ili retci koji sadrže neparan broj odabranih minimalnih udaljenosti označavaju neparne vrhove. Prema ranije prikazanoj matrici udaljenosti, to su vrhovi: $x_0, x_1, x_2, x_3, x_4, x_6$, što je vidljivo i na slici.

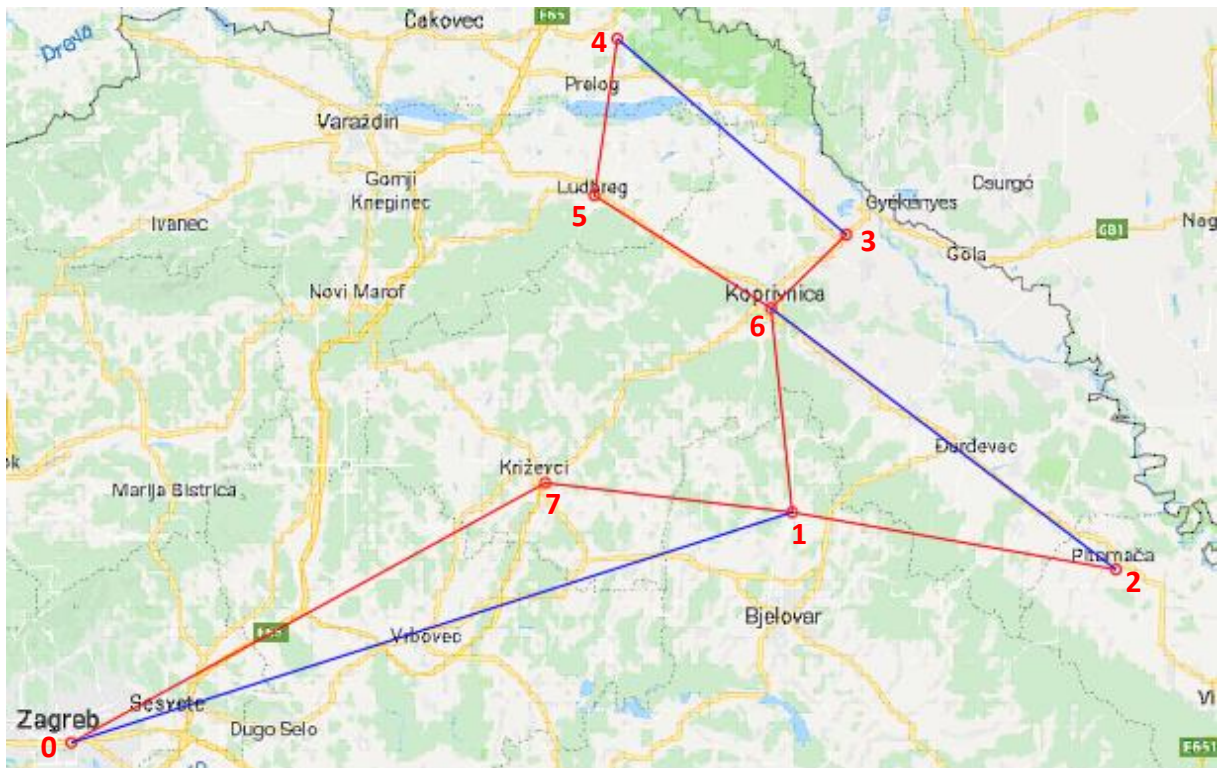
U nastavku je prikazana matrica udaljenosti koja uključuje samo neparne vrhove koji su ranije odabrani. Međusobno povezivanje neparnih vrhova odvija se na način tako da se raspišu sve kombinacije neparnih vrhova ne uključujući one koji su već međusobno direktno spojeni. Odabrane (zaokružene) udaljenosti u matrici označavaju minimalne udaljenosti između čvorova u razapinjućem stablu, odnosno udaljenosti koje ne mogu biti kombinirane prilikom sparivanja neparnih vrhova jer predstavljaju direktnu vezu između neparnih vrhova.

| | x_0 | x_1 | x_2 | x_3 | x_4 | x_6 |
|-------|----------|----------|----------|----------|----------|----------|
| x_0 | ∞ | 84 | 122 | 112 | 110 | 116 |
| x_1 | 84 | ∞ | 42 | 36 | 64 | 26 |
| x_2 | 122 | 42 | ∞ | 46 | 79 | 43 |
| x_3 | 112 | 36 | 46 | ∞ | 35 | 10 |
| x_4 | 110 | 64 | 79 | 35 | ∞ | 37 |
| x_6 | 116 | 26 | 43 | 10 | 37 | ∞ |

Moguće kombinacije sparivanja neparnih vrhova te zbroj međusobnih udaljenosti između svakog od njih, prikazane su u nastavku. Odabrana kombinacija veza između neparnih vrhova jest ona koja daje minimalan zbroj udaljenosti sve tri veze.

1. $(0,1), (2,3), (4,6) = 84 + 46 + 37 = 167$
2. $(0,2), (1,3), (4,6) = 122 + 36 + 37 = 195$
3. $(0,1), (2,6), (3,4) = 84 + 43 + 35 = 162$
4. $(0,3), (1,4), (2,6) = 112 + 64 + 43 = 219$
5. $(0,4), (1,3), (2,6) = 110 + 36 + 43 = 189$
6. $(0,6), (1,3), (2,4) = 116 + 36 + 79 = 231$

Kombinacija veza neparnih vrhova pod rednim brojem 3. daje najbolje rješenje, odnosno najmanji zbroj udaljenosti, stoga se u razapinjućem stablu povezuju vrhovi x_0 i x_1 , x_2 i x_6 te x_3 i x_4 . Grafički prikaz rješenja prikazan je na slici 19. Plavom bojom označene su odabrane veze između neparnih vrhova.

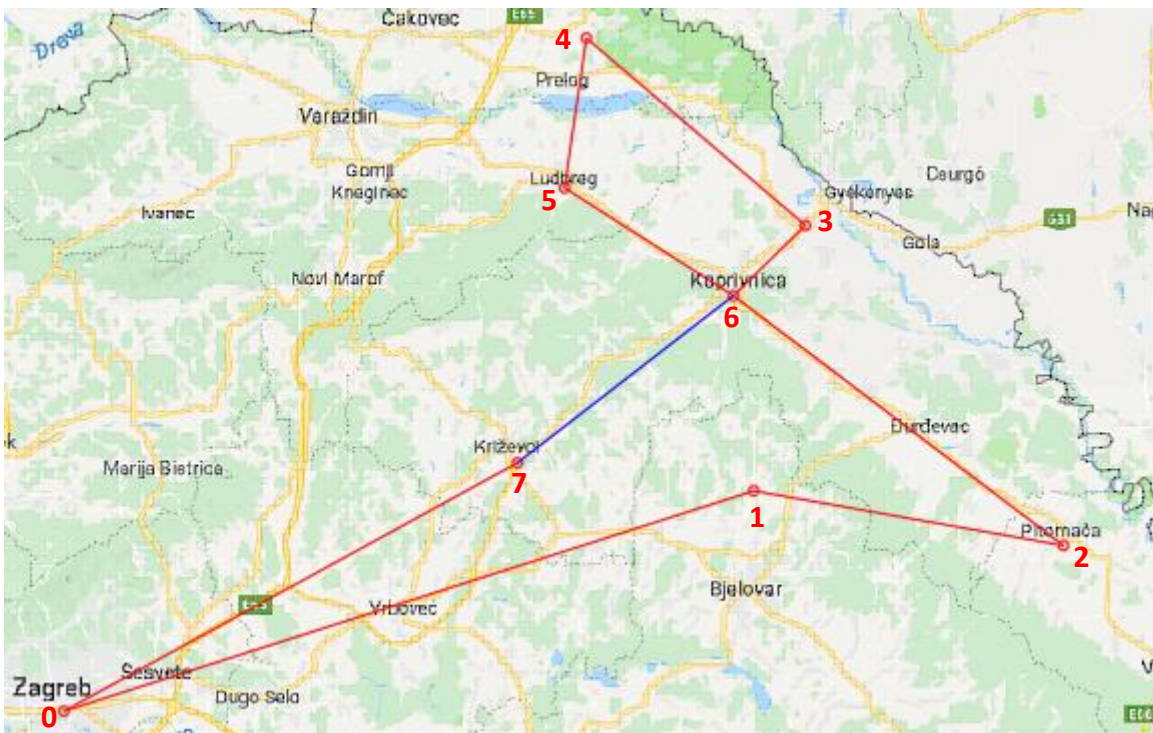


Slika 19. Sparivanje neparnih vrhova

Da bi se dobilo konačno rješenje, odnosno kompletirana ruta, potrebno je izvršiti posljednji korak *Christofides-ovog algoritma*. U posljednjem koraku ispisuju se kombinacije povezivanja vrhova kako bi se dobila jedinstvena ruta koja povezuje sve vrhove. Mogućnost spajanja imaju vrhovi koji sadrže četiri ili više ulaznih i izlaznih veza kao primjerice vrhovi x_1 i x_6 s ostalim vrhovima. Jedna od mogućih veza je veza između vrhova x_0 i x_2 , njena udaljenost mora biti manja ili jednaka zbroju udaljenosti veza x_0 i x_1 te x_1 i x_2 , ukoliko je uvjet zadovoljen, odabire se najveća razlika (ušteda) između svih kombinacija. Rješenje se dobije prema formuli (18). U nastavku je prikazan postupak te moguće kombinacije:

1. $(1,5) \leq (1,6) + (5,6) = 26 + 20 = 46 \rightarrow 47 \leq 46 \rightarrow$ UVJET NIJE ZADOVOLJEN!
2. $(0,2) \leq (0,1) + (1,2) = 84 + 42 = 126 \rightarrow 122 \leq 126 \rightarrow \Delta = (126 - 122) = 4$
3. $(6,7) \leq (1,6) + (1,7) = 26 + 32 = 58 \rightarrow 33 \leq 58 \rightarrow \Delta = 25$
4. $(2,3) \leq (2,6) + (3,6) = 43 + 10 = 53 \rightarrow 46 \leq 56 \rightarrow \Delta = 10$
5. $(1,3) \leq (1,6) + (3,6) = 26 + 10 = 36 \rightarrow 36 \leq 36 \rightarrow \Delta = 0$

Veza pod rednim broj 3. ima najveću vrijednost uštede, stoga se ona uzima kao prva veza spajanja vrhova. Na slici 20. prikazana je dodana veza (plavom bojom) između čvorova x_6 i x_7 , a oduzete su veze između x_1 i x_6 te x_1 i x_7 .



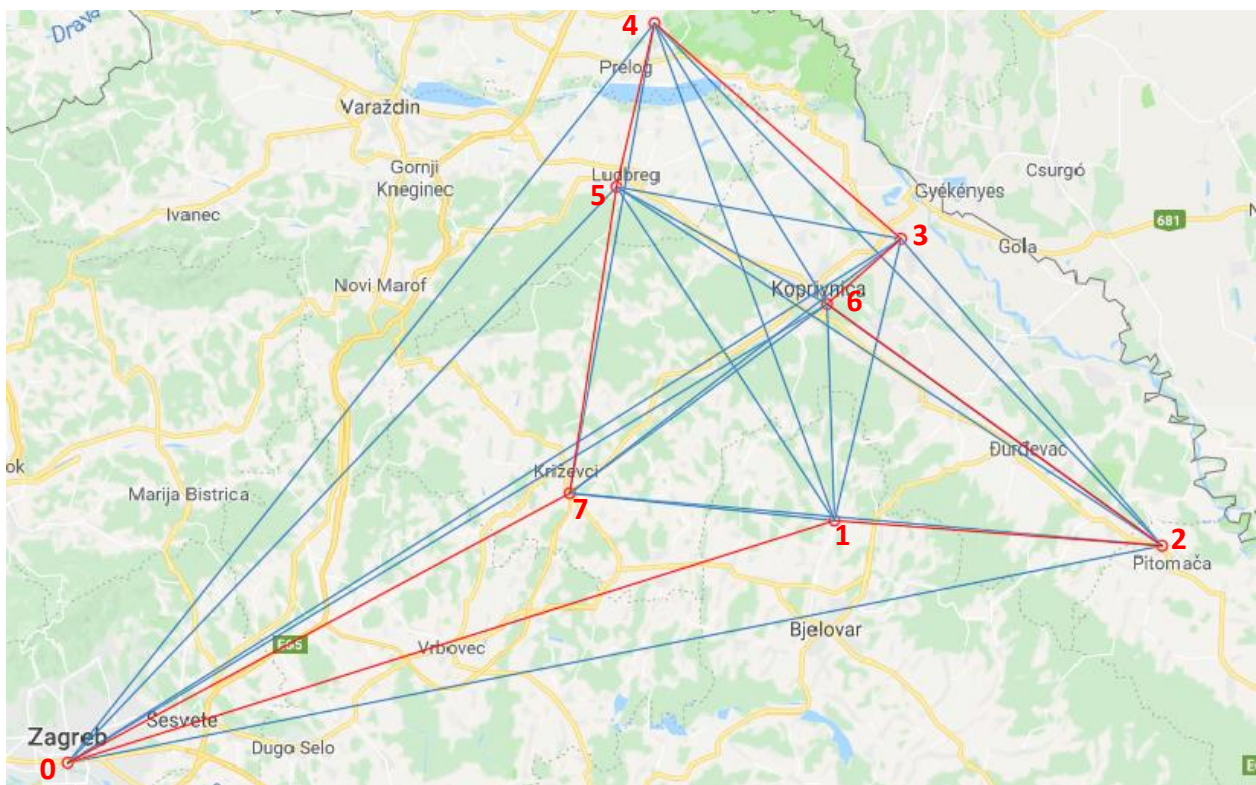
Slika 20. Kombinacija povezivanja vrhova

Postupak ponavljanja izračuna kombinacija spajanja odvija se sve dok se ne dobije Hamiltonov ciklus, odnosno ruta koja svim vrhovima prolazi samo jednom. U nastavku su prikazane nove kombinacije prema slici 20. te se ponovno traži najveća ušteda izračunatih kombinacija.

1. $(2,3) \leq (2,6) + (6,3) = 43 + 10 = 53 \rightarrow 46 \leq 53 \rightarrow \Delta = 8$
2. $(5,7) \leq (5,6) + (6,7) = 20 + 33 = 53 \rightarrow 35 \leq 53 \rightarrow \Delta = 18$

Veza između čvorova x_5 i x_7 pod rednim brojem 2. ima veću uštedu, vrijednosti 18, stoga se ta veza ucrtava u graf te se dobije konačno rješenje *Christofides-ovog algoritma*. Kompletirana ruta prikazana je na slici 21., crvenom bojom, dok su sve ostale međusobne udaljenosti između vrhova prikazane plavom bojom.

Konačna ruta glasi: $0 \leftrightarrow 1 \leftrightarrow 2 \leftrightarrow 6 \leftrightarrow 3 \leftrightarrow 4 \leftrightarrow 5 \leftrightarrow 7 \leftrightarrow 0 = 332 \text{ km}$.



Slika 21. Ruta HR-43627 kao rješenje Christofides-ovog algoritma

5.1.2. Ruta HR-43689

Tablica 5. prikazuje podatke o ruti HR-43689, početna i završna točka je skladišni centar u gradu Zagrebu, a potrebno je opskrbiti šest lokacija, s količinom tereta prikazanom u tablici. Za preostale rute, uključujući i ovu, kod svakog izračuna metoda, biti će prikazan samo početak izračuna te rješenje, odnosno kraj. Postupci izračuna su jednaki kao i kod rute HR-43627 gdje su detaljno obrazloženi.

Tablica 5. Podaci o ruti HR-43689

| Redni broj | Vrijeme dostave | Skladišni centar | Odredište | Količina pakiranja | Bruto masa (kg) | Šifra rute |
|------------|-----------------|------------------|------------|--------------------|-----------------|------------|
| 1. | 13.3.2017 0:00 | Zagreb | Ivanec | 5 | 50 | HR-43689 |
| 2. | 13.3.2017 0:00 | Zagreb | Vidovec | 2 | 20 | HR-43689 |
| 3. | 13.3.2017 0:00 | Zagreb | Čakovec | 3 | 405 | HR-43689 |
| 4. | 13.3.2017 0:00 | Zagreb | Gola | 1 | 96 | HR-43689 |
| 5. | 13.3.2017 0:00 | Zagreb | Varaždin | 3 | 405 | HR-43689 |
| 6. | 13.3.2017 0:00 | Zagreb | Koprivnica | 3 | 405 | HR-43689 |

U nastavku se nalazi matrica međusobnih udaljenosti između lokacija dobivena iz tablice 5.

| | | | | | | | |
|-------|----------|----------|----------|----------|----------|----------|----------|
| | x_0 | x_1 | x_2 | x_3 | x_4 | x_5 | x_6 |
| x_0 | ∞ | 80 | 83 | 103 | 130 | 88 | 98 |
| x_1 | 80 | ∞ | 14 | 42 | 89 | 22 | 67 |
| x_2 | 83 | 14 | ∞ | 24 | 78 | 9 | 58 |
| x_3 | 103 | 42 | 24 | ∞ | 63 | 17 | 52 |
| x_4 | 130 | 89 | 78 | 63 | ∞ | 71 | 26 |
| x_5 | 88 | 22 | 9 | 17 | 71 | ∞ | 60 |
| x_6 | 98 | 67 | 58 | 52 | 26 | 60 | ∞ |

U tablici 6. nalaze se uštede rangirane od najveće prema najmanjoj izračunate prema formuli (4), za potrebe izračuna najkraćeg puta *Clark-Wright-ovog algoritma*.

Tablica 6. Uštede za rutu HR-43689 rangirane prema veličini

| Grana (<i>i,j</i>) | Ušteda <i>s(i,j)</i> | Grana (<i>i,j</i>) | Ušteda <i>s(i,j)</i> | Grana (<i>i,j</i>) | Ušteda <i>s(i,j)</i> |
|-------------------------|-------------------------|-------------------------|-------------------------|-------------------------|-------------------------|
| (4,6) | 202 | (4,5) | 147 | (1,6) | 111 |
| (3,5) | 174 | (1,5) | 146 | | |
| (3,4) | 170 | (1,3) | 141 | | |
| (2,5) | 162 | (5,6) | 136 | | |
| (2,3) | 162 | (2,4) | 135 | | |
| (1,2) | 149 | (2,6) | 123 | | |
| (3,6) | 149 | (6,7) | 145 | | |

Clark-Wright-ov algoritam ušteda

Prema uštedama u tablici 6. izračunava se *Clark-Wright algoritam*:

$$(4,6) \Rightarrow 0 \leftrightarrow 4 \leftrightarrow 6 \leftrightarrow 0$$

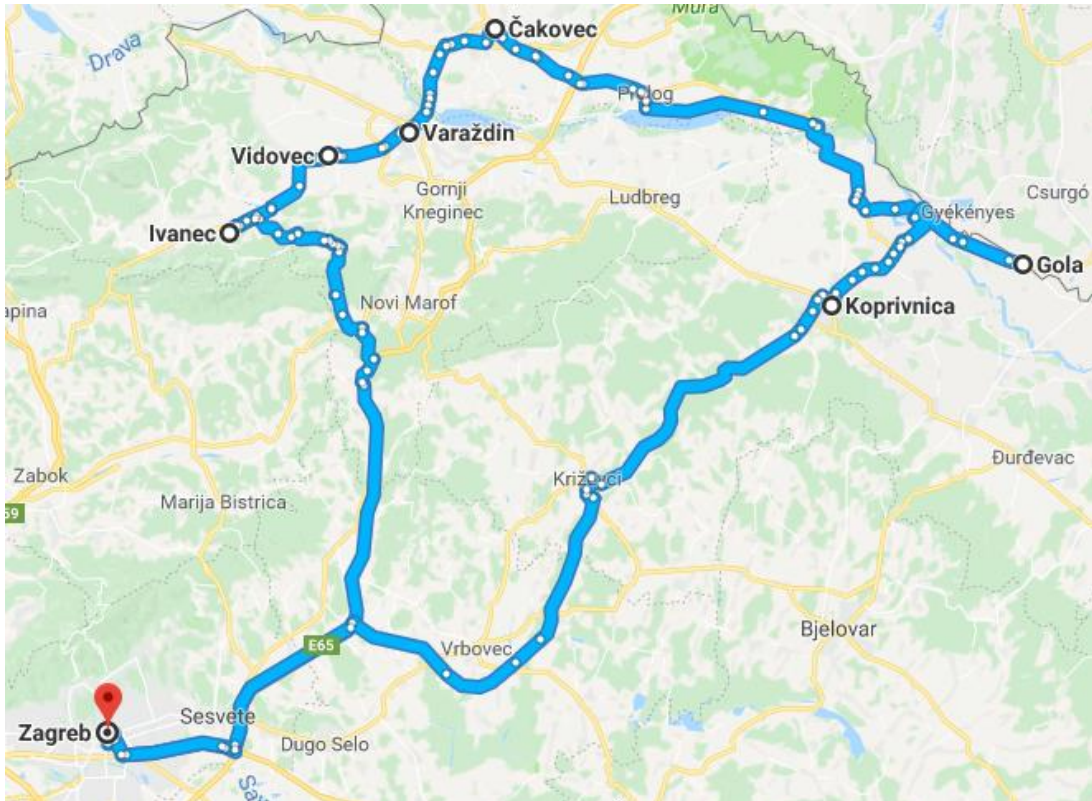
$$(3,5) \Rightarrow 0 \leftrightarrow 3 \leftrightarrow 5 \leftrightarrow 0$$

$$(3,4) \Rightarrow 0 \leftrightarrow 5 \leftrightarrow 3 \leftrightarrow 4 \leftrightarrow 6 \leftrightarrow 0$$

$$(2,5) \Rightarrow 0 \leftrightarrow 2 \leftrightarrow 5 \leftrightarrow 3 \leftrightarrow 4 \leftrightarrow 6 \leftrightarrow 0$$

$$(1,2) \Rightarrow 0 \leftrightarrow 1 \leftrightarrow 2 \leftrightarrow 5 \leftrightarrow 3 \leftrightarrow 4 \leftrightarrow 6 \leftrightarrow 0 = 307 \text{ km}$$

Na slici (22) prikazano je rješenje izračuna *Clark-Wright-ovog algoritma* za rutu HR-43689. Prikazana je ruta neovisno u kojem smjeru usmjerena, koja obilazi čvorove redosljedom dobivenim izračunom spomenutog algoritma.



Slika 22. Ruta HR-43689 kao rješenje CW-ovog algoritma

Metoda s indikatorom T

Prema polu-matrici ušteda izračunava se najkraći put pomoću metode s indikatorom T . Uštede su izračunate pomoću formule (4).

| | | | | | | |
|-------|-------|-------|-------|-------|-------|-------|
| | x_1 | x_2 | x_3 | x_4 | x_5 | x_6 |
| x_0 | 2 | 2 | 2 | 2 | 2 | 2 |
| | x_1 | 149 | 141 | 121 | 146 | 111 |
| | | x_2 | 162 | 135 | 162 | 123 |
| | | | x_3 | 170 | 174 | 149 |
| | | | | x_4 | 147 | 202 |
| | | | | | x_5 | 136 |

Sljedeća polu-matrica prikazuje konačno rješenje metode s indikatorom T prema postupku iz poglavlja 4.2.

| | | | | | | |
|-------|-------|----------|-------|----------|----------|----------|
| | x_1 | x_2 | x_3 | x_4 | x_5 | x_6 |
| x_0 | ① | ① | ① | ① | ① | ① |
| | x_1 | ① 149 | 141 | 121 | 146 | 111 |
| | | x_2 | 162 | 135 | ① 162 | 123 |
| | | | x_3 | ① 170 | ① 174 | 149 |
| | | | | x_4 | 147 | ① 202 |
| | | | | | x_5 | 136 |

$4 \rightarrow 6$

$3 \rightarrow 5$

$3 \rightarrow 4 \Rightarrow 5 \leftrightarrow 3 \leftrightarrow 4 \leftrightarrow 6$

$2 \rightarrow 5 \Rightarrow 2 \leftrightarrow 5 \leftrightarrow 3 \leftrightarrow 4 \leftrightarrow 6$

$1 \rightarrow 2 \Rightarrow 1 \leftrightarrow 2 \leftrightarrow 5 \leftrightarrow 3 \leftrightarrow 4 \leftrightarrow 6$

$0 \leftrightarrow 1 \leftrightarrow 2 \leftrightarrow 5 \leftrightarrow 3 \leftrightarrow 4 \leftrightarrow 6 \leftrightarrow 0 = 307 \text{ km.}$

Metoda grananja i ograničavanja

Na jednak način kao u prethodnom primjeru rješava se *metoda grananja i ograničavanja* pomoću izračuna kazni za nepoštivanje predložene veze među gradovima i odabira pojedinih relacija.

| | x_0 | x_1 | x_2 | x_3 | x_4 | x_5 | x_6 |
|-------|----------|----------|----------|----------|----------|----------|----------|
| x_0 | ∞ | 80 | 83 | 103 | 130 | 88 | 98 |
| x_1 | 80 | ∞ | 14 | 42 | 89 | 22 | 67 |
| x_2 | 83 | 14 | ∞ | 24 | 78 | 9 | 58 |
| x_3 | 103 | 42 | 24 | ∞ | 63 | 17 | 52 |
| x_4 | 130 | 89 | 78 | 63 | ∞ | 71 | 26 |
| x_5 | 88 | 22 | 9 | 17 | 71 | ∞ | 60 |
| x_6 | 98 | 67 | 58 | 52 | 26 | 60 | ∞ |

| | | |
|-------|------------------|------------------|
| | x_1 | x_5 |
| x_2 | 0 ⁽⁰⁾ | ∞ |
| x_3 | ∞ | 0 ⁽⁰⁾ |

6 → 4

0 → 6 ⇒ 0 ↔ 6 ↔ 4

4 → 3 ⇒ 0 ↔ 6 ↔ 4 ↔ 3

1 → 0

5 → 2

2 → 1 ⇒ 5 ↔ 2 ↔ 1 ↔ 0

3 → 5 ⇒ 0 ↔ 6 ↔ 4 ↔ 3 ↔ 5 ↔ 2 ↔ 1 ↔ 0 = 307 km.

Metoda najbližeg susjeda

Odabirom minimalnih udaljenost u matrici udaljenosti rješava se *metoda najbližeg susjeda* postupkom objašnjenom u poglavlju 4.4.

| | x_0 | x_1 | x_2 | x_3 | x_4 | x_5 | x_6 |
|-------|----------|----------|----------|----------|----------|----------|----------|
| x_0 | ∞ | 80 | 83 | 103 | 130 | 88 | 98 |
| x_1 | 80 | ∞ | 14 | 42 | 89 | 22 | 67 |
| x_2 | 83 | 14 | ∞ | 24 | 78 | 9 | 58 |
| x_3 | 103 | 42 | 24 | ∞ | 63 | 17 | 52 |
| x_4 | 130 | 89 | 78 | 63 | ∞ | 71 | 26 |
| x_5 | 88 | 22 | 9 | 17 | 71 | ∞ | 60 |
| x_6 | 98 | 67 | 58 | 52 | 26 | 60 | ∞ |

0 → 1

1 → 2 ⇒ 0 ↔ 1 ↔ 2

2 → 5 ⇒ 0 ↔ 1 ↔ 2 ↔ 5

5 → 3 ⇒ 0 ↔ 1 ↔ 2 ↔ 5 ↔ 3

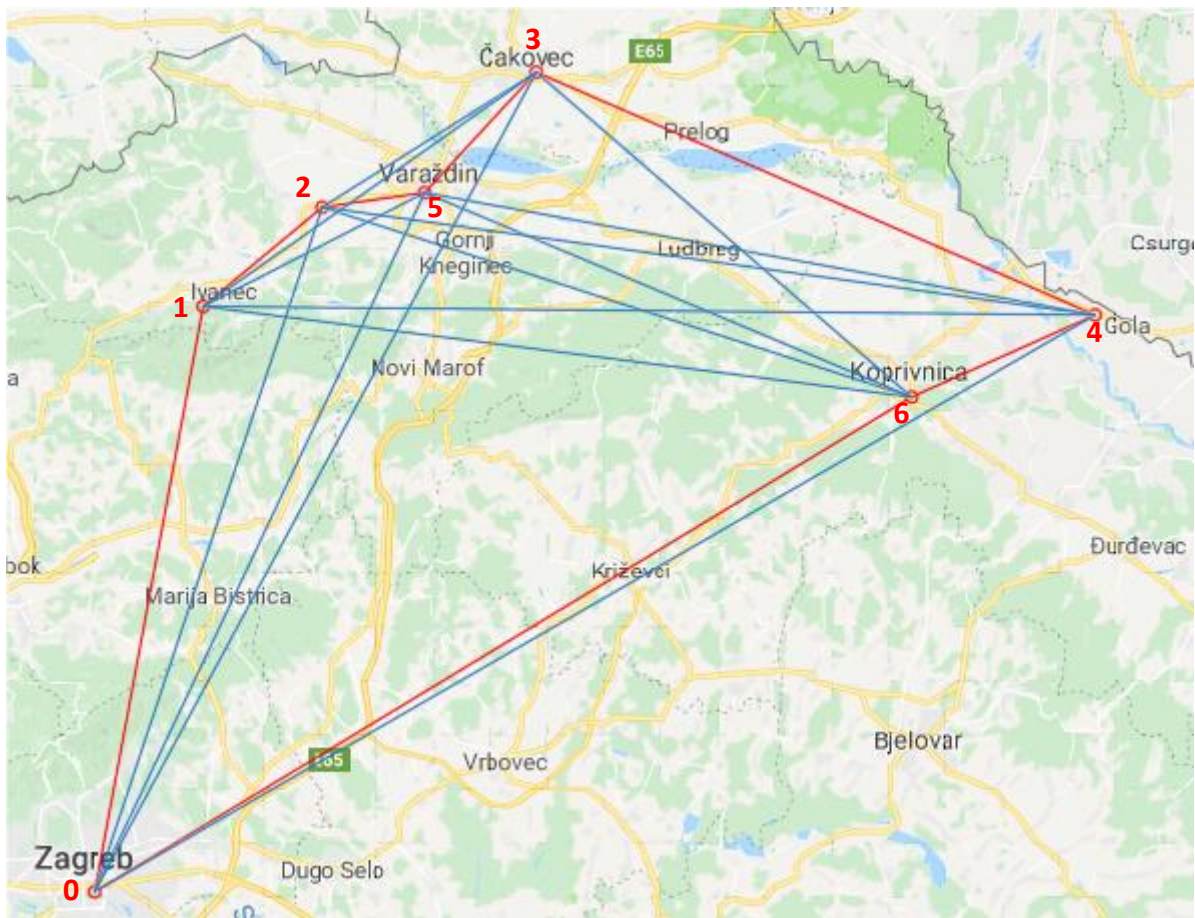
3 → 6 ⇒ 0 ↔ 1 ↔ 2 ↔ 5 ↔ 3 ↔ 6

$6 \rightarrow 4 \Rightarrow 0 \leftrightarrow 1 \leftrightarrow 2 \leftrightarrow 5 \leftrightarrow 3 \leftrightarrow 6 \leftrightarrow 4$

$4 \rightarrow 0 \Rightarrow 0 \leftrightarrow 1 \leftrightarrow 2 \leftrightarrow 5 \leftrightarrow 3 \leftrightarrow 6 \leftrightarrow 4 \leftrightarrow 0 = 328 \text{ km.}$

Christofides-ov algoritam

Slika (23.) prikazuje rješenje *Christofides-ovog algoritma*, izvedeno na način kao u prethodnom primjeru prilikom izračuna najkraćeg puta. Crvene linije označuju konačnu rutu prema izračunu *Christofides-ovog algoritma*, plave linije označavaju međusobne udaljenosti između vrhova. Dobivena ruta: $0 \leftrightarrow 1 \leftrightarrow 2 \leftrightarrow 5 \leftrightarrow 3 \leftrightarrow 4 \leftrightarrow 6 \leftrightarrow 0 = 307 \text{ km.}$



Slika 23. Ruta HR-43689 kao rješenje Christofides-ovog algoritma

5.1.3. Ruta HR-43753

Tablica 7. prikazuje osnovne podatke o ruti HR-43753, potrebne za izračun najkraćeg puta pomoću matematičkih metoda.

Tablica 7. Podaci o ruti HR-43753

| Redni broj | Vrijeme dostave | Skladišni centar | Odredište | Količina pakiranja | Bruto masa (kg) | Šifra rute |
|------------|-----------------|------------------|------------|--------------------|-----------------|------------|
| 1. | 14.3.2017 0:00 | Zagreb | Križevci 1 | 12 | 120 | HR-43753 |
| 2. | 14.3.2017 0:00 | Zagreb | Čakovec | 1 | 264 | HR-43753 |
| 3. | 14.3.2017 0:00 | Zagreb | Križevci 2 | 1 | 10 | HR-43753 |
| 4. | 14.3.2017 0:00 | Zagreb | Nedelišće | 2 | 200 | HR-43753 |
| 5. | 14.3.2017 0:00 | Zagreb | Prelog | 1 | 16 | HR-43753 |
| 6. | 14.3.2017 0:00 | Zagreb | Peteranec | 1 | 143 | HR-43753 |

Matrični prikaz međusobnih udaljenosti između lokacija iz tablice 7., nalazi se u nastavku, a koristi se pri izračunu najkraćeg puta.

| | x_0 | x_1 | x_2 | x_3 | x_4 | x_5 | x_6 |
|-------|----------|----------|----------|----------|----------|----------|----------|
| x_0 | ∞ | 66 | 103 | 65 | 96 | 103 | 103 |
| x_1 | 66 | ∞ | 68 | 1 | 62 | 52 | 39 |
| x_2 | 103 | 68 | ∞ | 66 | 6 | 16 | 53 |
| x_3 | 65 | 1 | 66 | ∞ | 61 | 51 | 39 |
| x_4 | 96 | 62 | 6 | 61 | ∞ | 21 | 58 |
| x_5 | 103 | 52 | 16 | 51 | 21 | ∞ | 37 |
| x_6 | 103 | 39 | 53 | 39 | 58 | 37 | ∞ |

Tablica 8. prikazuje listu rangiranih ušteda dobivenih iz matrice udaljenosti korištenjem formule (4) za izračun najkraćeg puta pomoću metode *Clark-Wright-ovog algoritma*.

Tablica 8. Uštede za rutu HR-43753 rangirane prema veličini

| Grana (i,j) | Ušteta s(i,j) | Grana (i,j) | Ušteta s(i,j) | Grana (i,j) | Ušteta s(i,j) |
|----------------|------------------|----------------|------------------|----------------|------------------|
| (2,4) | 193 | (1,3) | 130 | (3,4) | 100 |
| (2,5) | 190 | (3,6) | 129 | | |
| (4,5) | 178 | (1,5) | 117 | | |
| (5,6) | 169 | (3,5) | 117 | | |
| (2,6) | 153 | (2,3) | 102 | | |
| (4,6) | 142 | (1,2) | 101 | | |
| (1,6) | 130 | (1,4) | 100 | | |

Clark-Wright-ov algoritam ušteta

(2,4) => 0 ↔ 2 ↔ 4 ↔ 0

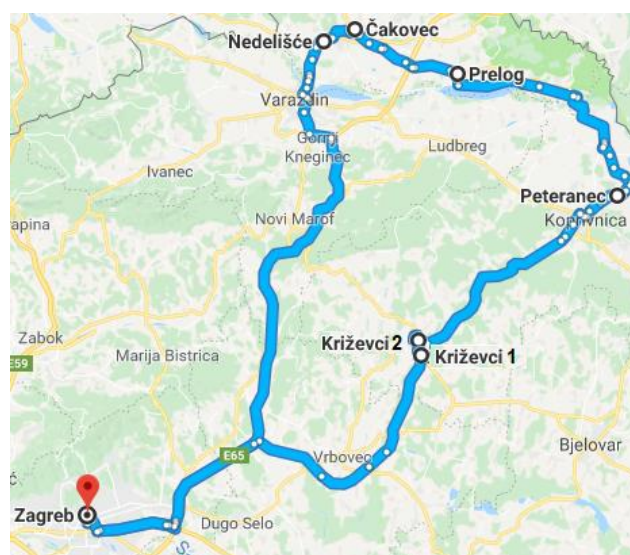
(2,5) => 0 ↔ 5 ↔ 2 ↔ 4 ↔ 0

(5,6) => 0 ↔ 6 ↔ 5 ↔ 2 ↔ 4 ↔ 0

(1,6) => 0 ↔ 1 ↔ 6 ↔ 5 ↔ 2 ↔ 4 ↔ 0

(1,3) => 0 ↔ 3 ↔ 1 ↔ 6 ↔ 5 ↔ 2 ↔ 4 ↔ 0 = 260 km

Slika (24.) prikazuje rješenje Clark-Wright-ovog algoritma za rutu HR – 43753.



Slika 24. Slika 22. Ruta HR-43753 kao rješenje CW-ovog algoritma

Metoda s indikatorom T

Izrada polu-matrice u kojoj se nalaze izračunate uštede, prvi je korak u izračunu najkraćeg puta kod *metode s indikatorom T*. Uštede su dobivene pomoću formule (4).

| | x_1 | x_2 | x_3 | x_4 | x_5 | x_6 |
|-------|-------|-------|-------|-------|-------|-------|
| x_0 | 2 | 2 | 2 | 2 | 2 | 2 |
| x_1 | | 101 | 130 | 100 | 117 | 130 |
| x_2 | | | 102 | 193 | 190 | 153 |
| x_3 | | | | 100 | 117 | 129 |
| x_4 | | | | | 178 | 142 |
| x_5 | | | | | | 169 |

Završna polu-matica s prikazom rute u nastavku kao rješenje *metode s indikatorom T*.

| | x_1 | x_2 | x_3 | x_4 | x_5 | x_6 |
|-------|-------|-------|----------|----------|----------|----------|
| x_0 | 0 | 0 | 1 | 1 | 0 | 0 |
| x_1 | | 101 | 1 130 | 100 | 117 | 1 130 |
| x_2 | | | 102 | 1 193 | 1 190 | 153 |
| x_3 | | | | 100 | 117 | 129 |
| x_4 | | | | | 178 | 142 |
| x_5 | | | | | | 1 169 |

$2 \rightarrow 4$

$2 \rightarrow 5 \Rightarrow 5 \leftrightarrow 2 \leftrightarrow 4$

$5 \rightarrow 6 \Rightarrow 6 \leftrightarrow 5 \leftrightarrow 2 \leftrightarrow 4$

$$1 \rightarrow 3$$

$$1 \rightarrow 6 \Rightarrow 3 \leftrightarrow 1 \leftrightarrow 6 \leftrightarrow 5 \leftrightarrow 2 \leftrightarrow 4$$

$$0 \leftrightarrow 3 \leftrightarrow 1 \leftrightarrow 6 \leftrightarrow 5 \leftrightarrow 2 \leftrightarrow 4 \leftrightarrow 0 = 260 \text{ km.}$$

Metoda grananja i ograničavanja

Početna matrica udaljenosti i rješenje *metode grananja i ograničavanja* prikazano je u nastavku. Izračun je izveden na jednak način kao u prethodnom primjeru.

| | x_0 | x_1 | x_2 | x_3 | x_4 | x_5 | x_6 |
|-------|----------|----------|----------|----------|----------|----------|----------|
| x_0 | ∞ | 66 | 103 | 65 | 96 | 103 | 103 |
| x_1 | 66 | ∞ | 68 | 1 | 62 | 52 | 39 |
| x_2 | 103 | 68 | ∞ | 66 | 6 | 16 | 53 |
| x_3 | 65 | 1 | 66 | ∞ | 61 | 51 | 39 |
| x_4 | 96 | 62 | 6 | 61 | ∞ | 21 | 58 |
| x_5 | 103 | 52 | 16 | 51 | 21 | ∞ | 37 |
| x_6 | 103 | 39 | 53 | 39 | 58 | 37 | ∞ |

| | x_1 | x_5 |
|-------|------------------|------------------|
| x_1 | ∞ | 0 ⁽⁰⁾ |
| x_5 | 0 ⁽⁰⁾ | 0 ⁽⁰⁾ |

$$2 \rightarrow 4$$

$$5 \rightarrow 2 \Rightarrow 5 \leftrightarrow 2 \leftrightarrow 4$$

$$6 \rightarrow 5 \Rightarrow 6 \leftrightarrow 5 \leftrightarrow 2 \leftrightarrow 4$$

$$4 \rightarrow 0 \Rightarrow 6 \leftrightarrow 5 \leftrightarrow 2 \leftrightarrow 4 \leftrightarrow 0$$

$$0 \rightarrow 3$$

$$1 \rightarrow 6 \Rightarrow 1 \leftrightarrow 6 \leftrightarrow 5 \leftrightarrow 2 \leftrightarrow 4 \leftrightarrow 0$$

$$3 \rightarrow 1 \Rightarrow 0 \leftrightarrow 3 \leftrightarrow 1 \leftrightarrow 6 \leftrightarrow 5 \leftrightarrow 2 \leftrightarrow 4 \leftrightarrow 0 = 260 \text{ km.}$$

Metoda najbližeg susjeda

Rješenje metode najbližeg susjeda dobiveno je postupkom opisanim u poglavlju 4.4. Iz početne točke odabire se minimalna udaljenost prema prvom sljedećem čvoru te se istim postupkom od odabranog čvora povezuje sljedeći, itd.

| | x_0 | x_1 | x_2 | x_3 | x_4 | x_5 | x_6 |
|-------|----------|----------|----------|----------|----------|----------|----------|
| x_0 | ∞ | 66 | 103 | 65 | 96 | 103 | 103 |
| x_1 | 66 | ∞ | 68 | 1 | 62 | 52 | 39 |
| x_2 | 103 | 68 | ∞ | 66 | 6 | 16 | 53 |
| x_3 | 65 | 1 | 66 | ∞ | 61 | 51 | 39 |
| x_4 | 96 | 62 | 6 | 61 | ∞ | 21 | 58 |
| x_5 | 103 | 52 | 16 | 51 | 21 | ∞ | 37 |
| x_6 | 103 | 39 | 53 | 39 | 58 | 37 | ∞ |

$0 \rightarrow 3$

$3 \rightarrow 1 \Rightarrow 0 \leftrightarrow 3 \leftrightarrow 1$

$1 \rightarrow 6 \Rightarrow 0 \leftrightarrow 3 \leftrightarrow 1 \leftrightarrow 6$

$6 \rightarrow 5 \Rightarrow 0 \leftrightarrow 3 \leftrightarrow 1 \leftrightarrow 6 \leftrightarrow 5$

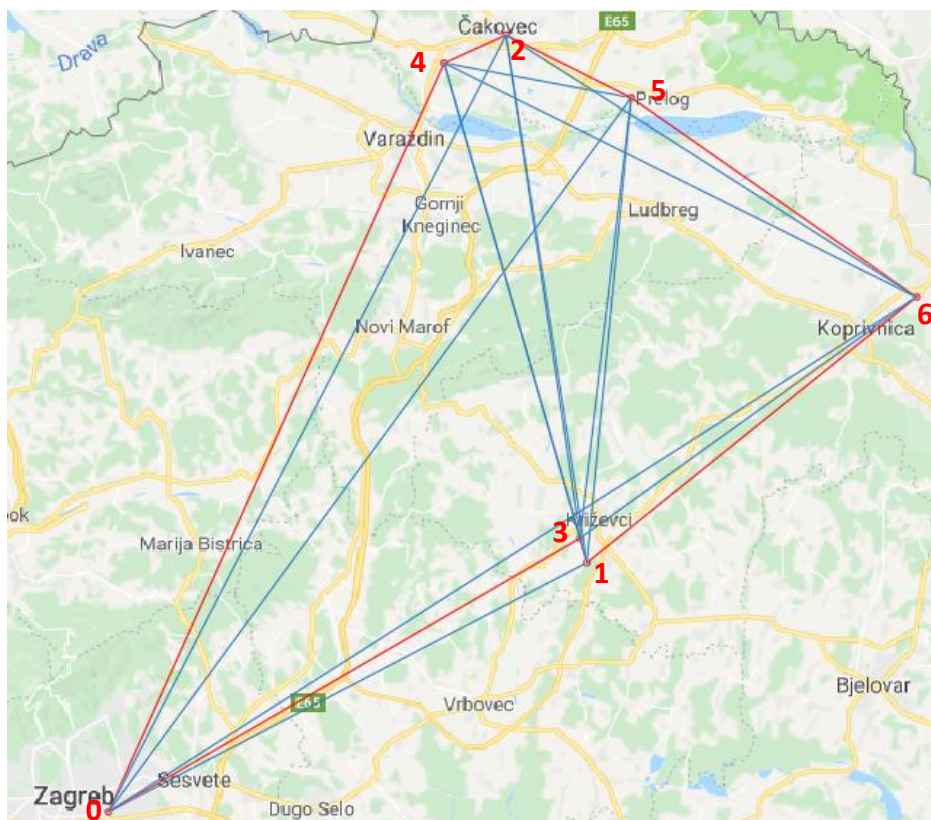
$5 \rightarrow 2 \Rightarrow 0 \leftrightarrow 3 \leftrightarrow 1 \leftrightarrow 6 \leftrightarrow 5 \leftrightarrow 2$

$2 \rightarrow 4 \Rightarrow 0 \leftrightarrow 3 \leftrightarrow 1 \leftrightarrow 6 \leftrightarrow 5 \leftrightarrow 2 \leftrightarrow 4$

$4 \rightarrow 0 \Rightarrow 0 \leftrightarrow 3 \leftrightarrow 1 \leftrightarrow 6 \leftrightarrow 5 \leftrightarrow 2 \leftrightarrow 4 \leftrightarrow 0 = 260 \text{ km.}$

Cristofidesov algoritam

Rješenje Christofides-ovog algoritma prikazano je na slici (25). Konačna ruta je dobivena na jednak način kao u prethodnim primjerima, detaljno opisanim u poglavlju 4.5. Ruta glasi: $0 \leftrightarrow 3 \leftrightarrow 1 \leftrightarrow 6 \leftrightarrow 5 \leftrightarrow 2 \leftrightarrow 4 \leftrightarrow 0 = 260 \text{ km}$



Slika 25. Ruta HR-43753 kao rješenje Christofides-ovog algoritma

5.1.4. Ruta HR-43472

U tablici 9. nalaze se osnovni podaci o ruti HR-43472. Potrebno je opskrbiti šest lokacija, tako da se svaka lokacija obiđe samo jednom i da se vozilo vrati u čvor iz kojeg je krenulo uz minimalnu prijeđenu udaljenost.

Tablica 9. Podaci o ruti HR-43472

| Redni broj | Vrijeme dostave | Skladišni centar | Odredište | Količina pakiranja | Bruto masa (kg) | Šifra rute |
|------------|-----------------|------------------|-------------------|--------------------|-----------------|------------|
| 1. | 8.3.2017 0:00 | Zagreb | Prgomelje | 2 | 20 | HR-43472 |
| 2. | 8.3.2017 0:00 | Zagreb | Bjelovar | 1 | 447 | HR-43472 |
| 3. | 8.3.2017 0:00 | Zagreb | Orehovec | 1 | 125 | HR-43472 |
| 4. | 8.3.2017 0:00 | Zagreb | Štefanje | 1 | 77 | HR-43472 |
| 5. | 8.3.2017 0:00 | Zagreb | Sveti Ivan Zelina | 3 | 1108 | HR-43472 |
| 6. | 8.3.2017 0:00 | Zagreb | Križevci | 1 | 46 | HR-43472 |

U nastavku je prikazana matrica međusobne udaljenosti između lokacija iz tablice 9. Pomoću navedenih udaljenosti, računaju se uštede korištenjem formule (4) te se dobivenim uštedama računa najkraći put prema *Clark-Wright-ovom algoritmu ušteta i metodi s indikatorom T*.

| | x_0 | x_1 | x_2 | x_3 | x_4 | x_5 | x_6 |
|-------|----------|----------|----------|----------|----------|----------|----------|
| x_0 | ∞ | 75 | 84 | 64 | 73 | 39 | 66 |
| x_1 | 75 | ∞ | 10 | 36 | 21 | 52 | 25 |
| x_2 | 84 | 10 | ∞ | 43 | 19 | 61 | 32 |
| x_3 | 64 | 36 | 43 | ∞ | 46 | 24 | 11 |
| x_4 | 73 | 21 | 19 | 46 | ∞ | 59 | 35 |
| x_5 | 39 | 52 | 61 | 24 | 59 | ∞ | 31 |
| x_6 | 66 | 25 | 32 | 11 | 35 | 31 | ∞ |

U tablici 10. nalaze se rangirane uštede za izračun *Clark-Wright-ovog algoritma*, dobivene formulom (4):

Tablica 10. Uštede za rutu HR-43472 rangirane prema veličini

| Grana (i,j) | Ušteta $s(i,j)$ | Grana (i,j) | Ušteta $s(i,j)$ | Grana (i,j) | Ušteta $s(i,j)$ |
|--------------------|--------------------|--------------------|--------------------|--------------------|--------------------|
| (1,2) | 149 | (4,6) | 104 | (4,5) | 53 |
| (2,4) | 138 | (1,3) | 103 | | |
| (1,4) | 127 | (3,4) | 91 | | |
| (3,6) | 119 | (3,5) | 79 | | |
| (2,6) | 118 | (5,6) | 74 | | |
| (1,6) | 116 | (1,5) | 62 | | |
| (2,3) | 105 | (2,5) | 62 | | |

Clark-Wright-ov algoritam

$$(1,2) \Rightarrow 0 \leftrightarrow 1 \leftrightarrow 2 \leftrightarrow 0$$

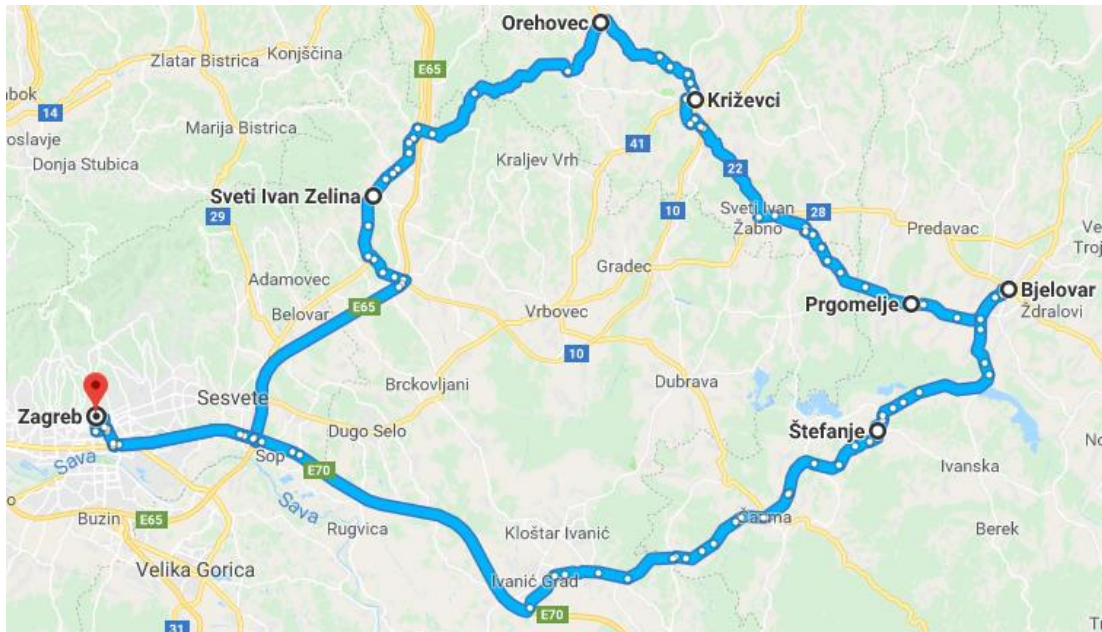
$$(2,4) \Rightarrow 0 \leftrightarrow 1 \leftrightarrow 2 \leftrightarrow 4 \leftrightarrow 0$$

$$(3,6) \Rightarrow 0 \leftrightarrow 3 \leftrightarrow 6 \leftrightarrow 0$$

$$(1,6) \Rightarrow 0 \leftrightarrow 3 \leftrightarrow 6 \leftrightarrow 1 \leftrightarrow 2 \leftrightarrow 4 \leftrightarrow 0$$

$(3,5) \Rightarrow 0 \leftrightarrow 5 \leftrightarrow 3 \leftrightarrow 6 \leftrightarrow 1 \leftrightarrow 2 \leftrightarrow 4 \leftrightarrow 0 = 201 \text{ km.}$

Slika (26) prikazuje rutu kao rješenje *Clark-Wright-ovog algoritma*.



Slika 26. Ruta HR-43472 kao rješenje CW-ovog algoritma

Metoda s indikatorom T

Izračunom ušteta te izradom polu-matrice udaljenosti započinje projektiranje rute pomoću *metode s indikatorom T*. Odabire se maksimalna ušteta koja ujedno predstavlja i početnu relaciju, odnosno poveznicu između čvorova gdje se ušteta nalazi. Uštete su dobivene korištenjem formule (4).

| | | | | | | |
|-------|-------|-------|-------|-------|-------|-------|
| | x_1 | x_2 | x_3 | x_4 | x_5 | x_6 |
| x_0 | 2 | 2 | 2 | 2 | 2 | 2 |
| | x_1 | 149 | 103 | 127 | 62 | 116 |
| | | x_2 | 105 | 138 | 62 | 118 |
| | | | x_3 | 91 | 79 | 119 |
| | | | | x_4 | 53 | 104 |
| | | | | | x_5 | 74 |

Rješenje za navedenu rutu, prikazano je pomoću polu-matrice u nastavku.

| | x_1 | x_2 | x_3 | x_4 | x_5 | x_6 |
|-------|----------|-------|-------|-------|-------|-------|
| x_0 | 0 | 0 | 0 | 1 | 1 | 0 |
| x_1 | 1 149 | 103 | 127 | 62 | 1 | 116 |
| x_2 | | 105 | 1 | 62 | 138 | 118 |
| x_3 | | | 91 | 1 | 79 | 119 |
| x_4 | | | | 53 | 104 | |
| x_5 | | | | | 74 | |

$1 \rightarrow 2$

$2 \rightarrow 4 \Rightarrow 1 \leftrightarrow 2 \leftrightarrow 4$

$3 \rightarrow 6 \Rightarrow$

$1 \rightarrow 6 \Rightarrow 3 \leftrightarrow 6 \leftrightarrow 1 \leftrightarrow 2 \leftrightarrow 4$

$3 \rightarrow 5 \Rightarrow 5 \leftrightarrow 3 \leftrightarrow 6 \leftrightarrow 1 \leftrightarrow 2 \leftrightarrow 4$

$0 \leftrightarrow 5 \leftrightarrow 3 \leftrightarrow 6 \leftrightarrow 1 \leftrightarrow 2 \leftrightarrow 4 \leftrightarrow 0 = 201 \text{ km.}$

Metoda grananja i ograničavanja

Matrični prikaz udaljenosti nalazi se u nastavku. Rješenje najkraćeg puta dobije se izračunom kazni za nepoštivanje predloženih veza među gradovima. Izračunate kazne (nule) predstavljaju pojedine relacije u ruti.

| | x_0 | x_1 | x_2 | x_3 | x_4 | x_5 | x_6 |
|-------|----------|----------|----------|----------|----------|----------|----------|
| x_0 | ∞ | 75 | 84 | 64 | 73 | 39 | 66 |
| x_1 | 75 | ∞ | 10 | 36 | 21 | 52 | 25 |
| x_2 | 84 | 10 | ∞ | 43 | 19 | 61 | 32 |
| x_3 | 64 | 36 | 43 | ∞ | 46 | 24 | 11 |
| x_4 | 73 | 21 | 19 | 46 | ∞ | 59 | 35 |
| x_5 | 39 | 52 | 61 | 24 | 59 | ∞ | 31 |
| x_6 | 66 | 25 | 32 | 11 | 35 | 31 | ∞ |

Posljednje dvije dobivene relacije, da bi se ruta kompletirala su: x_2 i x_4 te x_6 i x_1

| | | |
|-------|------------------|------------------|
| | x_1 | x_4 |
| x_2 | 0 ⁽⁰⁾ | 0 ⁽¹⁾ |
| x_6 | 0 ⁽¹⁾ | 1 |

Redoslijed dobivanja pojedinih relacija:

$0 \rightarrow 5$

$3 \rightarrow 6$

$5 \rightarrow 3 \Rightarrow 0 \leftrightarrow 5 \leftrightarrow 3 \leftrightarrow 6$

$4 \rightarrow 0$

$1 \rightarrow 2$

$2 \rightarrow 4 \Rightarrow 1 \leftrightarrow 2 \leftrightarrow 4 \leftrightarrow 0$

$6 \rightarrow 1 \Rightarrow 0 \leftrightarrow 5 \leftrightarrow 3 \leftrightarrow 6 \leftrightarrow 1 \leftrightarrow 2 \leftrightarrow 4 \leftrightarrow 0 = 201 \text{ km.}$

Metoda najbližeg susjeda

U nastavku je prikazano rješenje prema *metodi najbližeg susjeda* za najkraći put:

| | x_0 | x_1 | x_2 | x_3 | x_4 | x_5 | x_6 |
|-------|----------|----------|----------|----------|----------|----------|----------|
| x_0 | ∞ | 75 | 84 | 64 | 73 | 39 | 66 |
| x_1 | 75 | ∞ | 10 | 36 | 21 | 52 | 25 |
| x_2 | 84 | 10 | ∞ | 43 | 19 | 61 | 32 |
| x_3 | 64 | 36 | 43 | ∞ | 46 | 24 | 11 |
| x_4 | 73 | 21 | 19 | 46 | ∞ | 59 | 35 |
| x_5 | 39 | 52 | 61 | 24 | 59 | ∞ | 31 |
| x_6 | 66 | 25 | 32 | 11 | 35 | 31 | ∞ |

$0 \rightarrow 5$

$5 \rightarrow 3 \Rightarrow 0 \leftrightarrow 5 \leftrightarrow 3$

$3 \rightarrow 6 \Rightarrow 0 \leftrightarrow 5 \leftrightarrow 3 \leftrightarrow 6$

$6 \rightarrow 1 \Rightarrow 0 \leftrightarrow 5 \leftrightarrow 3 \leftrightarrow 6 \leftrightarrow 1$

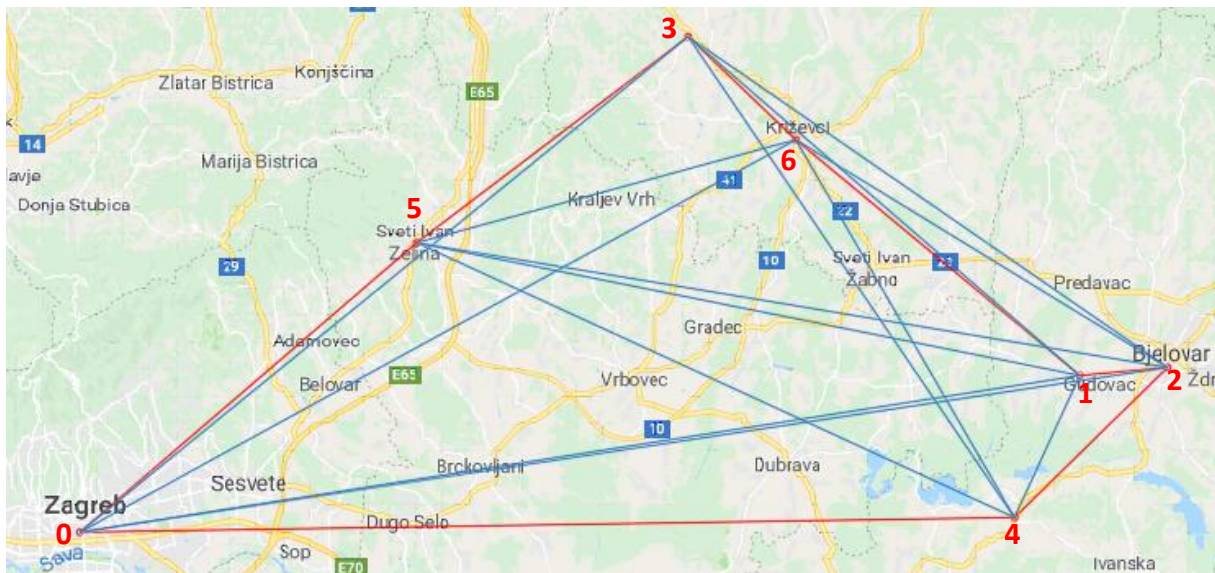
$1 \rightarrow 2 \Rightarrow 0 \leftrightarrow 5 \leftrightarrow 3 \leftrightarrow 6 \leftrightarrow 1 \leftrightarrow 2$

$2 \rightarrow 4 \Rightarrow 0 \leftrightarrow 5 \leftrightarrow 3 \leftrightarrow 6 \leftrightarrow 1 \leftrightarrow 2 \leftrightarrow 4$

$4 \rightarrow 0 \Rightarrow 0 \leftrightarrow 5 \leftrightarrow 3 \leftrightarrow 6 \leftrightarrow 1 \leftrightarrow 2 \leftrightarrow 4 \leftrightarrow 0 = 201 \text{ km.}$

Christofides-ov algoritam

Jednako kao u i prethodnim primjerima dobiveno je rješenje *Christofides-ovog algoritma*. Na slici (27) prikazano je rješenje najkraćeg puta prema metodi *Christofides-ovog algoritma*. Ruta dobivena *Christofides-ovim algoritmom*: $0 \leftrightarrow 5 \leftrightarrow 3 \leftrightarrow 6 \leftrightarrow 1 \leftrightarrow 2 \leftrightarrow 4 \leftrightarrow 0 = 201 \text{ km.}$



Slika 27. Ruta HR-43472 kao rješenje Christofides-ovog algoritma

5.1.5. Ruta HR-43882

U ruti HR-43882 nalazi se pet lokacija koje je potrebno opskrbiti robom. Tablica 11. prikazuje podatke o dostavi, vremenu, odredištu, količini i masi tereta. Na temelju navedenih podataka projektirati će se ruta, te će se trošak distribucije optimizirati.

Tablica 11. Podaci o ruti HR-43882

| Redni broj | Vrijeme dostave | Skladišni centar | Odredište | Količina pakiranja | Bruto masa(kg) | Šifra rute |
|------------|-----------------|------------------|-----------------------|--------------------|----------------|------------|
| 1. | 16.3.2017 0:00 | Zagreb | Pisarovina | 2 | 800 | HR-43882 |
| 2. | 16.3.2017 0:00 | Zagreb | Kutina | 1 | 21 | HR-43882 |
| 3. | 16.3.2017 0:00 | Zagreb | Sisak | 2 | 486 | HR-43882 |
| 4. | 16.3.2017 0:00 | Zagreb | Gorica Svetojanska | 1 | 300 | HR-43882 |
| 5. | 16.3.2017 0:00 | Zagreb | Popovača | 1 | 373 | HR-43882 |

Međusobna udaljenost između lokacija iz tablice 11. prikazana je u nastavku te će se pomoću nje računati uštede između čvorova za daljnji postupak izračuna najkraćeg puta.

| | x_0 | x_1 | x_2 | x_3 | x_4 | x_5 |
|-------|----------|----------|----------|----------|----------|----------|
| x_0 | ∞ | 34 | 83 | 60 | 45 | 66 |
| x_1 | 34 | ∞ | 105 | 61 | 36 | 86 |
| x_2 | 83 | 105 | ∞ | 44 | 124 | 24 |
| x_3 | 60 | 61 | 44 | ∞ | 92 | 25 |
| x_4 | 45 | 36 | 124 | 92 | ∞ | 107 |
| x_5 | 66 | 86 | 24 | 25 | 107 | ∞ |

Tablica 12. prikazuje uštede izračunate prema formuli (4) i rangirane prema veličini za svih pet vrhova.

Tablica 12. Uštede za rutu HR-43882 rangirane prema veličini

| Grana (i,j) | Ušteda $s(i,j)$ | Grana (i,j) | Ušteda $s(i,j)$ |
|--------------------|--------------------|--------------------|--------------------|
| (2,5) | 125 | (1,2) | 12 |
| (3,5) | 101 | (2,4) | 4 |
| (2,3) | 99 | (4,5) | 4 |
| (1,4) | 43 | | |
| (1,3) | 33 | | |
| (1,5) | 14 | | |
| (3,4) | 13 | | |

Clark-Wright-ov algoritam

Uštede iz tablice 12. koriste se pri izračunu najkraćeg puta *Clark-Wright-ovog algoritma* kako je prikazano u nastavku.

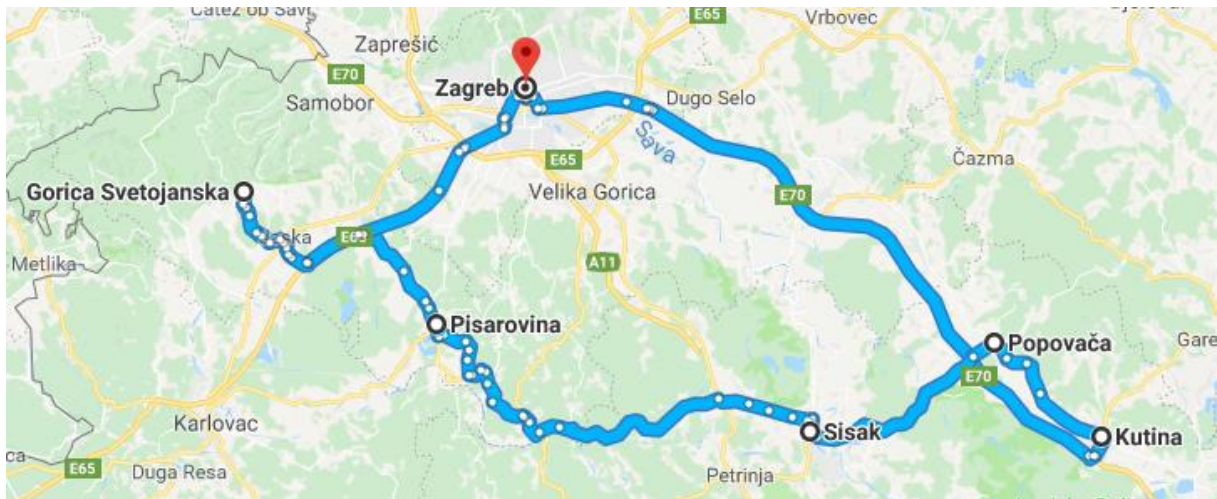
$$(2,5) \Rightarrow 0 \leftrightarrow 2 \leftrightarrow 5 \leftrightarrow 0$$

$$(3,5) \Rightarrow 0 \leftrightarrow 2 \leftrightarrow 5 \leftrightarrow 3 \leftrightarrow 0$$

$$(1,4) \Rightarrow 0 \leftrightarrow 1 \leftrightarrow 4 \leftrightarrow 0$$

$$(1,3) \Rightarrow 0 \leftrightarrow 2 \leftrightarrow 5 \leftrightarrow 3 \leftrightarrow 1 \leftrightarrow 4 \leftrightarrow 0 = 274 \text{ km.}$$

Slika (28) prikazuje grafičko rješenje *Clark-Wright-ovog algoritma*.



Slika 28. Ruta HR-43882 kao rješenje CW-ovog algoritma

Metoda s indikatorom T

Izračun započinje pretragom ušteta prema polu-matrici, odnosno pronalaskom maksimalne ušteta. Odabrana ušteta između dva čvora označava prvu relaciju u ruti, na jednak način uz poštivanje ograničenja odabiru se sljedeće po veličini ušteta te se po tom principu dobije rješenje, odnosno kompletirana ruta. U nastavku je prikazana početna polu-matrica udaljenosti za rutu HR-43882 i završna polu matrica kao rješenje najkraćeg puta prema *metodi s indikatorom T*. Uštede koje se nalaze u polu-matrici izračunate su pomoću formule (4).

| | x_1 | x_2 | x_3 | x_4 | x_5 |
|-------|-------|-------|-------|-------|-------|
| x_0 | 2 | 2 | 2 | 2 | 2 |
| x_1 | | 12 | 33 | 43 | 14 |
| x_2 | | | 99 | 4 | 125 |
| x_3 | | | | 13 | 101 |
| x_4 | | | | | 4 |

| | x_1 | x_2 | x_3 | x_4 | x_5 |
|-------|-------|-------|---------|---------|----------|
| x_0 | 0 | 1 | 0 | 1 | 0 |
| x_1 | | 12 | 1 33 | 1 43 | 14 |
| x_2 | | | 99 | 4 | 1 125 |
| x_3 | | | | 13 | 1 101 |
| x_4 | | | | | 4 |

$2 \rightarrow 5$

$3 \rightarrow 5 \Rightarrow 2 \leftrightarrow 5 \leftrightarrow 3$

$1 \rightarrow 4$

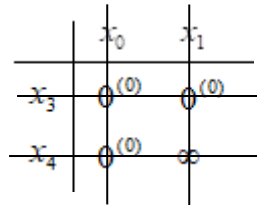
$1 \rightarrow 3 \Rightarrow 2 \leftrightarrow 5 \leftrightarrow 3 \leftrightarrow 1 \leftrightarrow 4$

$0 \leftrightarrow 2 \leftrightarrow 5 \leftrightarrow 3 \leftrightarrow 1 \leftrightarrow 4 \leftrightarrow 0 = 274 \text{ km.}$

Metoda grananja i ograničavanja

Obzirom da u završnoj matrici sve vrijednosti kazni iznose nula, prvo se odabire relacija $x_4 \rightarrow x_0$ jer se radi ograničenja ne može odabrati relacija x_4 i x_1 , već postoji relacija koja je usmjerena od čvora x_1 prema čvoru x_4 . Prema tome, posljednja relacija je $x_3 \rightarrow x_1$.

| | x_0 | x_1 | x_2 | x_3 | x_4 | x_5 |
|-------|----------|----------|----------|----------|----------|----------|
| x_0 | ∞ | 34 | 83 | 60 | 45 | 66 |
| x_1 | 34 | ∞ | 105 | 61 | 36 | 86 |
| x_2 | 83 | 105 | ∞ | 44 | 124 | 24 |
| x_3 | 60 | 61 | 44 | ∞ | 92 | 25 |
| x_4 | 45 | 36 | 124 | 92 | ∞ | 107 |
| x_5 | 66 | 86 | 24 | 25 | 107 | ∞ |



U nastavku se nalaze koraci rješenja prema redosljedu odabira pojedinačnih relacija:

$2 \rightarrow 5$

$5 \rightarrow 3 \Rightarrow 2 \leftrightarrow 5 \leftrightarrow 3$

$0 \rightarrow 2 \Rightarrow 0 \leftrightarrow 2 \leftrightarrow 5 \leftrightarrow 3$

$1 \rightarrow 4$

$4 \rightarrow 0 \Rightarrow 1 \leftrightarrow 4 \leftrightarrow 0$

$3 \rightarrow 1 \Rightarrow 0 \leftrightarrow 2 \leftrightarrow 5 \leftrightarrow 3 \leftrightarrow 1 \leftrightarrow 4 \leftrightarrow 0 = 274 \text{ km.}$

Metoda najbližeg susjeda

Početak izračuna započinje odabirom minimalne udaljenosti usmjerene od čvora x_0 , u ovom primjeru, početna relacija je $x_0 \rightarrow x_1$, minimalna udaljenost iznosi 34 km. Zatim se iz vrha x_1 odabire također minimalna udaljenost ne uzimajući u obzir vrh x_0 , kako ne bi nastala pod-ruta „subtour“, stoga sljedeći čvor u djelomičnoj ruti je x_4 . Na jednak način dobije se rješenje *metode najbližeg susjeda*, kompletna ruta.

| | x_0 | x_1 | x_2 | x_3 | x_4 | x_5 |
|-------|----------|----------|----------|----------|----------|----------|
| x_0 | ∞ | 34 | 83 | 60 | 45 | 66 |
| x_1 | 34 | ∞ | 105 | 61 | 36 | 86 |
| x_2 | 83 | 105 | ∞ | 44 | 124 | 24 |
| x_3 | 60 | 61 | 44 | ∞ | 92 | 25 |
| x_4 | 45 | 36 | 124 | 92 | ∞ | 107 |
| x_5 | 66 | 86 | 24 | 25 | 107 | ∞ |

$0 \rightarrow 1$

$1 \rightarrow 4 \Rightarrow 0 \leftrightarrow 1 \leftrightarrow 4$

$4 \rightarrow 3 \Rightarrow 0 \leftrightarrow 1 \leftrightarrow 4 \leftrightarrow 3$

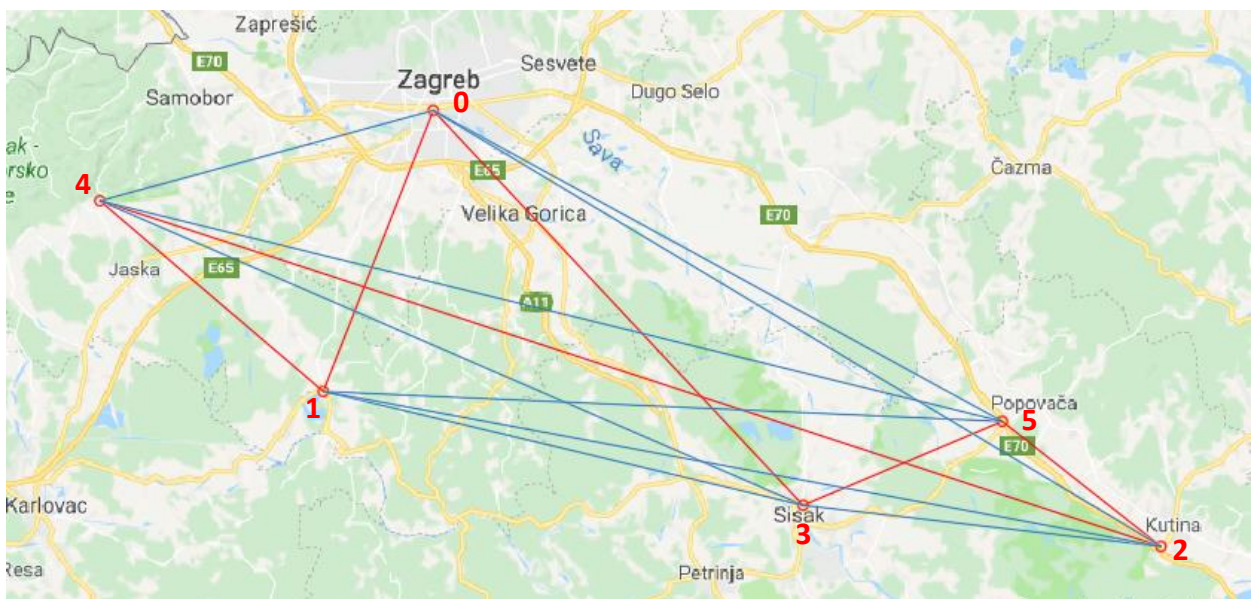
$3 \rightarrow 5 \Rightarrow 0 \leftrightarrow 1 \leftrightarrow 4 \leftrightarrow 3 \leftrightarrow 5$

$5 \rightarrow 2 \Rightarrow 0 \leftrightarrow 1 \leftrightarrow 4 \leftrightarrow 3 \leftrightarrow 5 \leftrightarrow 2$

$2 \rightarrow 0 \Rightarrow 0 \leftrightarrow 1 \leftrightarrow 4 \leftrightarrow 3 \leftrightarrow 5 \leftrightarrow 2 \leftrightarrow 0 = 294 \text{ km.}$

Christofides-ov algoritam

Na jednak način kao u prethodnim primjerima dobiveno je rješenje najkraćeg puta pomoću *Christofides-ovog algoritma*. Na slici 29. crvenim linijama prikazana je ruta kao rješenje navedenog algoritma. Rješenje je: $0 \leftrightarrow 1 \leftrightarrow 4 \leftrightarrow 2 \leftrightarrow 5 \leftrightarrow 3 \leftrightarrow 0 = 303 \text{ km.}$



Slika 29. Ruta HR-43882 kao rješenje Christofides-ovog algoritma

5.1.6. Ruta HR-43881

U stupcu „odredište“ u tablici 13., grad Koprivnica naveden je tri puta kao dostavno mjesto, odnosno numeriran brojevima od jedan do tri, razlog tome su tri različita mjesta koja je potrebno opskrbiti unutar grada Koprivnice, međutim radi tajnosti podataka nije moguće navesti točnu adresu, stoga se brojevima označavaju navedena mjesta. Ruta HR-43881 je ruta na području Sjeverne Hrvatske koja sadrži najveći broj mjesta koja je potrebno opskrbiti.

Tablica 13. Podaci o ruti HR-43881

| Redni broj | Vrijeme dostave | Skladišni centar | Odredište | Količina pakiranja | Bruto masa (kg) | Šifra rute |
|------------|-----------------|------------------|---------------|--------------------|-----------------|------------|
| 1. | 16.3.2017 0:00 | Zagreb | Ludbreg | 1 | 211 | HR-43881 |
| 2. | 16.3.2017 0:00 | Zagreb | Koprivnica 1 | 1 | 235 | HR-43881 |
| 3. | 16.3.2017 0:00 | Zagreb | Đurđevac | 1 | 557 | HR-43881 |
| 4. | 16.3.2017 0:00 | Zagreb | Ferdinandovac | 1 | 38 | HR-43881 |
| 5. | 16.3.2017 0:00 | Zagreb | Koprivnica 2 | 1 | 193 | HR-43881 |
| 6. | 16.3.2017 0:00 | Zagreb | Čakovec | 1 | 782 | HR-43881 |
| 7. | 16.3.2017 0:00 | Zagreb | Prelog | 1 | 72 | HR-43881 |
| 8. | 16.3.2017 0:00 | Zagreb | Varaždin | 1 | 49 | HR-43881 |
| 9. | 16.3.2017 0:00 | Zagreb | Koprivnica 3 | 1 | 148 | HR-43881 |

U matričnom prikazu međusobnih udaljenosti u nastavku prikazane su udaljenosti između lokacija navedenih u tablici 13. To je ujedno i početna radnja prije početka projektiranja ruta *Clark-Wright-ovim algoritmom*, kako bi se mogle izračunati uštede između čvorova unutar rute.

| | x_0 | x_1 | x_2 | x_3 | x_4 | x_5 | x_6 | x_7 | x_8 | x_9 |
|-------|----------|----------|----------|----------|----------|----------|----------|----------|----------|----------|
| x_0 | ∞ | 98 | 100 | 109 | 120 | 97 | 103 | 103 | 88 | 98 |
| x_1 | 89 | ∞ | 25 | 45 | 59 | 24 | 30 | 16 | 28 | 22 |
| x_2 | 100 | 25 | ∞ | 34 | 45 | 9 | 53 | 37 | 52 | 3 |
| x_3 | 109 | 45 | 34 | ∞ | 11 | 26 | 79 | 64 | 78 | 32 |
| x_4 | 120 | 59 | 45 | 11 | ∞ | 36 | 90 | 74 | 89 | 42 |
| x_5 | 97 | 24 | 9 | 26 | 26 | ∞ | 55 | 40 | 54 | 7 |
| x_6 | 103 | 30 | 53 | 79 | 90 | 55 | ∞ | 16 | 17 | 51 |
| x_7 | 103 | 16 | 37 | 64 | 74 | 40 | 16 | ∞ | 26 | 36 |
| x_8 | 88 | 28 | 52 | 78 | 89 | 54 | 17 | 26 | ∞ | 48 |
| x_9 | 98 | 22 | 3 | 32 | 42 | 7 | 51 | 36 | 48 | ∞ |

Tablica 14. prikazuje uštede izračunate prema formuli (4). Uštede su rangirane prema veličini radi izračuna *Clark-Wright-ovog algoritma*. Uz zadovoljenje ograničenja i uvjeta prolazi se po listi ušteda te se ruta formira kao rješenje najkraćeg puta.

Tablica 14. Uštede za rutu HR-43881 rangirane prema veličini

| Grana (i,j) | Ušteda $s(i,j)$ | Grana (i,j) | Ušteda $s(i,j)$ | Grana (i,j) | Ušteda $s(i,j)$ |
|--------------------|--------------------|--------------------|--------------------|--------------------|--------------------|
| (3,4) | 218 | (6,8) | 174 | (2,6) | 150 |
| (2,9) | 195 | (1,9) | 174 | (6,9) | 150 |
| (6,7) | 190 | (1,2) | 173 | (4,7) | 149 |
| (2,5) | 188 | (1,5) | 171 | (3,7) | 148 |
| (5,9) | 188 | (1,6) | 171 | (5,6) | 145 |
| (1,7) | 185 | (2,7) | 166 | (8,9) | 138 |
| (4,5) | 181 | (7,8) | 165 | (2,8) | 136 |
| (3,5) | 180 | (7,9) | 165 | (4,6) | 133 |
| (4,9) | 176 | (1,3) | 162 | (3,6) | 133 |
| (2,4) | 175 | (5,7) | 160 | (5,8) | 131 |
| (3,9) | 175 | (1,4) | 159 | (4,8) | 119 |
| (2,3) | 175 | (1,8) | 158 | (3,8) | 119 |

Clark-Wright-ov algoritam

U nastavku je prikazano rješenje *Clark-Wright-ovog algoritma* prema uštedama iz tablice 14.

$$(3,4) \Rightarrow 0 \leftrightarrow 3 \leftrightarrow 4 \leftrightarrow 0$$

$$(2,9) \Rightarrow 0 \leftrightarrow 2 \leftrightarrow 9 \leftrightarrow 0$$

$$(6,7) \Rightarrow 0 \leftrightarrow 6 \leftrightarrow 7 \leftrightarrow 0$$

$$(2,5) \Rightarrow 0 \leftrightarrow 5 \leftrightarrow 2 \leftrightarrow 9 \leftrightarrow 0$$

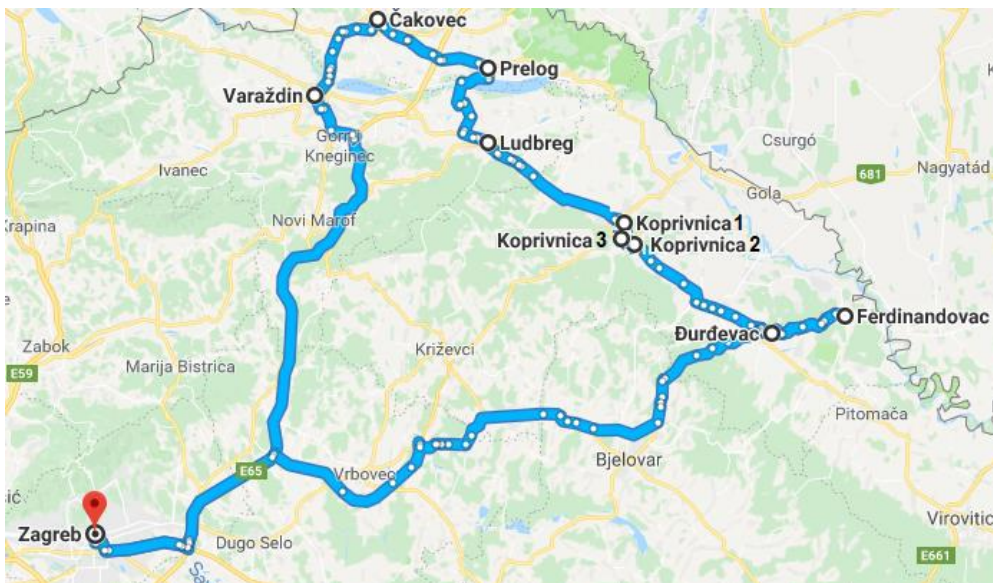
$$(1,7) \Rightarrow 0 \leftrightarrow 6 \leftrightarrow 7 \leftrightarrow 1 \leftrightarrow 0$$

$$(4,5) \Rightarrow 0 \leftrightarrow 3 \leftrightarrow 4 \leftrightarrow 5 \leftrightarrow 2 \leftrightarrow 9 \leftrightarrow 0$$

$$(6,8) \Rightarrow 0 \leftrightarrow 8 \leftrightarrow 6 \leftrightarrow 7 \leftrightarrow 1 \leftrightarrow 0$$

$$(1,9) \Rightarrow 0 \leftrightarrow 3 \leftrightarrow 4 \leftrightarrow 5 \leftrightarrow 2 \rightarrow 9 \leftrightarrow 1 \leftrightarrow 7 \leftrightarrow 6 \leftrightarrow 8 \leftrightarrow 0 = 327 \text{ km.}$$

Slika (30) prikazuje rješenje dobiveno metodom Clark-Wright-ovog algoritma.



Slika 30. Ruta HR-43881 kao rješenje Clark-Wright-ovog algoritma

Metoda s indikatorom T

Polu-matrica u nastavku prikazuje dobivene uštede prema formuli (4). Pomoću navedenih ušteda dobije se rješenje najkraćeg puta prema *metodi s indikatorom T* po principu izračuna kako je objašnjeno u poglavlju 4.2.

| | x_1 | x_2 | x_3 | x_4 | x_5 | x_6 | x_7 | x_8 | x_9 |
|-------|----------|----------|----------|----------|----------|----------|----------|----------|----------|
| x_0 | 2 |
| x_1 | | 173 | 162 | 159 | 171 | 171 | 185 | 158 | 174 |
| x_2 | | | 175 | 175 | 188 | 150 | 166 | 136 | 195 |
| x_3 | | | | 218 | 180 | 133 | 148 | 119 | 175 |
| x_4 | | | | | 181 | 133 | 149 | 119 | 176 |
| x_5 | | | | | | 145 | 160 | 131 | 188 |
| x_6 | | | | | | | 190 | 174 | 150 |
| x_7 | | | | | | | | 165 | 165 |
| x_8 | | | | | | | | | 138 |

U nastavku se nalazi prikaz završne polu-matrice udaljenosti s rješenjima najkraćeg puta.

| | x_1 | x_2 | x_3 | x_4 | x_5 | x_6 | x_7 | x_8 | x_9 |
|-------|-------|-------|-------|----------|----------|-------|----------|----------|----------|
| x_0 | ⓪ | ⓪ | ① | ⓪ | ⓪ | ⓪ | ⓪ | ① | ⓪ |
| x_1 | | 173 | 162 | 159 | 171 | 171 | ① 185 | 158 | ① 174 |
| x_2 | | | 175 | 175 | ① 188 | 150 | 166 | 136 | ① 195 |
| x_3 | | | | ① 218 | 180 | 133 | 148 | 119 | 175 |
| x_4 | | | | | ① 181 | 133 | 149 | 119 | 176 |
| x_5 | | | | | | 145 | 160 | 131 | 188 |
| x_6 | | | | | | | ① 190 | ① 174 | 150 |
| x_7 | | | | | | | | 165 | 165 |
| x_8 | | | | | | | | | 138 |

$$3 \rightarrow 4$$

$$2 \rightarrow 9$$

$$6 \rightarrow 7$$

$$2 \rightarrow 5 \Rightarrow 5 \leftrightarrow 2 \leftrightarrow 9$$

$$1 \rightarrow 7 \Rightarrow 6 \leftrightarrow 7 \leftrightarrow 1$$

$$4 \rightarrow 5 \Rightarrow 3 \leftrightarrow 4 \leftrightarrow 5 \leftrightarrow 2 \rightarrow 9$$

$$6 \rightarrow 8 \Rightarrow 8 \leftrightarrow 6 \leftrightarrow 7 \leftrightarrow 1$$

$$1 \rightarrow 9 \Rightarrow 8 \leftrightarrow 6 \leftrightarrow 7 \rightarrow 1 \leftrightarrow 9 \leftrightarrow 2 \leftrightarrow 5 \leftrightarrow 4 \leftrightarrow 3$$

$$0 \leftrightarrow 8 \leftrightarrow 6 \leftrightarrow 7 \rightarrow 1 \leftrightarrow 9 \leftrightarrow 2 \leftrightarrow 5 \leftrightarrow 4 \leftrightarrow 3 \leftrightarrow 0 = 327 \text{ km.}$$

Metoda grananja i ograničavanja

Na jednak način kao u prethodnim primjerima dobiveno je rješenje najkraćeg puta prema *metodi grananja i ograničavanja*.

| | x_0 | x_1 | x_2 | x_3 | x_4 | x_5 | x_6 | x_7 | x_8 | x_9 |
|-------|----------|----------|----------|----------|----------|----------|----------|----------|----------|----------|
| x_0 | ∞ | 98 | 100 | 109 | 120 | 97 | 103 | 103 | 88 | 98 |
| x_1 | 89 | ∞ | 25 | 45 | 59 | 24 | 30 | 16 | 28 | 22 |
| x_2 | 100 | 25 | ∞ | 34 | 45 | 9 | 53 | 37 | 52 | 3 |
| x_3 | 109 | 45 | 34 | ∞ | 11 | 26 | 79 | 64 | 78 | 32 |
| x_4 | 120 | 59 | 45 | 11 | ∞ | 36 | 90 | 74 | 89 | 42 |
| x_5 | 97 | 24 | 9 | 26 | 26 | ∞ | 55 | 40 | 54 | 7 |
| x_6 | 103 | 30 | 53 | 79 | 90 | 55 | ∞ | 16 | 17 | 51 |
| x_7 | 103 | 16 | 37 | 64 | 74 | 40 | 16 | ∞ | 26 | 36 |
| x_8 | 88 | 28 | 52 | 78 | 89 | 54 | 17 | 26 | ∞ | 48 |
| x_9 | 98 | 22 | 3 | 32 | 42 | 7 | 51 | 36 | 48 | ∞ |

Završne relacije su: $x_1 \rightarrow x_7$ i $x_6 \rightarrow x_8$ kako je i prikazano u matrici u nastavku.

| | x_7 | x_8 |
|-------|-------|-------|
| x_1 | 0(11) | 11 |
| x_6 | 0 | 0(11) |

Relacije između vrhova dobivene prema redosljedu rješavanja *metode grananja i ograničavanja*:

$$3 \rightarrow 4$$

$$4 \rightarrow 5 \Rightarrow 3 \leftrightarrow 4 \leftrightarrow 5$$

$$8 \rightarrow 0$$

$$0 \rightarrow 3 \Rightarrow 0 \leftrightarrow 3 \leftrightarrow 4 \leftrightarrow 5$$

$$2 \rightarrow 9$$

$$5 \rightarrow 2 \Rightarrow 0 \leftrightarrow 3 \leftrightarrow 4 \leftrightarrow 5 \leftrightarrow 2 \leftrightarrow 9$$

$$7 \rightarrow 6$$

$$9 \rightarrow 1 \Rightarrow 0 \leftrightarrow 3 \leftrightarrow 4 \leftrightarrow 5 \leftrightarrow 2 \leftrightarrow 9 \leftrightarrow 1$$

$$1 \rightarrow 7 \Rightarrow 0 \leftrightarrow 3 \leftrightarrow 4 \leftrightarrow 5 \leftrightarrow 2 \leftrightarrow 9 \leftrightarrow 1 \leftrightarrow 7$$

$$6 \rightarrow 8 \Rightarrow 0 \leftrightarrow 3 \leftrightarrow 4 \leftrightarrow 5 \leftrightarrow 2 \leftrightarrow 9 \leftrightarrow 1 \leftrightarrow 7 \leftrightarrow 6 \leftrightarrow 8 \leftrightarrow 0 = 327 \text{ km.}$$

Metoda najbližeg susjeda

Odabirom minimalnih udaljenosti između vrhova rješava se *metoda najbližeg susjeda*, na jednak način kao i u prethodnim primjerima. U nastavku je prikazan redosljed dobivenih relacija. Najbliži čvor početnoj lokaciji je x_8 , zatim se u rutu nadovezuje čvor x_6 , itd.

| | x_0 | x_1 | x_2 | x_3 | x_4 | x_5 | x_6 | x_7 | x_8 | x_9 |
|-------|----------|----------|----------|----------|----------|----------|----------|----------|----------|----------|
| x_0 | ∞ | 98 | 100 | 109 | 120 | 97 | 103 | 103 | 88 | 98 |
| x_1 | 89 | ∞ | 25 | 45 | 59 | 24 | 30 | 16 | 28 | 22 |
| x_2 | 100 | 25 | ∞ | 34 | 45 | 9 | 53 | 37 | 52 | 3 |
| x_3 | 109 | 45 | 34 | ∞ | 11 | 26 | 79 | 64 | 78 | 32 |
| x_4 | 120 | 59 | 45 | 11 | ∞ | 36 | 90 | 74 | 89 | 42 |
| x_5 | 97 | 24 | 9 | 26 | 26 | ∞ | 55 | 40 | 54 | 7 |
| x_6 | 103 | 30 | 53 | 79 | 90 | 55 | ∞ | 16 | 17 | 51 |
| x_7 | 103 | 16 | 37 | 64 | 74 | 40 | 16 | ∞ | 26 | 36 |
| x_8 | 88 | 28 | 52 | 78 | 89 | 54 | 17 | 26 | ∞ | 48 |
| x_9 | 98 | 22 | 3 | 32 | 42 | 7 | 51 | 36 | 48 | ∞ |

U nastavku je prikazan redosljed dobivanja pojedinih relacija prilikom izračuna najkraćeg puta kod *metode najbližeg susjeda*. Posljednja dobivena relacija u ruti je $x_4 \rightarrow x_0$, iako je udaljenost od čvora x_4 prema čvoru x_0 najveća od ponuđenih, kako ne bi nastala podruta i obzirom da je to preostali čvor, potrebno ih je povezati iako filozofija *metode najbližeg susjeda* nalaže odabir minimalnih udaljenosti, odnosno odabir najbližeg čvora.

$$0 \rightarrow 8$$

$$8 \rightarrow 6 \Rightarrow 0 \leftrightarrow 8 \leftrightarrow 6$$

$$6 \rightarrow 7 \Rightarrow 0 \leftrightarrow 8 \leftrightarrow 6 \leftrightarrow 7$$

$$7 \rightarrow 1 \Rightarrow 0 \leftrightarrow 8 \leftrightarrow 6 \leftrightarrow 7 \leftrightarrow 1$$

$$1 \rightarrow 9 \Rightarrow 0 \leftrightarrow 8 \leftrightarrow 6 \rightarrow 7 \leftrightarrow 1 \leftrightarrow 9$$

$$9 \rightarrow 2 \Rightarrow 0 \leftrightarrow 8 \leftrightarrow 6 \rightarrow 7 \leftrightarrow 1 \leftrightarrow 9 \leftrightarrow 2$$

$$2 \rightarrow 5 \Rightarrow 0 \leftrightarrow 8 \leftrightarrow 6 \rightarrow 7 \leftrightarrow 1 \leftrightarrow 9 \leftrightarrow 2 \leftrightarrow 5$$

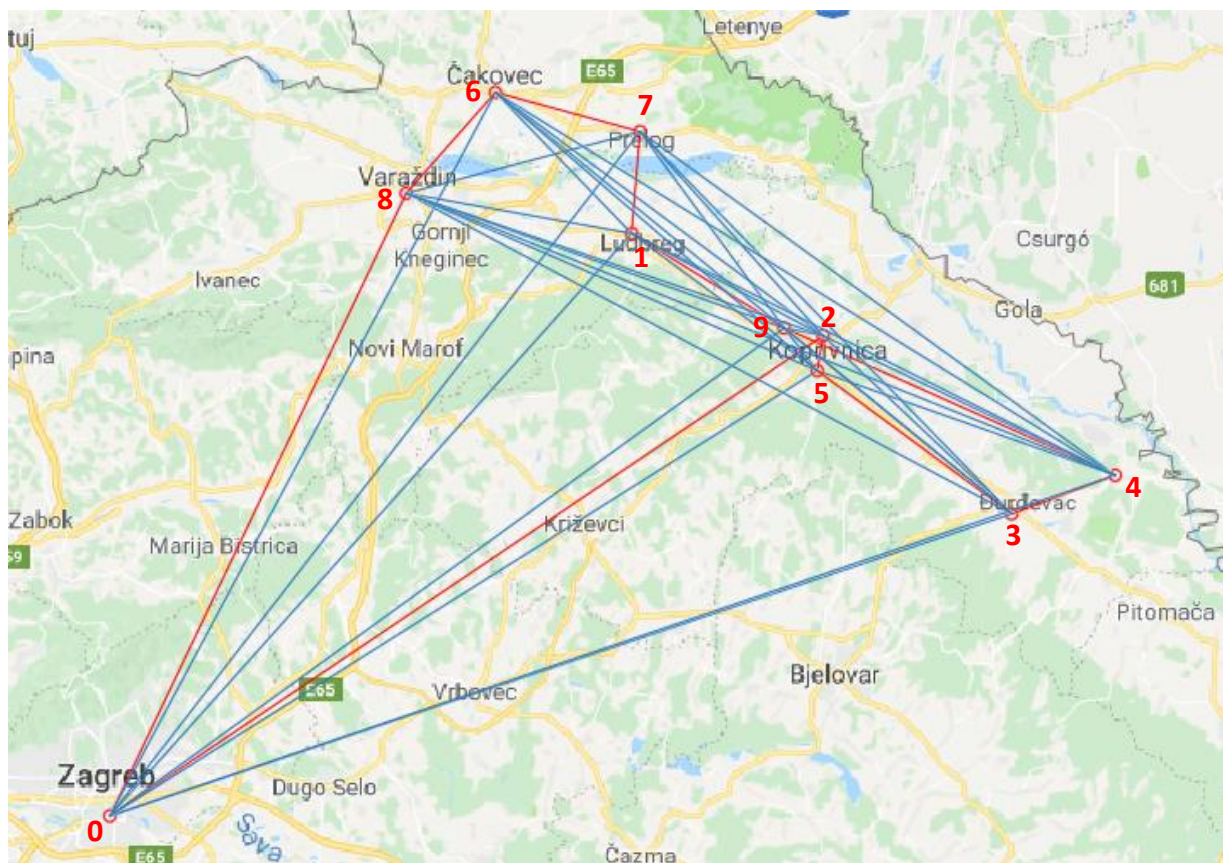
$$5 \rightarrow 3 \Rightarrow 0 \leftrightarrow 8 \leftrightarrow 6 \rightarrow 7 \leftrightarrow 1 \leftrightarrow 9 \leftrightarrow 2 \leftrightarrow 5 \leftrightarrow 3$$

$$3 \rightarrow 4 \Rightarrow 0 \leftrightarrow 8 \leftrightarrow 6 \rightarrow 7 \leftrightarrow 1 \leftrightarrow 9 \leftrightarrow 2 \leftrightarrow 5 \leftrightarrow 3 \leftrightarrow 4$$

$$4 \rightarrow 0 \Rightarrow 0 \leftrightarrow 8 \leftrightarrow 6 \rightarrow 7 \leftrightarrow 1 \leftrightarrow 9 \leftrightarrow 2 \leftrightarrow 5 \leftrightarrow 3 \leftrightarrow 4 \leftrightarrow 0 = 328 \text{ km.}$$

Christofides-ov algoritam

Rješenje *Christofides-ovog algoritma* nalazi se na slici 31. Crvene linije označuju najkraći put kao rješenje algoritma, dok plave linije prikazuju međusobne udaljenosti između čvorova. Svrha *Christofides-ovog algoritma* je dobiti rješenje najkraćeg puta korištenjem matrice udaljenosti. Detaljno objašnjen postupak dobivanja rješenja prikazan je u poglavlju 4.5. Rješenje za rutu HR-43881 glasi: $0 \leftrightarrow 8 \leftrightarrow 6 \leftrightarrow 7 \leftrightarrow 1 \leftrightarrow 9 \leftrightarrow 4 \leftrightarrow 3 \leftrightarrow 5 \leftrightarrow 2 \leftrightarrow 0 = 347$ km.



Slika 31. Ruta HR-43881 kao rješenje Christofides-ovog algoritma

5.2. Rute na području Slavonije

Nakon što su dobivena rješenja najkraćeg puta pomoću matematičkih metoda za sve navedene rute na području Sjeverne Hrvatske, potrebno je projektirati rute i izračunati najkraći put za rute na području Slavonije. Na jednak način projektiraju se i izračunavaju rute na području Slavonije kao i u primjerima Sjeverne Hrvatske. Rute se u navedenim područjima razlikuju prvenstveno prema udaljenosti središta distribucije i polazne točke, stoga su i duljine samih ruta znatno veće na području Slavonije, u odnosu na rute na području Sjeverne Hrvatske.

Osim prostorne i vremenske razdaljine, razlika je i u broju lokacija koje je potrebno opskrbiti. Proporcionalno tome, veća je i količina tereta pri distribuciji na području Slavonije. Stoga je veoma bitno dobiti optimalna rješenja, odnosno najkraći put kako bi se uštedjelo vrijeme i novac. Obzirom da je potrebno distribuirati veću količinu tereta, uštede mogu nastati pravilnim odabirom vozila, neophodno je stoga teret pravilno slagati u vozilo te postoji mogućnost kombiniranja paketa, odnosno popunjavanja praznog prostora u vozilu, pazeći pri tome na ukupnu masu i nosivost vozila. U nastavku su prikazani izračuni najkraćeg puta prema metodama za rute na području Slavonije.

5.2.1. Ruta HR-43344

Tablica 15. prikazuje osnovne podatke o ruti HR-43344. Distribuciju započinje kao i kod Sjeverne Hrvatske iz centralnog skladišta u gradu Zagrebu. Kao što je ranije navedeno, lokacije. Iako su udaljenosti znatno veće kod distribucije na području Slavonije, princip je isti za izračun najkraćeg puta po matematičkim metodama.

Tablica 15. Podaci o ruti HR-43344

| Redni broj | Vrijeme dostave | Skladišni centar | Odredište | Količina pakiranja | Bruto masa (kg) | Šifra rute |
|------------|-----------------|------------------|----------------|--------------------|-----------------|------------|
| 1. | 7.3.2017 0:00 | Zagreb | Našice | 2 | 278 | HR-43344 |
| 2. | 7.3.2017 0:00 | Zagreb | Požega | 4 | 556 | HR-43344 |
| 3. | 7.3.2017 0:00 | Zagreb | Đakovo | 3 | 417 | HR-43344 |
| 4. | 7.3.2017 0:00 | Zagreb | Osijek | 5 | 695 | HR-43344 |
| 5. | 7.3.2017 0:00 | Zagreb | Slavonski Brod | 4 | 556 | HR-43344 |
| 6. | 7.3.2017 0:00 | Zagreb | Vinkovci | 3 | 417 | HR-43344 |

Udaljenosti između lokacija iz tablice 15. prikazane su u matričnom obliku u nastavku. Vidljivo je kako su udaljenosti iz početne točke prema lokacijama nekoliko puta veće u odnosu na udaljenosti među lokacijama te će to utjecati na krajnji rezultat.

| | | | | | | | |
|-------|----------|----------|----------|----------|----------|----------|----------|
| | x_0 | x_1 | x_2 | x_3 | x_4 | x_5 | x_6 |
| x_0 | ∞ | 224 | 174 | 242 | 283 | 191 | 272 |
| x_1 | 224 | ∞ | 48 | 35 | 55 | 54 | 78 |
| x_2 | 174 | 48 | ∞ | 72 | 143 | 43 | 134 |
| x_3 | 242 | 35 | 72 | ∞ | 43 | 53 | 39 |
| x_4 | 283 | 55 | 143 | 43 | ∞ | 95 | 42 |
| x_5 | 191 | 54 | 43 | 53 | 95 | ∞ | 84 |
| x_6 | 272 | 78 | 134 | 39 | 42 | 84 | ∞ |

Tablica 16. prikazuje rješenja ušteta dobivenih pomoću formule (4), sortirane prema veličini od najveće prema najmanjoj, prema zahtjevu za izračun najkraćeg puta *Clark-Wright-ovog algoritma*.

Tablica 16. Uštede za rutu HR-43344 rangirane prema veličini

| Grana (i,j) | Ušteta s(i,j) | Grana (i,j) | Ušteta s(i,j) | Grana (i,j) | Ušteta s(i,j) |
|----------------|------------------|----------------|------------------|----------------|------------------|
| (4,6) | 513 | (5,6) | 379 | (2,6) | 312 |
| (3,4) | 482 | (4,5) | 379 | | |
| (3,6) | 475 | (1,5) | 361 | | |
| (1,4) | 452 | (1,2) | 350 | | |
| (1,3) | 431 | (2,3) | 344 | | |
| (1,6) | 418 | (2,5) | 322 | | |
| (3,5) | 380 | (2,4) | 314 | | |

Clark-Wright-ov algoritam

$$(4,6) \Rightarrow 0 \leftrightarrow 4 \leftrightarrow 6 \leftrightarrow 0$$

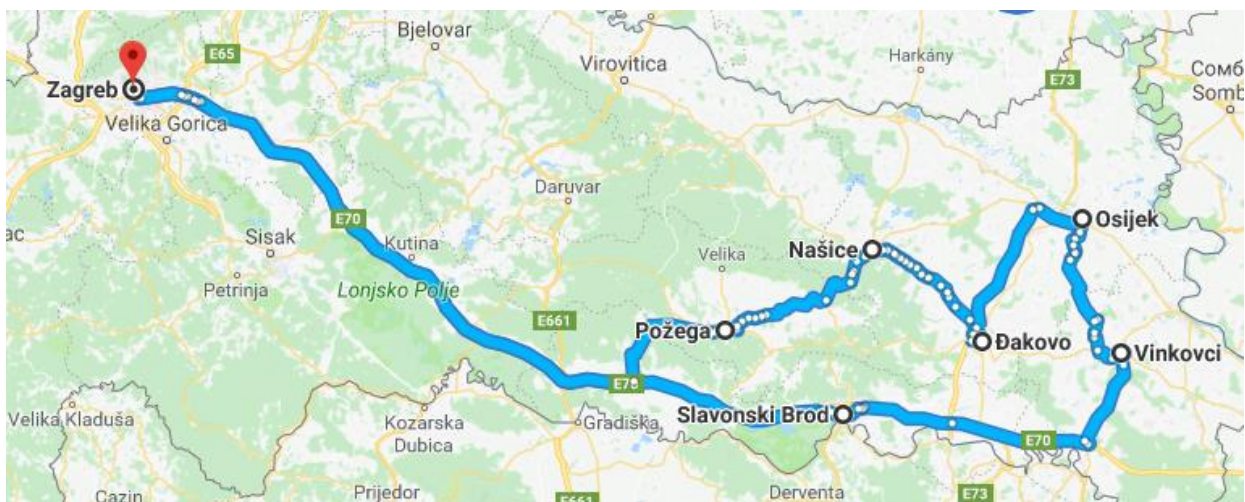
$$(3,4) \Rightarrow 0 \leftrightarrow 3 \leftrightarrow 4 \leftrightarrow 6 \leftrightarrow 0$$

$$(1,3) \Rightarrow 0 \leftrightarrow 1 \leftrightarrow 3 \leftrightarrow 4 \leftrightarrow 6 \leftrightarrow 0$$

$$(5,6) \Rightarrow 0 \leftrightarrow 1 \leftrightarrow 3 \leftrightarrow 4 \leftrightarrow 6 \leftrightarrow 5$$

$$(1,2) \Rightarrow 0 \leftrightarrow 2 \leftrightarrow 1 \leftrightarrow 3 \leftrightarrow 4 \leftrightarrow 6 \leftrightarrow 5 \leftrightarrow 0 = 617 \text{ km.}$$

Grafički prikaz rješenja Clark-Wright-ovog algoritma prikazano je na slici 32.



Slika 32. Ruta HR-43344 kao rješenje CW-ovog algoritma

Metoda s indikatorom T

Maksimalna ušteda u polu-matrici početna je poveznica dva čvora u ruti. Uštede koje se nalaze u polu-matrici dobivene su korištenjem formule(4). Rješenje najkraćeg puta dobiveno je na jednak način kao i u prethodnim primjerima i nalazi se u nastavku:

| | x_1 | x_2 | x_3 | x_4 | x_5 | x_6 |
|-------|-------|-------|-------|-------|-------|-------|
| x_0 | 2 | 2 | 2 | 2 | 2 | 2 |
| x_1 | | 350 | 431 | 452 | 361 | 418 |
| x_2 | | | 344 | 314 | 322 | 312 |
| x_3 | | | | 482 | 380 | 475 |
| x_4 | | | | | 379 | 513 |
| x_5 | | | | | | 379 |

Završni oblik polu-matrice prikazan je u nastavku kao i koraci izračuna najkraćeg puta prema metodi s indikatorom T, dobiveno ranijim izračunom ušteda pomoću formule (4).

| | x_1 | x_2 | x_3 | x_4 | x_5 | x_6 |
|-------|-------|----------|----------|----------|-------|----------|
| x_0 | 0 | 1 | 0 | 0 | 1 | 0 |
| x_1 | | 1 350 | 1 431 | 452 | 361 | 418 |
| x_2 | | | 344 | 314 | 322 | 312 |
| x_3 | | | | 1 482 | 380 | 475 |
| x_4 | | | | | 379 | 1 513 |
| x_5 | | | | | | 1 379 |

$$4 \rightarrow 6$$

$$3 \rightarrow 4 \Rightarrow 3 \leftrightarrow 4 \leftrightarrow 6$$

$$1 \rightarrow 3 \Rightarrow 1 \leftrightarrow 3 \leftrightarrow 4 \leftrightarrow 6$$

$$5 \rightarrow 6 \Rightarrow 1 \leftrightarrow 3 \leftrightarrow 4 \rightarrow 6 \leftrightarrow 5$$

$$1 \rightarrow 2 \Rightarrow 2 \leftrightarrow 1 \leftrightarrow 3 \leftrightarrow 4 \rightarrow 6 \leftrightarrow 5$$

$$0 \leftrightarrow 2 \leftrightarrow 1 \leftrightarrow 3 \leftrightarrow 4 \rightarrow 6 \leftrightarrow 5 \leftrightarrow 0 = 617 \text{ km.}$$

Metoda grananja i ograničavanja

Kao u jednom od ranijih primjera, odabir posljednje dvije relacije u slučaju kad vrijednost kazni iznosi nula, odvija se na način da se prvenstveno eliminira relacija koja nije moguća, u ovom slučaju to je $x_6 \rightarrow x_4$, stoga se u rutu dodaje relacija $x_6 \rightarrow x_3$, pa prema tome posljednja relacija glasi: $x_1 \rightarrow x_4$

| | x_0 | x_1 | x_2 | x_3 | x_4 | x_5 | x_6 |
|-------|----------|----------|----------|----------|----------|----------|----------|
| x_0 | ∞ | 224 | 174 | 242 | 283 | 191 | 272 |
| x_1 | 224 | ∞ | 48 | 35 | 55 | 54 | 78 |
| x_2 | 174 | 48 | ∞ | 72 | 143 | 43 | 134 |
| x_3 | 242 | 35 | 72 | ∞ | 43 | 53 | 39 |
| x_4 | 283 | 55 | 143 | 43 | ∞ | 95 | 42 |
| x_5 | 191 | 54 | 43 | 53 | 95 | ∞ | 84 |
| x_6 | 272 | 78 | 134 | 39 | 42 | 84 | ∞ |

| | x_3 | x_4 |
|-------|-------|-------|
| x_1 | 0 (0) | 0 (0) |
| x_6 | 0 (0) | 0 |

$$0 \rightarrow 2$$

$$5 \rightarrow 0$$

$$2 \rightarrow 1 \Rightarrow 0 \leftrightarrow 2 \leftrightarrow 1$$

$$3 \rightarrow 5 \Rightarrow 3 \leftrightarrow 5 \leftrightarrow 0$$

$$4 \rightarrow 6$$

$$6 \rightarrow 3 \Rightarrow 4 \leftrightarrow 6 \leftrightarrow 3 \leftrightarrow 5 \rightarrow 0$$

$$1 \rightarrow 4 \Rightarrow 1 \leftrightarrow 4 \leftrightarrow 6 \leftrightarrow 3 \leftrightarrow 5 \rightarrow 0$$

$$0 \leftrightarrow 2 \leftrightarrow 1 \leftrightarrow 4 \leftrightarrow 6 \leftrightarrow 3 \leftrightarrow 5 \rightarrow 0 = 602 \text{ km.}$$

Metoda najbližeg susjeda

U nastavku se nalazi rješenje metode najbližeg susjeda, izvedeno na način kao u prethodnim primjerima, odabirom minimalnih udaljenosti između lokacije:

| | x_0 | x_1 | x_2 | x_3 | x_4 | x_5 | x_6 |
|-------|----------|----------|----------|----------|----------|----------|----------|
| x_0 | ∞ | 224 | 174 | 242 | 283 | 191 | 272 |
| x_1 | 224 | ∞ | 48 | 35 | 55 | 54 | 78 |
| x_2 | 174 | 48 | ∞ | 72 | 143 | 43 | 134 |
| x_3 | 242 | 35 | 72 | ∞ | 43 | 53 | 39 |
| x_4 | 283 | 55 | 143 | 43 | ∞ | 95 | 42 |
| x_5 | 191 | 54 | 43 | 53 | 95 | ∞ | 84 |
| x_6 | 272 | 78 | 134 | 39 | 42 | 84 | ∞ |

$$0 \rightarrow 2$$

$$2 \rightarrow 5 \Rightarrow 0 \leftrightarrow 2 \leftrightarrow 5$$

$$5 \rightarrow 3 \Rightarrow 0 \leftrightarrow 2 \leftrightarrow 5 \leftrightarrow 3$$

$$3 \rightarrow 1 \Rightarrow 0 \leftrightarrow 2 \leftrightarrow 5 \leftrightarrow 3 \leftrightarrow 1$$

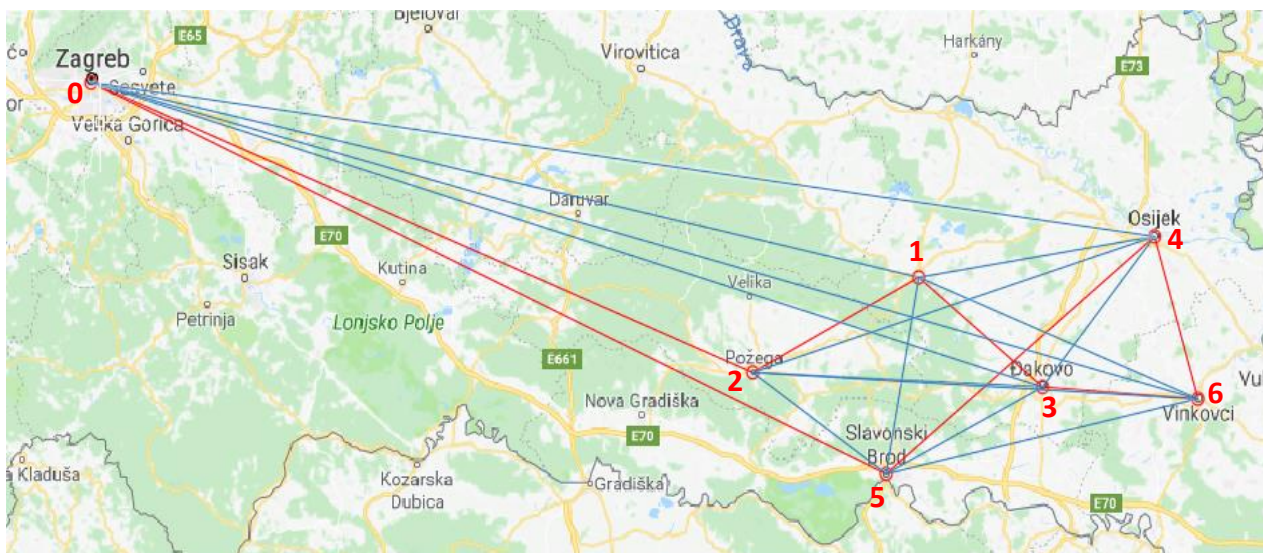
$$1 \rightarrow 4 \Rightarrow 0 \leftrightarrow 2 \leftrightarrow 5 \leftrightarrow 3 \leftrightarrow 1 \leftrightarrow 4$$

$$4 \rightarrow 6 \Rightarrow 0 \leftrightarrow 2 \leftrightarrow 5 \leftrightarrow 3 \leftrightarrow 1 \leftrightarrow 4 \leftrightarrow 6$$

$$6 \rightarrow 0 \Rightarrow 0 \leftrightarrow 2 \leftrightarrow 5 \leftrightarrow 3 \leftrightarrow 1 \leftrightarrow 4 \leftrightarrow 6 \leftrightarrow 0 = 674 \text{ km.}$$

Christofides-ov algoritam

Prema postupku izračuna u poglavlju 4.5., dobiveno je rješenje za ovaj kao i za ranije primjere. Na slici 33. crvenim linijama prikazano je rješenje dobiveno izračunom *Christofides-ovog algoritma*, dok plave linije označuju moguće međusobne udaljenosti između lokacija. Rješenje *Christofides-ovog algoritma* glasi: $0 \leftrightarrow 2 \leftrightarrow 1 \leftrightarrow 3 \leftrightarrow 6 \leftrightarrow 4 \leftrightarrow 5 \leftrightarrow 0 = 624 \text{ km.}$



Slika 33. Ruta HR-43827 kao rješenje Christofides-ovog algoritma

5.2.2. Ruta HR-43827

U tablici 17. prikazani su opći podaci za rutu HR-43827. Ruta započinje i završava u skladišnom centru u Zagrebu, a potrebno je u jednom danu opskrbiti sve lokacije kako je navedeno u tablici.

Tablica 17. Podaci o ruti HR-43827

| Redni broj | Vrijeme dostave | Skladišni centar | Odredište | Količina pakiranja | Bruto masa (kg) | Šifra rute |
|------------|-----------------|------------------|-------------------|--------------------|-----------------|------------|
| 1. | 15.3.2017 0:00 | Zagreb | Pakrac | 1 | 145 | HR-43827 |
| 2. | 15.3.2017 0:00 | Zagreb | Stari Mikanovci | 1 | 486 | HR-43827 |
| 3. | 15.3.2017 0:00 | Zagreb | Gundinci | 1 | 57 | HR-43827 |
| 4. | 15.3.2017 0:00 | Zagreb | Dalj | 1 | 74 | HR-43827 |
| 5. | 15.3.2017 0:00 | Zagreb | Osijek | 1 | 486 | HR-43827 |
| 6. | 15.3.2017 0:00 | Zagreb | Podravska Slatina | 1 | 315 | HR-43827 |
| 7. | 15.3.2017 0:00 | Zagreb | Čepin | 1 | 62 | HR-43827 |
| 8. | 15.3.2017 0:00 | Zagreb | Našice | 1 | 289 | HR-43827 |
| 9. | 15.3.2017 0:00 | Zagreb | Vinkovci | 3 | 2332 | HR-43827 |

U nastavku se nalazi matrični prikaz međusobnih udaljenosti između lokacija iz tablice 17.

| | x_0 | x_1 | x_2 | x_3 | x_4 | x_5 | x_6 | x_7 | x_8 | x_9 |
|-------|----------|----------|----------|----------|----------|----------|----------|----------|----------|----------|
| x_0 | ∞ | 307 | 128 | 248 | 267 | 233 | 283 | 178 | 224 | 272 |
| x_1 | 307 | ∞ | 196 | 53 | 38 | 69 | 25 | 119 | 78 | 33 |
| x_2 | 128 | 196 | ∞ | 151 | 136 | 139 | 189 | 72 | 96 | 173 |
| x_3 | 248 | 53 | 151 | ∞ | 34 | 31 | 38 | 99 | 53 | 23 |
| x_4 | 267 | 38 | 136 | 34 | ∞ | 62 | 11 | 88 | 42 | 41 |
| x_5 | 233 | 69 | 139 | 31 | 62 | ∞ | 75 | 107 | 62 | 37 |
| x_6 | 283 | 25 | 189 | 38 | 11 | 75 | ∞ | 95 | 54 | 42 |
| x_7 | 178 | 119 | 72 | 99 | 88 | 107 | 95 | ∞ | 46 | 124 |
| x_8 | 224 | 78 | 96 | 53 | 42 | 62 | 54 | 46 | ∞ | 84 |
| x_9 | 272 | 33 | 173 | 23 | 41 | 37 | 42 | 124 | 84 | ∞ |

Tablica 18. prikazuje rangirane ušteda prema veličini koje se koriste pri izračunu najkraćeg puta *Clark-Wright-ovim algoritmom* i *metodom s indikatorom T*. Uštede za obje metode izračunate su pomoću formule (4) postupkom kako je ranije objašnjeno.

Tablica 18. Uštede za rutu HR-43827 rangirane prema veličini

| Grana (i,j) | Ušteda $s(i,j)$ | Grana (i,j) | Ušteda $s(i,j)$ | Grana (i,j) | Ušteda $s(i,j)$ |
|--------------------|--------------------|--------------------|--------------------|--------------------|--------------------|
| (1,6) | 565 | (1,8) | 453 | (7,8) | 356 |
| (1,9) | 546 | (6,8) | 453 | (3,7) | 327 |
| (4,6) | 539 | (3,5) | 450 | (7,9) | 326 |
| (1,4) | 536 | (4,8) | 449 | (5,7) | 304 |
| (6,9) | 513 | (5,6) | 441 | (2,4) | 259 |
| (1,3) | 502 | (4,5) | 438 | (2,8) | 256 |
| (4,9) | 498 | (3,8) | 419 | (1,2) | 239 |
| (3,9) | 497 | (8,9) | 412 | (2,7) | 234 |
| (3,6) | 493 | (5,8) | 395 | (2,9) | 227 |
| (3,4) | 481 | (1,7) | 366 | (2,3) | 225 |
| (1,5) | 471 | (6,7) | 366 | (2,5) | 222 |
| (5,9) | 468 | (4,7) | 357 | (2,6) | 222 |

Clark-Wright-ov algoritam

Iz tablice ušteta 18, projektira se ruta prema koracima kako je prikazano u nastavku:

(1,6) $\Rightarrow 0 \leftrightarrow 1 \leftrightarrow 6 \leftrightarrow 0$

(1,9) $\Rightarrow 0 \leftrightarrow 9 \leftrightarrow 1 \leftrightarrow 6 \leftrightarrow 0$

(4,6) $\Rightarrow 0 \leftrightarrow 9 \leftrightarrow 1 \leftrightarrow 6 \leftrightarrow 4 \leftrightarrow 0$

(3,9) $\Rightarrow 0 \leftrightarrow 3 \leftrightarrow 9 \leftrightarrow 1 \leftrightarrow 6 \leftrightarrow 4 \leftrightarrow 0$

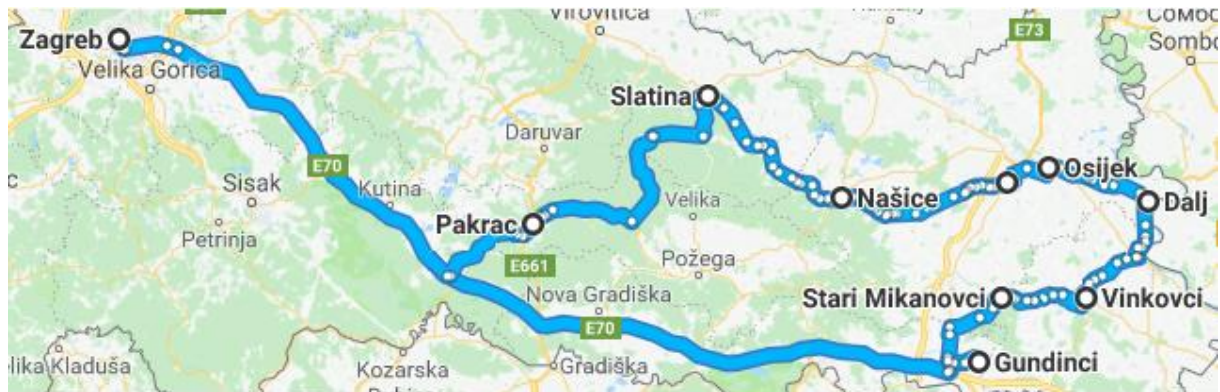
(3,5) $\Rightarrow 0 \leftrightarrow 5 \leftrightarrow 3 \leftrightarrow 9 \leftrightarrow 1 \leftrightarrow 6 \leftrightarrow 4 \leftrightarrow 0$

(4,8) $\Rightarrow 0 \leftrightarrow 5 \leftrightarrow 3 \leftrightarrow 9 \leftrightarrow 1 \leftrightarrow 6 \leftrightarrow 4 \leftrightarrow 8 \leftrightarrow 0$

(7,8) $\Rightarrow 0 \leftrightarrow 5 \leftrightarrow 3 \leftrightarrow 9 \leftrightarrow 1 \leftrightarrow 6 \leftrightarrow 4 \leftrightarrow 8 \leftrightarrow 7 \leftrightarrow 0$

(2,7) $\Rightarrow 0 \leftrightarrow 5 \leftrightarrow 3 \leftrightarrow 9 \leftrightarrow 1 \leftrightarrow 6 \leftrightarrow 4 \leftrightarrow 8 \leftrightarrow 7 \leftrightarrow 2 \leftrightarrow 0 = 644 \text{ km.}$

Kompletirana ruta prikazana je u grafičkom obliku na slici 34. kao rješenje *Clark-Wright-ovog algoritma*.



Slika 34. Ruta HR-43827 kao rješenje CW-ovog algoritma

Metoda s indikatorom T

Početni korak kod *metode s indikatorom T* izrada je polu-matrice ušteta dobivenih pomoću formule (4) iz međusobnih udaljenosti lokacija iz tablice 18.

| | x_1 | x_2 | x_3 | x_4 | x_5 | x_6 | x_7 | x_8 | x_9 |
|-------|----------|----------|----------|----------|----------|----------|----------|----------|----------|
| x_0 | 2 |
| x_1 | | 239 | 502 | 536 | 471 | 565 | 366 | 453 | 546 |
| x_2 | | | 225 | 259 | 222 | 222 | 234 | 256 | 227 |
| x_3 | | | | 481 | 450 | 493 | 327 | 419 | 497 |
| x_4 | | | | | 438 | 539 | 357 | 449 | 498 |
| x_5 | | | | | | 441 | 304 | 395 | 468 |
| x_6 | | | | | | | 366 | 453 | 513 |
| x_7 | | | | | | | | 356 | 326 |
| x_8 | | | | | | | | | 412 |

Rješenje metode s indikatorom T kao najkraći put, prikazano je u nastavku prema izračunu pojedinih relacija te izračun po koracima.

| | x_1 | x_2 | x_3 | x_4 | x_5 | x_6 | x_7 | x_8 | x_9 |
|-------|-------|-------|-------|-------|----------|----------|----------|----------|----------|
| x_0 | ⓪ | ① | ⓪ | ⓪ | ① | ⓪ | ⓪ | ⓪ | ⓪ |
| x_1 | | 239 | 502 | 536 | 471 | ① 565 | 366 | 453 | ① 546 |
| x_2 | | | 225 | 259 | 222 | 222 | ① 234 | 256 | 227 |
| x_3 | | | | 481 | ① 450 | 493 | 327 | 419 | ① 497 |
| x_4 | | | | | 438 | ① 539 | 357 | ① 449 | 498 |
| x_5 | | | | | | 441 | 304 | 395 | 468 |
| x_6 | | | | | | | 366 | 453 | 513 |
| x_7 | | | | | | | | ① 356 | 326 |
| x_8 | | | | | | | | | 412 |

$$1 \rightarrow 6$$

$$1 \rightarrow 9 \Rightarrow 9 \leftrightarrow 1 \leftrightarrow 6$$

$$4 \rightarrow 6 \Rightarrow 9 \leftrightarrow 1 \leftrightarrow 6 \leftrightarrow 4$$

$$3 \rightarrow 9 \Rightarrow 3 \leftrightarrow 9 \leftrightarrow 1 \leftrightarrow 6 \leftrightarrow 4$$

$$3 \rightarrow 5 \Rightarrow 5 \leftrightarrow 3 \leftrightarrow 9 \leftrightarrow 1 \leftrightarrow 6 \leftrightarrow 4$$

$$4 \rightarrow 8 \Rightarrow 5 \leftrightarrow 3 \leftrightarrow 9 \leftrightarrow 1 \leftrightarrow 6 \leftrightarrow 4 \leftrightarrow 8$$

$$7 \rightarrow 8 \Rightarrow 5 \leftrightarrow 3 \leftrightarrow 9 \leftrightarrow 1 \leftrightarrow 6 \leftrightarrow 4 \leftrightarrow 8 \leftrightarrow 7$$

$$2 \rightarrow 7 \Rightarrow 5 \leftrightarrow 3 \leftrightarrow 9 \leftrightarrow 1 \leftrightarrow 6 \leftrightarrow 4 \leftrightarrow 8 \leftrightarrow 7 \leftrightarrow 2$$

$$0 \leftrightarrow 5 \leftrightarrow 3 \leftrightarrow 9 \leftrightarrow 1 \leftrightarrow 6 \leftrightarrow 4 \leftrightarrow 8 \leftrightarrow 7 \leftrightarrow 2 \leftrightarrow 0 = 644 \text{ km.}$$

Metoda grananja i ograničavanja

Izračunom kazni za ne korištenje predložene veze među gradovima dobiva se rješenje metode grananja i ograničavanja. U nastavku su kao i u prethodnim primjerima prikazana početna matrica udaljenosti te završna matrica s posljednje dvije relacije uz prikazane relacije prema redoslijedu izračuna.

| | x_0 | x_1 | x_2 | x_3 | x_4 | x_5 | x_6 | x_7 | x_8 | x_9 |
|-------|----------|----------|----------|----------|----------|----------|----------|----------|----------|----------|
| x_0 | ∞ | 307 | 128 | 248 | 267 | 233 | 283 | 178 | 224 | 272 |
| x_1 | 307 | ∞ | 196 | 53 | 38 | 69 | 25 | 119 | 78 | 33 |
| x_2 | 128 | 196 | ∞ | 151 | 136 | 139 | 189 | 72 | 96 | 173 |
| x_3 | 248 | 53 | 151 | ∞ | 34 | 31 | 38 | 99 | 53 | 23 |
| x_4 | 267 | 38 | 136 | 34 | ∞ | 62 | 11 | 88 | 42 | 41 |
| x_5 | 233 | 69 | 139 | 31 | 62 | ∞ | 75 | 107 | 62 | 37 |
| x_6 | 283 | 25 | 189 | 38 | 11 | 75 | ∞ | 95 | 54 | 42 |
| x_7 | 178 | 119 | 72 | 99 | 88 | 107 | 95 | ∞ | 46 | 124 |
| x_8 | 224 | 78 | 96 | 53 | 42 | 62 | 54 | 46 | ∞ | 84 |
| x_9 | 272 | 33 | 173 | 23 | 41 | 37 | 42 | 124 | 84 | ∞ |

| | x_3 | x_7 |
|-------|------------------|------------------|
| x_5 | 0 ⁽⁰⁾ | 0 ⁽⁰⁾ |
| x_6 | 0 ⁽⁰⁾ | 0 ⁽⁰⁾ |

$$0 \rightarrow 2$$

$$7 \rightarrow 0$$

$$2 \rightarrow 8 \Rightarrow 0 \leftrightarrow 2 \leftrightarrow 8$$

$$8 \rightarrow 4 \Rightarrow 0 \leftrightarrow 2 \leftrightarrow 8 \leftrightarrow 4$$

$$4 \rightarrow 6 \Rightarrow 0 \leftrightarrow 2 \leftrightarrow 8 \leftrightarrow 4 \leftrightarrow 6$$

$$6 \rightarrow 1 \Rightarrow 0 \leftrightarrow 2 \leftrightarrow 8 \leftrightarrow 4 \leftrightarrow 6 \leftrightarrow 1$$

$$1 \rightarrow 9 \Rightarrow 0 \leftrightarrow 2 \leftrightarrow 8 \leftrightarrow 4 \leftrightarrow 6 \leftrightarrow 1 \leftrightarrow 9$$

$$3 \rightarrow 5$$

$$9 \rightarrow 3 \Rightarrow 0 \leftrightarrow 2 \leftrightarrow 8 \leftrightarrow 4 \leftrightarrow 6 \leftrightarrow 1 \leftrightarrow 9 \leftrightarrow 3 \leftrightarrow 5$$

$$5 \rightarrow 7 \Rightarrow 0 \leftrightarrow 2 \leftrightarrow 8 \leftrightarrow 4 \leftrightarrow 6 \leftrightarrow 1 \leftrightarrow 9 \leftrightarrow 3 \leftrightarrow 5 \leftrightarrow 7 \leftrightarrow 0 = 674 \text{ km.}$$

Metoda najbližeg susjeda

Rješenje metode najbližeg susjeda je dobiveno na način kao i u prethodnim primjerima, u nastavku se nalazi ispunjena matrica udaljenosti uz prikaz pojedinačnih relacija te prikaz kompletne rute.

| | x_0 | x_1 | x_2 | x_3 | x_4 | x_5 | x_6 | x_7 | x_8 | x_9 |
|-------|----------|----------|----------|----------|----------|----------|----------|----------|----------|----------|
| x_0 | ∞ | 307 | 128 | 248 | 267 | 233 | 283 | 178 | 224 | 272 |
| x_1 | 307 | ∞ | 196 | 53 | 38 | 69 | 25 | 119 | 78 | 33 |
| x_2 | 128 | 196 | ∞ | 151 | 136 | 139 | 189 | 72 | 96 | 173 |
| x_3 | 248 | 53 | 151 | ∞ | 34 | 31 | 38 | 99 | 53 | 23 |
| x_4 | 267 | 38 | 136 | 34 | ∞ | 62 | 11 | 88 | 42 | 41 |
| x_5 | 233 | 69 | 139 | 31 | 62 | ∞ | 75 | 107 | 62 | 37 |
| x_6 | 283 | 25 | 189 | 38 | 11 | 75 | ∞ | 95 | 54 | 42 |
| x_7 | 178 | 119 | 72 | 99 | 88 | 107 | 95 | ∞ | 46 | 124 |
| x_8 | 224 | 78 | 96 | 53 | 42 | 62 | 54 | 46 | ∞ | 84 |
| x_9 | 272 | 33 | 173 | 23 | 41 | 37 | 42 | 124 | 84 | ∞ |

$0 \rightarrow 2 \Rightarrow 0 \leftrightarrow 2$

$2 \rightarrow 7 \Rightarrow 0 \leftrightarrow 2 \leftrightarrow 7$

$7 \rightarrow 8 \Rightarrow 0 \leftrightarrow 2 \leftrightarrow 7 \leftrightarrow 8$

$8 \rightarrow 4 \Rightarrow 0 \leftrightarrow 2 \leftrightarrow 7 \leftrightarrow 8 \leftrightarrow 4$

$4 \rightarrow 6 \Rightarrow 0 \leftrightarrow 2 \leftrightarrow 7 \leftrightarrow 8 \leftrightarrow 4 \leftrightarrow 6$

$6 \rightarrow 1 \Rightarrow 0 \leftrightarrow 2 \leftrightarrow 7 \leftrightarrow 8 \leftrightarrow 4 \leftrightarrow 6 \leftrightarrow 1$

$1 \rightarrow 9 \Rightarrow 0 \leftrightarrow 2 \leftrightarrow 7 \leftrightarrow 8 \leftrightarrow 4 \leftrightarrow 6 \leftrightarrow 1 \leftrightarrow 9$

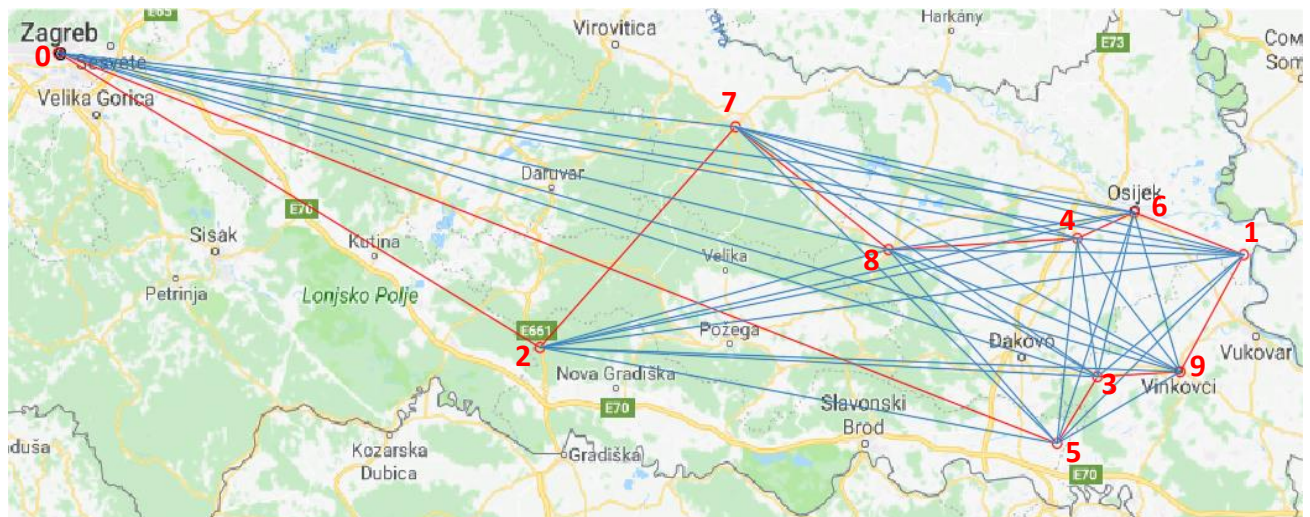
$9 \rightarrow 3 \Rightarrow 0 \leftrightarrow 2 \leftrightarrow 7 \leftrightarrow 8 \leftrightarrow 4 \leftrightarrow 6 \leftrightarrow 1 \leftrightarrow 9 \leftrightarrow 3$

$3 \rightarrow 5 \Rightarrow 0 \leftrightarrow 2 \leftrightarrow 7 \leftrightarrow 8 \leftrightarrow 4 \leftrightarrow 6 \leftrightarrow 1 \leftrightarrow 9 \leftrightarrow 3 \leftrightarrow 5$

$5 \rightarrow 0 \Rightarrow 0 \leftrightarrow 2 \leftrightarrow 7 \leftrightarrow 8 \leftrightarrow 4 \leftrightarrow 6 \leftrightarrow 1 \leftrightarrow 9 \leftrightarrow 3 \leftrightarrow 5 \leftrightarrow 0 = 644 \text{ km.}$

Christofides-ov algoritam

Rješenje *Christofides-ovog algoritma* prikazano je na slici 35. Rješenje je dobiveno prema postupku objašnjenom u poglavlju 4.5., kao i u prethodnim primjerima izračuna puta *Christofides-ovim algoritmom*. Redoslijed obilaska lokacija, odnosno rješenje glasi: $0 \leftrightarrow 2 \leftrightarrow 7 \leftrightarrow 8 \leftrightarrow 4 \leftrightarrow 6 \leftrightarrow 1 \leftrightarrow 9 \leftrightarrow 3 \leftrightarrow 5 \leftrightarrow 0 = 644 \text{ km.}$



Slika 35. Ruta HR-43827 kao rješenje Christofides-ovog algoritma

5.2.3. Ruta HR-43761

Tablica 18. prikazuje opće podatke o ruti za rutu HR-43761. U ruti se nalaze dva dostavna mjesta u Podravskoj Slatini, obzirom da nije moguće navesti točne adrese, mjesta opskrbe voditi će se brojevima (Podravska Slatina 1 i Podravska Slatina 2).

Tablica 19. Podaci za rutu HR-43761

| Redni broj | Vrijeme dostave | Skladišni centar | Odredište | Količina pakiranja | Bruto masa (kg) | Šifra rute |
|------------|-----------------|------------------|------------------------|--------------------|-----------------|------------|
| 1. | 14.3.2017 0:00 | Zagreb | Zdenci | 1 | 370 | HR-43761 |
| 2. | 14.3.2017 0:00 | Zagreb | Koška | 10 | 100 | HR-43761 |
| 3. | 14.3.2017 0:00 | Zagreb | Bolman | 1 | 531 | HR-43761 |
| 4. | 14.3.2017 0:00 | Zagreb | Kneževi Vinogradi | 1 | 235 | HR-43761 |
| 5. | 14.3.2017 0:00 | Zagreb | Podravska Slatina 1 | 2 | 1038 | HR-43761 |
| 6. | 14.3.2017 0:00 | Zagreb | Ernestinov o/Sodolovci | 1 | 509 | HR-43761 |
| 7. | 14.3.2017 0:00 | Zagreb | Virovitica | 1 | 9 | HR-43761 |
| 8. | 14.3.2017 0:00 | Zagreb | Požega | 9 | 7007 | HR-43761 |
| 9. | 14.3.2017 0:00 | Zagreb | Gradište | 1 | 81 | HR-43761 |
| 10. | 14.3.2017 0:00 | Zagreb | Podravska Slatina 2 | 1 | 89 | HR-43761 |
| 11. | 14.3.2017 0:00 | Zagreb | Gundinci | 1 | 511 | HR-43761 |

Matrični prikaz međusobnih udaljenosti između svih jedanaest lokacija i polazne točke, skladišnog centra u Zagrebu nalazi se u nastavku. Svrha matričnog prikaza udaljenosti je osnova za izračun najkraćeg puta prema navedenim matematičkim metodama.

| | x_0 | x_1 | x_2 | x_3 | x_4 | x_5 | x_6 | x_7 | x_8 | x_9 | x_{10} | x_{11} |
|----------|----------|----------|----------|----------|----------|----------|----------|----------|----------|----------|----------|----------|
| x_0 | ∞ | 210 | 272 | 261 | 281 | 178 | 267 | 145 | 174 | 255 | 233 | 184 |
| x_1 | 210 | ∞ | 33 | 61 | 81 | 28 | 74 | 59 | 52 | 115 | 81 | 35 |
| x_2 | 272 | 33 | ∞ | 34 | 58 | 60 | 46 | 99 | 64 | 91 | 64 | 61 |
| x_3 | 261 | 61 | 34 | ∞ | 25 | 80 | 45 | 109 | 103 | 91 | 108 | 78 |
| x_4 | 281 | 81 | 58 | 25 | ∞ | 100 | 44 | 130 | 124 | 91 | 101 | 98 |
| x_5 | 178 | 28 | 60 | 80 | 100 | ∞ | 100 | 31 | 72 | 142 | 107 | 3 |
| x_6 | 267 | 74 | 46 | 45 | 44 | 100 | ∞ | 133 | 100 | 16 | 59 | 101 |
| x_7 | 145 | 59 | 99 | 109 | 130 | 31 | 133 | ∞ | 88 | 174 | 140 | 32 |
| x_8 | 174 | 52 | 64 | 103 | 124 | 72 | 100 | 88 | ∞ | 108 | 87 | 74 |
| x_9 | 255 | 115 | 91 | 91 | 91 | 142 | 16 | 174 | 108 | ∞ | 26 | 141 |
| x_{10} | 233 | 81 | 64 | 108 | 101 | 107 | 59 | 140 | 87 | 26 | ∞ | 109 |
| x_{11} | 184 | 35 | 61 | 78 | 98 | 3 | 101 | 32 | 74 | 141 | 109 | ∞ |

Prema prethodnoj matrici udaljenosti, izračunate su uštede pomoću formule (4) te su rangirane po veličini u tablici 20.

Tablica 20. Uštede za rutu HR-43761 rangirane prema veličini

| Grana (i,j) | Ušteda $s(i,j)$ |
|--------------------|--------------------|--------------------|--------------------|--------------------|--------------------|--------------------|--------------------|
| (3,4) | 517 | (4,10) | 413 | (3,5) | 353 | (9,11) | 298 |
| (4,6) | 504 | (1,3) | 410 | (1,9) | 350 | (3,7) | 297 |
| (2,3) | 499 | (1,4) | 410 | (6,11) | 350 | (7,11) | 297 |
| (2,4) | 495 | (2,11) | 395 | (5,6) | 345 | (1,7) | 296 |
| (2,6) | 493 | (2,5) | 390 | (6,8) | 341 | (4,7) | 296 |
| (3,6) | 483 | (3,10) | 386 | (1,8) | 384 | (5,7) | 292 |
| (6,9) | 476 | (2,8) | 382 | (3,8) | 332 | (5,9) | 291 |
| (9,10) | 462 | (3,11) | 367 | (4,8) | 331 | (8,11) | 284 |
| (1,2) | 449 | (4,11) | 367 | (8,9) | 321 | (5,8) | 280 |
| (4,8) | 331 | (1,10) | 362 | (8,10) | 320 | (6,7) | 279 |
| (2,10) | 441 | (1,5) | 360 | (2,7) | 318 | (7,10) | 238 |
| (6,10) | 441 | (4,5) | 359 | (10,11) | 308 | (7,8) | 231 |
| (2,9) | 436 | (5,11) | 359 | (5,10) | 304 | (7,9) | 226 |
| (3,9) | 425 | (1,11) | 365 | (1,6) | 303 | | |

Clark-Wright-ov algoritam

Izračun najkraćeg puta pomoću *Clark-Wright-ovog algoritma* ušteda dobiva se prema uštedama iz tablice 20., uz zadovoljenje određenih uvjeta i ograničenja. Cilj algoritma je da vozilo krene iz jedne točke, obiđe svaku lokaciju jednom i ponovno se vrati u istu točku te da pri tome prijeđe najkraći mogući put. Koraci izračuna prikazani su nastavku, kao i konačno rješenje najkraćeg puta:

$$(3,4) \Rightarrow 0 \leftrightarrow 3 \leftrightarrow 4 \leftrightarrow 0$$

$$(4,6) \Rightarrow 0 \leftrightarrow 3 \leftrightarrow 4 \leftrightarrow 6 \leftrightarrow 0$$

$$(2,3) \Rightarrow 0 \leftrightarrow 2 \leftrightarrow 3 \leftrightarrow 4 \leftrightarrow 6 \leftrightarrow 0$$

$$(6,9) \Rightarrow 0 \leftrightarrow 2 \leftrightarrow 3 \leftrightarrow 4 \leftrightarrow 6 \leftrightarrow 9 \leftrightarrow 0$$

$$(9,10) \Rightarrow 0 \leftrightarrow 2 \leftrightarrow 3 \leftrightarrow 4 \leftrightarrow 6 \leftrightarrow 9 \leftrightarrow 10 \leftrightarrow 0$$

$$(1,2) \Rightarrow 0 \leftrightarrow 1 \leftrightarrow 2 \leftrightarrow 3 \leftrightarrow 4 \leftrightarrow 6 \leftrightarrow 9 \leftrightarrow 10 \leftrightarrow 0$$

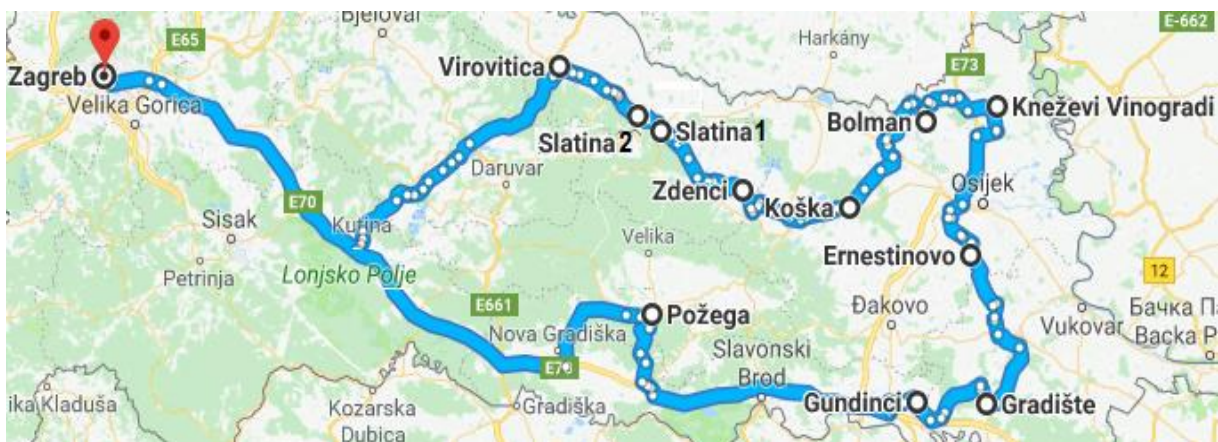
$$(1,5) \Rightarrow 0 \leftrightarrow 5 \leftrightarrow 1 \leftrightarrow 2 \leftrightarrow 3 \leftrightarrow 4 \leftrightarrow 6 \leftrightarrow 9 \leftrightarrow 10 \leftrightarrow 0$$

$$(5,11) \Rightarrow 0 \leftrightarrow 11 \leftrightarrow 5 \leftrightarrow 1 \leftrightarrow 2 \leftrightarrow 3 \leftrightarrow 4 \leftrightarrow 6 \leftrightarrow 9 \leftrightarrow 10 \leftrightarrow 0$$

$$(8,10) \Rightarrow 0 \leftrightarrow 11 \leftrightarrow 5 \leftrightarrow 1 \leftrightarrow 2 \leftrightarrow 3 \leftrightarrow 4 \leftrightarrow 6 \leftrightarrow 9 \leftrightarrow 10 \leftrightarrow 8 \leftrightarrow 0$$

$$(7,11) \Rightarrow 0 \leftrightarrow 7 \leftrightarrow 11 \leftrightarrow 5 \leftrightarrow 1 \leftrightarrow 2 \leftrightarrow 3 \leftrightarrow 4 \leftrightarrow 6 \leftrightarrow 9 \leftrightarrow 10 \leftrightarrow 8 \leftrightarrow 0 = 677 \text{ km.}$$

Najkraći put dobiven prema algoritmu *Clark-Wright-a* prikazan je na slici 36.



Slika 36. Ruta HR-43761 kao rješenje CW-ovog algoritma

Metoda s indikatorom T

U nastavku je prikazana polu-matrica ušteta za rutu HR-43761. Uštete su izračunate pomoću formule (4). Prikazan je osnovni izgled polu-matrice, odnosno polazna matrica ušteta koje su nastale iz početne matrice međusobne udaljenosti. Jedna ušteta prikazuje jednu relaciju između dva čvora, a u prvom retku nalazi se indikator vrijednosti 2, što u prijevodu znači obostranu putovanje, do lokacije te povratak.

| | x_1 | x_2 | x_3 | x_4 | x_5 | x_6 | x_7 | x_8 | x_9 | x_{10} | x_{11} |
|----------|-------|-------|-------|-------|-------|-------|-------|-------|-------|----------|----------|
| x_0 | 2 | 2 | 2 | 2 | 2 | 2 | 2 | 2 | 2 | 2 | 2 |
| x_1 | 449 | 410 | 410 | 360 | 303 | 296 | 384 | 350 | 362 | 365 | |
| x_2 | | 499 | 495 | 390 | 493 | 318 | 382 | 436 | 441 | 395 | |
| x_3 | | | 517 | 353 | 483 | 297 | 332 | 425 | 386 | 367 | |
| x_4 | | | | 359 | 504 | 296 | 331 | 445 | 413 | 367 | |
| x_5 | | | | | 345 | 292 | 280 | 291 | 304 | 359 | |
| x_6 | | | | | | 279 | 341 | 476 | 441 | 350 | |
| x_7 | | | | | | | 231 | 226 | 238 | 297 | |
| x_8 | | | | | | | | 321 | 320 | 284 | |
| x_9 | | | | | | | | | 462 | 298 | |
| x_{10} | | | | | | | | | | 308 | |

Rješenje metode s indikatorom T za rutu HR – 43761, prikazano je u matricnom obliku i pojedinačnim relacijama prema redosljedu izračuna. Projektiranje započinje odabirom najveće uštete u matrici. Odabrana ušteta označuje prvu relaciju u ruti, u ovom slučaju to je ušteta iznosa 517 km, a nalazi se između čvora x_3 i x_4 . Indikator te se u oba čvora umanjuje za jedan. Stoga, početna relacija je usmjerena od čvora x_3 prema čvoru x_4 . Nakon toga, odabire se sljedeća po veličini ušteta uz uvjet da je indikator $T > 0$.

| | x_1 | x_2 | x_3 | x_4 | x_5 | x_6 | x_7 | x_8 | x_9 | x_{10} | x_{11} |
|----------|----------|----------|----------|----------|----------|----------|----------|----------|----------|----------|----------|
| x_0 | 0 | 0 | 0 | 0 | 0 | 0 | 1 | 1 | 0 | 0 | 0 |
| x_1 | 1 449 | 410 | 410 | 1 360 | 303 | 296 | 384 | 350 | 362 | 365 | |
| x_2 | | 1 499 | 495 | 390 | 493 | 318 | 382 | 436 | 441 | 395 | |
| x_3 | | | 1 517 | 353 | 483 | 297 | 332 | 425 | 386 | 367 | |
| x_4 | | | | 1 504 | 296 | 331 | 445 | 413 | 367 | | |
| x_5 | | | | | 1 359 | 292 | 280 | 291 | 304 | 1 359 | |
| x_6 | | | | | | 1 476 | 441 | 350 | | | |
| x_7 | | | | | | | 1 297 | 284 | | | |
| x_8 | | | | | | | | 1 320 | 298 | | |
| x_9 | | | | | | | | | 1 462 | 308 | |
| x_{10} | | | | | | | | | | | 308 |

3 → 4

4 → 6 ⇒ 3 ↔ 4 ↔ 6

2 → 3 ⇒ 2 ↔ 3 ↔ 4 ↔ 6

6 → 9 ⇒ 2 ↔ 3 ↔ 4 ↔ 6 ↔ 9

9 → 10 ⇒ 2 ↔ 3 ↔ 4 ↔ 6 ↔ 9 ↔ 10

1 → 2 ⇒ 1 ↔ 2 ↔ 3 ↔ 4 ↔ 6 ↔ 9 ↔ 10

1 → 5 ⇒ 5 ↔ 1 ↔ 2 ↔ 3 ↔ 4 ↔ 6 ↔ 9 ↔ 10

5 → 11 ⇒ 11 ↔ 5 ↔ 1 ↔ 2 ↔ 3 ↔ 4 ↔ 6 ↔ 9 ↔ 10

8 → 10 ⇒ 11 ↔ 5 ↔ 1 ↔ 2 ↔ 3 ↔ 4 ↔ 6 ↔ 9 ↔ 10 ↔ 8

7 → 11 ⇒ 7 ↔ 11 ↔ 5 ↔ 1 ↔ 2 ↔ 3 ↔ 4 ↔ 6 ↔ 9 ↔ 10 ↔ 8

0 ↔ 7 ↔ 11 ↔ 5 ↔ 1 ↔ 2 ↔ 3 ↔ 4 ↔ 6 ↔ 9 ↔ 10 ↔ 8 ↔ 0 = 677 km.

Metoda grananja i ograničavanja

Kao i u prethodnim primjerima, rješenje za najkraći put prema metodi grananja i ograničavanja dobiveno je prema postupku objašnjenom u poglavlju 4.3.. U nastavku se nalaze početna i završna matrica rješenja te redosljed dobivanja relacija pomoću izračuna kazni.

| | x_0 | x_1 | x_2 | x_3 | x_4 | x_5 | x_6 | x_7 | x_8 | x_9 | x_{10} | x_{11} |
|----------|----------|----------|----------|----------|----------|----------|----------|----------|----------|----------|----------|----------|
| x_0 | ∞ | 210 | 272 | 261 | 281 | 178 | 267 | 145 | 174 | 255 | 233 | 184 |
| x_1 | 210 | ∞ | 33 | 61 | 81 | 28 | 74 | 59 | 52 | 115 | 81 | 35 |
| x_2 | 272 | 33 | ∞ | 34 | 58 | 60 | 46 | 99 | 64 | 91 | 64 | 61 |
| x_3 | 261 | 61 | 34 | ∞ | 25 | 80 | 45 | 109 | 103 | 91 | 108 | 78 |
| x_4 | 281 | 81 | 58 | 25 | ∞ | 100 | 44 | 130 | 124 | 91 | 101 | 98 |
| x_5 | 178 | 28 | 60 | 80 | 100 | ∞ | 100 | 31 | 72 | 142 | 107 | 3 |
| x_6 | 267 | 74 | 46 | 45 | 44 | 100 | ∞ | 133 | 100 | 16 | 59 | 101 |
| x_7 | 145 | 59 | 99 | 109 | 130 | 31 | 133 | ∞ | 88 | 174 | 140 | 32 |
| x_8 | 174 | 52 | 64 | 103 | 124 | 72 | 100 | 88 | ∞ | 108 | 87 | 74 |
| x_9 | 255 | 115 | 91 | 91 | 91 | 142 | 16 | 174 | 108 | ∞ | 26 | 141 |
| x_{10} | 233 | 81 | 64 | 108 | 101 | 107 | 59 | 140 | 87 | 26 | ∞ | 109 |
| x_{11} | 184 | 35 | 61 | 78 | 98 | 3 | 101 | 32 | 74 | 141 | 109 | ∞ |

| | x_3 | x_5 |
|-------|------------------|------------------|
| x_2 | 0 ⁽⁰⁾ | 0 ⁽⁰⁾ |
| x_4 | 0 | 0 ⁽⁰⁾ |

0 → 7

8 → 0

11 → 5

7 → 11 ⇒ 0 ↔ 7 ↔ 11 ↔ 5

5 → 1 ⇒ 0 ↔ 7 ↔ 11 ↔ 5 ↔ 1

1 → 2 ⇒ 0 ↔ 7 ↔ 11 ↔ 5 ↔ 1 ↔ 2

9 → 10

6 → 9 ⇒ 6 ↔ 9 ↔ 10

$$10 \rightarrow 8 \Rightarrow 6 \leftrightarrow 9 \leftrightarrow 10 \leftrightarrow 8 \leftrightarrow 0$$

$$3 \rightarrow 4$$

$$4 \rightarrow 6 \Rightarrow 3 \leftrightarrow 4 \leftrightarrow 6 \leftrightarrow 9 \leftrightarrow 10 \leftrightarrow 8 \leftrightarrow 0$$

$$2 \rightarrow 3 \Rightarrow 0 \leftrightarrow 7 \leftrightarrow 11 \leftrightarrow 5 \leftrightarrow 1 \leftrightarrow 2 \leftrightarrow 3 \leftrightarrow 4 \leftrightarrow 6 \leftrightarrow 9 \leftrightarrow 10 \leftrightarrow 8 \leftrightarrow 0 = 677 \text{ km.}$$

Metoda najbližeg susjeda

Ruta započinje iz čvora x_0 te se povezuje sa čvorom x_7 , zatim čvor x_7 s vrhom x_5 prema pravilu najkraće, odnosno minimalne udaljenosti. Na jednak način dobije se kompletna ruta, kao i u prethodnim primjerima.

| | x_0 | x_1 | x_2 | x_3 | x_4 | x_5 | x_6 | x_7 | x_8 | x_9 | x_{10} | x_{11} |
|----------|----------|----------|----------|----------|----------|----------|----------|----------|----------|----------|----------|----------|
| x_0 | ∞ | 210 | 272 | 261 | 281 | 178 | 267 | 145 | 174 | 255 | 233 | 184 |
| x_1 | 210 | ∞ | 33 | 61 | 81 | 28 | 74 | 59 | 52 | 115 | 81 | 35 |
| x_2 | 272 | 33 | ∞ | 34 | 58 | 60 | 46 | 99 | 64 | 91 | 64 | 61 |
| x_3 | 261 | 61 | 34 | ∞ | 25 | 80 | 45 | 109 | 103 | 91 | 108 | 78 |
| x_4 | 281 | 81 | 58 | 25 | ∞ | 100 | 44 | 130 | 124 | 91 | 101 | 98 |
| x_5 | 178 | 28 | 60 | 80 | 100 | ∞ | 100 | 31 | 72 | 142 | 107 | 3 |
| x_6 | 267 | 74 | 46 | 45 | 44 | 100 | ∞ | 133 | 100 | 16 | 59 | 101 |
| x_7 | 145 | 59 | 99 | 109 | 130 | 31 | 133 | ∞ | 88 | 174 | 140 | 32 |
| x_8 | 174 | 52 | 64 | 103 | 124 | 72 | 100 | 88 | ∞ | 108 | 87 | 74 |
| x_9 | 255 | 115 | 91 | 91 | 91 | 142 | 16 | 174 | 108 | ∞ | 26 | 141 |
| x_{10} | 233 | 81 | 64 | 108 | 101 | 107 | 59 | 140 | 87 | 26 | ∞ | 109 |
| x_{11} | 184 | 35 | 61 | 78 | 98 | 3 | 101 | 32 | 74 | 141 | 109 | ∞ |

$$0 \rightarrow 7$$

$$7 \rightarrow 5 \Rightarrow 0 \leftrightarrow 7 \leftrightarrow 5$$

$$5 \rightarrow 11 \Rightarrow 0 \leftrightarrow 7 \leftrightarrow 5 \leftrightarrow 11$$

$$11 \rightarrow 1 \Rightarrow 0 \leftrightarrow 7 \leftrightarrow 5 \leftrightarrow 11 \leftrightarrow 1$$

$$1 \rightarrow 2 \Rightarrow 0 \leftrightarrow 7 \leftrightarrow 5 \leftrightarrow 11 \leftrightarrow 1 \leftrightarrow 2$$

$$2 \rightarrow 3 \Rightarrow 0 \leftrightarrow 7 \leftrightarrow 5 \leftrightarrow 11 \leftrightarrow 1 \leftrightarrow 2 \leftrightarrow 3$$

$$3 \rightarrow 4 \Rightarrow 0 \leftrightarrow 7 \leftrightarrow 5 \leftrightarrow 11 \leftrightarrow 1 \leftrightarrow 2 \leftrightarrow 3 \leftrightarrow 4$$

$4 \rightarrow 6 \Rightarrow 0 \leftrightarrow 7 \leftrightarrow 5 \leftrightarrow 11 \leftrightarrow 1 \leftrightarrow 2 \leftrightarrow 3 \leftrightarrow 4 \leftrightarrow 6$

$6 \rightarrow 9 \Rightarrow 0 \leftrightarrow 7 \leftrightarrow 5 \leftrightarrow 11 \leftrightarrow 1 \leftrightarrow 2 \leftrightarrow 3 \leftrightarrow 4 \leftrightarrow 6 \leftrightarrow 9$

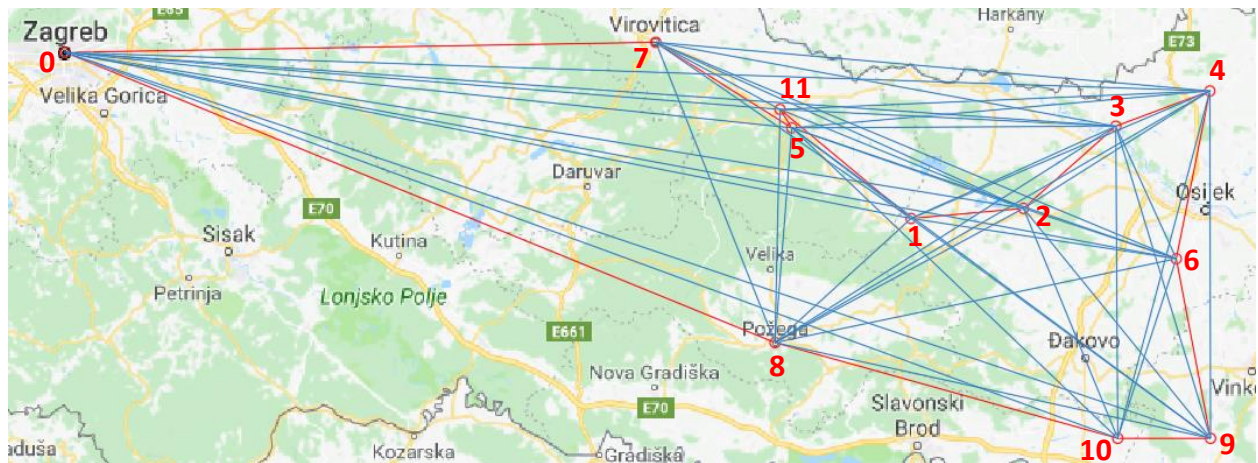
$9 \rightarrow 10 \Rightarrow 0 \leftrightarrow 7 \leftrightarrow 5 \leftrightarrow 11 \leftrightarrow 1 \leftrightarrow 2 \leftrightarrow 3 \leftrightarrow 4 \leftrightarrow 6 \leftrightarrow 9 \leftrightarrow 10$

$10 \rightarrow 8 \Rightarrow 0 \leftrightarrow 7 \leftrightarrow 5 \leftrightarrow 11 \leftrightarrow 1 \leftrightarrow 2 \leftrightarrow 3 \leftrightarrow 4 \leftrightarrow 6 \leftrightarrow 9 \leftrightarrow 10 \leftrightarrow 8$

$8 \rightarrow 0 \Rightarrow 0 \leftrightarrow 7 \leftrightarrow 5 \leftrightarrow 11 \leftrightarrow 1 \leftrightarrow 2 \leftrightarrow 3 \leftrightarrow 4 \leftrightarrow 6 \leftrightarrow 9 \leftrightarrow 10 \leftrightarrow 8 \leftrightarrow 0 = 683 \text{ km.}$

Christofides-ov algoritam

Rješenje *Christofides-ovog algoritma* prikazano je crvenim linijama, a nalazi se na slici 37. Rješenje je dobiveno jednakim načinom kao i ranije navedenim primjerima. Ruta glasi: $0 \leftrightarrow 7 \leftrightarrow 5 \leftrightarrow 11 \leftrightarrow 1 \leftrightarrow 2 \leftrightarrow 3 \leftrightarrow 4 \leftrightarrow 6 \leftrightarrow 9 \leftrightarrow 10 \leftrightarrow 8 \leftrightarrow 0 = 683 \text{ km.}$



Slika 37. Ruta HR-43761 kao rješenje Christofides-ovog algoritma

5.2.4. Ruta HR-43365

Ruta HR-43365 sadrži 11 lokacija koje je potrebno opskrbit, međutim vrijeme dostave nije jednako za sve lokacije, stoga će se ruta HR-43365 podijeliti na dva dijela, jedna ruta biti će za rok dostave 06.03.2017., dok će se u drugoj ruti opskrbljivati lokacije kojima je rok dostave 07.03.2017. U tablici 21. prikazana je ruta u kojoj se nalaze sve lokacije i podaci prije podjele. Lokacije u zajedničkoj ruti nije moguće opskrbiti u jednom danu, stoga je ruta podijeljena na dva dijela.

Tablica 21. Podaci za Rutu HR-43365

| Vrijeme dostave | Skladišni centar | Odredište | Količina pakiranja | Bruto masa (kg) | Šifra rute |
|------------------------|-------------------------|------------------|---------------------------|------------------------|-------------------|
| 6.3.2017 0:00 | Zagreb | Garešnica | 1 | 244 | HR-43365 |
| 6.3.2017 0:00 | Zagreb | Virovitica | 1 | 355 | HR-43365 |
| 7.3.2017 0:00 | Zagreb | Osijek | 2 | 1473 | HR-43365 |
| 6.3.2017 0:00 | Zagreb | Dežanovac | 1 | 216 | HR-43365 |
| 6.3.2017 0:00 | Zagreb | Grubišno Polje | 1 | 190 | HR-43365 |
| 7.3.2017 0:00 | Zagreb | Babina Greda | 1 | 482 | HR-43365 |
| 6.3.2017 0:00 | Zagreb | Veliki Zdenci | 1 | 77 | HR-43365 |
| 6.3.2017 0:00 | Zagreb | Dalj | 1 | 121 | HR-43365 |
| 6.3.2017 0:00 | Zagreb | Pakrac | 1 | 478 | HR-43365 |
| 7.3.2017 0:00 | Zagreb | Pleternica | 1 | 366 | HR-43365 |
| 6.3.2017 0:00 | Zagreb | Drenje | 1 | 216 | HR-43365 |
| 7.3.2017 0:00 | Zagreb | Dežanovac | 1 | 173 | HR-43365 |

Tablica 22. prikazuje podatke o prvoj ruti HR-43365, lokacije kojima je rok dostave 06.03.

Tablica 22. Podaci o ruti HR-43365 za rok dostave 06.03.

| Redni broj | Vrijeme dostave | Skladišni centar | Odredište | Količina pakiranja | Bruto masa (kg) | Šifra rute |
|-------------------|------------------------|-------------------------|------------------|---------------------------|------------------------|-------------------|
| 1. | 6.3.2017 0:00 | Zagreb | Garešnica | 1 | 244 | HR-43365 |
| 2. | 6.3.2017 0:00 | Zagreb | Virovitica | 1 | 355 | HR-43365 |
| 3. | 6.3.2017 0:00 | Zagreb | Dežanovac | 1 | 216 | HR-43365 |
| 4. | 6.3.2017 0:00 | Zagreb | Grubišno Polje | 1 | 190 | HR-43365 |
| 5. | 6.3.2017 0:00 | Zagreb | Veliki Zdenci | 1 | 77 | HR-43365 |
| 6. | 6.3.2017 0:00 | Zagreb | Dalj | 1 | 121 | HR-43365 |
| 7. | 6.3.2017 0:00 | Zagreb | Pakrac | 1 | 478 | HR-43365 |
| 8. | 6.3.2017 0:00 | Zagreb | Drenje | 1 | 216 | HR-43365 |

Matrični prikaz međusobnih udaljenosti lokacija kojima je rok dostave 06.03., a nalaze se u tablici 22.

| | x_0 | x_1 | x_2 | x_3 | x_4 | x_5 | x_6 | x_7 | x_8 |
|-------|----------|----------|----------|----------|----------|----------|----------|----------|----------|
| x_0 | ∞ | 101 | 145 | 116 | 123 | 112 | 300 | 135 | 249 |
| x_1 | 101 | ∞ | 51 | 17 | 30 | 17 | 198 | 35 | 151 |
| x_2 | 145 | 51 | ∞ | 50 | 27 | 34 | 149 | 69 | 102 |
| x_3 | 116 | 17 | 50 | ∞ | 29 | 20 | 187 | 23 | 135 |
| x_4 | 123 | 30 | 27 | 29 | ∞ | 8 | 176 | 43 | 129 |
| x_5 | 112 | 17 | 34 | 20 | 8 | ∞ | 181 | 39 | 134 |
| x_6 | 300 | 198 | 149 | 187 | 176 | 181 | ∞ | 193 | 78 |
| x_7 | 135 | 35 | 69 | 26 | 43 | 39 | 193 | ∞ | 119 |
| x_8 | 249 | 151 | 102 | 165 | 129 | 134 | 78 | 119 | ∞ |

Uštede izračunate prema formuli (4) i rangirane od najveće prema najmanjoj nalaze se u tablici 23. Tablica prikazuje uštede za prvu dio rute koja je podijeljena na dva dijela, prvi dio se odnosi na one lokacije kojima je rok dostave 06.03.

Tablica 23. Uštede za rutu HR-43365 rangirane prema veličini (rok dostave 06.03)

| Grana (i,j) | Ušteda $s(i,j)$ | Grana (i,j) | Ušteda $s(i,j)$ | Grana (i,j) | Ušteda $s(i,j)$ |
|--------------------|--------------------|--------------------|--------------------|--------------------|--------------------|
| (6,8) | 471 | (3,6) | 229 | (5,7) | 208 |
| (2,6) | 296 | (3,7) | 228 | (1,6) | 203 |
| (2,8) | 292 | (4,5) | 227 | (1,7) | 201 |
| (7,8) | 265 | (5,8) | 227 | (1,3) | 200 |
| (4,6) | 247 | (2,5) | 223 | (1,8) | 199 |
| (4,8) | 243 | (4,7) | 215 | (1,5) | 196 |
| (6,7) | 242 | (2,3) | 211 | (1,2) | 195 |
| (2,4) | 241 | (2,7) | 211 | (1,4) | 194 |
| (5,6) | 231 | (3,4) | 210 | | |
| (3,8) | 230 | (3,5) | 208 | | |

Clark-Wright-ov algoritam

Rješenje *Clark-Wright-ovog algoritma* prikazano je u nastavku ovisno o uštedama iz tablice 23.

(6,8) $\Rightarrow 0 \leftrightarrow 6 \leftrightarrow 8 \leftrightarrow 0$

(2,6) $\Rightarrow 0 \leftrightarrow 2 \leftrightarrow 6 \leftrightarrow 8 \leftrightarrow 0$

(7,8) $\Rightarrow 0 \leftrightarrow 2 \leftrightarrow 6 \leftrightarrow 8 \leftrightarrow 7 \leftrightarrow 0$

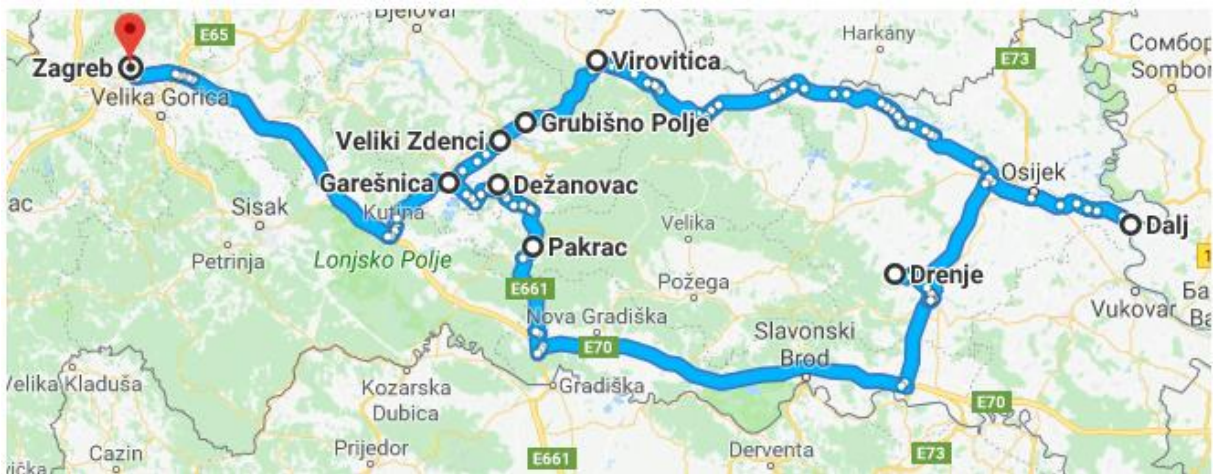
(2,4) $\Rightarrow 0 \leftrightarrow 4 \leftrightarrow 2 \leftrightarrow 6 \leftrightarrow 8 \leftrightarrow 7 \leftrightarrow 0$

(3,7) $\Rightarrow 0 \leftrightarrow 4 \leftrightarrow 2 \leftrightarrow 6 \leftrightarrow 8 \leftrightarrow 7 \leftrightarrow 3 \leftrightarrow 0$

(4,5) $\Rightarrow 0 \leftrightarrow 5 \leftrightarrow 4 \leftrightarrow 2 \leftrightarrow 6 \leftrightarrow 8 \leftrightarrow 7 \leftrightarrow 3 \leftrightarrow 0$

(1,3) $\Rightarrow 0 \leftrightarrow 5 \leftrightarrow 4 \leftrightarrow 2 \leftrightarrow 6 \leftrightarrow 8 \leftrightarrow 7 \leftrightarrow 3 \leftrightarrow 1 \leftrightarrow 0 = 634 \text{ km.}$

Slika (38) prikazuje grafičko rješenje *Clark-Wright-ovog algoritma*.



Slika 38. Ruta HR-43365 kao rješenje CW-ovog algoritma (rok dostave 06.03.)

Metoda s indikatorom T

Rješenje je dobiveno na jednak način kao i u prethodnim primjerima, pronalaskom maksimalne uštede između dva čvora zadovoljenjem određenih ograničenja. Kao i u prethodnim primjerima, uštede su dobivene korištenjem formule (4). U nastavku je prikazana početna polu-matrica ušteta te konačna polu-matrica s rješenjima.

| | x_1 | x_2 | x_3 | x_4 | x_5 | x_6 | x_7 | x_8 |
|-------|----------|----------|----------|----------|----------|----------|----------|----------|
| x_0 | 2 |
| x_1 | 195 | 200 | 194 | 196 | 203 | 201 | 199 | |
| x_2 | | 211 | 241 | 223 | 296 | 211 | 292 | |
| x_3 | | | 210 | 208 | 229 | 228 | 230 | |
| x_4 | | | | 227 | 247 | 215 | 243 | |
| x_5 | | | | | 231 | 208 | 227 | |
| x_6 | | | | | | 242 | 471 | |
| x_7 | | | | | | | 265 | |

| | x_1 | x_2 | x_3 | x_4 | x_5 | x_6 | x_7 | x_8 |
|-------|-------|-------|-------|-------|-------|-------|-------|-------|
| x_0 | 0 | 0 | 0 | 0 | 0 | 0 | 1 | 1 |
| x_1 | 195 | 200 | 194 | 196 | 203 | 201 | 199 | |
| x_2 | | 211 | 241 | 223 | 296 | 211 | 292 | |
| x_3 | | | 210 | 208 | 229 | 228 | 230 | |
| x_4 | | | | 227 | 247 | 215 | 243 | |
| x_5 | | | | | 231 | 208 | 227 | |
| x_6 | | | | | | 242 | 471 | |
| x_7 | | | | | | | 265 | |

$$6 \rightarrow 8$$

$$2 \rightarrow 6 \Rightarrow 2 \leftrightarrow 6 \leftrightarrow 8$$

$$7 \rightarrow 8 \Rightarrow 2 \leftrightarrow 6 \leftrightarrow 8 \leftrightarrow 7$$

$$2 \rightarrow 4 \Rightarrow 4 \leftrightarrow 2 \leftrightarrow 6 \leftrightarrow 8 \leftrightarrow 7$$

$$3 \rightarrow 7 \Rightarrow 4 \leftrightarrow 2 \leftrightarrow 6 \leftrightarrow 8 \leftrightarrow 7 \leftrightarrow 3$$

$$4 \rightarrow 5 \Rightarrow 5 \leftrightarrow 4 \leftrightarrow 2 \leftrightarrow 6 \leftrightarrow 8 \leftrightarrow 7 \leftrightarrow 3$$

$$1 \rightarrow 3 \Rightarrow 5 \leftrightarrow 4 \leftrightarrow 2 \leftrightarrow 6 \leftrightarrow 8 \leftrightarrow 7 \leftrightarrow 3 \leftrightarrow 1$$

$$0 \leftrightarrow 5 \leftrightarrow 4 \leftrightarrow 2 \leftrightarrow 6 \leftrightarrow 8 \leftrightarrow 7 \leftrightarrow 3 \leftrightarrow 1 \leftrightarrow 0 = 634 \text{ km.}$$

Metoda grananja i ograničavanja

Poglavlje 4.3. sadrži detaljan opis izračuna najkraćeg puta za *metodu grananja i ograničavanja*. U nastavku je prikazana početna matrica međusobne udaljenosti te završna matrica s posljednje dvije dobivene relacije. Zatim slijedi redoslijed relacija dobivenih izračunom kazni ranije navedenim postupkom.

| | x_0 | x_1 | x_2 | x_3 | x_4 | x_5 | x_6 | x_7 | x_8 |
|-------|----------|----------|----------|----------|----------|----------|----------|----------|----------|
| x_0 | ∞ | 101 | 145 | 116 | 123 | 112 | 300 | 135 | 249 |
| x_1 | 101 | ∞ | 51 | 17 | 30 | 17 | 198 | 35 | 151 |
| x_2 | 145 | 51 | ∞ | 50 | 27 | 34 | 149 | 69 | 102 |
| x_3 | 116 | 17 | 50 | ∞ | 29 | 20 | 187 | 23 | 135 |
| x_4 | 123 | 30 | 27 | 29 | ∞ | 8 | 176 | 43 | 129 |
| x_5 | 112 | 17 | 34 | 20 | 8 | ∞ | 181 | 39 | 134 |
| x_6 | 300 | 198 | 149 | 187 | 176 | 181 | ∞ | 193 | 78 |
| x_7 | 135 | 35 | 69 | 26 | 43 | 39 | 193 | ∞ | 119 |
| x_8 | 249 | 151 | 102 | 165 | 129 | 134 | 78 | 119 | ∞ |

| | x_1 | x_5 |
|-------|-----------|-----------|
| x_0 | ∞ | $0^{(3)}$ |
| x_3 | $0^{(3)}$ | 3 |

$$6 \rightarrow 8$$

$$2 \rightarrow 6 \Rightarrow 2 \leftrightarrow 6 \leftrightarrow 8$$

$$5 \rightarrow 4$$

$$4 \rightarrow 2 \Rightarrow 5 \leftrightarrow 4 \leftrightarrow 2 \leftrightarrow 6 \leftrightarrow 8$$

$$8 \rightarrow 7 \Rightarrow 5 \leftrightarrow 4 \leftrightarrow 2 \leftrightarrow 6 \leftrightarrow 8 \leftrightarrow 7$$

$$1 \rightarrow 0$$

$$7 \rightarrow 3 \Rightarrow 5 \leftrightarrow 4 \leftrightarrow 2 \leftrightarrow 6 \leftrightarrow 8 \leftrightarrow 7 \leftrightarrow 3$$

$$0 \rightarrow 5 \Rightarrow 0 \leftrightarrow 5 \leftrightarrow 4 \leftrightarrow 2 \leftrightarrow 6 \leftrightarrow 8 \leftrightarrow 7 \leftrightarrow 3$$

$$3 \rightarrow 1 \Rightarrow 0 \leftrightarrow 5 \leftrightarrow 4 \leftrightarrow 2 \leftrightarrow 6 \leftrightarrow 8 \leftrightarrow 7 \leftrightarrow 3 \leftrightarrow 1 \leftrightarrow 0 = 634 \text{ km.}$$

Metoda najbližeg susjeda

Rješenje metode najbližeg susjeda dobije se dodavanjem relacija u djelomičnu rutu uz zadovoljenje uvjeta minimalne udaljenosti. Na jednak način kao u prethodnim primjerima.

| | x_0 | x_1 | x_2 | x_3 | x_4 | x_5 | x_6 | x_7 | x_8 |
|-------|----------|----------|----------|----------|----------|----------|----------|----------|----------|
| x_0 | ∞ | 101 | 145 | 116 | 123 | 112 | 300 | 135 | 249 |
| x_1 | 101 | ∞ | 51 | 17 | 30 | 17 | 198 | 35 | 151 |
| x_2 | 145 | 51 | ∞ | 50 | 27 | 34 | 149 | 69 | 102 |
| x_3 | 116 | 17 | 50 | ∞ | 29 | 20 | 187 | 23 | 135 |
| x_4 | 123 | 30 | 27 | 29 | ∞ | 8 | 176 | 43 | 129 |
| x_5 | 112 | 17 | 34 | 20 | 8 | ∞ | 181 | 39 | 134 |
| x_6 | 300 | 198 | 149 | 187 | 176 | 181 | ∞ | 193 | 78 |
| x_7 | 135 | 35 | 69 | 26 | 43 | 39 | 193 | ∞ | 119 |
| x_8 | 249 | 151 | 102 | 165 | 129 | 134 | 78 | 119 | ∞ |

$$0 \rightarrow 1$$

$$1 \rightarrow 5 \Rightarrow 0 \leftrightarrow 1 \leftrightarrow 5$$

$$5 \rightarrow 4 \Rightarrow 0 \leftrightarrow 1 \leftrightarrow 5 \leftrightarrow 4$$

$$4 \rightarrow 2 \Rightarrow 0 \leftrightarrow 1 \leftrightarrow 5 \leftrightarrow 4 \leftrightarrow 2$$

$$2 \rightarrow 3 \Rightarrow 0 \leftrightarrow 1 \leftrightarrow 5 \leftrightarrow 4 \leftrightarrow 2 \leftrightarrow 3$$

$$3 \rightarrow 7 \Rightarrow 0 \leftrightarrow 1 \leftrightarrow 5 \leftrightarrow 4 \leftrightarrow 2 \leftrightarrow 3 \leftrightarrow 7$$

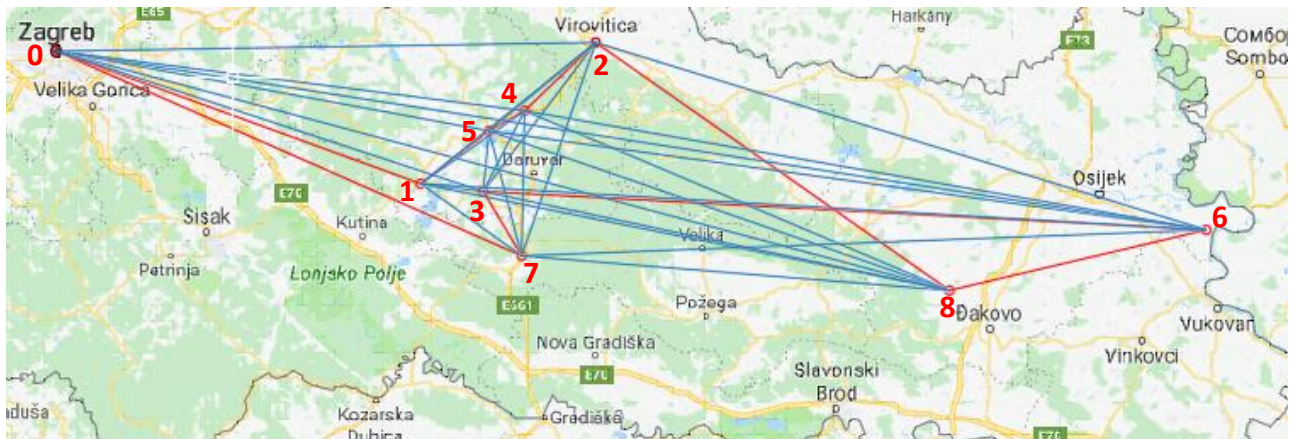
$$7 \rightarrow 8 \Rightarrow 0 \leftrightarrow 1 \leftrightarrow 5 \leftrightarrow 4 \leftrightarrow 2 \leftrightarrow 3 \leftrightarrow 7 \leftrightarrow 8$$

$8 \rightarrow 6 \Rightarrow 0 \leftrightarrow 1 \leftrightarrow 5 \leftrightarrow 4 \leftrightarrow 2 \leftrightarrow 3 \leftrightarrow 7 \leftrightarrow 8 \leftrightarrow 6$

$6 \rightarrow 0 \Rightarrow 0 \leftrightarrow 1 \leftrightarrow 5 \leftrightarrow 4 \leftrightarrow 2 \leftrightarrow 3 \leftrightarrow 7 \leftrightarrow 8 \leftrightarrow 6 \leftrightarrow 0 = 723 \text{ km.}$

Christofides-ov algoritam

Na slici 39. nalazi se rješenje najkraćeg puta prema metodi *Christofides-ovog algoritma*. Plave linije označuju međusobne udaljenosti među vrhovima, dok crvene označuju konačno rješenje, odnosno kompletiranu rutu *Christofides-ovog algoritma* prema postupku opisanom kod izračuna prve rute. Rješenje: $0 \leftrightarrow 1 \leftrightarrow 5 \leftrightarrow 4 \leftrightarrow 2 \leftrightarrow 8 \leftrightarrow 6 \leftrightarrow 3 \leftrightarrow 7 \leftrightarrow 0 = 678 \text{ km.}$



Slika 39. Ruta HR-43365 kao rješenje Christofides-ovog algoritma (rok dostave 06.03.)

Tablica 24. prikazuje općenite podatke za drugi dio rute HR-43365, novu rutu s lokacijama, kojima je rok dostave 07.03.

Tablica 24. Podaci o ruti HR-43365 za rok dostave 07.03.

| Redni broj | Vrijeme dostave | Skladišni centar | Odredište | Količina pakiranja | Bruto masa (kg) | Šifra rute |
|------------|-----------------|------------------|--------------|--------------------|-----------------|------------|
| 1. | 7.3.2017 0:00 | Zagreb | Osijek | 2 | 1473 | HR-43365 |
| 2. | 7.3.2017 0:00 | Zagreb | Babina Greda | 1 | 482 | HR-43365 |
| 3. | 7.3.2017 0:00 | Zagreb | Pleternica | 1 | 366 | HR-43365 |
| 4. | 7.3.2017 0:00 | Zagreb | Dežanovac | 1 | 173 | HR-43365 |

Tablica 24. prikazuje četiri lokacije koje su izdvojene iz rute HR-43365 jer rok dostave za navedene lokacije je 07.03. Međusobna udaljenost tih lokacija prikazana je u matričnom

prikazu udaljenosti u nastavku, koji će se koristiti pri izračunu ušteta. Obzirom da se distribucija odvija na području Slavonije, udaljenost od početne točke (skladišta u Zagrebu) do lokacija u Slavoniji je velika, stoga će i duljina rute biti znatno veća. Potrebno je opskrbiti četiri lokacije s ukupnim iznosom količine tereta pet paleta mase približno 2500 kg, što najčešće nije isplativo za taj broj lokacije, odnosno količinu tereta.

| | x_0 | x_1 | x_2 | x_3 | x_4 |
|-------|----------|----------|----------|----------|----------|
| x_0 | ∞ | 283 | 238 | 183 | 116 |
| x_1 | 283 | ∞ | 67 | 101 | 161 |
| x_2 | 238 | 67 | ∞ | 80 | 168 |
| x_3 | 183 | 101 | 80 | ∞ | 84 |
| x_4 | 116 | 161 | 168 | 84 | ∞ |

U nastavku se nalaze rješenja za najkraći put po metodama za drugi dio podijeljene rute. Tablica 25. prikazuje uštete dobivene prema formuli (4) te sortirane od najveće prema najmanjoj radi izračuna *Clark-Wright-ovog algoritma* i *metode s indikatorom T*.

Tablica 25. Uštete za rutu HR-43365 rangirane prema veličini (rok dostave 07.03.)

| Grana (i,j) | Ušteta $s(i,j)$ | Grana (i,j) | Ušteta $s(i,j)$ |
|--------------------|--------------------|--------------------|--------------------|
| (1,2) | 454 | (1,4) | 238 |
| (1,3) | 365 | (3,4) | 215 |
| (2,3) | 341 | (2,4) | 186 |

Clark-Wright-ov algoritam

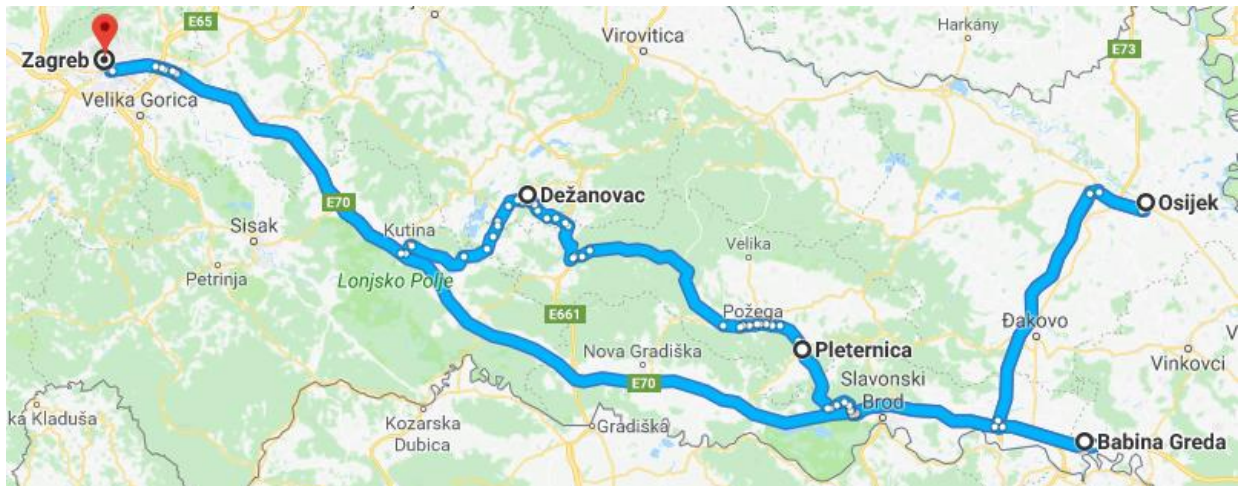
Rješenje po koracima *Clark-Wright-ovog algoritma ušteta* za četiri čvora koja pripadaju drugom dijelu rute HR-43365:

$$(1,2) \Rightarrow 0 \leftrightarrow 1 \leftrightarrow 2 \leftrightarrow 0$$

$$(1,3) \Rightarrow 0 \leftrightarrow 3 \leftrightarrow 1 \leftrightarrow 2 \leftrightarrow 0$$

$$(3,4) \Rightarrow 0 \leftrightarrow 4 \leftrightarrow 3 \leftrightarrow 1 \leftrightarrow 2 \leftrightarrow 0 = 606 \text{ km.}$$

Prikaz dobivene rute prema *Clark-Wright-ovom algoritmu* nalazi se na slici 40.



Slika 40. Ruta HR-43365 kao rješenje CW-ovog algoritma (rok dostave 07.03)

Metoda s indikatorom T

Na jednak način kao u prijašnjim primjerima, izračunava se najkraći put za *metodu s indikatorom T*. U polu-matrici ušteda, odabire se maksimalna ušteda koja se nalazi između dva vrha. Odabrana ušteda označava početnu relaciju između ta dva vrha. Prema istom principu odabire se sljedeća najveća ušteda uz zadovoljenje uvjeta ograničenja: indikator T mora biti veći od nule i ne smije nastati pod-ruta. Uštede su izračunate pomoću formule (4).

| | | | | |
|-------|-------|-------|-------|-------|
| | x_1 | x_2 | x_3 | x_4 |
| x_0 | 2 | 2 | 2 | 2 |
| | x_1 | 454 | 365 | 238 |
| | | x_2 | 341 | 186 |
| | | | x_3 | 215 |

Završna polu-matrica s konačnim rješenjem *metode s indikatorom T*, uz prikaz redosljeda dobivanja pojedinih relacija i nastanak kompletne rute:

| | | | | |
|-------|-------|----------|----------|----------|
| | x_1 | x_2 | x_3 | x_4 |
| x_0 | 0 | 1 | 0 | 1 |
| | x_1 | 1 454 | 1 365 | 238 |
| | | x_2 | 341 | 186 |
| | | | x_3 | 1 215 |

$1 \rightarrow 2$

$1 \rightarrow 3 \Rightarrow 3 \leftrightarrow 1 \leftrightarrow 2$

$3 \rightarrow 4 \Rightarrow 4 \leftrightarrow 3 \leftrightarrow 1 \leftrightarrow 2$

$0 \leftrightarrow 4 \leftrightarrow 3 \leftrightarrow 1 \leftrightarrow 2 \leftrightarrow 0 = 606 \text{ km.}$

Metoda grananja i ograničavanja

U nastavku je prikazana početna i završna matrica u izračunu *metode grananja i ograničavanja*. Izračunom kazni dobiju se pojedinačne relacije u ruti te spajanjem istih kompletira se ruta, odnosno najkraći put prema pravilima *metode grananja i ograničavanja*.

| | x_0 | x_1 | x_2 | x_3 | x_4 |
|-------|----------|----------|----------|----------|----------|
| x_0 | ∞ | 283 | 238 | 183 | 116 |
| x_1 | 283 | ∞ | 67 | 101 | 161 |
| x_2 | 238 | 67 | ∞ | 80 | 168 |
| x_3 | 183 | 101 | 80 | ∞ | 84 |
| x_4 | 116 | 161 | 168 | 84 | ∞ |

| | x_0 | x_1 |
|-------|------------------|------------------|
| x_2 | 0 ⁽⁰⁾ | ∞ |
| x_3 | 0 ⁽⁰⁾ | 0 ⁽⁰⁾ |

$0 \rightarrow 4$

$4 \rightarrow 3 \Rightarrow 0 \leftrightarrow 4 \leftrightarrow 3$

$1 \rightarrow 2$

$2 \rightarrow 0 \Rightarrow 1 \leftrightarrow 2 \leftrightarrow 0$

$3 \rightarrow 1 \Rightarrow 0 \leftrightarrow 4 \leftrightarrow 3 \leftrightarrow 1 \leftrightarrow 2 \leftrightarrow 0 = 606 \text{ km.}$

Metoda najbližeg susjeda

Prema pravilima izračuna *metode najbližeg susjeda*, najmanja udaljenost nalazi se između čvora x_0 te čvora x_4 , što predstavlja početnu relaciju. Jednakim načinom odabire se sljedeća relacija koja se nastavlja od čvora x_4 prema čvoru x_3 , itd. U nastavku su prikazane odabrane relacije prema matrici udaljenosti.

| | x_0 | x_1 | x_2 | x_3 | x_4 |
|-------|----------|----------|----------|----------|----------|
| x_0 | ∞ | 283 | 238 | 183 | 116 |
| x_1 | 283 | ∞ | 67 | 101 | 161 |
| x_2 | 238 | 67 | ∞ | 80 | 168 |
| x_3 | 183 | 101 | 80 | ∞ | 84 |
| x_4 | 116 | 161 | 168 | 84 | ∞ |

$0 \rightarrow 4$

$4 \rightarrow 3 \Rightarrow 0 \leftrightarrow 4 \leftrightarrow 3$

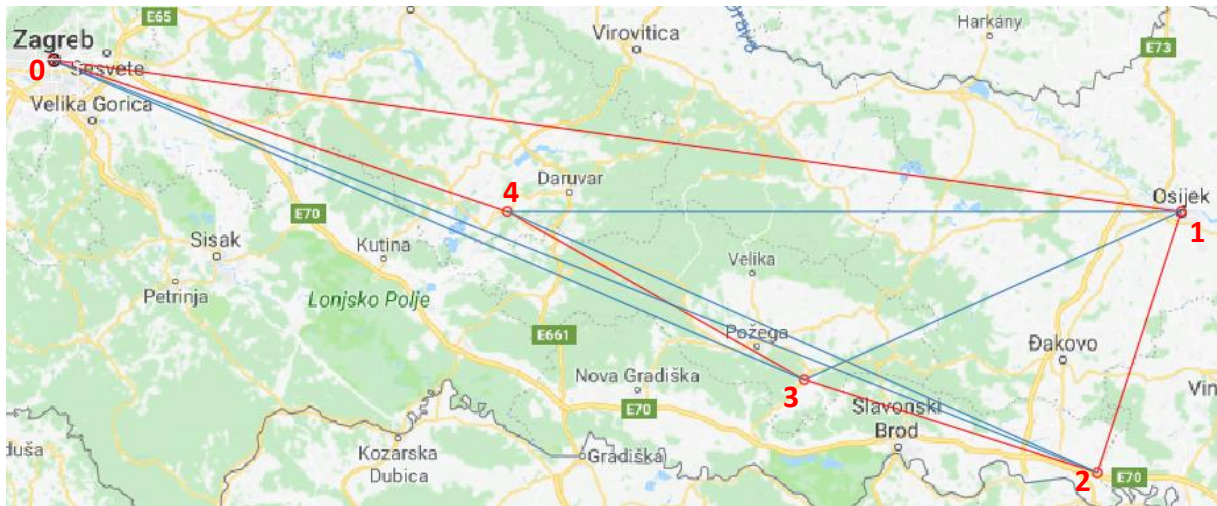
$3 \rightarrow 2 \Rightarrow 0 \leftrightarrow 4 \leftrightarrow 3 \leftrightarrow 2$

$2 \rightarrow 1 \Rightarrow 0 \leftrightarrow 4 \leftrightarrow 3 \leftrightarrow 2 \leftrightarrow 1$

$1 \rightarrow 0 \Rightarrow 0 \leftrightarrow 4 \leftrightarrow 3 \leftrightarrow 2 \leftrightarrow 1 \leftrightarrow 0 = 630 \text{ km.}$

Christofides-ov algoritam

Prema postupku kao u prethodnim primjerima te detaljno objašnjenom principu kod izračuna prve metode, dobiveno je rješenje za najkraći put prema *Christofides-ovom algoritmu*, a rješenje je prikazano na slici 41. Dobivena ruta glasi: $0 \leftrightarrow 4 \leftrightarrow 3 \leftrightarrow 2 \leftrightarrow 1 \leftrightarrow 0 = 630 \text{ km.}$



Slika 41. Ruta HR-43365 kao rješenje Christofides-ovog algoritma (rok dostave 07.03.)

5.1.5. Ruta HR-43443

Vrijeme dostave, odredište, količina i masa tereta prikazani su u tablici 26., a odnose se na rutu HR-43443. U općini Čepin nalaze se dvije lokacije koje je potrebno opskrbit, u tablici će biti prikazane kao Čepin 1 i Čepin 2.

Tablica 26. Podaci o ruti HR-43443

| Redni broj | Vrijeme dostave | Skladišni centar | Odredište | Količina pakiranja | Bruto masa (kg) | Šifra rute |
|------------|-----------------|------------------|-------------------|--------------------|-----------------|------------|
| 1. | 7.3.2017 0:00 | Zagreb | Davor | 1 | 113 | HR-43443 |
| 2. | 7.3.2017 0:00 | Zagreb | Garešnica | 1 | 307 | HR-43443 |
| 3. | 7.3.2017 0:00 | Zagreb | Donji Miholjac | 1 | 122 | HR-43443 |
| 4. | 7.3.2017 0:00 | Zagreb | Vinkovci | 1 | 317 | HR-43443 |
| 5. | 7.3.2017 0:00 | Zagreb | Podravska Slatina | 1 | 284 | HR-43443 |
| 6. | 7.3.2017 0:00 | Zagreb | Ivankovo | 1 | 47 | HR-43443 |
| 7. | 7.3.2017 0:00 | Zagreb | Sotin | 1 | 94 | HR-43443 |
| 8. | 7.3.2017 0:00 | Zagreb | Pleternica | 1 | 366 | HR-43443 |
| 9. | 7.3.2017 0:00 | Zagreb | Đakovo | 1 | 81 | HR-43443 |
| 10. | 7.3.2017 0:00 | Zagreb | Čepin 1 | 1 | 540 | HR-43443 |
| 11. | 7.3.2017 0:00 | Zagreb | Čepin 2 | 1 | 149 | HR-43443 |

U nastavku je prikazan matrični prikaz međusobnih udaljenosti za lokacije iz tablice 26.

| | x_0 | x_1 | x_2 | x_3 | x_4 | x_5 | x_6 | x_7 | x_8 | x_9 | x_{10} | x_{11} |
|----------|----------|----------|----------|----------|----------|----------|----------|----------|----------|----------|----------|----------|
| x_0 | ∞ | 167 | 259 | 102 | 224 | 272 | 178 | 303 | 183 | 242 | 267 | 266 |
| x_1 | 167 | ∞ | 125 | 100 | 116 | 136 | 107 | 169 | 43 | 101 | 124 | 123 |
| x_2 | 259 | 125 | ∞ | 191 | 90 | 11 | 109 | 43 | 89 | 29 | 39 | 40 |
| x_3 | 102 | 100 | 191 | ∞ | 122 | 205 | 79 | 237 | 96 | 174 | 200 | 199 |
| x_4 | 224 | 116 | 90 | 122 | ∞ | 92 | 43 | 97 | 74 | 66 | 55 | 56 |
| x_5 | 272 | 136 | 11 | 205 | 92 | ∞ | 129 | 30 | 102 | 42 | 42 | 43 |
| x_6 | 178 | 107 | 109 | 79 | 43 | 129 | ∞ | 137 | 65 | 81 | 87 | 86 |
| x_7 | 303 | 169 | 43 | 237 | 97 | 30 | 137 | ∞ | 133 | 67 | 57 | 58 |
| x_8 | 183 | 43 | 89 | 96 | 74 | 102 | 65 | 133 | ∞ | 60 | 83 | 82 |
| x_9 | 242 | 101 | 29 | 174 | 66 | 42 | 81 | 67 | 60 | ∞ | 29 | 34 |
| x_{10} | 267 | 124 | 39 | 200 | 55 | 42 | 87 | 57 | 83 | 29 | ∞ | 1 |
| x_{11} | 266 | 123 | 40 | 199 | 56 | 43 | 86 | 58 | 82 | 34 | 1 | ∞ |

U tablici 27. nalaze se uštede dobivene formulom (4) iz matrice udaljenosti za rutu HR-43443.

Tablica 27. Uštede za rutu HR-43443 rangirane prema veličini

| Grana (i,j) | Ušteda $s(i,j)$ |
|--------------------|--------------------|--------------------|--------------------|--------------------|--------------------|--------------------|--------------------|
| (5,7) | 545 | (5,9) | 472 | (7,8) | 353 | (6,8) | 296 |
| (10,11) | 532 | (4,10) | 436 | (2,8) | 353 | (1,4) | 275 |
| (2,5) | 520 | (4,11) | 434 | (6,7) | 344 | (1,6) | 238 |
| (2,7) | 519 | (4,7) | 430 | (6,9) | 339 | (3,4) | 204 |
| (7,10) | 513 | (4,5) | 404 | (4,8) | 333 | (3,6) | 201 |
| (7,11) | 511 | (4,9) | 400 | (2,6) | 328 | (3,8) | 189 |
| (5,10) | 497 | (2,4) | 393 | (5,6) | 321 | (2,3) | 170 |
| (5,11) | 495 | (8,10) | 367 | (1,10) | 310 | (3,9) | 170 |
| (2,10) | 487 | (8,11) | 367 | (1,11) | 310 | (1,3) | 169 |
| (2,11) | 485 | (8,9) | 365 | (1,9) | 308 | (3,10) | 169 |
| (9,10) | 480 | (4,6) | 359 | (1,8) | 307 | (3,11) | 169 |
| (7,9) | 478 | (6,10) | 358 | (1,5) | 303 | (3,5) | 169 |
| (2,9) | 474 | (6,11) | 358 | (1,2) | 301 | (3,7) | 168 |
| (9,11) | 474 | (5,8) | 353 | (1,7) | 301 | | |

Clark-Wright-ov algoritam

(5,7) $\Rightarrow 0 \leftrightarrow 5 \leftrightarrow 7 \leftrightarrow 0$

(10,11) $\Rightarrow 0 \leftrightarrow 10 \leftrightarrow 11 \leftrightarrow 0$

(2,5) $\Rightarrow 0 \leftrightarrow 2 \leftrightarrow 5 \leftrightarrow 7 \leftrightarrow 0$

(7,10) $\Rightarrow 0 \leftrightarrow 2 \leftrightarrow 5 \leftrightarrow 7 \leftrightarrow 10 \leftrightarrow 11 \leftrightarrow 0$

(2,9) $\Rightarrow 0 \leftrightarrow 9 \leftrightarrow 2 \leftrightarrow 5 \leftrightarrow 7 \leftrightarrow 10 \leftrightarrow 11 \leftrightarrow 0$

(4,11) $\Rightarrow 0 \leftrightarrow 9 \leftrightarrow 2 \leftrightarrow 5 \leftrightarrow 7 \leftrightarrow 10 \leftrightarrow 11 \leftrightarrow 4 \leftrightarrow 0$

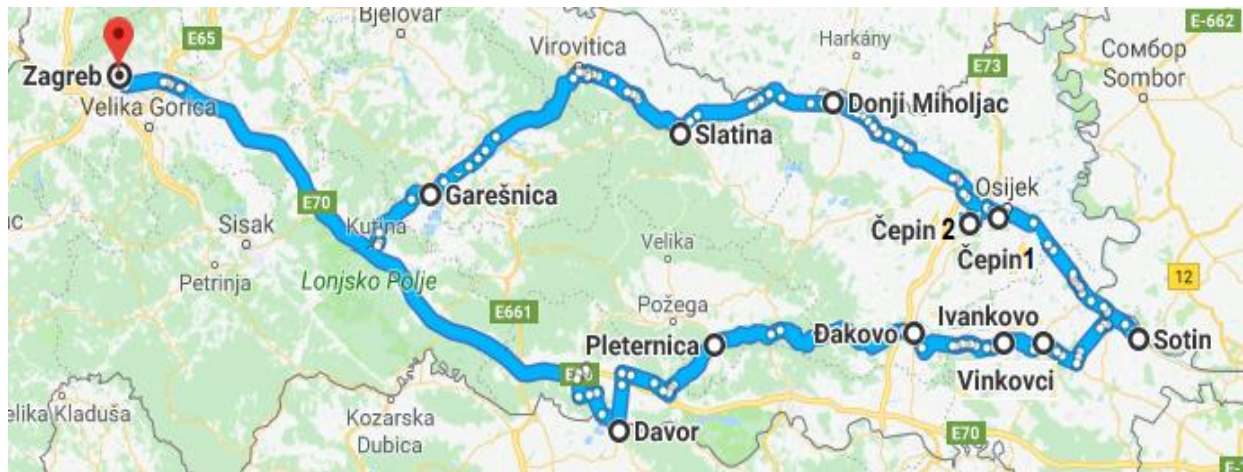
(8,9) $\Rightarrow 0 \leftrightarrow 8 \leftrightarrow 9 \leftrightarrow 2 \leftrightarrow 5 \leftrightarrow 7 \leftrightarrow 10 \leftrightarrow 11 \leftrightarrow 4 \leftrightarrow 0$

(4,6) $\Rightarrow 0 \leftrightarrow 8 \leftrightarrow 9 \leftrightarrow 2 \leftrightarrow 5 \leftrightarrow 7 \leftrightarrow 10 \leftrightarrow 11 \leftrightarrow 4 \leftrightarrow 6 \leftrightarrow 0$

(1,8) $\Rightarrow 0 \leftrightarrow 1 \leftrightarrow 8 \leftrightarrow 9 \leftrightarrow 2 \leftrightarrow 5 \leftrightarrow 7 \leftrightarrow 10 \leftrightarrow 11 \leftrightarrow 4 \leftrightarrow 6 \leftrightarrow 0$

(3,6) $\Rightarrow 0 \leftrightarrow 1 \leftrightarrow 8 \leftrightarrow 9 \leftrightarrow 2 \leftrightarrow 5 \leftrightarrow 7 \leftrightarrow 10 \leftrightarrow 11 \leftrightarrow 4 \leftrightarrow 6 \leftrightarrow 3 \leftrightarrow 0 = 678 \text{ km.}$

Grafički prikaz rješenja *Clark-Wright-ovog algoritma* prikazan je na slici 42.



Slika 42. Ruta HR-43443 kao rješenje CW-ovog algoritma

Metoda s indikatorom T

Na jednak način kao u prijašnjim primjerima, dobiveno je rješenje najkraćeg puta prema metodi s indikatorom T . U nastavku su prikazane početna polu-matrica ušteta i završna polu-matrica koja ujedno prikazuje i konačno rješenje. Nakon završne polu-matrice ušteta, nalazi se prikaz rješenja prema koracima dobivanja pojedinačnih relacija i konačan izgled rute, odnosno najkraćeg puta za rutu HR-43443. Uštete unutar polu-matrice dobivene su korištenjem formule (4).

| | x_1 | x_2 | x_3 | x_4 | x_5 | x_6 | x_7 | x_8 | x_9 | x_{10} | x_{11} |
|----------|----------|----------|----------|----------|----------|----------|----------|----------|----------|----------|----------|
| x_0 | 2 |
| x_1 | | 301 | 169 | 275 | 303 | 238 | 301 | 307 | 308 | 310 | 310 |
| x_2 | | | 170 | 393 | 520 | 328 | 519 | 353 | 474 | 487 | 485 |
| x_3 | | | | 204 | 169 | 201 | 168 | 189 | 170 | 169 | 169 |
| x_4 | | | | | 404 | 359 | 430 | 333 | 400 | 436 | 434 |
| x_5 | | | | | | 321 | 545 | 353 | 472 | 497 | 495 |
| x_6 | | | | | | | 344 | 296 | 339 | 358 | 358 |
| x_7 | | | | | | | | 353 | 478 | 513 | 511 |
| x_8 | | | | | | | | | 365 | 367 | 367 |
| x_9 | | | | | | | | | | 480 | 474 |
| x_{10} | | | | | | | | | | | 532 |

| | x_1 | x_2 | x_3 | x_4 | x_5 | x_6 | x_7 | x_8 | x_9 | x_{10} | x_{11} |
|----------|-------|-------|-------|----------|----------|----------|----------|----------|----------|----------|----------|
| x_0 | ① | ① | ① | ① | ① | ① | ① | ① | ① | ① | ① |
| x_1 | 301 | 169 | 275 | 303 | 238 | 301 | ① 307 | 308 | 310 | 310 | |
| x_2 | | 170 | 393 | ① 520 | 328 | 519 | 353 | ① 474 | 487 | 485 | |
| x_3 | | | 204 | 169 | ① 201 | 168 | 189 | 170 | 169 | 169 | |
| x_4 | | | | 404 | ① 359 | 430 | 333 | 400 | 436 | ① 434 | |
| x_5 | | | | | 321 | ① 545 | 353 | 472 | 497 | 495 | |
| x_6 | | | | | | 344 | 296 | 339 | 358 | 358 | |
| x_7 | | | | | | | 353 | 478 | ① 513 | 511 | |
| x_8 | | | | | | | | ① 365 | 367 | 367 | |
| x_9 | | | | | | | | | 480 | 474 | |
| x_{10} | | | | | | | | | | ① 532 | |

$5 \rightarrow 7$

$10 \rightarrow 11$

$2 \rightarrow 5 \Rightarrow 2 \leftrightarrow 5 \leftrightarrow 7$

$7 \rightarrow 10 \Rightarrow 2 \leftrightarrow 5 \leftrightarrow 7 \leftrightarrow 10 \leftrightarrow 11$

$2 \rightarrow 9 \Rightarrow 9 \leftrightarrow 2 \leftrightarrow 5 \leftrightarrow 7 \leftrightarrow 10 \leftrightarrow 11$

$4 \rightarrow 11 \Rightarrow 9 \leftrightarrow 2 \leftrightarrow 5 \leftrightarrow 7 \leftrightarrow 10 \leftrightarrow 11 \leftrightarrow 4$

$8 \rightarrow 9 \Rightarrow 8 \leftrightarrow 9 \leftrightarrow 2 \leftrightarrow 5 \leftrightarrow 7 \leftrightarrow 10 \leftrightarrow 11 \leftrightarrow 4$

$4 \rightarrow 6 \Rightarrow 8 \leftrightarrow 9 \leftrightarrow 2 \leftrightarrow 5 \leftrightarrow 7 \leftrightarrow 10 \leftrightarrow 11 \leftrightarrow 4 \leftrightarrow 6$

$1 \rightarrow 8 \Rightarrow 1 \leftrightarrow 8 \leftrightarrow 9 \leftrightarrow 2 \leftrightarrow 5 \leftrightarrow 7 \leftrightarrow 10 \leftrightarrow 11 \leftrightarrow 4 \leftrightarrow 6$

$3 \rightarrow 6 \Rightarrow 1 \leftrightarrow 8 \leftrightarrow 9 \leftrightarrow 2 \leftrightarrow 5 \leftrightarrow 7 \leftrightarrow 10 \leftrightarrow 11 \leftrightarrow 4 \leftrightarrow 6 \leftrightarrow 3$

$0 \leftrightarrow 1 \leftrightarrow 8 \leftrightarrow 9 \leftrightarrow 2 \leftrightarrow 5 \leftrightarrow 7 \leftrightarrow 10 \leftrightarrow 11 \leftrightarrow 4 \leftrightarrow 6 \leftrightarrow 3 \leftrightarrow 0 = 678 \text{ km.}$

Metoda grananja i ograničavanja

Da bi se dobilo rješenje najkraćeg puta prema *metodi grananja i ograničavanja* potrebno je u svakom retku i svakom stupcu imati barem jednu nulu kako bi se mogle izračunati kazne za nekorisćenje predložene veze među gradovima. Zatim odabir najveće kazne predstavlja jednu relaciju. Prema istom principu izračuna, dobije se vrijednost ostalih kazni te ujedno i potrebne relacije kako bi se kompletirala ruta najkraćeg puta. Na jednak način kako je opisano u poglavlju 4.3.

| | x_0 | x_1 | x_2 | x_3 | x_4 | x_5 | x_6 | x_7 | x_8 | x_9 | x_{10} | x_{11} |
|----------|----------|----------|----------|----------|----------|----------|----------|----------|----------|----------|----------|----------|
| x_0 | ∞ | 167 | 259 | 102 | 224 | 272 | 178 | 303 | 183 | 242 | 267 | 266 |
| x_1 | 167 | ∞ | 125 | 100 | 116 | 136 | 107 | 169 | 43 | 101 | 124 | 123 |
| x_2 | 259 | 125 | ∞ | 191 | 90 | 11 | 109 | 43 | 89 | 29 | 39 | 40 |
| x_3 | 102 | 100 | 191 | ∞ | 122 | 205 | 79 | 237 | 96 | 174 | 200 | 199 |
| x_4 | 224 | 116 | 90 | 122 | ∞ | 92 | 43 | 97 | 74 | 66 | 55 | 56 |
| x_5 | 272 | 136 | 11 | 205 | 92 | ∞ | 129 | 30 | 102 | 42 | 42 | 43 |
| x_6 | 178 | 107 | 109 | 79 | 43 | 129 | ∞ | 137 | 65 | 81 | 87 | 86 |
| x_7 | 303 | 169 | 43 | 237 | 97 | 30 | 137 | ∞ | 133 | 67 | 57 | 58 |
| x_8 | 183 | 43 | 89 | 96 | 74 | 102 | 65 | 133 | ∞ | 60 | 83 | 82 |
| x_9 | 242 | 101 | 29 | 174 | 66 | 42 | 81 | 67 | 60 | ∞ | 29 | 34 |
| x_{10} | 267 | 124 | 39 | 200 | 55 | 42 | 87 | 57 | 83 | 29 | ∞ | 1 |
| x_{11} | 266 | 123 | 40 | 199 | 56 | 43 | 86 | 58 | 82 | 34 | 1 | ∞ |

| | | |
|----------|------------------|------------------|
| | x_2 | x_7 |
| x_5 | 0 ⁽⁰⁾ | ∞ |
| x_{10} | ∞ | 0 ⁽⁰⁾ |

$0 \rightarrow 3$

$6 \rightarrow 4$

$3 \rightarrow 6 \Rightarrow 0 \leftrightarrow 3 \leftrightarrow 6 \leftrightarrow 4$

$8 \rightarrow 1$

$1 \rightarrow 0 \Rightarrow 8 \leftrightarrow 1 \leftrightarrow 0$

$$9 \rightarrow 8 \Rightarrow 9 \leftrightarrow 8 \leftrightarrow 1 \leftrightarrow 0$$

$$11 \rightarrow 10$$

$$4 \rightarrow 11 \Rightarrow 0 \leftrightarrow 3 \leftrightarrow 6 \leftrightarrow 4 \leftrightarrow 11 \leftrightarrow 10$$

$$2 \rightarrow 9 \Rightarrow 2 \leftrightarrow 9 \leftrightarrow 8 \leftrightarrow 1 \leftrightarrow 0$$

$$7 \rightarrow 5$$

$$5 \rightarrow 2 \Rightarrow 7 \leftrightarrow 5 \leftrightarrow 2 \leftrightarrow 9 \leftrightarrow 8 \leftrightarrow 1 \leftrightarrow 0$$

$$10 \rightarrow 7 \Rightarrow 0 \leftrightarrow 3 \leftrightarrow 6 \leftrightarrow 4 \leftrightarrow 11 \leftrightarrow 10 \leftrightarrow 7 \leftrightarrow 5 \leftrightarrow 2 \leftrightarrow 9 \leftrightarrow 8 \leftrightarrow 1 \leftrightarrow 0 = 678 \text{ km.}$$

Metoda najbližeg susjeda

Kako i sam naziv metode glasi, potrebno je naći najbližeg susjeda odabranom čvoru, odnosno sljedeći vrh nakon odabranog s minimalnom udaljenosti. U nastavku je prikazano rješenje najkraćeg puta za *metodu najbližeg susjeda*.

| | x_0 | x_1 | x_2 | x_3 | x_4 | x_5 | x_6 | x_7 | x_8 | x_9 | x_{10} | x_{11} |
|----------|----------|----------|----------|----------|----------|----------|----------|----------|----------|----------|----------|----------|
| x_0 | ∞ | 167 | 259 | 102 | 224 | 272 | 178 | 303 | 183 | 242 | 267 | 266 |
| x_1 | 167 | ∞ | 125 | 100 | 116 | 136 | 107 | 169 | 43 | 101 | 124 | 123 |
| x_2 | 259 | 125 | ∞ | 191 | 90 | 11 | 109 | 43 | 89 | 29 | 39 | 40 |
| x_3 | 102 | 100 | 191 | ∞ | 122 | 205 | 79 | 237 | 96 | 174 | 200 | 199 |
| x_4 | 224 | 116 | 90 | 122 | ∞ | 92 | 43 | 97 | 74 | 66 | 55 | 56 |
| x_5 | 272 | 136 | 11 | 205 | 92 | ∞ | 129 | 30 | 102 | 42 | 42 | 43 |
| x_6 | 178 | 107 | 109 | 79 | 43 | 129 | ∞ | 137 | 65 | 81 | 87 | 86 |
| x_7 | 303 | 169 | 43 | 237 | 97 | 30 | 137 | ∞ | 133 | 67 | 57 | 58 |
| x_8 | 183 | 43 | 89 | 96 | 74 | 102 | 65 | 133 | ∞ | 60 | 83 | 82 |
| x_9 | 242 | 101 | 29 | 174 | 66 | 42 | 81 | 67 | 60 | ∞ | 29 | 34 |
| x_{10} | 267 | 124 | 39 | 200 | 55 | 42 | 87 | 57 | 83 | 29 | ∞ | 1 |
| x_{11} | 266 | 123 | 40 | 199 | 56 | 43 | 86 | 58 | 82 | 34 | 1 | ∞ |

$$0 \rightarrow 1$$

$$1 \rightarrow 8 \Rightarrow 0 \leftrightarrow 1 \leftrightarrow 8$$

$$8 \rightarrow 9 \Rightarrow 0 \leftrightarrow 1 \leftrightarrow 8 \leftrightarrow 9$$

$$9 \rightarrow 2 \Rightarrow 0 \leftrightarrow 1 \leftrightarrow 8 \leftrightarrow 9 \leftrightarrow 2$$

$2 \rightarrow 5 \Rightarrow 0 \leftrightarrow 1 \leftrightarrow 8 \leftrightarrow 9 \leftrightarrow 2 \leftrightarrow 5$

$5 \rightarrow 7 \Rightarrow 0 \leftrightarrow 1 \leftrightarrow 8 \leftrightarrow 9 \leftrightarrow 2 \leftrightarrow 5 \leftrightarrow 7$

$7 \rightarrow 10 \Rightarrow 0 \leftrightarrow 1 \leftrightarrow 8 \leftrightarrow 9 \leftrightarrow 2 \leftrightarrow 5 \leftrightarrow 7 \leftrightarrow 10$

$10 \rightarrow 11 \Rightarrow 0 \leftrightarrow 1 \leftrightarrow 8 \leftrightarrow 9 \leftrightarrow 2 \leftrightarrow 5 \leftrightarrow 7 \leftrightarrow 10 \leftrightarrow 11$

$11 \rightarrow 4 \Rightarrow 0 \leftrightarrow 1 \leftrightarrow 8 \leftrightarrow 9 \leftrightarrow 2 \leftrightarrow 5 \leftrightarrow 7 \leftrightarrow 10 \leftrightarrow 11 \leftrightarrow 4$

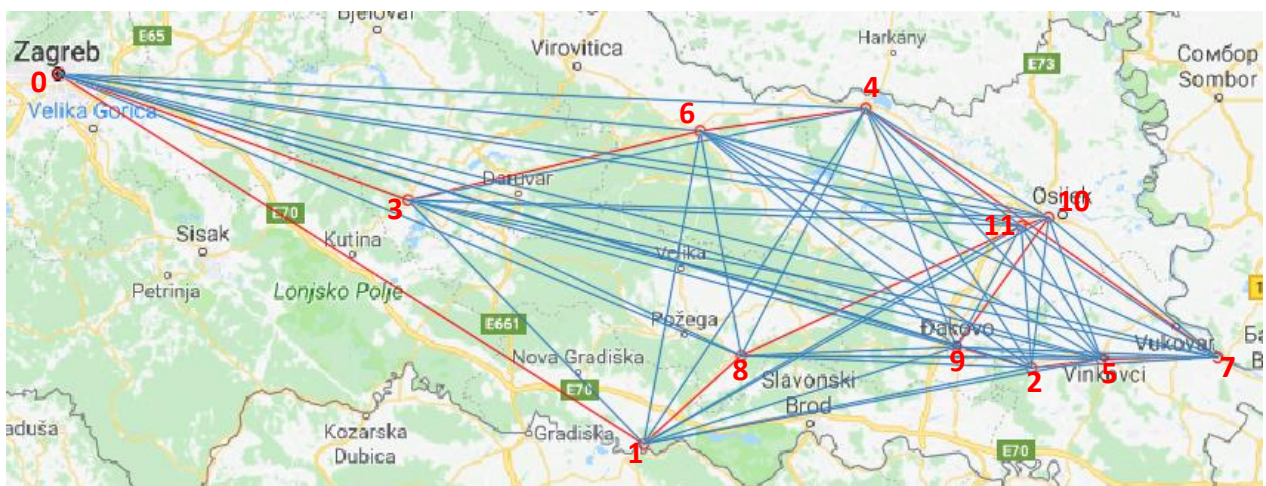
$4 \rightarrow 6 \Rightarrow 0 \leftrightarrow 1 \leftrightarrow 8 \leftrightarrow 9 \leftrightarrow 2 \leftrightarrow 5 \leftrightarrow 7 \leftrightarrow 10 \leftrightarrow 11 \leftrightarrow 4 \leftrightarrow 6$

$6 \rightarrow 3 \Rightarrow 0 \leftrightarrow 1 \leftrightarrow 8 \leftrightarrow 9 \leftrightarrow 2 \leftrightarrow 5 \leftrightarrow 7 \leftrightarrow 10 \leftrightarrow 11 \leftrightarrow 4 \leftrightarrow 6 \leftrightarrow 3$

$3 \rightarrow 0 \Rightarrow 0 \leftrightarrow 1 \leftrightarrow 8 \leftrightarrow 9 \leftrightarrow 2 \leftrightarrow 5 \leftrightarrow 7 \leftrightarrow 10 \leftrightarrow 11 \leftrightarrow 4 \leftrightarrow 6 \leftrightarrow 3 \leftrightarrow 0 = 678 \text{ km.}$

Christofides-ov algoritam

Grafičko rješenje *Christofides-ovog algoritma* prikazano je na slici 43. Postupak izračuna *Christofides-ovog algoritma* prikazan je u poglavlju 4.5., a njegova primjena detaljno je opisana i prikazana na primjeru rute HR-43627. Dobivena ruta kao rješenje najkraćeg puta glasi: $0 \rightarrow 1 \rightarrow 8 \rightarrow 11 \rightarrow 10 \rightarrow 9 \rightarrow 2 \rightarrow 5 \rightarrow 7 \rightarrow 4 \rightarrow 6 \rightarrow 3 \rightarrow 0 = 713 \text{ km.}$



Slika 43. Ruta HR-43443 kao rješenje Christofides-ovog algoritma

5.2.6. Ruta HR-43960

Opći podaci o ruti HR-43960 nalaze se u tablici 28. Potrebno je dostaviti robu na osam lokacija te se vratiti u Zagreb, odakle ruta i započinje.

Tablica 28. Podaci za rutu HR-43960

| Redni broj | Vrijeme dostave | Skladišni centar | Odredište | Količina pakiranja | Bruto masa (kg) | Šifra rute |
|------------|-----------------|------------------|-------------------|--------------------|-----------------|------------|
| 1. | 17.3.2017 0:00 | Zagreb | Popovac | 1 | 27 | HR-43960 |
| 2. | 17.3.2017 0:00 | Zagreb | Čačinci | 1 | 69 | HR-43960 |
| 3. | 17.3.2017 0:00 | Zagreb | Našice | 2 | 1609 | HR-43960 |
| 4. | 17.3.2017 0:00 | Zagreb | Jagodnjak | 1 | 271 | HR-43960 |
| 5. | 17.3.2017 0:00 | Zagreb | Kneževi Vinogradi | 1 | 45 | HR-43960 |
| 6. | 17.3.2017 0:00 | Zagreb | Donji Miholjac | 2 | 734 | HR-43960 |
| 7. | 17.3.2017 0:00 | Zagreb | Beli Manastir | 2 | 20 | HR-43960 |
| 8. | 17.3.2017 0:00 | Zagreb | Lug | 1 | 90 | HR-43960 |

Prema udaljenostima između svih navedenih lokacija, računaju se uštede između svake od njih kako bi se mogle projektirati rute prema *Clark-Wright-ovom algoritmu* i *metodi s indikatorom T*. Lokacije iz matričnog prikaza nalaze se u tablici 28.

| | x_0 | x_1 | x_2 | x_3 | x_4 | x_5 | x_6 | x_7 | x_8 |
|-------|----------|----------|----------|----------|----------|----------|----------|----------|----------|
| x_0 | ∞ | 281 | 209 | 224 | 267 | 281 | 221 | 269 | 287 |
| x_1 | 281 | ∞ | 88 | 77 | 33 | 16 | 60 | 13 | 27 |
| x_2 | 209 | 88 | ∞ | 26 | 74 | 88 | 47 | 76 | 93 |
| x_3 | 224 | 77 | 26 | ∞ | 63 | 75 | 34 | 65 | 70 |
| x_4 | 267 | 33 | 74 | 63 | ∞ | 21 | 46 | 19 | 20 |
| x_5 | 281 | 16 | 88 | 75 | 21 | ∞ | 60 | 13 | 12 |
| x_6 | 221 | 60 | 47 | 34 | 46 | 60 | ∞ | 48 | 65 |
| x_7 | 269 | 13 | 76 | 65 | 19 | 13 | 48 | ∞ | 22 |
| x_8 | 287 | 27 | 93 | 70 | 20 | 12 | 65 | 22 | ∞ |

Uštede između vrhova izračunate prema formuli (4) nalaze se u tablici 29. Uštede se koriste za izračun najkraćeg puta kod *Clark-Wright-ovog algoritma* te *metode s indikatorom T*.

Tablica 29. Uštede za rutu HR-43960 rangirane prema veličini

| Grana (i,j) | Ušteda s(i,j) | Grana (i,j) | Ušteda s(i,j) | Grana (i,j) | Ušteda s(i,j) |
|----------------|------------------|----------------|------------------|----------------|------------------|
| (5,8) | 556 | (6,8) | 443 | (3,6) | 411 |
| (1,5) | 546 | (1,6) | 442 | (2,3) | 407 |
| (1,8) | 541 | (5,6) | 442 | (2,8) | 403 |
| (1,7) | 537 | (4,6) | 442 | (2,4) | 402 |
| (5,7) | 537 | (6,7) | 442 | (2,5) | 402 |
| (4,8) | 534 | (3,8) | 441 | (2,7) | 402 |
| (7,8) | 534 | (3,5) | 430 | (1,2) | 402 |
| (4,5) | 527 | (1,3) | 428 | (2,6) | 383 |
| (4,7) | 517 | (3,4) | 428 | | |
| (1,4) | 515 | (3,7) | 428 | | |

Clark-Wright-ov algoritam

Algoritam *Clark-Wright-a* nudi dva rješenja najkraćeg puta jednake udaljenosti:

1.)

$$(5,8) \Rightarrow 0 \leftrightarrow 5 \leftrightarrow 8 \leftrightarrow 0$$

$$(1,5) \Rightarrow 0 \leftrightarrow 1 \leftrightarrow 5 \leftrightarrow 8 \leftrightarrow 0$$

$$(1,7) \Rightarrow 0 \leftrightarrow 7 \leftrightarrow 1 \leftrightarrow 5 \leftrightarrow 8 \leftrightarrow 0$$

$$(4,8) \Rightarrow 0 \leftrightarrow 7 \leftrightarrow 1 \leftrightarrow 5 \leftrightarrow 8 \leftrightarrow 4 \leftrightarrow 0$$

$$(4,6) \Rightarrow 0 \leftrightarrow 7 \leftrightarrow 1 \leftrightarrow 5 \leftrightarrow 8 \leftrightarrow 4 \leftrightarrow 6 \leftrightarrow 0$$

$$(3,7) \Rightarrow 0 \leftrightarrow 3 \leftrightarrow 7 \leftrightarrow 1 \leftrightarrow 5 \leftrightarrow 8 \leftrightarrow 4 \leftrightarrow 6 \leftrightarrow 0$$

$$(2,3) \Rightarrow 0 \leftrightarrow 2 \leftrightarrow 3 \leftrightarrow 7 \leftrightarrow 1 \leftrightarrow 5 \leftrightarrow 8 \leftrightarrow 4 \leftrightarrow 6 \leftrightarrow 0 = 628 \text{ km.}$$

2.)

(5,8) $\Rightarrow 0 \leftrightarrow 5 \leftrightarrow 8 \leftrightarrow 0$

(1,5) $\Rightarrow 0 \leftrightarrow 1 \leftrightarrow 5 \leftrightarrow 8 \leftrightarrow 0$

(1,7) $\Rightarrow 0 \leftrightarrow 7 \leftrightarrow 1 \leftrightarrow 5 \leftrightarrow 8 \leftrightarrow 0$

(4,8) $\Rightarrow 0 \leftrightarrow 7 \leftrightarrow 1 \leftrightarrow 5 \leftrightarrow 8 \leftrightarrow 4 \leftrightarrow 0$

(6,7) $\Rightarrow 0 \leftrightarrow 6 \leftrightarrow 7 \leftrightarrow 1 \leftrightarrow 5 \leftrightarrow 8 \leftrightarrow 4 \leftrightarrow 0$

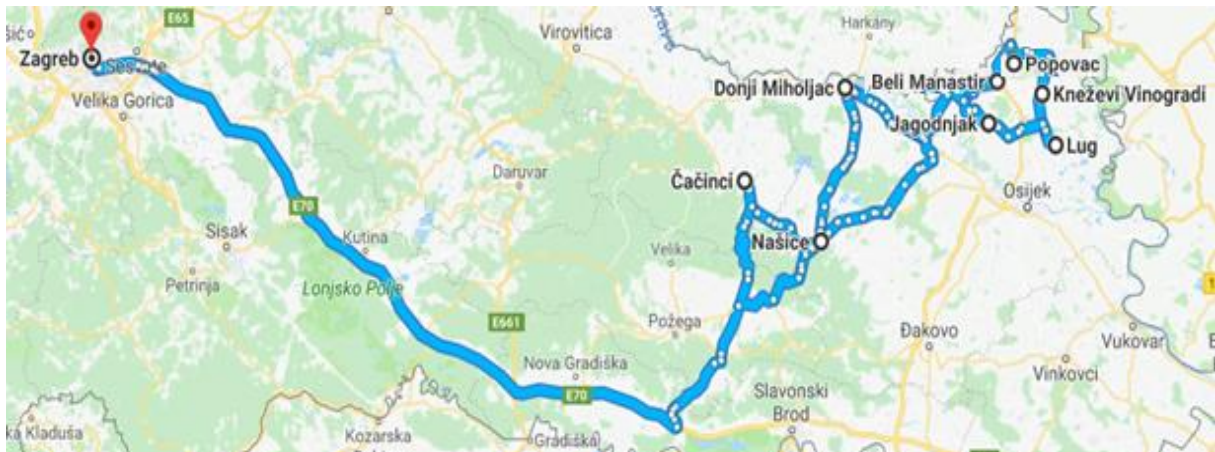
(3,4) $\Rightarrow 0 \leftrightarrow 6 \leftrightarrow 7 \leftrightarrow 1 \leftrightarrow 5 \leftrightarrow 8 \leftrightarrow 4 \leftrightarrow 3 \leftrightarrow 0$

(2,3) $\Rightarrow 0 \leftrightarrow 6 \leftrightarrow 7 \leftrightarrow 1 \leftrightarrow 5 \leftrightarrow 8 \leftrightarrow 4 \leftrightarrow 3 \leftrightarrow 2 \leftrightarrow 0 = 628 \text{ km.}$

Na slici 44. nalaze se oba rješenja *Clark-Wright-ovim algoritmom*. Rješenja se razlikuju ovisno o smjeru kretanja, odnosno o rasporedu obilaska lokacija, međutim rute između lokacija jednakog su izgleda u oba slučaja. Iako obje rute imaju jednaku duljinu, razlika može biti u vremenskom trajanju distribucije, tj. kod jedne rute vrijeme obilaska će biti veće u odnosu na drugu. Također, bitno je sagledati koja ruta sadrži više prometnica pogodnijih za distribuciju ovisno o korištenju tipa vozila.

1.) $0 \leftrightarrow 2 \leftrightarrow 3 \leftrightarrow 7 \leftrightarrow 1 \leftrightarrow 5 \leftrightarrow 8 \leftrightarrow 4 \leftrightarrow 6 \leftrightarrow 0$

2.) $0 \leftrightarrow 6 \leftrightarrow 7 \leftrightarrow 1 \leftrightarrow 5 \leftrightarrow 8 \leftrightarrow 4 \leftrightarrow 3 \leftrightarrow 2 \leftrightarrow 0$



Slika 44. Ruta HR-43960 kao rješenje CW-ovog algoritma ušteta

Metoda s indikatorom T

Obzirom da je za dobivanje rješenja najkraćeg puta pomoću *metode s indikatorom T*, potreban izračun ušteta, kao i kod metode *Clark-Wright-ovog algoritma*, stoga će i kod ove metode postojati dva rješenja, odnosno dvije rute jednakih udaljenosti, ali različitog obilaska lokacija. U nastavku je prikazana početna polu-matrica udaljenosti prema kojoj će se dobiti rješenja najkraćeg puta. Uštete koje se koriste pri izračunu najkraćeg puta kod *metode s indikatorom T*, izračunavaju se na jednak način kao i uštete kod metode *Clark-Wright-ovog algoritma*, odnosno korištenjem formule (4).

| | x_1 | x_2 | x_3 | x_4 | x_5 | x_6 | x_7 | x_8 |
|-------|-------|-------|-------|-------|-------|-------|-------|-------|
| x_0 | 2 | 2 | 2 | 2 | 2 | 2 | 2 | 2 |
| x_1 | | 402 | 428 | 515 | 546 | 442 | 537 | 541 |
| x_2 | | | 407 | 402 | 402 | 383 | 402 | 403 |
| x_3 | | | | 428 | 430 | 411 | 428 | 441 |
| x_4 | | | | | 527 | 442 | 517 | 534 |
| x_5 | | | | | | 442 | 537 | 556 |
| x_6 | | | | | | | 442 | 443 |
| x_7 | | | | | | | | 534 |

Razlog nastanka dva jednaka rješenja je taj što postoje dvije uštede jednakih vrijednosti koje se prema pravilima odabiru. U ovom primjeru, radi se o uštedama između čvorova x_4 i x_6 te između čvorova x_6 i x_7 , a vrijednost uštede je 442 km. Prilikom odabira jedne od ušteda, mijenja se daljnji koncept rute, stoga nastaju dvije različite rute jednakih udaljenosti. U nastavku se nalazi završna polu matrica s rješenjima te prikaz koraka dobivanja rješenja.

(1)

| | x_1 | x_2 | x_3 | x_4 | x_5 | x_6 | x_7 | x_8 |
|-------|-------|----------|----------|----------|----------|----------|----------|-------|
| x_0 | ① | ① | ① | ① | ① | ① | ① | ① |
| x_1 | 402 | 428 | 515 | ① 546 | 442 | ① 537 | 541 | |
| x_2 | | ① 407 | 402 | 402 | 383 | 402 | 403 | |
| x_3 | | | ① 428 | 430 | 411 | ① 428 | 441 | |
| x_4 | | | | ① 527 | ① 442 | 517 | ① 534 | |
| x_5 | | | | | ① 442 | 537 | ① 556 | |
| x_6 | | | | | | 442 | 443 | |
| x_7 | | | | | | | 534 | |

$5 \rightarrow 8$

$1 \rightarrow 5 \Rightarrow 1 \leftrightarrow 5 \leftrightarrow 8$

$1 \rightarrow 7 \Rightarrow 7 \leftrightarrow 1 \leftrightarrow 5 \leftrightarrow 8$

$4 \rightarrow 8 \Rightarrow 7 \leftrightarrow 1 \leftrightarrow 5 \leftrightarrow 8 \leftrightarrow 4$

$4 \rightarrow 6 \Rightarrow 7 \leftrightarrow 1 \leftrightarrow 5 \leftrightarrow 8 \leftrightarrow 4 \leftrightarrow 6$

$3 \rightarrow 7 \Rightarrow 3 \leftrightarrow 7 \leftrightarrow 1 \leftrightarrow 5 \leftrightarrow 8 \leftrightarrow 4 \leftrightarrow 6$

$2 \rightarrow 3 \Rightarrow 2 \leftrightarrow 3 \leftrightarrow 7 \leftrightarrow 1 \leftrightarrow 5 \leftrightarrow 8 \leftrightarrow 4 \leftrightarrow 6$

$0 \leftrightarrow 2 \leftrightarrow 3 \leftrightarrow 7 \leftrightarrow 1 \leftrightarrow 5 \leftrightarrow 8 \leftrightarrow 4 \leftrightarrow 6 \leftrightarrow 0 = 628 \text{ km.}$

Nakon izračuna prvog rješenja, prikazano je drugo rješenje najkraćeg puta, odnosno primjer druge rute jednake udaljenosti, ali različitog obilaska lokacija. Prikazani su koraci dobivanja rješenja gdje se može uočiti navedena razlika koja utječe na razliku obilasku lokacija.

2.)

| | x_1 | x_2 | x_3 | x_4 | x_5 | x_6 | x_7 | x_8 |
|-------|--------|----------|----------|----------|--------|----------|----------|--------|
| x_0 | ① 0 | ① 1 | ① 0 | ① 0 | ① 0 | ① 1 | ① 0 | ① 0 |
| x_1 | 402 | 428 | 515 | ① 546 | 442 | ① 537 | 541 | |
| x_2 | | ① 407 | 402 | 402 | 383 | 402 | 403 | |
| x_3 | | | ① 428 | 430 | 411 | 428 | 441 | |
| x_4 | | | | 527 | 442 | 517 | ① 534 | |
| x_5 | | | | | 442 | 537 | ① 556 | |
| x_6 | | | | | | ① 442 | 443 | |
| x_7 | | | | | | | 534 | |

$5 \rightarrow 8$

$1 \rightarrow 5 \Rightarrow 1 \leftrightarrow 5 \leftrightarrow 8$

$1 \rightarrow 7 \Rightarrow 7 \leftrightarrow 1 \leftrightarrow 5 \leftrightarrow 8$

$4 \rightarrow 8 \Rightarrow 7 \leftrightarrow 1 \leftrightarrow 5 \leftrightarrow 8 \leftrightarrow 4$

$6 \rightarrow 7 \Rightarrow 6 \leftrightarrow 7 \leftrightarrow 1 \leftrightarrow 5 \leftrightarrow 8 \leftrightarrow 4$

$3 \rightarrow 4 \Rightarrow 6 \leftrightarrow 7 \leftrightarrow 1 \leftrightarrow 5 \leftrightarrow 8 \leftrightarrow 4 \leftrightarrow 3$

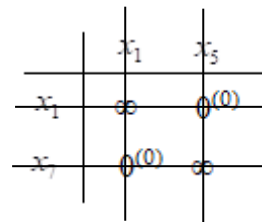
$2 \rightarrow 3 \Rightarrow 6 \leftrightarrow 7 \leftrightarrow 1 \leftrightarrow 5 \leftrightarrow 8 \leftrightarrow 4 \leftrightarrow 3 \leftrightarrow 2$

$0 \leftrightarrow 6 \leftrightarrow 7 \leftrightarrow 1 \leftrightarrow 5 \leftrightarrow 8 \leftrightarrow 4 \leftrightarrow 3 \leftrightarrow 2 \leftrightarrow 0 = 628 \text{ km.}$

Metoda grananja i ograničavanja

Metoda grananja i ograničavanja za rutu HR-43960 daje jedno rješenje najkraćeg puta, odnosno minimalnu udaljenost prema navedenoj metodi.

| | x_0 | x_1 | x_2 | x_3 | x_4 | x_5 | x_6 | x_7 | x_8 |
|-------|----------|----------|----------|----------|----------|----------|----------|----------|----------|
| x_0 | ∞ | 281 | 209 | 224 | 267 | 281 | 221 | 269 | 287 |
| x_1 | 281 | ∞ | 88 | 77 | 33 | 16 | 60 | 13 | 27 |
| x_2 | 209 | 88 | ∞ | 26 | 74 | 88 | 47 | 76 | 93 |
| x_3 | 224 | 77 | 26 | ∞ | 63 | 75 | 34 | 65 | 70 |
| x_4 | 267 | 33 | 74 | 63 | ∞ | 21 | 46 | 19 | 20 |
| x_5 | 281 | 16 | 88 | 75 | 21 | ∞ | 60 | 13 | 12 |
| x_6 | 221 | 60 | 47 | 34 | 46 | 60 | ∞ | 48 | 65 |
| x_7 | 269 | 13 | 76 | 65 | 19 | 13 | 48 | ∞ | 22 |
| x_8 | 287 | 27 | 93 | 70 | 20 | 12 | 65 | 22 | ∞ |



$0 \rightarrow 2$

$3 \rightarrow 6$

$2 \rightarrow 3 \Rightarrow 0 \leftrightarrow 2 \leftrightarrow 3 \leftrightarrow 6$

$4 \rightarrow 0$

$6 \rightarrow 7 \Rightarrow 0 \leftrightarrow 2 \leftrightarrow 3 \leftrightarrow 6 \leftrightarrow 7$

$5 \rightarrow 8$

$8 \rightarrow 4 \Rightarrow 5 \leftrightarrow 8 \leftrightarrow 4 \leftrightarrow 0$

$1 \rightarrow 5 \Rightarrow 1 \leftrightarrow 5 \leftrightarrow 8 \leftrightarrow 4 \leftrightarrow 0$

$7 \rightarrow 1 \Rightarrow 0 \leftrightarrow 2 \leftrightarrow 3 \leftrightarrow 6 \leftrightarrow 7 \leftrightarrow 1 \leftrightarrow 5 \leftrightarrow 8 \leftrightarrow 4 \leftrightarrow 0 = 645 \text{ km.}$

Metoda najbližeg susjeda

Kao i u prethodnim primjerima, na isti način dobiveno je rješenje najkraćeg puta prema metodi najbližeg susjeda. Metoda najbližeg susjeda za navedenu rutu također daje jedno rješenje najkraćeg puta. U nastavku su prikazani koraci izračuna najkraćeg puta za navedenu metodu te kompletna ruta sa svojim iznosom.

| | x_0 | x_1 | x_2 | x_3 | x_4 | x_5 | x_6 | x_7 | x_8 |
|-------|----------|----------|----------|----------|----------|----------|----------|----------|----------|
| x_0 | ∞ | 281 | 209 | 224 | 267 | 281 | 221 | 269 | 287 |
| x_1 | 281 | ∞ | 88 | 77 | 33 | 16 | 60 | 13 | 27 |
| x_2 | 209 | 88 | ∞ | 26 | 74 | 88 | 47 | 76 | 93 |
| x_3 | 224 | 77 | 26 | ∞ | 63 | 75 | 34 | 65 | 70 |
| x_4 | 267 | 33 | 74 | 63 | ∞ | 21 | 46 | 19 | 20 |
| x_5 | 281 | 16 | 88 | 75 | 21 | ∞ | 60 | 13 | 12 |
| x_6 | 221 | 60 | 47 | 34 | 46 | 60 | ∞ | 48 | 65 |
| x_7 | 269 | 13 | 76 | 65 | 19 | 13 | 48 | ∞ | 22 |
| x_8 | 287 | 27 | 93 | 70 | 20 | 12 | 65 | 22 | ∞ |

$$0 \rightarrow 2$$

$$2 \rightarrow 3 \Rightarrow 0 \leftrightarrow 2 \leftrightarrow 3$$

$$3 \rightarrow 6 \Rightarrow 0 \leftrightarrow 2 \leftrightarrow 3 \leftrightarrow 6$$

$$6 \rightarrow 4 \Rightarrow 0 \leftrightarrow 2 \leftrightarrow 3 \leftrightarrow 6 \leftrightarrow 4$$

$$4 \rightarrow 7 \Rightarrow 0 \leftrightarrow 2 \leftrightarrow 3 \leftrightarrow 6 \leftrightarrow 4 \leftrightarrow 7$$

$$7 \rightarrow 1 \Rightarrow 0 \leftrightarrow 2 \leftrightarrow 3 \leftrightarrow 6 \leftrightarrow 4 \leftrightarrow 7 \leftrightarrow 1$$

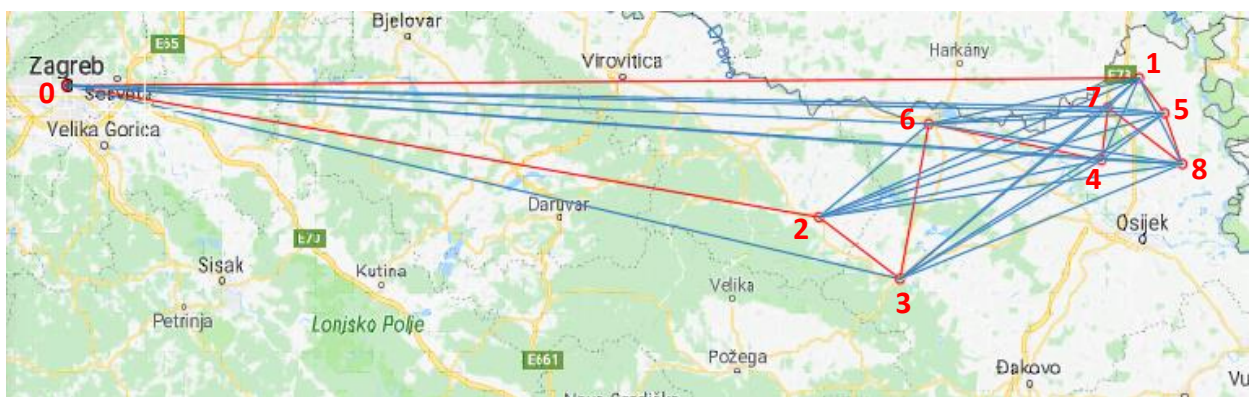
$$1 \rightarrow 5 \Rightarrow 0 \leftrightarrow 2 \leftrightarrow 3 \leftrightarrow 6 \leftrightarrow 4 \leftrightarrow 7 \leftrightarrow 1 \leftrightarrow 5$$

$$5 \rightarrow 8 \Rightarrow 0 \leftrightarrow 2 \leftrightarrow 3 \leftrightarrow 6 \leftrightarrow 4 \leftrightarrow 7 \leftrightarrow 1 \leftrightarrow 5 \leftrightarrow 8$$

$$8 \rightarrow 0 \Rightarrow 0 \leftrightarrow 2 \leftrightarrow 3 \leftrightarrow 6 \leftrightarrow 4 \leftrightarrow 7 \leftrightarrow 1 \leftrightarrow 5 \leftrightarrow 8 \leftrightarrow 0 = 662 \text{ km.}$$

Christofides-ov algoritam

Prema izračunu kao i u prethodnim primjerima, rješenje najkraćeg puta prema *Christofides-ovom algoritmu* prikazano je crvenim linijama, dok plave linije označavaju međusobne udaljenosti između gradova. Kao i prethodne dvije metode, *Christofides-ov algoritam* također daje jedno rješenje najkraćeg puta, odnosno dobije se jedna ruta. Rješenje je prikazano na slici 45. Rješenje *Christofides-ovog algoritma* glasi: $0 \leftrightarrow 1 \leftrightarrow 5 \leftrightarrow 8 \leftrightarrow 7 \leftrightarrow 4 \leftrightarrow 6 \leftrightarrow 3 \leftrightarrow 2 \leftrightarrow 0 = 665 \text{ km}$.



Slika 45. Ruta HR-43960 kao rješenje Christofides-ovog algoritma

6. REZULTAT ISTRAŽIVANJA

Nakon projektiranja svih ruta i izračuna najkraćeg puta za sve rute te prema svim metodama, dobiveni rezultati će se usporediti te će se izdvojiti najbolje rješenje, odnosno najkraći dobiveni put za svaku rutu. Dobiveno rješenje će se koristiti za definiranje cijene transporta, odnosno kao trošak distribucije na način da se odabere tip vozila ovisno o količini tereta za pojedinu rutu te se unaprijed utvrđena cijena prijevoza po kilometru za određeno vozilo uračuna u najbolje rješenje dobiveno prema ranije navedenim matematičkim metodama. U tablici 30. prikazana su rješenja svake od navedenih metoda za pojedinu rutu. Prvih šest ruta pripada području Sjeverne Hrvatske, dok sljedećih šest ruta pripada Slavoniji. Ruta HR-43365 podijeljena je na dva dijela prvenstveno radi svoje veličine te radi vremena dostave, kao što je vidljivo u tablici 21. Kod nekih lokacija je datum 06.03.2017. kao rok dostave, dok ostale lokacije imaju rok dostave 07.03.2017. Kod izračuna najkraćeg puta pomoću matematičkih metoda, oba dijela rute HR-43365 nalaze se pod istom šifrom radi jednostavnijeg prikaza.

Tablica 30. Rezultati najkraćeg puta prema matematičkim metodama

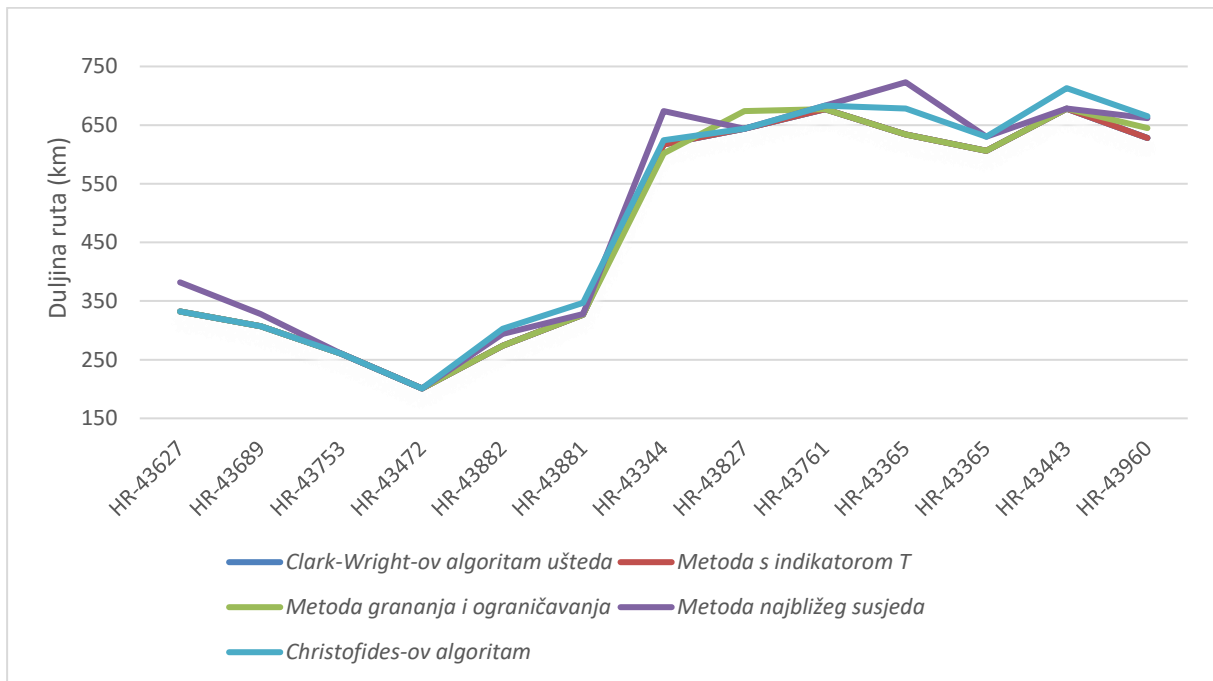
| Ruta | <i>Clark-Wright-ov algoritam ušteda (km)</i> | <i>Metoda s indikatorom T (km)</i> | <i>Metoda grananja i ograničavanja (km)</i> | <i>Metoda najbližeg susjeda (km)</i> | <i>Christofides-ov algoritam (km)</i> | Najbolje rješenje (km) |
|-----------------|--|--|---|--|---|-----------------------------------|
| HR-43627 | 332 | 332 | 332 | 382 | 332 | 332 |
| HR-43689 | 307 | 307 | 307 | 328 | 307 | 307 |
| HR-43753 | 260 | 260 | 260 | 260 | 260 | 260 |
| HR-43472 | 201 | 201 | 201 | 201 | 201 | 201 |
| HR-43882 | 274 | 274 | 274 | 294 | 303 | 274 |
| HR-43881 | 327 | 327 | 327 | 328 | 347 | 327 |
| HR-43344 | 617 | 617 | 602 | 674 | 624 | 602 |
| HR-43827 | 644 | 644 | 674 | 644 | 644 | 644 |
| HR-43761 | 677 | 677 | 677 | 683 | 683 | 677 |
| HR-43365 | 634 | 634 | 634 | 723 | 678 | 634 |
| | 606 | 606 | 606 | 630 | 630 | 606 |
| HR-43443 | 678 | 678 | 678 | 678 | 713 | 678 |
| HR-43960 | 628 | 628 | 645 | 662 | 665 | 628 |

Početnih šest ruta u tablici obuhvaća distribuciju gradova i mjesta Sjeverne Hrvatske, dok je sljedećih šest uključeno u distribuciju po Slavoniji. Izračunom najkraćeg puta pomoću osnovnih metoda, odnosno *Clark-Wright-ovog algoritma ušteda* i *metode s indikatorom T* dobiveno je najbolje rješenje u 92,3% slučajeva, odnosno kod 12 od mogućih 13 ruta. Rješenje je jednako kod obje metode iako su izračuni različiti, odnosno temelj *metode s indikatorom T* i *Clark-Wright-ovog algoritma* su uštede koje se za obje metode izračunavaju prema formuli (4), što je razlog jednakih rješenja. *Metoda grananja i ograničavanja* treća je po redoslijedu učinkovitosti, odnosno dobivenih najboljih rješenja. Njen učinak iznosi 84,6%, što predstavlja najbolje rješenje u 11 od mogućih 13 slučajeva. *Metoda najbližeg susjeda* prema učinkovitosti pripada posljednjem mjestu jer se najbolje rješenje prema toj metodi nalazi u četiri od mogućih 13 ruta, što iznosi 30,7%. Posljednjom metodom, *Christofides-ovim algoritmom*, najbolje rješenje dobiveno je kod pet od mogućih 13 ruta, što znači da je metodom izračuna najkraćeg puta *Christofides-ovim algoritmom* najbolje rješenje dobiveno kod 38,4% ruta.

Za rute u Sjevernoj Hrvatskoj, HR-43753 i HR-43472, svih pet metoda dalo je najbolja (jednaka) rješenja, odnosno 260 i 201 kilometar dužine najkraćeg puta. Također je vidljivo kako četiri od pet metoda za izračun najkraćeg puta daju najbolje rješenje za rute: HR-43627, HR-43689, HR-43827 i HR-43443. Ruta HR-43344 je jedina ruta gdje je najbolje rješenje dobiveno samo jednom metodom (*metodom grananja i ograničavanja*), dok su u ostalim rutama, najbolja rješenja dobivena od strane dviju ili više metoda.

Grafikon 3. prikazuje odnos rješenja svih matematičkih metoda korištenih u radu, odnosno najkraći put dobiven pomoću svake od navedenih metoda. Odstupanja su veća na području Slavonije, dok su linije približno jedna uz drugu na području Sjeverne Hrvatske, što znači da su odstupanja manja, odnosno rješenja su približno jednaka. Razlog tome su manje ukupne udaljenosti ruta na području Sjeverne Hrvatske u odnosu na rute kod Slavonije. Također bitan faktor je i udaljenost početne točke od ostalih lokacija, čvorišta na ruti, gdje je navedena udaljenost znatno veća kod ruta na području Slavonije. Kao što je vidljivo na grafikonu 3. *metoda najbližeg susjeda* je metoda s najmanjim postotkom najboljeg rješenja, stoga je i odstupanje u odnosu na ostale rute veće. Metode *Clark-Wright-ov algoritam ušteda* i *metoda s indikatorom T* ponudile su jednaka rješenja kod svih ruta, stoga se njihove linije na grafikonu nalaze jedna preko druge, dok su rješenja *metode grananja i ograničavanja* približno jednaka

rješenjima dviju navedenih metoda pa se linija te metode nalazi preko linija dviju metoda u većini slučajeva.



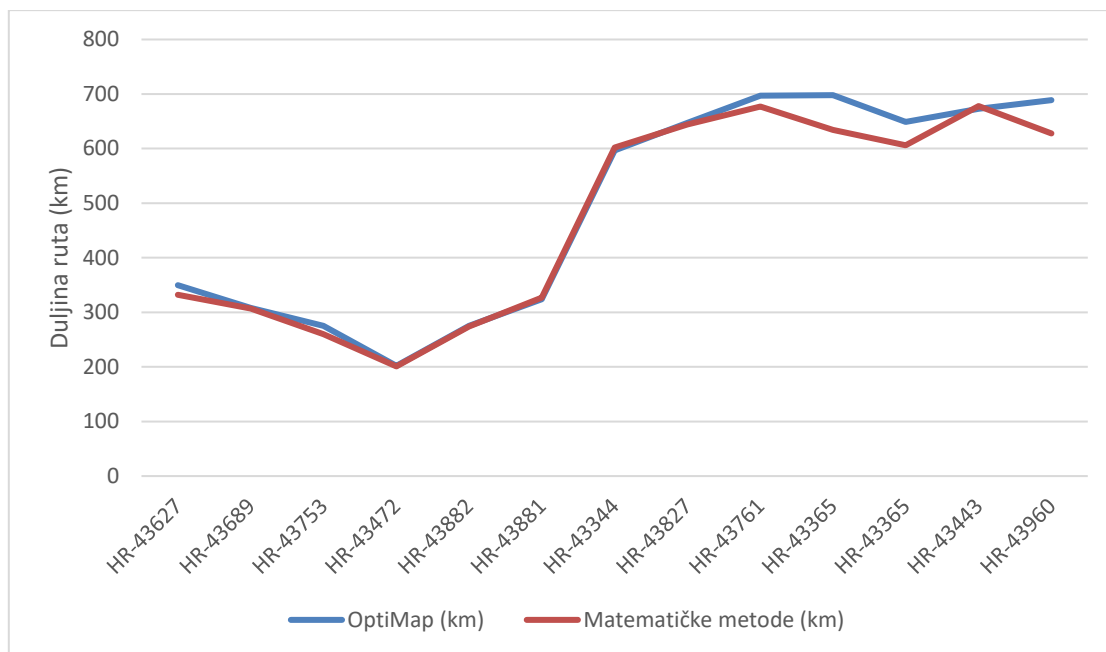
Grafikon 3. Odnos rješenja matematičkih metoda

U tablici 31. nalazi se usporedba rezultata najkraćeg puta za sve rute dobivenih pomoću softvera *OptiMap* kojem je svrha planiranje ruta i matematičkih metoda navedenih u radu. *OptiMap* je ponudio bolje rješenje u tri slučaja, kod ruta HR-43881, HR-43344 i HR-43443. Posljednji stupac u tablici predstavlja uštedu, odnosno razliku između dva načina izračuna najkraćeg puta. Vrijednost najkraćeg puta jednaka je za oba načina kod rute HR-43882, stoga ušteta iznosi nula. Također vidljivo je da su uštede u donjem dijelu tablice, odnosno kod područja Slavonije znatno veće u odnosu na uštede na području Sjeverne Hrvatske jer je udaljenost svake od ruta daleko veća prema Slavoniji, nego prema Sjevernoj Hrvatskoj. Matematičke metode ponudile su bolje rješenje u 76,92% slučajeva, stoga se može zaključiti kako su metode učinkovite.

Tablica 31. Usporedba rješenja OptiMap-a i matematičkih metoda

| Ruta | OptiMap (km) | Matematičke metode (km) | Ušteda (km) |
|----------|--------------|-------------------------|-------------|
| HR-43627 | 350 | 332 | 18 |
| HR-43689 | 308 | 307 | 1 |
| HR-43753 | 275 | 260 | 15 |
| HR-43472 | 202 | 201 | 1 |
| HR-43882 | 274 | 274 | 0 |
| HR-43881 | 324 | 327 | -3 |
| HR-43344 | 597 | 602 | -5 |
| HR-43827 | 647 | 644 | 3 |
| HR-43761 | 697 | 677 | 20 |
| HR-43365 | 698 | 634 | 64 |
| | 649 | 606 | 43 |
| HR-43443 | 673 | 678 | -5 |
| HR-43960 | 689 | 628 | 61 |

Grafikon 4. prikazuje grafički prikaz rješenja najkraćeg puta dobivenih *OptiMap-om* i ranije navedenim matematičkim metodama. Obzirom da su rješenja najkraćeg puta na području Sjeverne Hrvatske dobivenih *OptiMap-om* i matematičkim metodama približno jednaka, tako se i linije na grafikonu 4. nalaze jedna preko druge, odnosno uštede su minimalne, stoga odstupanja nisu vidljiva. Odstupanja postaju vidljiva na području Slavonije jer su i uštede izraženije, što znači da su razlike u dobivenim rješenjima znatno veće, razlog tome su veće udaljenosti od centralnog skladišta do lokacija i ukupna duljina ruta na području Slavonije. Rješenja matematičkih metoda označena su crvenom bojom, dok su rješenja *OptiMap-a* označena plavom bojom.



Grafikon 4. Odnos rješenja OptiMap-a i matematičkih metoda

Najbolje rješenje, posljednji stupac iz tablice 30. koristiti će se u izračunu troškova distribucije, na način da se prema količini i masi tereta odredi tip vozila koji će distribuirati robu na određenoj ruti te se dužina rute (najbolje rješenje) za koju se izvodi izračun, pomnoži s cijenom odabranog vozila.

U tablici 2. u poglavlju 5. nalaze se podaci za rutu HR-43627. Za početak odredi se ukupna količina pakiranja, odnosno koliki je broj paleta i ukupna masa za transport. Za ovu rutu potrebno je distribuirati osam euro-paleta koje zajedno s teretom imaju ukupnu masu od 2803 kilograma. Za jednostavniji pregled rezultata u nastavku je ponovno prikazana tablica 2.

Tablica 2. Podaci o ruti HR-43627

| Vrijeme dostave | Skladišni centar | Odredište | Količina Pakiranja | Bruto masa (kg) | Šifra rute |
|-----------------|------------------|-----------------|--------------------|-----------------|------------|
| 10.3.2017 0:00 | Zagreb | Kapela | 2 | 1245 | HR-43627 |
| 10.3.2017 0:00 | Zagreb | Pitomača | 1 | 100 | HR-43627 |
| 10.3.2017 0:00 | Zagreb | Drnje | 1 | 75 | HR-43627 |
| 10.3.2017 0:00 | Zagreb | Donji Kraljevec | 1 | 212 | HR-43627 |
| 10.3.2017 0:00 | Zagreb | Ludbreg | 1 | 250 | HR-43627 |
| 10.3.2017 0:00 | Zagreb | Koprivnica | 1 | 142 | HR-43627 |
| 10.3.2017 0:00 | Zagreb | Križevci | 1 | 779 | HR-43627 |

Zatim, potrebno je odabrati tip vozila koje zadovoljava uvjete volumena i mase, odnosno da može prevesti osam euro-paleta mase 2803 kg. Za distribuciju tereta na ruti HR-43627 odabire se dostavno vozilo nosivost 3,5 tona (slika 4.), koji ima kapacitet 14 euro-paleta. Obzirom da su oba uvjeta zadovoljena, cijena najma vozila iznosi 4 kn/km, a najbolje rješenje, odnosno dužina rute iznosi 332 km. Trošak prijevoza je umnožak cijene najma vozila i dužine rute te za ovu rutu iznosi 1328 kn. Tablica 32. prikazuje cijene, odnosno iznos koji tvrtka plaća po pojedinoj ruti. Tvrтка je distribuciju na navedenoj ruti platila 1800 kn. Nakon svih izračuna, dobivena je ušteda od 472 kn za rutu HR-43627.

Na jednak način računaju se troškovi za ostale rute. U tablici 30. nalazi se prikaz troškova distribucije za sve rute prema najmu vozila, odnosno prijeđenom kilometru te pritom iskazane uštede ili dodatni troškovi. Obzirom da je način plaćanja prema prijeđenom kilometru, potrebno je prema količini tereta za svaku rutu odrediti tip dostavnog vozila kojim će se roba distribuirati. Prilikom odabira vozila, potrebno je paziti na volumenski i maseni udio tereta. Nakon odabira vozila, pomoću matematičkih metoda, projektiraju se rute te se odredi najkraći put. Zatim se formira nova cijena na način da se cijena najma pojedinog vozila pomnoži s duljinom rute (najboljim rješenjem), odnosno brojem kilometara. Ušteda predstavlja razliku nove cijene, odnosno izračuna nakon odabira vozila i projektiranja rute te troška distribucije koji je tvrtka Quehenberger Hrvatska d.o.o. platila prijevozniku.

Tablica 32. Troškovi distribucije prema najmu vozila

| Ruta | Trošak distribucije (kn) | Način plaćanja | Tip vozila | Nova cijena (kn) | Ušteda (kn) |
|-------------|---------------------------------|-----------------------|-------------------|-------------------------|--------------------|
| HR-43627 | 1800 | Najam vozila | 2 | 1328 | 472 |
| HR-43689 | 1700 | Najam vozila | 2 | 1228 | 472 |
| HR-43753 | 1350 | Najam vozila | 1 | 650 | 700 |
| HR-43472 | 1000 | Najam vozila | 2 | 804 | 196 |
| HR-43882 | 1200 | Najam vozila | 2 | 1096 | 104 |
| HR-43881 | 1600 | Najam vozila | 2 | 1308 | 292 |
| HR-43344 | 2700 | Najam vozila | 5 | 3612 | -912 |
| HR-43827 | 2150 | Najam vozila | 3 | 2576 | -426 |
| HR-43761 | 4150 | Najam vozila | 5 | 4062 | 88 |
| HR-43365 | 2300 | Najam vozila | 2 | 2536 | -360 |
| | | | 2 | 2424 | |
| HR-43443 | 1950 | Najam vozila | 2 | 2712 | -762 |
| HR-43960 | 1540 | Najam vozila | 2 | 2512 | -972 |

Obzirom da je pomoću matematičkih metoda za svaku rutu izračunata nova udaljenost, odnosno najkraći put, proporcionalno tome smanjuje se i trošak distribucije koja se plaća po prijeđenom kilometru, iako se za neke rute trošak povećava. Razlog tome je dogovor o količinskom popustu između prijevoznika i tvrtke za distribuciju.

Nakon izračuna troška distribucije prema prijeđenom kilometru, računa se trošak distribucije po paletnom mjestu za sve rute, odnosno za distribuciju na području Sjeverne Hrvatske i na području Slavonije. Nakon izračuna usporedit će se troškovi te će se ustvrditi koji način prijevoza je optimalniji, te samim time isplativiji.

U tablici 2. prikazana je količina tereta za rutu HR-43627. Potrebno je distribuirati 12 paleta, gdje trošak po paleti iznosi 180 kn te stoga ukupni trošak distribucije po paletnom mjestu za rutu HR-43627 iznosi 1440 kn. Veća količina pošiljka manje mase za istu lokaciju može se složiti na jednu paletu ili s komadnim teretom, paketima se popunjava prazan teretni prostor vozila, kako bi već samim time nastala ušteda. Primjerice u tablici 5., količina tereta za prvo

dostavno mjesto iznosi pet komada pakiranja, mase 50 kg. Nosivost jedne euro-paleta iznosi 800-1000 kg. Navedenih pet komada pakiranja moguće je složiti na jednu paletu, umjesto da se koristi više paleta ili obzirom na manju masu pojedinačnog paketa, teret se može složiti s drugim teretom na palete radi uštede prostora. Jednako tako se slaže teret i za ostale rute. U tablici 33. nalaze se izračunati troškovi distribucije po paletnom mjestu na jednak način kako je ranije navedeno. Trošak distribucije označava cijenu koju je tvrtka platila prijevoznicima za pojedinu rutu. Obzirom da se u ovom primjeru, distribucija plaća po paletnom mjestu, odnosno po količini prevezenih paleta, cijena jedne palete iznosi 180 kn, stoga nova cijena predstavlja umnožak cijene palete i količine paleta koje je potrebno prevesti po pojedinoj ruti. Posljednji stupac u tablici označava dobivenu uštedu prema izračunu ili u drugom slučaju, nastali trošak. U tablici 34. usporediti će se rezultati iz tablice 32. i tablice 33. te će se odabrati optimalnije rješenje.

Tablica 33. Troškovi distribucije po paletnom mjestu

| Ruta | Trošak distribucije (kn) | Način plaćanja | Broj paleta | Nova cijena (kn) | Ušteda (kn) |
|-------------|---------------------------------|-----------------------|--------------------|-------------------------|--------------------|
| HR-43627 | 1800 | Po paletnom mjestu | 8 | 1440 | 360 |
| HR-43689 | 1700 | Po paletnom mjestu | 12 | 2160 | -460 |
| HR-43753 | 1350 | Po paletnom mjestu | 5 | 900 | 450 |
| HR-43472 | 1000 | Po paletnom mjestu | 7 | 1260 | -260 |
| HR-43882 | 1200 | Po paletnom mjestu | 7 | 1260 | -60 |
| HR-43881 | 1600 | Po paletnom mjestu | 9 | 1620 | -20 |
| HR-43344 | 2700 | Po paletnom mjestu | 21 | 3780 | -1080 |
| HR-43827 | 2150 | Po paletnom mjestu | 11 | 1980 | 170 |
| HR-43761 | 4150 | Po paletnom mjestu | 19 | 3420 | 730 |
| HR-43365 | 2300 | Po paletnom mjestu | 8 | 1440 | -40 |
| | | | 5 | 900 | |
| HR-43443 | 1950 | Po paletnom mjestu | 10 | 1800 | 150 |
| HR-43960 | 1540 | Po paletnom mjestu | 8 | 1440 | 100 |

Prilikom izračuna troška distribucije po paletnom mjestu cijene mogu varirati ovisno o količinskom popustu ili slaganju tereta unutar vozila, čak i radi dogovora tvrtke s

prijevoznikom. Tablica 34. prikazuje odnos troškova prema najmu vozila (NV) i po paletnom mjestu (PM).

Tablica 34. Usporedba troškova i ušteda

| Ruta | Trošak distribucije (kn) | PM (kn) | Ušteda-PM (kn) | NV (kn) | Ušteda-NV (kn) |
|-------------|---------------------------------|----------------|-----------------------|----------------|-----------------------|
| HR-43627 | 1800 | 1440 | 360 | 1328 | 472 |
| HR-43689 | 1700 | 2160 | -460 | 1228 | 472 |
| HR-43753 | 1350 | 900 | 450 | 650 | 700 |
| HR-43472 | 1000 | 1260 | -260 | 804 | 196 |
| HR-43882 | 1200 | 1260 | -60 | 1096 | 104 |
| HR-43881 | 1600 | 1620 | -20 | 1308 | 292 |
| HR-43344 | 2700 | 3780 | -1080 | 3612 | -912 |
| HR-43827 | 2150 | 1980 | 170 | 2576 | -426 |
| HR-43761 | 4150 | 3420 | 730 | 4062 | 88 |
| HR-43365 | 2300 | 1440 | -40 | 2536 | -360 |
| | | 900 | | 2424 | |
| HR-43443 | 1950 | 1800 | 150 | 2712 | -762 |
| HR-43960 | 1540 | 1440 | 100 | 2512 | -972 |

U tablici 34. uspoređeni su troškovi i uštede dobiveni po principu izračuna troška za najam vozila (NV) i izračun troška po paletnom mjestu (PM) kako je ranije opisano. Uštede su značajno veće kod ruta za Sjeverni dio Hrvatske (gornji dio tablice), po principu izračuna troškova za najam vozila (NV), odnosno po prijeđenom kilometru. Donji dio tablice prikazuje rute po Slavoniji, gdje su uštede veće pri izračunu troška po paletnom mjestu, iako ušteda kod rute HR-43344 odstupa od ostatka. Razlog ovakvom odnosu ušteda je taj što je broj lokacija kod Sjeverne Hrvatske veći u odnosu na broj lokacija u Slavoniji, stoga je i dužina ruta veća. Prosjek dužine ruta kod Sjeverne Hrvatske iznosi 283,5 kilometara, dok prosjek dužine ruta na području Slavonije iznosi 638,4 kilometara. Može se zaključiti kako je za Sjeverni dio Hrvatske isplativije plaćati najam vozila, odnosno plaćati vozilo po prijeđenom kilometru, a za Slavoniju plaćati prijevoz po prevezenoj paleti. Razlog je količina tereta koja je veća kod distribucije na području Slavonije nego kod područja Sjeverne Hrvatske, a i mogućnosti dogovora oko količinskog popusta prilikom plaćanja prijevoza po paleti su veće u odnosu na najam vozila.

8. ZAKLJUČAK

Distribucija obuhvaća tijek gotovih proizvoda, od završetka procesa proizvodnje do konačne potrošnje. Distribucijom se funkcionalno i djelotvorno povezuju svi djelomični procesi svladavanja prostornih i vremenskih transformacija gotovih proizvoda od proizvođača do kupca ili krajnjeg korisnika, odnosno potrošača. Sustav distribucije jest ukupnost svih gospodarskih jedinica koje su povezane s distribucijom i koje sudjeluju u tokovima realnih dobara, nominalnih dobara i informacija. Cilj distribucije je povećanje vrijednosti robe na način da troškovi vezani uz proizvodnju i distribuciju budu što niži u odnosu na prodajnu cijenu..

Projektiranje ruta transportnih sredstava koje se koriste za distribuciju izvodi se pomoću matematičkih metoda. Kao osnovne metode za projektiranje ruta korištene su *Clark-Wright-ov algoritam ušteda*, *Clark-Wright-ov algoritam ušteda-metoda s indikatorom T*, te *metoda grananja i ograničavanja*, *metoda najbližeg susjeda* i *Christofides-ov algoritam* za usporedbu dobivenih rezultata. Inače, za projektiranje ruta postoji velik broj matematičkih metoda, ovdje su navedene samo neke od brojnih.

Optimizacijom distribucijske mreže, primjerice odabirom optimalnog transportnog sredstva i prijevoznog puta, mogu se smanjiti troškovi distribucije, kao što su: troškovi kvara i loma, troškovi goriva, troškovi kašnjenja, trošak najma za veće vozilo, itd.

Kako bi se smanjili troškovi tvrtke Quehenberger Hrvatska d.o.o., u svrhu procesa optimizacije distribucijske mreže projektirano je dvanaest ruta na području Sjeverne Hrvatske i Slavonije pomoću ranije navedenih matematičkih metoda te je usporedbom dobivenih rezultata prema svakoj od metoda, dobiven najkraći put za svaku rutu. Tvrtka koristi usluge vozila u najmu, odnosno distribuciju obavlja preko vanjskog pružatelja usluga. Ovisno o narudžbi, tj. količini tereta koju je potrebno distribuirati, odabire se optimalno vozilo kako bi trošak bio što niži. Za potrebe distribucije, postoji pet tipova vozila, sukladno tome, svako vozilo sadrži cijenu najma ovisno o količini tereta koju može prevesti. Nakon dobivenog najkraćeg puta, odabire se optimalno vozilo za distribuciju, obzirom da je cijena vozila prema prijednom kilometru, trošak distribucije je umnožak najkraćeg puta i cijene odabranog vozila.

Za sve navedene rute, također je prikazan i izračun troška distribucije prema paletnom mjestu, odnosno, tvrtka može plaćati prijevoz i po paletnom mjestu tj. količini prevezenog tereta. Izračunima oba načina distribucije, dobiveni rezultati pokazali su rješenja za svako

područje. Prema dobivenim podacima tvrtki je isplativije transport plaćati prema najmu vozila, odnosno prijeđenom kilometru na području Sjeverne Hrvatske. Razlog su manje udaljenosti od centralnog skladišta do lokacija koje je potrebno opskrbiti, ali i ukupne dužine ruta na području Sjeverne Hrvatske u odnosu na područje Slavonije.

Na području Slavonije situacija je drugačija. Projektiranjem ruta i izračunom najkraćeg puta primijenjenim matematičkim metodama, distribucija na području Slavonije isplativija je po paletnoj jedinici, zbog većih udaljenosti. Obzirom da se prema narudžbama veća količina tereta prevozi u Slavoniju u odnosu na područje Sjeverne Hrvatske, mogući su dogovori oko količinskog popusta s prijevoznikom i drugih pogodnosti.

Cilj svake tvrtke je ostvarivanje zarade i zadovoljstvo korisnika, a da bi se to postiglo, potrebno je pratiti distribucijska načela: u pravo vrijeme, na pravom mjestu u optimalnim količinama, u odgovarajućem asortimanu i uz najniže troškove.

LITERATURA

- [1] Rogić, K., Autorizirana predavanja iz kolegija Distribucijska logistika 1, predavanje 2017.
- [2] Ivaković, Č., Stanković, R., Šafran, M., Špedicija i logistički procesi, Fakultet prometnih znanosti, Zagreb, 2010.
- [3] Šamanović, J., Prodaja, distribucija, logistika, Ekonomski fakultet u Splitu, Split, 2009.
[<http://www.teretna-vozila.com>]
- [4] Rožić, T.: Autorizirana predavanja iz kolegija Distribucijska logistika I, Fakultet prometnih znanosti, Akademski godina 2017/2018, Zagreb
- [5] URL: <http://www.teretna-vozila.com/> (pristupljeno: siječanj 2018.)
- [6] Teodorović, D., Transportne mreže, Saobraćajni fakultet Univerziteta u Beogradu, Beograd 2007.
- [7] Golden B.L., Magnanti T.L., Nguyen H.Q.: Implementing Vehicle Routing Algorithms, Networks 7, 1997.
- [8] URL: <http://laboi.fon.bg.ac.rs/wp-content/uploads/2014/12/AlgoritamUsteda.pdf>
(pristupljeno: studeni 2017.) []
- [9] Toth, P., Vigo, D., Vehicle Routing problems, methods and applicatons, Second Edition, 2014.
- [10] Optimizacija prometnih procesa, nastavni tekst, Carić, T., Fakultet prometnih znanosti, 2014.
- [11] David P. Williamson, The subtour LP for the Traveling Salesman Problem, Cornell University, 2011.
- [12] Goval, S., A Survey on Travelling Salesman Problem, Department of Computer Science, University of North Dakota, 2010.)
- [13] Perić, T., Problem trgovačkog putnika, Nastavni tekst, Ekonomski fakultet Zagreb, 2015.
- [14] D. Applegate, R. Bixby, V. Chvátal, W. Cook, The travelling Salesman Problem, Princeton University Press, New Jersey, 2006.
- [15] Lenore Cowen, T., Travelling Salesman Problem, Jisoo Park University, 2011.

POPIS KRATICA

| | |
|------|--|
| 3PL | (Third Party Logistics) logistika treće strane |
| EUP | Euro-paleta |
| VRP | (Vehicle Routing Problem) problem usmjeravanja vozila |
| CVRP | (Capacitated Vehicle Routing Problem) Problem usmjeravanja vozila s ograničenjima kapaciteta |
| TSP | (Traveling Salesman Problem) problem trgovačkog putnika |
| BnB | (Branch & Bound) algoritam grananja i ograničavanja |
| NNH | (Nearest Neighbour Heuristic) heuristika najbližeg susjeda |

POPIS SLIKA

| | |
|--|----|
| Slika 1. Prikaz neposredne (direktne) distribucije | 5 |
| Slika 2. Prikaz posredne (indirektne) distribucije | 6 |
| Slika 3. Kombi vozilo..... | 10 |
| Slika 4. Dostavno vozilo (3,5 tona)..... | 11 |
| Slika 5. Dostavno vozilo (5 tona)..... | 11 |
| Slika 6. Dostavno vozilo (7 tona)..... | 12 |
| Slika 7. Dostavno vozilo (12 tona)..... | 12 |
| Slika 8. Izračunavanje ušteta | 18 |
| Slika 9. Rješenje Clark-Wright-ovog algoritma..... | 24 |
| Slika 10. Metoda s indikatorom T, primjer 1. | 25 |
| Slika 11. Metoda s indikatorom T, primjer 2. | 26 |
| Slika 12. Distribucijska mreža 1. | 27 |
| Slika 13. Ruta 0-2-3-0 | 29 |
| Slika 14. Ruta 0-4-2-3-0..... | 30 |
| Slika 15. Kompletirana ruta | 30 |
| Slika 16. Rješenje problema trgovačkog putnika s 24978 gradova | 31 |
| Slika 17. Ruta HR-43627 kao rješenje Clark-Wright-ovog algoritma ušteta..... | 53 |
| Slika 18. Razapinjuće stablo | 65 |
| Slika 19. Sparivanje neparnih vrhova | 66 |
| Slika 20. Kombinacija povezivanja vrhova..... | 67 |
| Slika 21. Ruta HR-43627 kao rješenje Christofides-ovog algoritma..... | 68 |
| Slika 22. Ruta HR-43689 kao rješenje CW-ovog algoritma..... | 71 |
| Slika 23. Ruta HR-43689 kao rješenje Christofides-ovog algoritma..... | 74 |
| Slika 24. Ruta HR-43753 kao rješenje CW-ovog algoritma..... | 76 |
| Slika 25. Ruta HR-43753 kao rješenje Christofides-ovog algoritma..... | 80 |
| Slika 26. Ruta HR-43472 kao rješenje CW-ovog algoritma..... | 82 |
| Slika 27. Ruta HR-43472 kao rješenje Christofides-ovog algoritma..... | 85 |
| Slika 28. Ruta HR-43882 kao rješenje CW-ovog algoritma..... | 87 |
| Slika 29. Ruta HR-43882 kao rješenje Christofides-ovog algoritma..... | 90 |
| Slika 30. Ruta HR-43881 kao rješenje CW-ovog algoritma..... | 93 |
| Slika 31. Ruta HR-43881 kao rješenje Christofides-ovog algoritma..... | 98 |

| | |
|---|-----|
| Slika 32. Ruta HR-43344 kao rješenje CW-ovog algoritma..... | 100 |
| Slika 33. Ruta HR-43827 kao rješenje Christofides-ovog algoritma..... | 104 |
| Slika 34. Ruta HR-43827 kao rješenje CW-ovog algoritma..... | 106 |
| Slika 35. Ruta HR-43827 kao rješenje Christofides-ovog algoritma..... | 110 |
| Slika 36. Ruta HR-43761 kao rješenje CW-ovog algoritma..... | 113 |
| Slika 37. Ruta HR-43761 kao rješenje Christofides-ovog algoritma..... | 118 |
| Slika 38. Ruta HR-43365 kao rješenje CW-ovog algoritma (rok dostave 06.03.)..... | 121 |
| Slika 39. Ruta HR-43365 kao rješenje Christofides-ovog algoritma (rok dostave 06.03.).... | 125 |
| Slika 40. Ruta HR-43365 kao rješenje CW-ovog algoritma (rok dostave 07.03.)..... | 127 |
| Slika 41. Ruta HR-43365 kao rješenje Christofides-ovog algoritma (rok dostave 07.03.).... | 130 |
| Slika 42. Ruta HR-43443 kao rješenje CW-ovog algoritma..... | 132 |
| Slika 43. Ruta HR-43443 kao rješenje Christofides-ovog algoritma..... | 137 |
| Slika 44. Ruta HR-43960 kao rješenje CW-ovog algoritma ušteda..... | 140 |
| Slika 45. Ruta HR-43960 kao rješenje Christofides-ovog algoritma..... | 146 |

POPIS TABLICA

| | |
|--|-----|
| Tablica 1. Lista rangiranih ušteda prema veličini | 22 |
| Tablica 2. Podaci o ruti HR-43627..... | 49 |
| Tablica 3. Uštede za rutu HR-43627 prema redoslijedu vrhova | 51 |
| Tablica 4. Lista ušteda za rutu HR-43627 rangirana prema veličini..... | 51 |
| Tablica 5. Podaci o ruti HR-43689..... | 69 |
| Tablica 6. Uštede za rutu HR-43689 rangirane prema veličini..... | 70 |
| Tablica 7. Podaci o ruti HR-43753..... | 75 |
| Tablica 8. Uštede za rutu HR-43753 rangirane prema veličini..... | 76 |
| Tablica 9. Podaci o ruti HR-43472..... | 80 |
| Tablica 10. Uštede za rutu HR-43472 rangirane prema veličini..... | 81 |
| Tablica 11. Podaci o ruti HR-43882..... | 86 |
| Tablica 12. Uštede za rutu HR-43882 rangirane prema veličini..... | 86 |
| Tablica 13. Podaci o ruti HR-43881..... | 91 |
| Tablica 14. Uštede za rutu HR-43881 rangirane prema veličini..... | 92 |
| Tablica 15. Podaci o ruti HR-43344..... | 99 |
| Tablica 16. Uštede za rutu HR-43344 rangirane prema veličini..... | 100 |
| Tablica 17. Podaci o ruti HR-43827..... | 104 |
| Tablica 18. Uštede za rutu HR-43827 rangirane prema veličini..... | 105 |
| Tablica 19. Podaci za rutu HR-43761 | 111 |
| Tablica 20. Uštede za rutu HR-43761 rangirane prema veličini..... | 112 |
| Tablica 21. Podaci za Rutu HR-43365..... | 119 |
| Tablica 22. Podaci o ruti HR-43365 za rok dostave 06.03. | 119 |
| Tablica 23. Uštede za rutu HR-43365 rangirane prema veličini (rok dostave 06.03.)..... | 120 |
| Tablica 24. Podaci o ruti HR-43365 za rok dostave 07.03. | 125 |
| Tablica 25. Uštede za rutu HR-43365 rangirane prema veličini (rok dostave 07.03.)..... | 126 |
| Tablica 26. Podaci o ruti HR-43443..... | 130 |
| Tablica 27. Uštede za rutu HR-43443 rangirane prema veličini..... | 131 |
| Tablica 28. Podaci za rutu HR-43960 | 138 |
| Tablica 29. Uštede za rutu HR-43960 rangirane prema veličini..... | 139 |
| Tablica 30. Rezultati najkraćeg puta prema matematičkim metodama | 148 |
| Tablica 31. Usporedba rješenja OptiMap-a i matematičkih metoda..... | 151 |

| | |
|---|-----|
| Tablica 32. Troškovi distribucije prema najmu vozila..... | 154 |
| Tablica 33. Troškovi distribucije po paletnom mjestu..... | 155 |
| Tablica 34. Usporedba troškova i ušteda | 156 |

POPIS GRAFIKONA

| | |
|---|-----|
| Grafikon 1. Odnos troškova neposredne i posredne distribucije | 6 |
| Grafikon 2. Složenost problema trgovačkog putnika..... | 32 |
| Grafikon 3. Odnos rješenja matematičkih metoda | 150 |
| Grafikon 4. Odnos rješenja OptiMap-a i matematičkih metoda | 152 |



Sveučilište u Zagrebu
Fakultet prometnih
znanosti
10000 Zagreb
Vukelićeva 4

IZJAVA O AKADEMSKOJ ČESTITOSTI I SUGLASNOST

Izjavljujem i svojim potpisom potvrđujem kako je ovaj _____ diplomski rad
isključivo rezultat mog vlastitog rada koji se temelji na mojim istraživanjima i oslanja se na
objavljenu literaturu što pokazuju korištene bilješke i bibliografija.

Izjavljujem kako nijedan dio rada nije napisan na nedozvoljen način, niti je prepisan iz
necitiranog rada, te nijedan dio rada ne krši bilo čija autorska prava.

Izjavljujem također, kako nijedan dio rada nije iskorišten za bilo koji drugi rad u bilo kojoj drugoj
visokoškolskoj, znanstvenoj ili obrazovnoj ustanovi.

Svojim potpisom potvrđujem i dajem suglasnost za javnu objavu _____ diplomskog rada
pod naslovom **Optimizacija distribucijske mreže primjenom matematičkih
metoda**

na internetskim stranicama i repozitoriju Fakulteta prometnih znanosti, Digitalnom akademskom
repozitoriju (DAR) pri Nacionalnoj i sveučilišnoj knjižnici u Zagrebu.

U Zagrebu, _____ 08.05.2018.

Student/ica: _____

(potpis)